

MINISTERUL EDUCAȚIEI ȘI ÎNVĂȚĂMÎNTULUI  
INSTITUTUL POLITEHNIC "TRAIAN VUIA" TIMIȘOARA  
FACULTATEA DE MECANICĂ

ing. Virgil COANDĂ

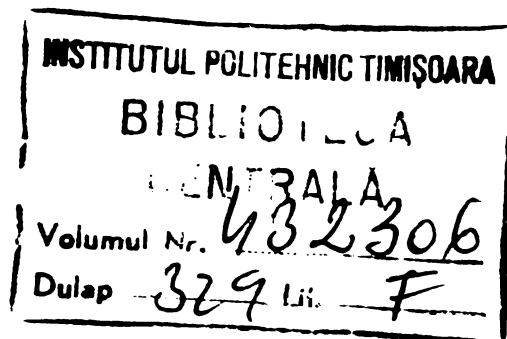
CONTRIBUȚII TEORETICE ȘI EXPERIMENTALE  
LA STUDIUL DISTRIBUȚIEI FLUXULUI DE CĂLDURĂ  
ÎN FOCARELE GENERATOARELOR DE ABUR

Teză de doctorat

CONDUCĂTOR ȘTIINȚIFIC

Profesor dr.ing. Cornel UNGUREANU

BIBLIOTECA CENTRALĂ  
UNIVERSITATEA "POLITEHNICA"  
TIMIȘOARA



1981



## C U P R I N S

pag.

### Simboluri și notații utilizate

1. Introducere, prezentarea scopului și a obiectivelor lucrării.	7
1.1. Introducere . . . . .	7
1.2. Scopul și obiectivele lucrării. . . . .	13
2. Stadiul actual al cercetării în domeniul modelelor matema-	
tice ale arderii și distribuției fluxului de căldură în	
focare . . . . .	17
2.1. Principalele lucrări de specialitate consultate . . . . .	17
2.2. Clasificarea modelelor matematice ale arderii și dis-	
tribuției fluxului de căldură în focare . . . . .	20
3. Elaborarea modelului matematic . . . . .	31
3.1. Ecuațiile mișcării . . . . .	31
3.1.1. Metode de cercetare - Comparație între descrierea	
mișcării a lui LAGRANGE și EULER . . . . .	31
3.1.2. Ecuații de bilanț . . . . .	33
3.1.2.1. Forma generală a ecuațiilor de bilanț . . . . .	33
3.1.3. Ecuații de bilanț specifice proceselor de ardere și	
de transmitere a căldurii . . . . .	34
3.1.3.1. Ecuația de bilanț pentru masă . . . . .	34
3.1.3.2. Ecuația de bilanț pentru impuls . . . . .	35
3.1.3.3. Ecuația de bilanț pentru specii chimice . . . . .	36
3.1.3.4. Ecuația de bilanț pentru entalpie . . . . .	38
3.1.4. Difuzia moleculară . . . . .	40
3.1.4.1. Frecarea internă . . . . .	41
3.1.4.2. Difuzia materială . . . . .	42
3.1.4.3. Transmiterea căldurii . . . . .	43
3.1.5. Rezumat al ecuațiilor de bilanț . . . . .	44
3.2. Schimbul de masă și căldură în flacăra difuziv tur-	
bulentă . . . . .	45
3.2.1. Ecuațiile de bilanț pentru valorile mediate în timp . . . . .	46
3.2.2. Modele ale turbulenței . . . . .	48
3.2.2.1. Viscositatea turbulentă . . . . .	49
3.2.2.2. Expresii algebrice ale viscozității turbulente. . . . .	49
3.2.2.2.1. Formularea $\nu_t = \text{const.}$ . . . . .	49
3.2.2.2.2. Teoria lungimii de amestec. . . . .	51
3.2.2.2.3. Modelul KOLMOGOROV-PRANDTL . . . . .	52

	pag.
3.2.2.2.4. Ipoteza viscozității turbulente exprimată cu două ecuații cu derivate parțiale . . . . .	53
3.2.2.2.5. Modelul $\bar{k}-\bar{w}$ al turbulenței . . . . .	54
3.2.3. Coeficienți de schimb turbulenți pentru speciile chimice $m_j$ și entalpie . . . . .	57
3.3. Ecuațiile de bilanț după introducerea mărimilor tur- bulente de schimb și a modelului $\bar{k}-\bar{w}$ al turbulenței.	59
3.3.1. Simplificări aduse ecuațiilor curgerii . . . . .	59
3.3.1.1. Ecuații pentru numere REYNOLDS mari . . . . .	59
3.3.1.2. Neglijarea energiei mecanice în ecuația ental- piei . . . . .	61
3.3.2. Forme particulare ale ecuațiilor curgerii. . . . .	61
3.3.3. Sistemul de ecuații avînd funcția de curent și viteza unghiulară a vârtejului ca variabile de- pendente în coordonate cilindrice . . . . .	64
3.4. Descrierea matematică a reacției de ardere . . . . .	67
3.4.1. Simplificări aduse descrierii reacției de ardere .	67
3.4.2. Reacții brute . . . . .	68
3.4.3. Introducerea fracției amestecului. . . . .	70
3.4.4. Modelul reacției "amestec = ars" . . . . .	70
3.4.5. Calculul concentrațiilor masice a componentelor la arderea gazului metan . . . . .	72
3.5. Calculul schimbului de căldură prin radiație . . . . .	74
3.5.1. Considerații teoretice . . . . .	74
3.5.2. Mărimi vectoriale caracteristice schimbului de căldură prin radiație . . . . .	75
3.5.3. Ecuațiile de transport ale radiației monocromati- ce . . . . .	76
3.5.4. Ecuațiile de bilanț pentru radiația termică mono- cromatică . . . . .	77
3.5.5. Ecuația de bilanț a radiației termice. . . . .	77
3.5.6. Condiții de contur a ecuațiilor de transport a radiației la pereți . . . . .	77
3.5.7. Metode de rezolvare a ecuațiilor de transport a radiației termice . . . . .	78
3.5.7.1. Metode pentru rezolvarea problemei geometrice a schimbului de căldură prin radiație. . . . .	79
3.5.7.2. Modele de curgere . . . . .	80
3.5.8. Capacitatea de emisie și de absorbție a gazelor de ardere . . . . .	84



	pag.
3.6. Condiții generale de contur . . . . .	87
3.6.1. Condiții de contur la pereți ficși . . . . .	88
3.6.1.1. Condiții de contur pentru componentele vitezei și presiune . . . . .	88
3.6.1.2. Condiții de contur pentru funcția de curent și viteza unghiulară a vârtejului, . . . . .	88
3.6.1.3. Condiții de contur pentru celelalte variabile studiate . . . . .	90
3.6.2. Condiții de contur la limitele libere ale dome- niului curgerii cercetat . . . . .	92
3.6.2.1. Condiții de contur pentru axe de simetrie . . .	92
3.6.2.2. Condiții de contur la orificiile de intrare . .	93
3.6.2.2.1. Condiții de intrare pentru un arzător du- blu-concentric . . . . .	94
3.6.2.3. Condiții de contur la orificiul de evacuare . .	98
3.6.3. Condiții particulare de contur ale peretelui . .	98
4. Rezolvarea modelului matematic . . . . .	102
4.1. Metoda diferențelor finite . . . . .	102
4.1.1. Deducerea ecuațiilor de bilanț pentru punctele interioare ale rețelei . . . . .	103
4.1.2. Aproximarea condițiilor de contur . . . . .	105
4.2. Metode de rezolvare a ecuațiilor cu diferențe fi- nite . . . . .	106
4.2.1. Procedeu GAUSS-SEIDEL . . . . .	107
4.2.2. Convergența procesului - factori ce influențea- ză convergența și precizia calculului . . . . .	108
4.3. Programul de calcul . . . . .	110
4.3.1. Ipoteze de calcul . . . . .	111
4.3.2. Ecuațiile de bază și condițiile de contur . . . .	112
4.3.3. Constante ale modelului matematic . . . . .	113
4.4. Organizarea programului . . . . .	114
4.4.1. Rețeaua de calcul . . . . .	114
4.4.2. Variabilele dependente . . . . .	115
4.4.3. Lista simbolurilor FORTRAN utilizate . . . . .	115
4.4.4. Descrierea programului . . . . .	118
5. Cercetări experimentale . . . . .	125
5.1. Instalația experimentală . . . . .	126
5.2. Arzătorul . . . . .	129
5.3. Programul de măsurători și aparatura folosită . . .	131

5.3.1. Măsurători cu ajutorul instrumentelor aflate în dotarea standului . . . . .	131
5.3.2. Măsurători ale mărimilor de stare locală și a fluxului de căldură cu instrumente mobile . . . . .	132
5.3.2.1. Măsurarea temperaturii gazului din focar. . . . .	132
5.3.2.2. Analiza gazelor de ardere . . . . .	132
5.3.2.3. Măsurarea vitezei gazelor . . . . .	133
5.3.2.4. Măsurarea radiației la peretele focarului . . . . .	134
6. Compararea datelor furnizate de calcul cu cele obținute experimental . . . . .	135
6.1. Flăcările studiate . . . . .	135
6.2. Focarul experimental . . . . .	137
6.3. Compararea proceselor parțiale calculate și măsurate (Flacăra G-o <sub>2</sub> ; pentru S = 0, S = 0,5 și S = 1) . . . . .	137
6.3.1. Desfășurarea curgerii . . . . .	137
6.3.2. Desfășurarea arderii . . . . .	139
6.3.3. Transferul de căldură prin convecție la pereții focarului . . . . .	143
6.3.4. Transferul de căldură prin radiație la pereții focarului . . . . .	149
6.4. Comparația distribuției fluxului net de căldură calculat și măsurat la pereții focarului . . . . .	154
6.5. Comparația distribuției fluxului net de căldură calculat și măsurat pentru flacăra G-o <sub>4</sub> ; S = 0, S = 0,5, S = 1 . . . . .	157
6.6. Aprecieri critice asupra rezultatelor obținute . . . . .	160
7. Aplicații ale modelului matematic . . . . .	161
7.1. Arderea sub presiune a combustibililor gazoși. . . . .	161
7.2. Arderea cărbunelui pulverizat . . . . .	163
7.2.1. Ipoteze de calcul . . . . .	163
7.2.1.1. Ipoteze ale curgerii bifazice . . . . .	164
7.2.1.2. Ipoteze privind proprietățile prafului de cărbune, arderea și transferul de căldură. . . . .	165
7.2.2. Ecuațiile de bază și condițiile de contur. . . . .	169
7.2.3. Calculul arderii lignitului pulverizat . . . . .	170
8. Sinteză și concluzii generale . . . . .	173
9. Bibliografie . . . . .	179
10. Anexă (programul de calcul - listing).	

## SIMBOLURI ȘI NOTAȚII UTILIZATE

- $A$  Suprafață,  $m^2$
- $A_{(E,W,N,S)}$  Coeficienți ai termenilor de convecție în ecuația diferențială generală.
- $A_r$  Coeficient în modelul schimbului de căldură prin radiație
- $A_F$  Constantă a vitezei de reacție a particulei de carbon
- $a$  Constantă a funcției patratice
- $a_\varphi$  Coeficient în ecuația generală de bilanț pentru variabila  $\varphi$
- $B_r$  Coeficient în modelul schimbului de căldură prin radiație
- $b$  Constantă a funcției patratice
- $b_\varphi$  Coeficient în ecuația generală de bilanț pentru variabila  $\varphi$
- $C_0 = 10^8 \cdot \sigma$
- $C_{(E,W,N,S)}$  Coeficienți în formula generală de substituție
- $C_D, C_1, C_2, C_3$  Constante ale modelului k-W al turbulenței
- $c_p$  Căldura specifică la presiune constantă,  $kJ/kg^\circ K$
- $c_\varphi$  Coeficienți în ecuația generală de bilanț pentru variabila  $\varphi$
- $D$  Tensorul deformațiilor,  $m/m$
- $D$  Diametrul camerei de ardere,  $m$
- $D$  Coeficient în formula generală de substituție
- $\dot{D}$  Tensorul vitezelor de deformare,  $m/s$
- $D_j^T$  Constanta de termodifuzie a componentei  $j$ ,  $kg_j/m \cdot s \cdot \ln^\circ K$
- $D_{j,l}$  Coeficient de difuzie (binar) pentru un amestec de componente  $j$  și  $l$ ,  $m^2/s$
- $D_{j,t}$  Coeficient turbulent de difuzie a componentei  $j$ ,  $m^2/s$
- $d_0$  Diametrul duzei,  $m$
- $d_\varphi$  Termen de sursă a variabilei  $\varphi$  în ecuația generală de bilanț
- $E$  Tensor unitate (unitar)
- $E_a$  Energia de activare a reacției chimice,  $kJ/kmol$
- $E$  Putere emisivă,  $kW/m^3$
- $\vec{e}$  Vector unitate (versor)

- $F_r$  Variabilă definită prin ec. 3.5-37 pentru fluxul de căldură prin radiație pe direcție radială,  $\text{kW/m}^2$
- $f$  Frația amestecului,  $\text{kg}_p/\text{kg}$
- $f$  Funcție
- $H$  Entalpie,  $\text{kJ}$
- $h$  Entalpie specifică,  $\text{kJ/kg}$
- $h_g$  Entalpie totală specifică,  $\text{kJ/kg}$
- $h_j$  Negativul entalpiei formării componentei  $j$  (putere calorică inferioară),  $\text{kJ/kg}$
- $I$  Impuls total,  $\text{kg}\cdot\text{m/s}$
- $I$  Intensitatea radiației pe un semispațiu pozitiv raportat la o direcție a axei de coordonate,  $\text{kW/m}^2\text{str.}$
- $i$  Intensitatea după o direcție a radiației,  $\text{kW/m}^2\text{str.}$
- $i_N$  Intensitatea radiației corpului negru,  $\text{kW/m}^2\text{str.}$
- $i_\lambda$  Intensitatea spectrală a radiației,  $\text{kW/m}^2\text{str.}$
- $J$  Intensitatea radiației pe un semispațiu negativ raportat la o direcție a axei de coordonate,  $\text{kW/m}^2\text{str.}$
- $\vec{J}$  Densitate de flux (vector)
- $\vec{J}_j$  Densitatea fluxului de difuzie a componentei  $j$ ,  $\text{kg}_j/\text{m}^2\text{s}$
- $\vec{J}_q$  Densitatea fluxului de căldură,  $\text{kW/m}^2$
- $\vec{J}_v$  Tensorul densității fluxului de difuzie al impulsului specific,  $(\text{m/s})/\text{m}^2\cdot\text{s}$
- $\vec{J}_\phi^*$  Densitatea fluxului proprietății  $\phi$  (convecție + difuzie)
- $\vec{J}_{n,j}$  Densitatea fluxului de difuzie molar al componentei  $j$ ,  $\text{kmol/m}^2\cdot\text{s}$
- $\vec{K}$  Forță masică,  $\text{N}$
- $K \dots K_a$  Coeficient de atenuare al radiației,  $1/\text{m}$
- $K_R$  Coeficient de difuzie (emisie) al radiației,  $1/\text{m}$
- $k$  Energia cinetică specifică pulsatorie,  $\text{m}^2/\text{s}^2$
- $\vec{k}$  Forță specifică,  $\text{N/kg}$
- $k_{d,i,f}$  Constanta de echilibru a reacției (pentru concentrații molare),  $\frac{\text{m}}{\prod_{j=1}^m (\text{kmol/m}^3)^{\nu_j^*}}$
- $k_{1,2}$  Constante în modelul turbulenței
- $k_D$  Coeficient de difuzie al  $\text{O}_2$  prin stratul limită din jurul particulei,  $\text{kg}_C/\text{m}^2\text{s}, \text{bar}_{\text{O}_2}$

- $k_S$  Coeficientul vitezei de reacție la suprafața particulei,  
 $kg_C/m^2 \cdot s \cdot bar_{O_2}$
- $L$  Lungime, grosimea stratului, m
- $l, l_m$  Scara turbulenței (Lungimea de amestec a lui PRANDTL),  
m
- $l$  Numărul componentelor din membrul stîng al unei reacții chimice
- $M$  Masă totală, kg
- $\dot{M}$  Flux masic (debut masic), kg/s
- $M_j$  Masa totală a speciei chimice  $j$ ,  $kg_j$
- $m$  Exponent al energiei specifice cinetice pulsatorii la un model al turbulenței cu 2 ecuații
- $m$  Numărul componentelor active ale unei reacții chimice
- $\dot{m}$  Densitatea fluxului masic,  $kg/m^2 \cdot s$
- $m_j$  Concentrația masică a componentei speciei chimice  $j$ ,  
 $kg_j/kg$
- $n$  Numărul reacțiilor chimice
- $\vec{n}$  Numărul de iterații
- $n$  Vector normal la o curbă sau suprafață
- $n$  Exponent al lungimii de amestec la un model al turbulenței cu 2 ecuații
- $P$  Punct în spațiu
- $p$  Presiunea statică,  $N/m^2$  sau bar
- $p$  Numărul componentelor materiale cuprinse în ecuația de bilanț
- $p_j$  Presiunea parțială a componentei gazoase  $j$ ,  $N/m^2$
- $\dot{Q}$  Fluxul net de căldură, kW
- $\vec{\dot{q}}$  Vector al densității fluxului de căldură,  $kW/m^2$
- $\dot{q}_p = - \dot{q}_{n,P}$  Densitatea netă a fluxului de căldură la perete,  
 $kW/m^2$
- $\vec{R}; \vec{r}$  Raze, m
- $R; r$  Vectorii razelor, m
- $R_j$  Constanta gazului  $j$ ,  $kJ/kg_j \cdot ^\circ K$
- $R_k$  Viteza de reacție pentru  $k$ -a reacție,  $kg_{produs}/m^3 \cdot s$
- $Re$  Numărul RAYNOLDS

S	Termen de sursă, .../m <sup>3</sup> .s
S	Numărul de turbionare
S	Tensor
$\vec{S}$	Vector al forțelor de tensiune, N
S <sub>p</sub>	Suprafața exterioară a particulei, m <sup>2</sup>
$\dot{S}$	Termenul de sursă în ecuația cu diferențe finite
$\dot{s}_C, \dot{s}_D$	Apoximarea termenilor de convecție și difuzie în ecuația cu diferențe finite
s	Grosimea peretelui, m
$\vec{s}$	Vector al forțelor de tensiune specifice, N/m <sup>2</sup>
T	Tensorul eforturilor unitare, N/m <sup>2</sup>
T	Temperatura absolută, °K
T <sub>m</sub>	Temperatura medie din stratul limită în jurul unei particule, °K
T <sub>0</sub>	Constantă în ecuația 7.2-7, °K
T <sub>i,j</sub>	Componentele tensorului tensiunii, N/m <sup>2</sup>
t	Timpul, s
t	Temperatură, °K
u	Energia specifică internă, kJ/kg
V	Volum, m <sup>3</sup>
$\vec{v}$	Vector viteză, impuls specific, m/s
$\vec{v}_\phi$	Viteza de transport a proprietății $\phi$ , m/s
W	Pătratul frecvenței medii a pulsațiilor turbulente, 1/s <sup>2</sup>
W	Lungimea camerei de ardere, m
$\vec{W}$	Vector
X, X <sub>A</sub>	Coeficient de dispersie al radiației
y	Distanța la perete, m
z	Variabile în modelul turbulenței cu 2 ecuații
$\alpha$	Factor energetic (coeficient) de absorbție
$\alpha$	Coeficient de transmitere a căldurii prin convecție, kW/m <sup>2</sup> .°K
$\alpha_{SR}$	Coeficient de subrelaxare
$\Gamma_\phi$	Coeficient de transfer al proprietății $\phi$ , kg/m.s
$\delta$	Grosimea stratului limită, m

- $\varepsilon$  Disiparea energiei turbulente,  $m^2/s^3$   
 $\varepsilon$  Energie totală specifică,  $kJ/kg$   
 $\varepsilon$  Factor energetic de emisie  
 $\varepsilon_g$  Factor energetic de emisie al unui gaz real  
 $\varepsilon_m$  Energie mecanică specifică,  $kJ/kg$   
 $\varepsilon_p$  Energie potențială specifică,  $kJ/kg$   
 $\eta$  Viscositate dinamică,  $kg/m.s$   
 $\eta_t$  Viscositate turbulentă,  $kg/m.s$   
 $\kappa$  Constanta lui KARMAN  
 $\lambda$  Coeficient de conductibilitate termică,  $kW/m^{\circ}K$   
 $\lambda$  Lungimea de undă a radiației electromagnetice,  $m$   
 $\lambda = \frac{v_s}{v_p}$  Raport de viteze,  $m$   
 $\lambda^*$  Drumul liber mijlociu al moleculei de gaz,  $m$   
 $\lambda_1; \lambda_2$  Masa de convergență absolută și relativă  
 $\lambda$  Oxigenul stoechiometric necesar arderii  
 $\nu_t$  Viscositate cinematică turbulentă,  $m^2/s$   
 $\nu_{j,k}$  Coeficienți stoechiometrici (ecuația 3.1-29)  
 $\nu_{j,k}^*$  Coeficientul stoechiometric al speciei chimice  $j$  la  
 a  $k$ -a reacție  
 $\rho$  Masa specifică,  $kg/m^3$   
 $\rho_c$  Masa specifică a particulei (carbon),  $kg_C/m^3$   
 $\sigma$  Numerele SCHMIDT-PRANDTL  
 $\sigma$  Constanta lui STEFAN-BOLTZMANN,  $kW/m^2 \cdot ^{\circ}K^4$   
 $\sigma$  Efort normal,  $N/m^2$   
 $\tau$  Efort de forfecare,  $N/m^2$   
 $\varphi$  Proprietate generală a fluidului  
 $\varphi, \varphi^*$  Unghi polar, rad.  
 $\varphi$  Proprietate specifică generală a fluidului  
 $\varphi_j$  Variabilă dependentă (ecuația 3.4-7<sub>a-d</sub>)  
 $\varphi, \varphi^*$  Unghi azimutal, rad.  
 $\psi$  Corecția lui GOUFFÉ (ecuația 6.3-27)  
 $\psi$  funcția de curent  
 $\Omega, \Omega^*$  Unghi solid, str.  
 $\bar{\omega}$  Viteza unghiulară a vârtejului (turbionului),  $1/s$   
 $M$  Masa moleculară,  $kg/kmol$   
 $R$  Constanta universală a gazelor,  $kJ/kmol \cdot ^{\circ}K$

I N D I C I

- a Direcție axială, direcție paralelă cu peretele
- C Carbon, cărbune
- C Convecție
- E,W,N,S Puncte din rețeaua de calcul (est,vest,nord,sud)
- i Specii chimice
- k A k-a reacție
- l Laminar
- l 1-a fracție granulometrică de particule
- max Valori maxime
- min Valori minime
- n Direcție normală
- nou Valoare nouă
- P Particulă
- p Primar
- s Secundar
- N Negru
- ef Efectiv
- G Fază gazoasă
- G Gas
- G Total
- Reacție directă
- i Direcție a sistemului de coordonate
- x,y,z Coordonate carteziene
- r,φ,z Coordonate cilindrice
- R Radiație
- λ Spectral
- Proprietate generală
- etc Stoechiometric
- Turbulent
- Direcție tangențială
- Uscat
- Valoarea la perete
- Valoare inițială, secțiunea de intrare
- Viscositate
- Viteză:
- - Viteza medie pozitivă, negativă
- Valoarea medie și abaterea standard a vitezelor
- Viteza caracteristică
- Viteza de difuzie



# 1 INTRODUCERE, PREZENTAREA SCOPULUI ȘI A OBIECTIVELOR LUCRĂRII

## 1.1. INTRODUCERE

Problema energiei, care părea nu cu mult timp în urmă ca și rezolvată, este astăzi pe primul plan în lume, impunând reconsiderări pe cât de nedorite, pe atât de necesare.

Creșterea fără limite a consumului de energie în decada 1962-1972, a fost unul dintre criteriile dezvoltării economice din această perioadă. Ea s-a bazat pe prețul scăzut al combustibililor fosili, îndeosebi al petrolului. Astăzi putem afirma că revenirea la un preț scăzut al petrolului nu poate să se producă în viitor. Acest lucru datorându-se faptului că înlocuirea tehnologiilor energetice existente este o chestiune de lungă durată; astfel se constată că inerția sistemelor de producere pe scară largă a energiei este relativ mare, de ordinul zecilor de ani, perioadă în care coexistă tehnologii energetice de diferite generații.

Astăzi omenirea face față unei tranziții fundamentale în ceea ce privește resursele energetice și eficiența utilizării acestora, problema de bază a acestei tranziții fiind penuria combustibililor fosili.

Pentru țara noastră /1/ "Sursa principală și condiția hotărâtoare a dezvoltării în continuare în ritm susținut a economiei naționale și a ridicării, pe această bază, a bunăstării întregului popor este, asigurarea unei creșteri substanțiale a eficienței economice în utilizarea combustibililor și energiei electrice.

Principalele direcții pe care se va acționa vor fi : modernizarea tehnologiilor și raționalizarea fluxurilor de producție, creșterea continuă a randamentelor de transformare a energiei de la forma primară la cea de utilizare, pentru obținerea unui efect economic sporit, cu un consum de energie primară cât mai redus..."

Randamentul transformărilor energetice ale ciclurilor termodinamice cunoscute a crescut de-a lungul anilor, ca urmare a îmbunătățirilor tehnologice. Din anul 1924 până în 1970

randamentul a crescut de la 15% la 33%. Pentru anul 1990 se prevăd valori de circa 50% pentru producția globală de energie. Concepția de proiectare a sistemelor energetice de până acum nu a favorizat economia de energie primară, ci mai degrabă reducerea cheltuielilor de investiții. Ori, în condițiile actuale, restricțiile de economisire a energiei primare și de mediu (poluare) schimbă în mod inevitabil raportul dintre investiții în instalații noi și investiții în tehnologii noi, în favoarea celor din urmă.

Marea majoritate a instalațiilor de ardere industriale (generatoare de abur, cuptoare de topit sticla, cuptoare de ciment, cuptoare din industria metalurgică și petrochimică etc.) sînt echipate cu arzătoare care realizează flăcări difuzive; acestea posedînd o serie de avantaje în exploatare : domeniu larg de stabilitate al arderii, pericol redus de retur al flăcării, posibilități largi de reglaj a lungimii flăcării și deci a cîmpului de temperaturi și concentrații în focar, coeficient de emisivitate ridicat al flăcării, datorită formării particulelor de carbon în flacără. Astfel de flăcări se obțin în special atunci cînd combustibilul și aerul necesar arderii se introduc fiecare separat în focar, iar procesele de schimb de masă și căldură joacă un rol preponderent în realizarea arderii. Aceste flăcări industriale pot fi considerate în sens mai larg, ca element constructiv al instalațiilor energetice și termotehnologice, iar comportarea lor în diferite condiții de funcționare trebuie cunoscută dinainte.

Problemele posibile care ar putea apărea la construcția și în timpul funcționării sînt prezentate în fig.1.1. Se dau condițiile de funcționare ale focarului, care se împart în condiții de intrare și de frontieră (contur). Condițiile de intrare sînt mărimea și direcția curenților de masă alimentați în camera de ardere, precum și proprietățile lor. Condițiile de contur sînt geometria arzătorului și a camerei de ardere și proprietățile termice ale pereților și gazelor de ardere la pereți. Se urmărește cum influențează condițiile de intrare și de contur asupra volumului și pereților camerei de ardere, cît și asupra ieșirii din cameră.

În multe cazuri practice este suficient dacă se cunoaște temperatura și compoziția gazelor la ieșirea din focar. Pe baza bilanțului energetic se poate determina fluxul total de

căldură preluat de pereți și randamentul camerei de ardere.

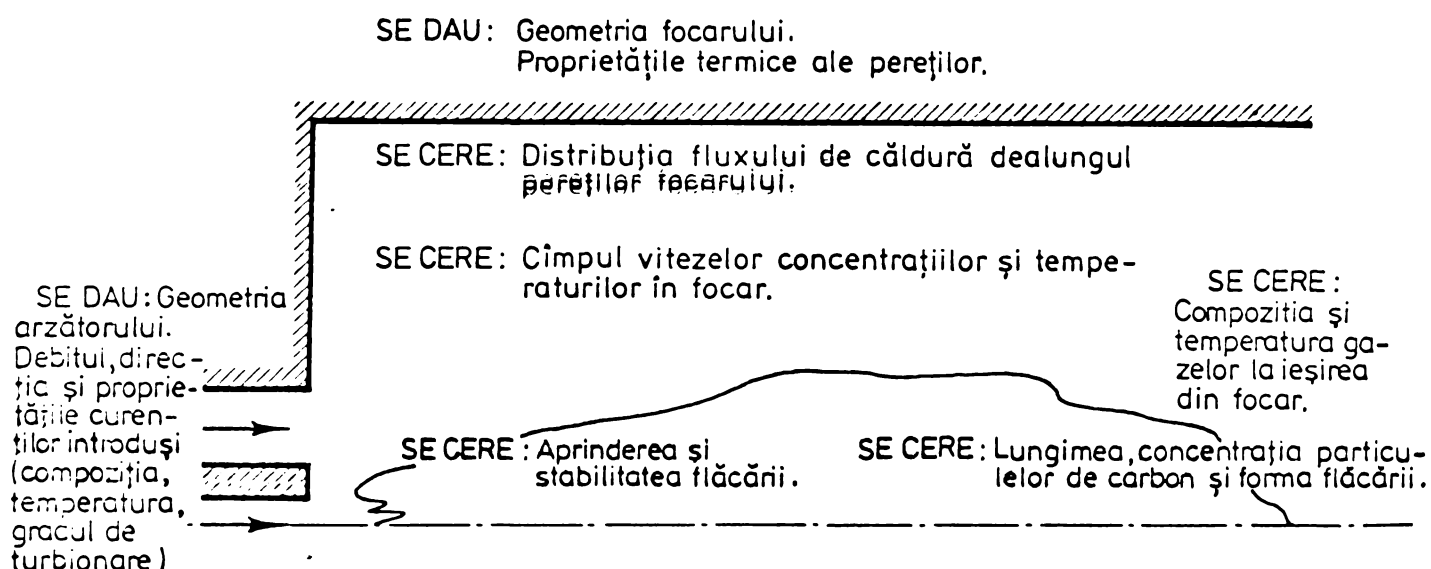


Fig.1.1. Principalele probleme care apar la construcția unui focar.

Alte probleme puse în continuare se referă, la însăși procesele din focar; distribuția câmpurilor de temperatură, concentrații și viteze, de care depind implicit: repartiția fluxului de căldură din focar, aprinderea și stabilitatea flăcării, formarea compușilor poluanți, depuneri și eroziuni în camera de ardere.

Pentru a obține flăcări difuzive cu astfel de caracteristici, încât să permită realizarea diferitelor procese tehnologice în condiții optime, este necesar să se cunoască factorii fizici, chimici și geometrici care determină proprietățile flăcării.

Deoarece aceste mărimi se influențează reciproc, este greu să se prevadă felul în care vor evolua unele din ele la variația unuia sau a mai multor parametri. Asemenea modificări ale unui parametru sînt deseori necesare din motive economice și tehnologice, atât în timpul proiectării cît și în exploatare (de ex. schimbarea sortului de combustibil sau a încărcării termice a camerei de ardere), problema centrală fiind determinarea distribuției fluxului de căldură în focar. Automatizarea proceselor de ardere reclamă, de asemenea, cunoștințe suplimentare privind interacțiunea acestor mărimi.

Răspunsuri la întrebările din fig.1.1 sau la cele mai sus amintite au fost date în practică pe trei căi diferite:

- prin măsurători efectuate direct pe instalațiile industriale;

- experimentări pe modele fizice și camere de ardere semiindustriale, cu transpunerea rezultatelor prin intermediul legilor similitudinii și
- prin elaborarea de modele matematice.

Dezideratele economice limitează în general experimentările cuprinzătoare, cu toate că acestea au dat primele rezultate în investigarea fenomenelor pentru care încă nu avem soluții teoretice.

Experimentarea limitată și pe modele a câștigat teren în rîndurile cercetătorilor, mai ales datorită largii aplicabilități a teoriei similitudinii. Multe din problemele puse la proiectarea și funcționarea unei instalații pot fi rezolvate prin încercări pe modele de curgere reci. Transpunerea rezultatelor experimentale obținute la curgeri izotermice la focarele reale, se face doar cu ipoteze puternic simplificatoare. De asemenea, cu această tehnică de investigare nu se pot obține informații privind transferul de căldură prin radiație.

Măsurătorile efectuate în ultimii 20 de ani, pe instalații experimentale și semiindustriale, cu ajutorul sondelor răcite cu apă sau a altor tehnici, au lărgit mult cunoștințele despre comportarea flăcărilor industriale. Folosirea practică a acestor rezultate este însă mărginită, datorită experimentărilor efectuate pe flăcări simple (arzătoare și focare cu geometrii simplificate), în timp ce în practică camerele de ardere sînt construite conform cerințelor tehnologice, fiind încălzite cu mai multe flăcări.

Dificultățile legate de experimentările industriale, cît și limitele interpretării machetelor izoterme, au stimulat în ultimul deceniu dezvoltarea modelelor matematice ca mijloc de prevedere a proceselor din focare, încît se remarcă o trecere de la experimentarea cuprinzătoare la prevederile teoretice și experimentarea limitată și de la metodele analitice la metodele numerice.

Spectrul modelelor matematice pentru flăcări și camere de ardere cuprinde de la formulări pur empirice pînă la modele care încearcă să descrie toate procesele parțiale ale fenomenelor de curgere, ardere și transmitere a căldurii cu ajutorul legilor de bază ale fizicii și chimiei.

Modelele pur empirice sînt des utilizate în practică, însă numai pentru cazuri speciale. În același timp modelele

care au la bază legile fundamentale care descriu fenomenele din focare, în măsura în care pot fi prezentate închis, se întrebuițează cu dificultate din cauza volumului de calcul prea mare. Ca și compromis, trebuie elaborate modele de calcul, care pe cât posibil să țină seama de legăturile fizice, efectuându-se simplificări empirice acolo unde volumul și cheltuielile de calcul sînt prea mari.

Analiza oricărui fenomen parțial din camera de ardere trebuie să înceapă cu descrierea legăturilor fizice; astfel în fig.1.2 sînt prezentate schematic procesele fizice ale unei flăcări de difuzie închise. Corespunzător condițiilor de intrare, combustibilul gazos și aerul necesar arderii pătrund sepa-

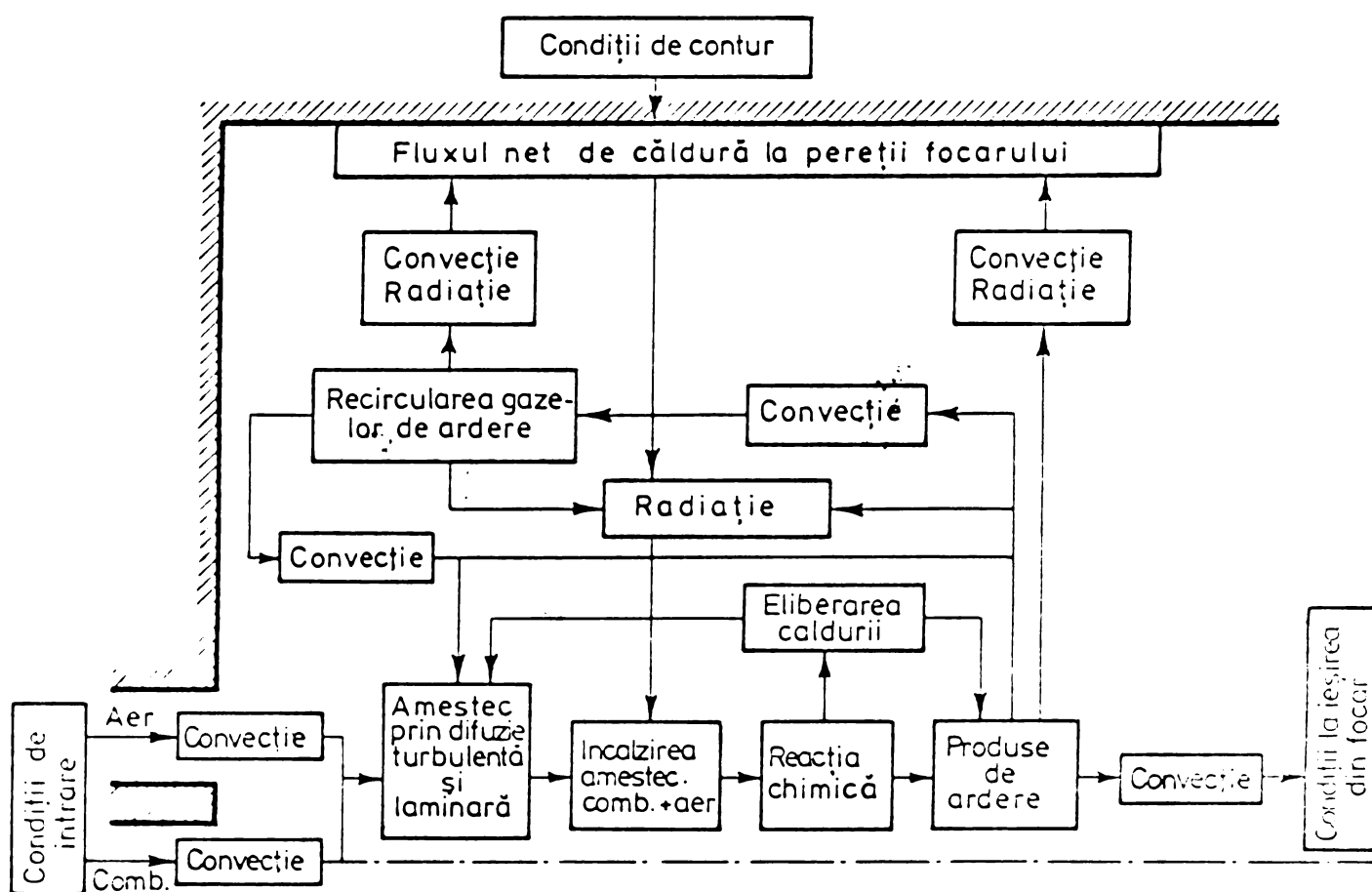


Fig.1.2. Interdependența mărimilor fizice la formarea unei flăcări de difuzie închise.

rat în focar, transmițînd prin convecție caracteristicile lor specifice. Ambele jeturi se amestecă și cu gazele de ardere recirculate aduse din regiunea din aval a fluxului. Se formează amestecul macroscopic, care apare la curgerea turbulentă (difuzie turbulentă) cît și cel microscopic controlat de difuzia moleculară, ambele ducînd la încălzirea jetului combustibil gazos - aer. Procesul de încălzire mai este influențat și



de căldura radiată de gazele de ardere și pereți (în cazul când aceștia nu sînt răciți sau sînt răciți puțin). Cînd amestecarea s-a făcut pînă la nivel molecular și temperatura a atins un nivel destul de ridicat, apar reacții violente (flăcări) între combustibil și oxidant cu degajare mare de căldură. Căldura, dacă nu a fost instantaneu transmisă prin radiație, este transportată în continuare prin convecție de către produsele de ardere; astfel o parte se reîntoarce și servește la preîncălzirea compușilor de reacție, menținînd aprinderea.

Într-un mod asemănător este favorizată aprinderea prin retrodifuzia radicalilor. Produsele de ardere fierbinți, care în general ocupă cea mai mare parte a volumului focarului, se despart în doi curenți :

- în curentul de recirculație, amintit mai sus și
- în curentul care ajunge direct la ieșirea din focar.

Transmiterea căldurii de la gazele de ardere la pereți se face combinat prin : radiație, convecție și conducție (în stratul limită de curgere laminar).

Legăturile fizice prezentate în fig.1.2 pentru o flacără de difuzie a combustibililor gazoși, cu mici modificări, poate sta ca bază de analiză a tuturor flăcărilor industriale și cuprinde trei fenomene distincte :

- transportul convectiv și difuziv (puternic influențate de turbulență),
- reacția de ardere,
- transfer de căldură prin radiație.

Corespunzător acestora, un model matematic al arderii și transiterii de căldură trebuie să cuprindă următoarele modele parțiale :

- un model de curgere, avînd la bază una din ipotezele turbulenței,
- un model al reacției, bazat pe o ipoteză simplificatoare a reacțiilor din flăcări și
- un model al schimbului de căldură prin radiație.

La cele expuse mai sus trebuie precizat că procesele de transport fizice sînt legate indisolubil de reacțiile chimice, iar un model matematic închis reclamă o cuplare corespunzătoare a modelelor parțiale amintite.

\*

\*

\*

Autorul exprimă și pe această cale cele mai sincere mulțumiri conducătorului științific prof.dr.ing. Cornel UNGUREANU pentru îndrumarea permanentă și sprijinul acordat la elaborarea lucrării, în formarea și specializarea sa profesională.

De asemenea autorul mulțumește colegilor de la Facultatea de mecanică din Timișoara și Cluj-Napoca, cercetătorilor de la ICSITEEMR București, pentru ajutorul acordat pe parcursul și la finalizarea cercetărilor.

---

## 1.2. SCOPUL ȘI OBIECTIVELE LUCRĂRII

---

Obiectivul fundamental al unei cercetări pozitive este, ca prin contribuții teoretice sau experimentale, să constituie microelemente ale progresului științei și tehnicii, integrându-se astfel în impetuoasa dezvoltare a cunoașterii contemporane.

În ideea atingerii unui asemenea obiectiv, evident cu posibilitățile modeste ale unui individ și în condițiile unui domeniu restrâns în raport cu dimensiunile cunoașterii, lucrarea își propune să aducă contribuții la studiul distribuției fluxului de căldură în focarele generatoarelor de abur.

Pentru a răspunde utilului actual și particular s-a căutat ca rezultatele obținute să fie concretizate în metode noi de calcul, în interpretări practice, în formule și grafice dar mai ales într-un model matematic unitar cu programul aferent de calcul numeric, direct aplicabil la studiul și proiectarea agregatelor de cazan.

În același timp, pentru a răspunde utilului general și perspectiv, s-a căutat ca rezultatele obținute (programul de calcul) să depășească cadrul restrâns al studiului flăcărilor de gaz metan difuzive în focare axial simetrice, în ideea rãcordării lor la condiții speciale de ardere sau a utilizării diferitelor sorturi de combustibili.

Orice cercetător, după stabilirea temei și a obiectivelor urmărite, își pune întrebarea firească : ce metodă să folosească pentru a ajunge la obiectivele propuse ? Istoria științei și culturii omenești indică două curente puternice : raționalist și empirist.

Aceste două curente, cu mulți adepți și reprezentanți de vază, și-au disputat în decursul timpului cheia în cunoașterea umană.

În ultimul deceniu vechea dispută dintre raționaliști și empiriști, dintre deducție și inducție a intrat într-o fază nouă. Căci, pe lângă aceste două căi, există și o a treia, pe care astăzi nu o cunoaștem decât în fază incipientă, aceea a experimentului intelectual.

Mașinile electronice de calcul moderne au făcut posibilă rezolvarea economică a modelelor matematice care simulează fenomenele reale, evitând atât soluționarea analitică a sistemelor de ecuații ce descriu fenomenul, cât și încercările experimentale dificile și laborioase.

Astfel, cel puțin teoretic, orice fenomen poate fi reprezentat și prin mașina de calcul, așa cum poate fi descris cu ajutorul relațiilor analitice sau reprodus în laborator.

Dacă fenomenul este cunoscut în liniile sale generale și dacă programarea a fost riguroasă, mașina de calcul ne va da toate variantele și concluziile posibile, după cele mai bune reguli ale experimentului.

În lumina acestor idei ale cunoașterii, autorul a ales calea experimentului intelectual, utilizând calculatorul electronic, în care ecuații potrivite rezumă fenomenul într-o scară nouă, pe care se poate experimenta teoretic.

Pentru prima dată, în această lucrare, în modelare, procesele complexe din focare în general, sînt considerate ca sistem. Orice sistem este o mulțime de componente care, în limitele anumitor condiții de spațiu și timp interacționează între ele obținînd un rezultat. Cu excepția omului sau a sistemelor ce includ omul, rezultatul este inconștient și reprezintă consecința interacțiunii dialectice a sistemului cu alte sisteme.

Un sistem real  $S_R$  (natural sau concret) poate fi definit ca o mulțime de componente  $C$ , o mulțime de relații interne  $R_i$  între componentele  $C$ , o mulțime de relații externe  $R_e$  între componentele  $C$  și mediul înconjurător, respectiv o mulțime de programe de funcționare  $P_f$  care determină procesul  $P$  în realizarea finalității  $F$  sau obiectivului  $O$  stabilit de om.

$$S_R = \{ C, R_i, R_e, P_f, F \text{ sau } O \} \quad (1.1-1)$$

Oricărui sistem real  $S_R$  (1.1-1) i se poate atașa un model matematic ce reprezintă într-o formă nouă, realitatea obiectivă, Fig. 1.3.



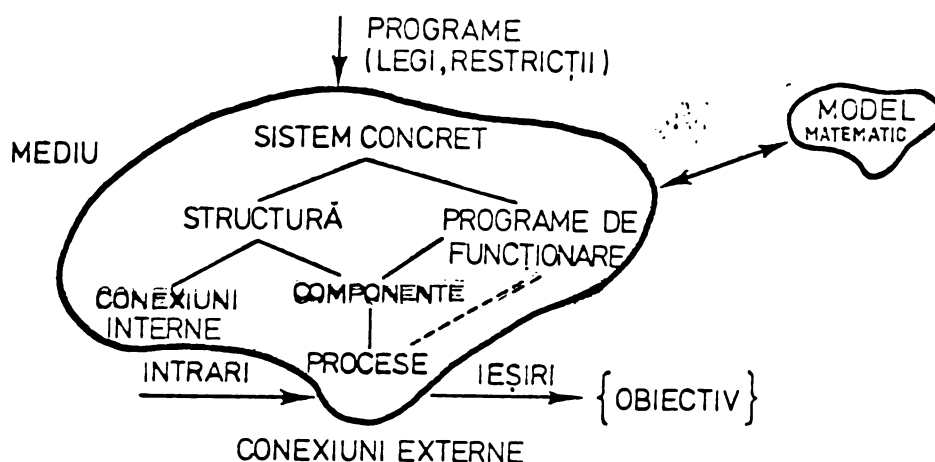


Fig.1.3. Conceptul de sistem și legătura biunivocă cu modelul matematic.

În paragraful anterior s-au enumerat cerințele și greutatețile care apar la calculul flăcărilor și focarelor generatoarelor de abur. Dat fiind scopul majorității focarelor industriale de a transmite energie termică eliberată prin reacția chimică între combustibil și oxidant, la agentul termic (în cazul cazanelor - apă), drept criteriu de apreciere al eficienței funcționării acestora, se alege în cadrul lucrării un calcul cât mai bun al cantității de căldură și al distribuției fluxului termic.

S-a amintit deja că este necesar să se trateze procesele cuplate ale transportului prin convecție, difuzie, radiație cu reacțiile chimice. Ca problemă secundară se pune și găsirea gradului necesar de simplificare la determinarea proceselor parțiale complexe, pentru a obține un calcul cât mai real al distribuției fluxului de căldură.

În prima parte, lucrarea se ocupă cu elaborarea unui model matematic pentru calculul proceselor : curgerii și amestecului, al arderii complete și al schimbului de căldură prin convecție și radiație, fenomene ce sînt descrise cu ajutorul legilor de bază ale fizicii : legile conservării masei, impulsului și energiei.

Punctul de plecare îl reprezintă ecuațiile de transport ale masei, impulsului și entalpiei unui mediu continuu care curge turbulent și reacționează. Prin simplificări succesive se aduc ecuațiile curgerii și condițiile de contur aferente la formă corespunzătoare rezolvării numerice. Se completează apoi aceste ecuații prin introducerea mecanismului de reacție și cel al transferului prin radiație, a căror rezolvare se leagă cât mai avantajos cu aceea a ecuațiilor de transport.

Programul scris în limbajul Fortran IV a fost rulat pe un calculator FELIX-C256.

Pentru verificarea metodelor folosite în calculul distribuției fluxului de căldură se cer date experimentale asupra proceselor din focar. Din acest motiv au fost efectuate măsurători complete privind curgerea, arderea și transferul de căldură la arderea difuzivă a gazului metan într-un focar axial - simetric în cadrul Laboratorului de ardere al Institutului Politehnic Cluj-Napoca. Măsurătorile efectuate au avut ca scop :

- să verifice utilitatea metodelor folosite la deducerea modelelor parțiale și al celui complet;
- să compare rezultatele numerice cu cele experimentale privind distribuția fluxului de căldură în focar;
- să furnizeze date suplimentare pentru îmbunătățirea și dezvoltarea în continuare a metodelor de calcul.

Se poate rezuma că, pe baza interpretării critice a celor mai noi rezultate ale cercetării și a experienței proprii, autorul și-a propus elaborarea unui model matematic complet al arderii și transferului de căldură în focarele generatoarelor de abur, utilizând metode de cercetare moderne (teoria sistemelor, analiza vectorială, simulare pe calculator), precum și verificarea acestuia prin cercetări experimentale.

Ponderea cea mai însemnată a cercetărilor teoretice și aplicative s-a axat pe studiul flăcărilor difuzive de gaz metan din focarele tub de flăcără. Rezultatele obținute și modelul de calcul au fost apoi extinse la camerele de ardere ale generatoarelor magnetohidrodinamice (MHD) cât și asupra arderii cărbunilor pulverizați.

Scopul este de a oferi proiectanților și constructorilor de agregate de cazan un sistem încheiat, unitar, de concepte cu un instrument de lucru perfecționat și rapid (programul de calcul), menit să faciliteze, să scurteze și să optimizeze analiza, proiectarea și executarea cazanelor, contribuind astfel la îmbunătățirea parametrilor calitativi și economici.

## 2

### STADIUL ACTUAL AL CERCETĂRII ÎN DOMENIUL MODELELOR MATEMATICE ALE ARDERII ȘI DISTRIBUȚIEI FLUXULUI DE CĂLDURĂ ÎN FOCARE

Deoarece problematica legată de această lucrare este vastă, iar cunoștințele de specialitate existente au crescut foarte mult în ultimul deceniu, se evită o analiză amănunțită a literaturii de specialitate. În paragraful 2.1 se citează câteva din publicațiile de bază necesare înțelegerii și rezolvării proceselor din focare cu ajutorul modelelor matematice. Se mai dau indicații și asupra metodologiei și aparaturii necesare măsurărilor efectuate în flăcări și focare. În paragraful următor se clasifică modelele matematice existente ale arderii și distribuției fluxului de căldură în camere de ardere, insistându-se asupra modelelor pluridimensionale, care au la bază legile generale ale fizicii și cărora le aparține și modelul prezentat în această lucrare.

#### 2.1. PRINCIPALELE LUCRĂRI DE SPECIALITATE CONSULTATE

Publicațiile de bază, care fiecare în felul ei au permis dezvoltarea metodelor de cercetare a proceselor din focarele generatoarelor de abur, se pot împărți după următoarele criterii :

- a) principii de bază generale privind fenomenologia și înțelegerea fizică a proceselor din focare;
- b) schimbul de căldură în focare;
- c) procesul curgerii și al amestecului;
- d) reacția de ardere;
- e) metode și instalații experimentale pentru studiul proceselor din focare.

a) Una dintre primele prezentări cuprinzătoare a fenomenelor care apar la arderea combustibililor fosili în focare este lucrarea lui KNORRE /2/, fiind concepută corespunzător necesităților de atunci a constructorilor de instalații termoelectrice. Două lucrări esențiale asupra fenomenelor fizice de bază ale curgerii, cineticii arderii și a schimbului de căldură în focare au fost publicate de STAMBULEANU /3/ și PANȚIU,

432 306  
329 F

GRECOV, UNGUREANU, SINGER, CARABOGDAN /4/, reprezentând punctul de plecare al majorității cercetătorilor români din acest domeniu. Institutul de energetică al Academiei R.S.R. a publicat /5/ rezultatele teoretice și experimentale legate de proprietățile flăcărilor difuziv turbulente ale combustibililor gazeși, utilizate în majoritatea instalațiilor de ardere, scoțind în evidență avantajele acestora față de flăcările cinetice. O lucrare mai nouă despre principiile fizice de bază ale tehnicii arderii a fost publicată de GÜNTHER /6/, arderea combustibililor gazeși situându-se în primul plan. Se prezintă un volum mare de date experimentale, care pot servi la prezentarea sub formă de relații empirice a proceselor parțiale ale arderii.

b) Din cauza temperaturilor ridicate din focare, schimbul de căldură prin radiație are un rol dominant. Transferul de căldură prin convecție este mai puțin important și în majoritatea cazurilor practice poate fi determinat cu relațiile adimensionale între numerele NUSSELT, REYNOLDS și PRANDTL. Ca indicații generale pot fi folosite lucrările devenite clasice /7,8,9/, în care relațiile de calcul sînt propuse pentru diferite cazuri de instalații termice. Astfel, SCHMIDT /7/ recomandă pentru calculul transferului de căldură prin convecție într-un cuptor de cracare o relație de forma :

$$Nu = 0,040 (Re)^{0,75} \quad (2.1.1)$$

Principiile teoretice de bază ale transferului de căldură prin radiație au fost expuse de HOTTEL și SAROFIM /10/, apoi particularizate pentru medii absorbante și difuze de VISKANTA /11/ și BLOH /12/. În aceste lucrări sînt cuprinse problemele esențiale care stau la baza calculului și construcției modelelor de radiație :

- calculul caracteristicilor radiației (emisii și absorbția volumelor de gaz la un cîmp de concentrații și temperaturi cunoscute);
- calculul schimbului de căldură prin radiație între toate punctele spațiului focarului la un cîmp de temperatură și la caracteristici ale radiației volumelor gazoase și a pereților cunoscute.

Aplicabilitatea acestor cercetări în domeniul practicii ingineresti este greoaie pe motivul necesității unui volum mare

de cunoștințe experimentale și calcule. Rezultatele obținute sînt aproximative; însă în actuala etapă de dezvoltare a calculatoarelor s-au făcut progrese importante în calculul cît mai exact al radiației, mai ales prin așa numita "metodă a zonei" /10/.

e) Legile de bază ale procesului curgerii și al amestecului se găsesc în majoritatea manualelor de fizică; o prezentare clară și cuprinzătoare au dat-o LANDAU și LIFSHITZ /13/. GYARMATI /14/ deduce ecuațiile generale de bilanț ale unui fluid ce curge și ale cărui componente reacționează, ecuații utilizate și în lucrarea de față.

Studiul detaliat al flăcărilor de difuzie implică și cunoașterea mecanismului turbulenței, acest lucru rezumîndu-se în practica inginerescă la alegerea celui mai potrivit model al turbulenței. În acest sens lucrările lui KOLMOGOROV /15/, PRANDTL /16/ și ROTTA /17/ sînt fundamentale.

Un real progres în studiul flăcării jetului limitat s-a realizat prin cercetările lui THRING și NEWBY /18/, CRAYA și CURTET /19/, stabilindu-se criteriile de similitudine între camerele de ardere și modelele izoterme pentru determinarea procesului de recirculare a gazelor arse și a lungimii flăcării.

În ultimul timp au devenit cunoscute procedee, care permit calculul cîmpului curgerii și al amestecului, doar cu ajutorul datelor de intrare și a condițiilor de contact. Ca deschizător de drum trebuie amintit în primul rînd SPALDING și grupul de cercetători de la Imperial College - London. Aceștia au arătat primii că metodele de rezolvare numerică a ecuațiilor curgerii (NAVIER-STOKES) completate cu modele simple ale turbulenței și reacției de ardere, permit și inginerului, cu cheltuieli de calcul acceptabile, să prevadă comportarea flăcărilor în focare industriale. Lucrarea fundamentală /20/ publicată de un grup de autori de la Imperial College - London, descrie modelul de calcul al curenților și flăcării bidimensionale (ecuații de tip eliptic) cu recirculare, fără a trata însă schimbul de căldură prin radiație. Procedeu limitat inițial la curenți bidimensionali, a fost continuu îmbunătățit /21/, putîndu-se folosi și la curenți tridimensionali.

d) Printre primele lucrări experimentale, care s-au ocupat de flăcările de difuzie turbulente din camere de ardere,



sînt acelea ale lui RUMMEL /22/, dovedind cã arderea este controlatã de amestec, deoarece timpul de reacție este cu mult mai mic față de timpul de formare al amestecului combustibil.

Mãsurãtori exacte asupra procesului arderii și lungimii flãcãrii de hidrogen au permis lui VRANOS și alții /80/ elaborarea de ecuații diferențiale, care prin integrare determinã aproximativ structura flãcãrii turbulente de difuzie, adicã structura impulsului, cãldurii și masei de combustibil, dupã propagarea lor în mediul în care se descarcã jetul.

Cercetãri experimentale detaliate referitor la arderea difuzivã a metanului într-un focar cilindric au fost efectuate de GUNTHER /6/, obținîndu-se relații empirice ce dau posibilitatea calculului arderii complete și a comparãrii structurii jetului limitat cu cel liber.

e) Bazele teoretice și problemele practice ale principalelor metode de mãsurare, accentuînd importanța acestora în cadrul cercetãrilor termotehnice, sînt dezvoltate în lucrãrile lui TOLLE /23/ și APOSTOLESCU /24/. Comunicãrile anuale ale Fundației internaționale de cercetãri a flãcãrii (IFRF - I'Jmuiden), referitor la echipamentele, metodele și aparatele utilizate în cercetare, reprezintã o cãlãuzã de nãdejde în abordarea problemelor arderii din laboratoarele și uzinele noastre /25/.

Considerînd calculatorul electronic ca un instrument de rezolvare a modelelor matematice, se impune și un studiu critic asupra diferitelor procedee numerice utilizate. Lucrarea lui ROACHE /26/ dã în acest sens rãspunsuri, mai ales privind exactitatea și stabilitatea diferitelor procedee numerice.

---

## 2.2. CLASIFICAREA MODELELOR MATEMATICE ALE ARDERII ȘI DISTRIBUȚIEI FLUXULUI DE CĂLDURĂ ÎN FOCARE

---

Datoritã interesului crescînd al industriei în elaborarea noilor tehnologii și favorizat de introducerea calculatoarelor electronice, în ultimul deceniu s-au dezvoltat un mare numãr de modele matematice pentru studiul proceselor din focare.

O clasificare a modelelor de calcul poate avea loc din mai multe puncte de vedere, astfel :

- dupã felul agregatului (focare pentru generatoare de abur, cuptoare industriale),

- după natura combustibilului (gazos, combustibil lichid ușor sau greu, cărbune pulverizat) și
- după scopul calculului și gradul de complexitate.

Într-o lucrare de specialitate /27/ au fost rezumate principalele modele de calcul cunoscute pînă acum în trei tipuri :

- Tipul 1 - reprezintă așa numitele modele de calcul globale, care permit doar calculul transferului total de căldură și a temperaturii la ieșirea din focar.
- Tipul 2 - cuprinde modelele de calcul care permit determinarea desfășurării unidimensionale a arderii și a distribuției fluxului de căldură.
- Tipul 3 - servește la calculul distribuției pluridimensionale a fluxului de căldură, la tratarea simultană a cîmpurilor curgerii, concentrațiilor și temperaturilor.

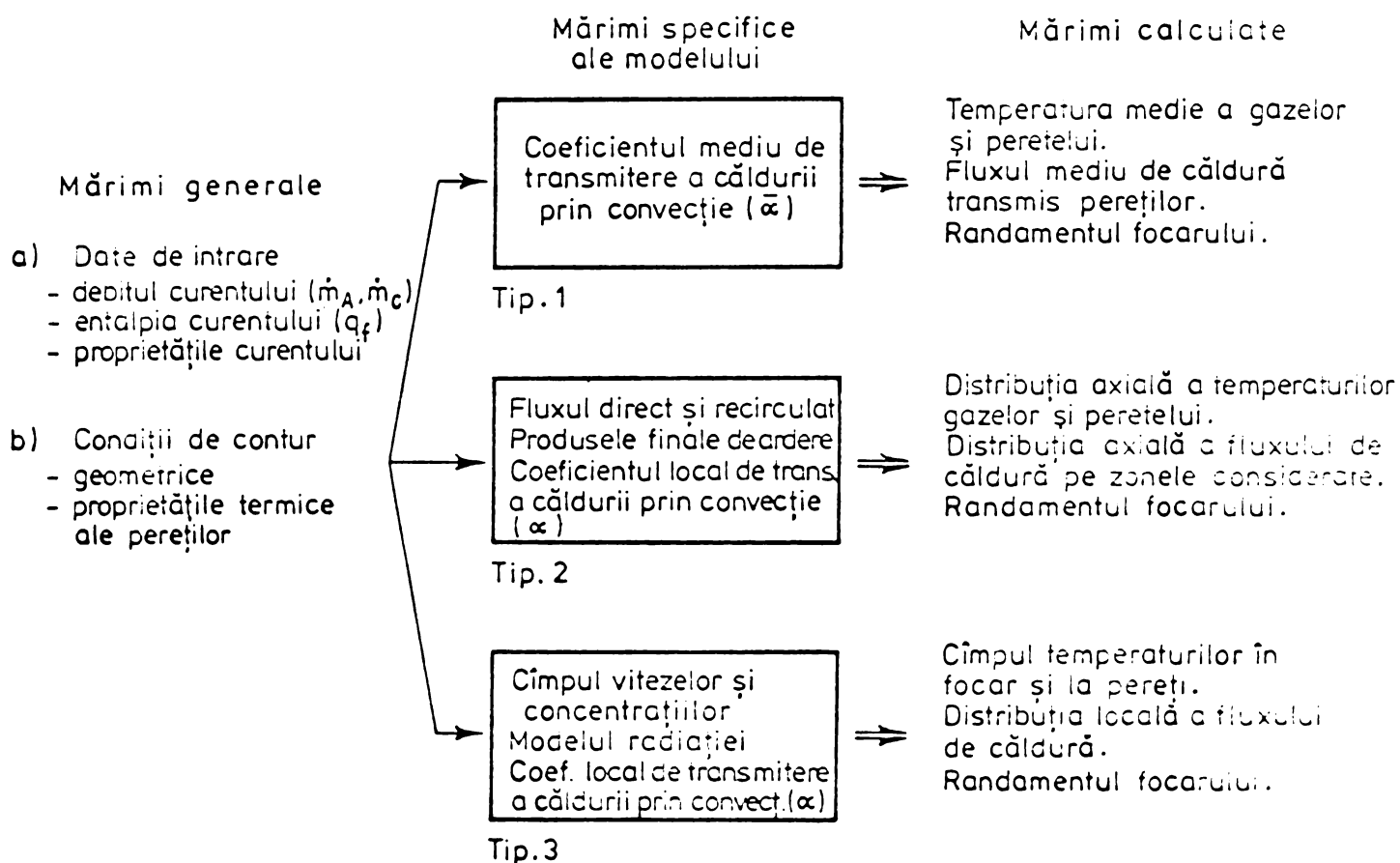


Fig.2.1. Schema calculului distribuției fluxului de căldură în focare cu modelele Tip 1,2,3.

Toate cele 3 modele de calcul au același scop : determinarea fluxului de căldură din focare funcție de mărimile cunoscute. Informațiile dobîndite cresc de la modelul de Tipul 1

la Tipul 3, fig.2.1 și fig.2.2.

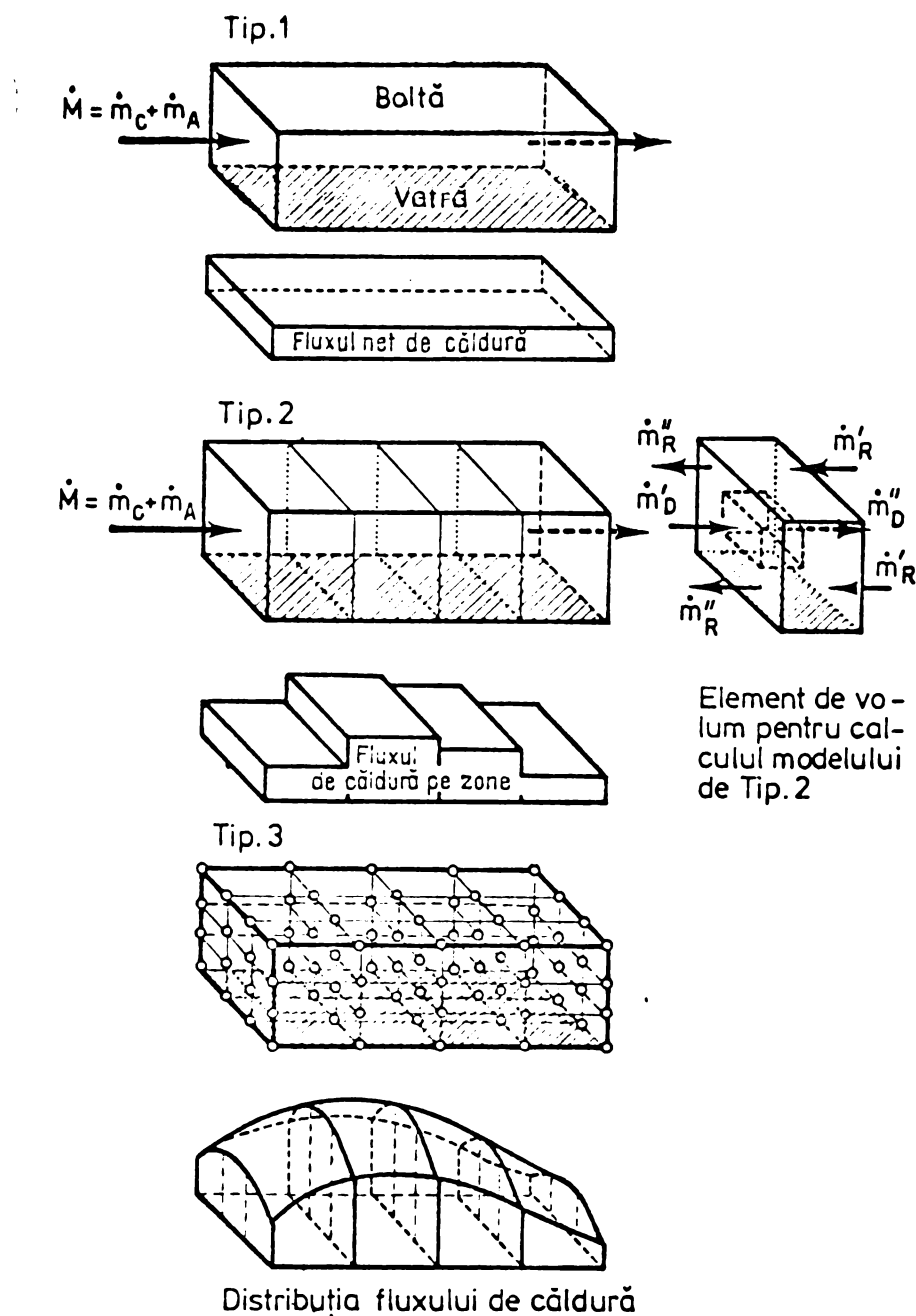


Fig.2.2. Reprezentare schematică a divizării focarului funcție de tipul modelului (Tip 1,2,3).

Modelul de calcul de Tipul 1 tratează camera de ardere ca un tot unitar. El se bazează pe presupunerea că procesele care au loc în interiorul focarului au la bază un amestec ideal, caracterizat prin valorile medii ale temperaturilor, concentrațiilor, proprietăților radiative și convective ale volumelor de gaz. Acest tip de model a fost folosit în practica inginerescă mai ales la calculul ecranării focarelor generatoarelor de abur și a cuptoarelor din industria petrochimică (reactoare).



Exemple tipice și bine documentate ale acestui tip de model sînt "well stirred furnace model" după HOTTEL și SAROFIM /10/ și metoda GURVICI /28/ pentru calculul schimbului de căldură în focar.

Utilizarea modelelor este totuși limitată, putînd apărea abateri mari de la realitate în cazul aplicării acestora la focare lungi cu secțiune mică, cît și atunci cînd avem temperaturi de funcționare joase. Un avantaj al acestui tip de model este cheltuiala de calcul redusă, dezavantajele trebuie căutate în faptul că nu avem informații despre procesele parțiale din camera de ardere.

Modelul de Tipul 2, s-a dezvoltat inițial pentru calculul focarului, cazanului cu tub de flacără, pentru a determina repartiția fluxului de căldură în lungul direcției principale de curgere. În cazul cel mai simplu se presupune o curgere tip "piston" de-a lungul întregii camere de ardere. Dacă modelul de Tip 1 se baza pe presupunerea că se poate determina valoarea medie a fluxului de căldură pentru întreaga cameră de ardere, la modelul de Tip 2 această presupunere este valabilă pentru elementele singulare în care a fost împărțit, fig.2.2. Mărimile caracteristice ale flăcării (concentrații, temperaturi etc.) sînt considerate constante și se calculează pe baza bilanțurilor de masă și energie pentru fiecare volum finit sub formă de disc al focarului. Se poate calcula astfel distribuția unidimensională a fluxului de căldură la pereți. Modelul de calcul cel mai cunoscut de genul acesta este /10/, /29/ pentru focare cu gaz.

Modelele de calcul simplificate, în care este considerată curgerea tip "piston" nu permit determinarea influenței curenților de recirculație asupra calculului distribuției fluxului de căldură. Îmbunătățirile aduse se pot grupa în două feluri :

- GUNTHER /30/ împarte focarul în două domenii; primul cuprinde zona din focar unde există atât curentul primar cît și cel de recirculare, fiind tratat ca un amestec ideal (Model de Tip 1). Acestui domeniu i se atașează o zonă de curgere tip "piston" (Model de Tip 2). Modelul modificat constă în esență dintr-o cuplare a celor două tipuri de modele tratate.
- HADLEY și JACKSON /31/ includ în calculul mărimilor de intrare aportul gazelor recirculate; considerînd un amestec omogen

format din combustibil, aerul necesar arderii și gazele recirculate avînd temperatura produselor de ardere la ieșirea din focar. Pentru geometrii simple de focare se recomandă determinarea parametrilor fluxului recirculat după THRING și NEWBY /18/ sau CRAYA și CURTET /19/.

Utilizarea modelelor de Tip 2 a dat rezultate bune în calculul focarelor lungi cu zone de recirculație restrinse. Evaluări mai slabe se obțin cînd zona de recirculație este extinsă la aproape întreaga lungime a camerei de ardere, apărînd în secțiunile perpendiculare pe direcția principală de curgere gradienti mari ai concentrațiilor și temperaturii. Pentru astfel de cazuri și mai ales cînd axa flăcării este înclinată față de axa focarului, sînt necesare modele de calcul pluridimensionale - tip 3.

Aceste modele pot da răspunsuri la următoarele probleme din focare :

- distribuția temperaturilor și a fluxului de căldură
- calculul curgerii și al concentrațiilor
- determinarea produșilor poluanți.

La modelul de Tip 3 se divide camera de ardere de-a lungul sistemului de coordonate ales, cît și transversal pe acesta în domenii parțiale, fig.2.2. În funcție de geometria camerei de ardere și repartiția flăcării, sînt necesare modele de calcul bidimensionale sau tridimensionale. O problemă tipic bidimensională este calculul unui focar circular axial-simetric cu admisia combustibilului și aerului necesar arderii de-a lungul axei de simetrie. Funcție de sistemul de coordonate ales, problemele bidimensionale se pot extinde și la focare paralelipedice sau sferice.

La rîndul lor modelele de calcul de Tip 3 se pot împărți în două grupe, funcție de mărimile ce doresc a fi calculate:

- calculul distribuției pluridimensionale a fluxului de căldură și temperaturilor - Tip 3a
- calculul distribuției spațiale a vitezelor și concentrațiilor - Tip 3b.

Primul grup de modele (Tip 3a) se bazează pe așa numitul procedeu al "zonei" dezvoltat de HOTTEL și SAROFIM /10/ și contribuie în rezolvarea bilanșurilor energetice ale volumelor camerei de ardere, în timp ce la modelele de calcul ale celei de a doua grupe (Tip 3b), pe lîngă bilanșurile energetice, se calcu-

lează și ecuațiile de transport.

La procedeul "zonei" camera de ardere și suprafața pereților se divide într-un număr finit de volume și arii, numite zone. Fiecărei zone  $i$  se atribuie o valoare caracteristică (medie) a mărimilor câmpului. Se scriu apoi bilanșurile energetice asemănător cu cele de la Tipul 1 și 2 pentru fiecare zonă în parte. Pentru aceasta trebuie cunoscute o serie de date privind câmpul vitezelor, concentrațiilor, coeficienții de transfer prin convecție, mărimile turbionare de schimb, proprietățile radiative ale volumelor și suprafețelor etc. O parte din aceste date sînt luate din măsurători directe sau apreciate cu ajutorul relațiilor empirice. Rezultă de aici principalele dezavantaje ale metodei "zonei" :

- necesită un număr mare de date de intrare, care sînt specifice fiecărui tip de flacără, sort de combustibil, geometrie a focarului;
- rezolvîndu-se doar bilanșurile energetice se dă un răspuns parțial la complexul de fenomene din camerele de ardere;
- împărțirea rigidă a camerei de ardere nu ține seama de amplasarea flăcărilor și zonelor de recirculație, încît o serie de mărimi de calcul de intrare sînt luate arbitrar;
- volum și timpi mari de calcul.

Cu toate acestea, procedeul "zonei" s-a folosit cu succes la calculul exact al schimbului de căldură prin radiație /32/, mai ales cînd s-au cunoscut cît mai veridic proprietățile radiative ale combustibilului și ale produselor de ardere. Schimbul de căldură a fost determinat mai ales cu așa numiții coeficienți totali și direcți de transfer prin radiație, care sînt dați pentru diferite geometrii de focare /33/.

BALMERT și REHWINKEL /34/ aplică metoda "zonei" la calculul unui focar de radiație pentru cazan. Cu toate că a utilizat o metodă simplificată a "zonei" și a considerat modele simple ale procesului curgerii și amestecului, a obținut rezultate satisfăcătoare, verificate apoi prin măsurători pe o instalație reală. LATSCH /35/ a îmbinat pentru prima dată ecuațiile semiempirice ale curgerii, amestecului și arderii complete cu metoda "zonei", obținînd pentru flăcările de difuzie închise o concordanță foarte bună între datele referitoare la

distribuția fluxului de căldură calculate și cele măsurate.

Metoda "zonei" a fost aplicată cu destul succes și la calculul focarelor generatoarelor mari de abur. Astfel STEWARD și GURUZ /36/ s-au ocupat de un focar încălzit cu păcură, WALL /37/ de un focar încălzit cu cărbune pulverizat, iar ARSCOTT /38/ determină fluxul de căldură în focarul unui generator de abur de 500 MW, folosind un model izoterm al curgerii la scară 1:16 și a teoriei difuziei pentru schimbul de căldură prin radiație. Rezultatele intermediare obținute pe modelul izoterm au fost folosite ca și date de intrare în procedeul MONTE CARLO de calcul al radiației. Măsurătorile experimentale pe cazanul de 500 MW au confirmat justetea metodei propuse.

Tipurile de modele expuse anterior au fiecare avantajul lor, legat mai ales de scopul calculului. Pentru calcule globale și expeditiv se recomandă modelele de Tip 1 și 2. Distribuții spațiale exacte ale temperaturilor și fluxului de căldură prin radiație se obțin cu modelul de Tip 3a, atunci când transferul de căldură prin convecție poate fi neglijat. Dezvoltarea în continuare a acestor tipuri de modele cu aplicabilitate la reacțiile de difuzie este în general limitată, datorită utilizării datelor experimentale sau a relațiilor empirice privind curgerea și amestecul. În același timp modelele de Tip 3b având la bază ecuațiile transportului de masă, impuls, specii chimice și energie, permit abordarea oricărui proces parțial din camera de ardere, cunoscând un număr redus de date de intrare și condițiile de contur. Corespunzător curgerii multidimensionale, ecuațiile de transport sînt ecuații diferențiale cu derivate parțiale, deduse pe baza bilanțurilor la volumele infinitezimale ale camerei de ardere. Scopul metodei este de a rezolva simultan acest sistem de ecuații diferențiale în dependență de condițiile inițiale și de contur corespunzătoare modului de funcționare a focarului. Pentru aceasta trebuie în primul rînd abordate problemele legate de :

- rezolvarea numerică și
- stabilirea și includerea diferitelor modele parțiale (ex. turbulența, radiația etc.).

Majoritatea metodelor numerice de rezolvare a ecuațiilor de transport publicate pînă în prezent au la bază metoda diferențelor finite; există totuși și lucrări care pentru rezolva-

rea acestora utilizează metoda elementelor finite. Alegerea uneia din aceste metode depinde de forma matematică a ecuațiilor diferențiale ce descriu procesul. Astfel deosebim pentru curgeri cu viteză subsonică :

- curenți bidimensionali parabolici (curgeri în stratul limită, jeturi libere);
- curenți bidimensionali eliptici (curgeri cu recirculare);
- curenți tridimensionali, care raportați la o direcție sînt parabolici (curenți în stratul limită tridimensional);
- curenți tridimensionali generali.

Algoritmii de calcul pentru rezolvarea curenților bidimensionali cu ajutorul metodei diferențelor finite au fost stabiliți de mai mult timp. După o analiză critică ROACHE /26/ propune pentru curenți bidimensionali folosirea procedurii cu diferențe finite ce utilizează ca variabile dependente funcția de curent și viteza unghiulară a vârtejului, considerînd curgera staționară.

Una din cele mai importante metode de rezolvare a proceselor din focare, ce cuprind curenți eliptici staționari bidimensionali, a fost dată de GOSMAN și alții /20/. Ca variabile dependente se folosesc funcția de curent și viteza unghiulară a vârtejului. Prin integrarea ecuațiilor de transport pe volumele de control stabilite ale spațiului focarului se obține o formulă de substituție. Cu ajutorul acesteia se îmbunătățesc după fiecare ciclu iterativ, cîmpurile de mărimi ale variabilelor dependente, evaluate mai întîi grosolan, pînă cînd corespund condițiilor de contur.

Rezolvarea modelelor matematice ale arderii și transferului de căldură în focare, care au la bază ecuațiile de transport, se lovește de dificultatea includerii turbulenței în modelele de calcul. Pentru aceasta s-au căutat diferite modele ale turbulenței, multe din ele folosesc "viscozitatea" turbulentă pentru definirea mărimilor de schimb turbionar ale masei și entalpiei. Viscozitatea turbulentă poate fi definită ad-hoc /20/ sau calculată cu ajutorul lungimii de amestec a lui PRANDTL /16/; mai nou /39/ aceasta se calculează din energia cinetică turnionară  $k$  și dintr-o a doua mărime care descrie caracterul local al turbulenței, de exemplu :  $(l)$  - scara tur-



tulenței, sau,  $(W)$  - patratul frecvenței medii a pulsațiilor turbulente, sau  $(\epsilon)$  - coeficientul de difuzie turbulentă.

SPALDING /39/ a dat o serie de exemple pentru utilizarea modelului k-W propus de el. PAI, RICHTER și LOWES /40/ au folosit modelul k-W al turbulenței înglobându-l în programul de calcul al lui GOSMAN pentru calculul curgerilor bidimensionale închise fără turbulență inițială a fluxurilor. S-au obținut rezultate multumitoare privind concordanța câmpurilor vitezelor calculate și măsurate.

După punerea la punct a programelor de calcul pentru rezolvarea ecuațiilor de transport, luându-se în considerare și un model al turbulenței, s-au obținut rezultate remarcabile privind calculul curenților turbulenți închisi, fiind astfel aproape de descrierea proceselor din focare. La acestea mai trebuia adăugat mecanismul reacției de ardere ce depinde de tipul de combustibil utilizat, cât și luarea în considerare a radiației.

Introducerea schimbului de căldură prin radiație în ecuația generală de bilanț energetic nu poate fi făcută direct, datorită naturii diferite a fenomenelor studiate, ceea ce transpus matematic duce la imposibilitatea rezolvării unei cuplări a ecuațiilor diferențiale cu derivate parțiale cu cele integro-diferențiale. Pentru a putea permite rezolvarea cuplaturii, este necesar să se utilizeze ipoteze simplificatoare. Una din acestea propune limitarea schimbului de căldură prin radiație la una, două, patru sau chiar șase direcții /41/, astfel încât ecuațiile integro-diferențiale ale schimbului de căldură prin radiație pot fi aduse la forma ecuațiilor diferențiale obișnuite, înglobate în ecuațiile de transport ca termen de sursă și rezolvate concomitent cu acestea. Cele mai cunoscute modele de schimb de căldură prin radiație au fost propuse de MILNE-EDDINGTON /11/ și SCHUSTER-SCHWARZSCHILD /42/.

Primul model de calcul al unui focar industrial având la bază rezolvarea aproximativă a ecuațiilor de transport a fost conceput de PUN și SPALDING în 1967 /20/. Ei au calculat fluxurile de difuzie turbulente ale unui combustibil gazos într-un focar axial-simetric, utilizând metoda de rezolvare propusă de GOSMAN. Pentru aceasta au folosit o ipoteză ad-hoc a viscozității turbulente, un model simplu al reacției bazate pe

ipoteza "amestec = ars", neluând în considerare schimbul de căldură prin radiație. Datorită acestor simplificări metoda nu a fost verificată experimental.

Primele verificări experimentale ale unui model matematic al arderii și transferului de căldură în focar au fost efectuate de GIBSON și MORGAN /43/. Ei au dezvoltat un program de calcul pentru o flacără de cărbune pulverizat, închisă, bi-dimensională. Deși calculele derivă direct din acelea ale lui PUN și SPALDING, ele totuși tratează un sistem mai complex din trei puncte de vedere. În primul rând curentul conține particule solide care reacționează cu gazele cu viteză finită, în al doilea rând sistemul este radiant termic și în al treilea rând camera de ardere are pereți răciți izotermic. Scopul calculului a fost transferul de căldură la pereții camerei de ardere, pe care le-au comparat cu măsurătorile pe un focar experimental la B.C.U.R.A. Rezultatele au fost foarte bune pentru flăcările neturbionate inițial, în timp ce pentru cele turbionate s-au obținut rezultate mai puțin satisfăcătoare.

Special pentru a obține date cu care să se poată verifica modelele de schimb de căldură prin radiație simplificate cât și procesele de curgere și amestec, I.F.R.F. - I'Jmuiden a inițiat un program detaliat de cercetare. PAI și LOWES /40/, utilizând programul eliptic al lui GOSMAN și modelul turbulenței k-W al lui RICHTER, au obținut rezultate bune privind arderea și amestecul la o flacără de gaz metan.

RICHTER și QUAK /44/ au verificat un model îmbunătățit al arderii cărbunelui pulverizat într-un cuptor de ciment. Astfel, utilizând un model cu patru fluxuri (direcții) pentru schimbul de căldură prin radiație au obținut rezultate multumitoare privind distribuția fluxului de căldură de-a lungul direcției principale de curgere.

Cercetări mai recente efectuate la Universitatea din Stuttgart (I.V.D.) au fost axate în direcția perfecționării modelelor matematice ale radiației pentru flăcările combustibililor lichizi, ZAYOUNA /45/ pentru formarea produșilor  $\text{NO}_x$  /46/ CHAE și /47/ MULLER, având la bază metoda de calcul dezvoltată de PUN și SPALDING.

ZUPER /21/ a informat despre un procedeu de calcul numeric al ecuațiilor de transport pentru masă, impuls, specii chimice și energie dezvoltat independent de cel al lui SPALDING,

aplicabil la geometrii tridimensionale. Schimbul de căldură prin radiație este descris și aici cu un model foarte simplificat, încît concordanța dintre mărimile calculate și măsurate este în general mai slabă ca la modelele bidimensionale.

Din trecerea în revistă a bibliografiei consultate, se desprind următoarele concluzii :

- în ultimii zece ani, dată fiind marea răspîndire în energetică și industrie a flăcărilor difuziv-turbulente, cunoștințele despre procesele parțiale ale arderii și transferului de căldură au crescut considerabil;
- pentru valorificarea rapidă a acestor rezultate în scopul obținerii unei proiectări și exploatare de înalt nivel a agregatelor de cazan, cercetarea actuală a ales drumul de compromis dintre empirism și raționalism, adică "experimentul intelectual" sau - cum este mai larg cunoscut - modelul matematic;
- rațiunea dezvoltării în continuare a modelelor matematice multidimensionale în scopul prevederii proceselor din focarele generatoarelor de abur, constă în faptul că aceste modele, avînd la bază legile fundamentale ale fizicii și chimiei, permit cu mici modificări abordarea oricărui fenomen parțial din camerele de ardere;
- rezultatele obținute, utilizînd modele matematice multidimensionale ale camerei de ardere, depind de calitatea modelelor parțiale ale turbulenței, reacției de ardere și schimbului de căldură prin radiație, care în multe cazuri mai pot fi și trebuie îmbunătățite sau dezvoltate (ex. flăcările de combustibil lichid);
- cercetarea experimentală trebuie aplicată în continuare, mai ales la determinarea constantelor empirice conținute în modelele parțiale și apoi de a verifica în ce măsură aceste modele speciale de calcul pot fi extinse și la alte fenomene (ex. la arderea diferitelor sorturi de combustibili);
- rezultă, din cele expuse mai sus, necesitatea dezvoltării în continuare a modelelor matematice, bidimensionale ale arderii și transferului de căldură în focarele industriale, ca o problemă deschisă de perspectivă cu mari aplicabilități în practică.



### **3** ELABORAREA MODELULUI MATEMATIC

#### 3.1. ECUAȚIILE MIȘCĂRII

##### 3.1.1. METODE DE CERCETARE - Comparație între descrierea mișcării a lui LAGRANGE și EULER

Studiul mișcării unui fluid se poate face în două moduri diferite :

Metoda LAGRANGE abordează mișcarea unei particule fluide  $dM$  în același fel ca mișcarea unui punct material, identificându-i poziția prin

$$\vec{r} = \vec{r}(\vec{R}, t), \quad (3.1-1)$$

la momentul  $t = 0$ ;  $\vec{r} = \vec{R}$ , fig.3.1-a.

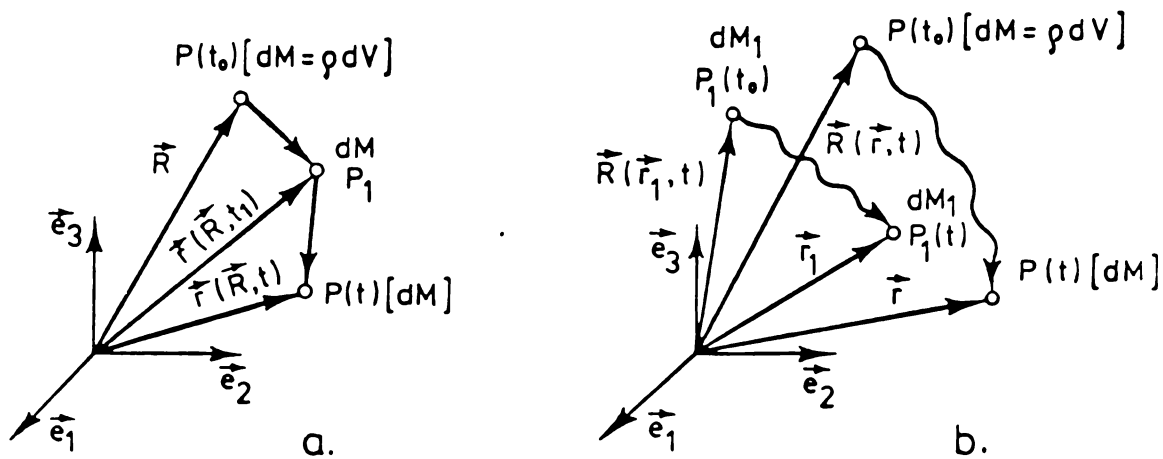


Fig.3.1. Notății pentru descrierea mișcării : a) după LAGRANGE; b) după EULER.

Viteza particulei la momentul  $t$ , este :

$$\vec{v} = \frac{d\vec{r}}{dt} = \left( \frac{\partial \vec{r}}{\partial t} \right)_{\vec{R}} = \vec{v}(\vec{R}, t) \quad (3.1-2)$$

Deoarece LAGRANGE se referă întotdeauna la particule materiale, metoda mai poate fi numită ca "descrierea materială a mișcării".

Metoda EULER examinează câmpul vitezelor în diferite puncte ale spațiului ocupat de fluidul în mișcare și variația în timp a acestor viteze, fig.3.1-b.

Astfel

$$\vec{v} = \vec{v} [\vec{R}(\vec{r}, t), t] = \vec{v}(\vec{r}, t), \quad (3.1-3)$$

modul de tratare al lui EULER numindu-se și "descrierea spațială a mișcării".

Deși notațiile vectoriale (3.1-1 - 3.1-3) au caracterizat sintetic deosebiriile dintre cele două metode de studiu, se pune întrebarea firească, care mod de tratare a mișcării este mai potrivit pentru modelele matematice ale curgerii, arderii și transferului de căldură din focare.

Metoda LAGRANGE, fiind strâns legată de noțiunea de particulă materială, se pretează la studiul arderii amestecurilor gaz - substanță solidă, așa cum se prezintă o flacără de cărbune pulverizat. În acest caz interesează traiectoria particulei de cărbune pentru a obține o ardere optimă, completă în spațiul focarului.

În cazul flăcărilor omogene, metoda poate fi aplicată la studiul concentrațiilor diferitelor specii chimice (ex. formarea  $\text{NO}_x$  /48/), urmărindu-se traiectoria unui volum elementar de gaz de la intrare pînă la ieșirea din focar.

O astfel de descriere a mișcării cere, pentru fiecare particulă studiată, o ecuație proprie; deoarece particulele se influențează reciproc, aceste ecuații trebuie cuplate între ele. Pentru a urmări numai mișcarea unei mase de fluid formată din  $n$  particule sînt necesare  $n$  ecuații, conducînd la soluții dificile și cheltuieli de calcul foarte mari.

Pentru a descrie structura și comportarea flăcărilor, în majoritatea cazurilor este suficient să cunoaștem cîmpurile locale ale vitezelor, concentrațiilor, temperaturilor etc; aceasta corespunzînd metodei EULER. Calculele se simplifică mult prin utilizarea analizei vectoriale; astfel că pentru determinarea valorilor locale ale unei mărimi din cîmp (făcînd abstracție de condițiile inițiale și de contur), trebuie rezolvată o singură ecuație. Cheltuielile de calcul sînt mult mai mici ca la metoda LAGRANGE. Ecuațiile curgerii tratate în continuare, cît și modelul matematic al arderii și transferului de căldură, au la bază metoda EULER.

### 3.1.2. ECUAȚII DE BILANȚ

#### 3.1.2.1. FORMA GENERALĂ A ECUAȚIILOR DE BILANȚ

Ecuatiile de bilanț (continuitate) exprimă principiul conservării materiei și totodată al continuității (neexistența unor spații lipsite de materie într-o masă fluidă în mișcare).

Se consideră  $\Phi$  o proprietate conservativă oarecare a unui fluid dintr-un volum  $V$  aflat în repaus față de un sistem de coordonate, fig.3.2. Dacă  $\rho$  este masa specifică a fluidului și  $\varphi$  valoarea specifică a proprietății, atunci

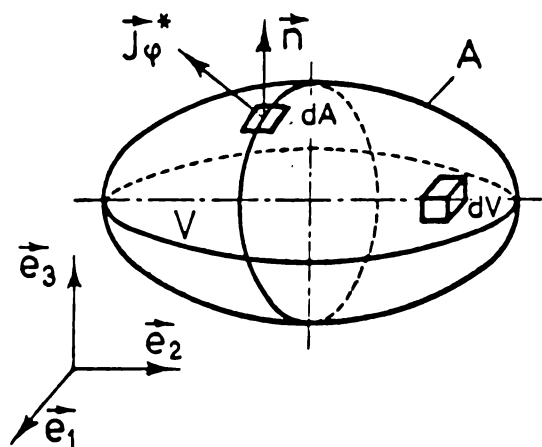


Fig.3.2. Notății pentru deducerea ecuației generale de bilanț.

$$\Phi = \int_V \rho \cdot \varphi \cdot dV, \quad (3.1-4)$$

iar variația în raport cu timpul este :

$$\frac{d\Phi}{dt} = \int_V \frac{\partial}{\partial t} (\rho \cdot \varphi) dV. \quad (3.1-5)$$

Variația proprietății  $\Phi$  se produce din următoarele motive:

- datorită curgerii (variația lui  $\Phi$  pe suprafața  $A$  a volumului  $V$ );
- din cauza formării (sursă) sau dispariției proprietății  $\Phi$  în volumul considerat.

Fluxul curentului cu proprietatea  $\Phi$  pe suprafața  $A$ , ce delimitează volumul considerat, este caracterizat prin vectorul  $\vec{J}_\varphi^*$  (fiind pozitiv când vectorul viteză  $\vec{v}$  este îndreptat în afară)

$$\vec{J}_\varphi^* = \rho \cdot \varphi \cdot \vec{v}_\varphi, \quad (3.1-6)$$

Termenul de sursă  $S_\varphi$ , reprezintă cantitatea ce se crează (sau dispare) în volumul elementar pe unitatea de timp.

Astfel ecuația de bilanț (3.1-5) devine :

$$\int_V \frac{\partial}{\partial t} (\rho \cdot \varphi) dV = - \oint_A \rho \varphi \vec{v}_\varphi \cdot \vec{n} dA + \int_V S_\varphi \cdot dV \quad (3.1-7)$$

Aplicînd primului termen din membrul drept TEOREMA

GAUSS-OSTROGRADSKI, rezultă

$$\int_V \frac{\partial}{\partial t} (\rho \cdot \varphi) dV = - \int_V \operatorname{div}(\rho \cdot \varphi \vec{v}_\varphi) dV + \int_V S_\varphi dV \quad (3.1-8)$$

reprezentînd forma integrală a ecuației de bilanț a proprietății  $\Phi$ , iar relația (3.1-9) forma diferențială.

$$\frac{\partial}{\partial t} (\rho \varphi) = - \operatorname{div}(\rho \cdot \varphi \vec{v}_\varphi) + S_\varphi \quad (3.1-9)$$

Forma definitivă a ecuației de bilanț utilizată în continuare la studiul mărimilor caracteristice a câmpurilor este:

$$\frac{\partial}{\partial t} (\rho \varphi) + \operatorname{div}(\rho \cdot \varphi \vec{v}_\varphi) - S_\varphi = 0 \quad (3.1-10)$$

---

### 3.1.3. ECUAȚII DE BILANȚ SPECIFICE PROCESELOR DE ARDERE ȘI TRANSMITERE A CĂLDURII

---

Pentru un fluid care curge și reacționează, ecuațiile de bilanț specifice sînt în primul rînd cele stabilite pentru:

- masă  $M$
- impuls  $I$
- masele diferitelor specii chimice  $M_j$
- entalpie  $H$

Notînd că în ecuația 3.1-10 proprietatea specifică generală  $\varphi$ , trebuie înlocuită cu proprietatea particulară scalară sau vectorială a câmpului studiat.

---

#### 3.1.3.1. ECUAȚIA DE BILANȚ PENTRU MASĂ

---

Notînd

$$\Phi \equiv M \quad (3.1-11)$$

$$\varphi = \frac{M}{M} = 1$$

este masa specifică și în tot mediul continuu  $S_\varphi = 0$ .  
 În (3.1-10) rezultă :

$$\frac{\partial \rho}{\partial t} + \operatorname{div}(\rho \cdot \vec{v}) = 0 \quad (3.1-12)$$

ecuația continuității.

3.1.3.2. ECUAȚIA DE BILANȚ PENTRU IMPULS

Pornind de la ecuația fundamentală a dinamicii (legea a doua a lui NEWTON)

$$M \frac{d\vec{v}}{dt} = \sum \vec{F} \quad (3.1-13)$$

aceasta poate fi extinsă asupra unei mase de fluid ce ocupă un volum elementar  $dM = \rho dV$  și asupra căruia acționează o forță masică exterioară, aferentă elementului de masă  $d\vec{K}$ , cât și o forță de tensiune aplicată asupra masei fluide limitate de elementul de suprafață  $dA_n(d\vec{S})$ .

Cu notațiile din fig.3.3 putem scrie :

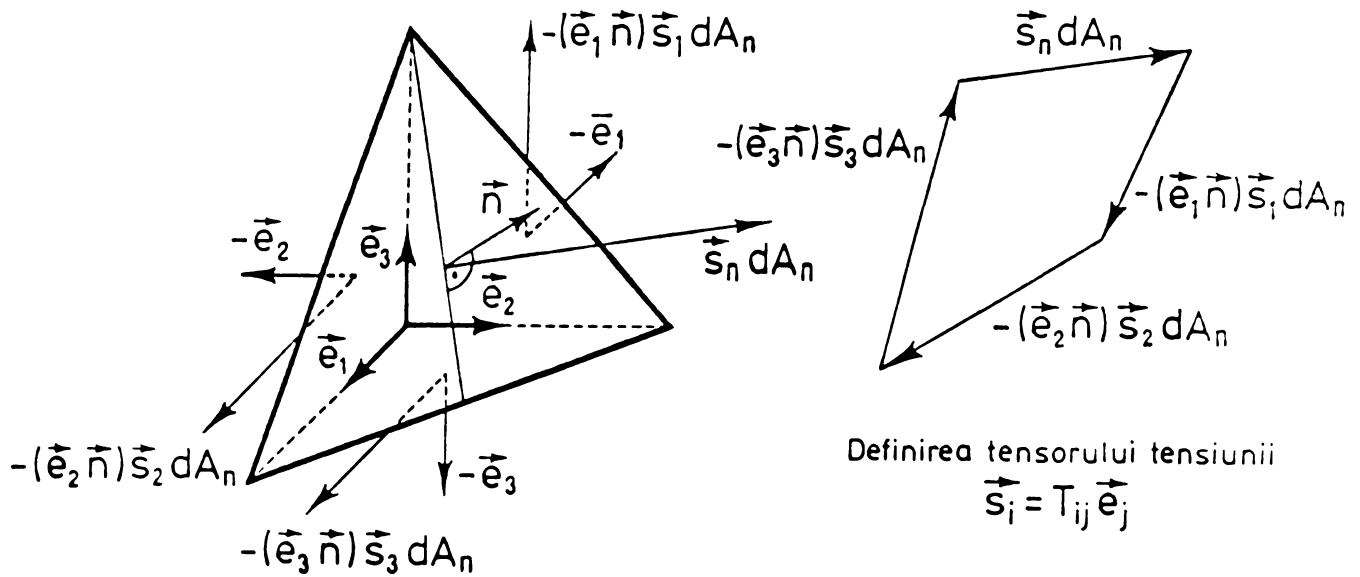


Fig.3.3. Determinarea rezultantei efortului tangențial.

$$\begin{aligned} d\vec{S} &= \oint_{dA} \vec{s}_n dA_n = \oint_{dA} (\vec{e}_i \vec{n}) \vec{s}_i dA_n = \oint_{dA} n_i T_{ij} \vec{e}_j dA_n = \\ &= \oint_{dA} \vec{n} T dA_n \end{aligned} \quad (3.1-14)$$

Prin utilizarea formulei lui GREEN relația (3.1-14) devine :

$$d\vec{S} = \int_{dA} \vec{n} T dA_n = \text{Div } T dV \quad (3.1-15)$$

Forța masică exterioară este definită prin :

$$d\vec{K} = \rho \cdot \vec{k} dV \quad (3.1-16)$$

unde  $\vec{k}$  este forța masică specifică.

Conform legii lui NEWTON (3.1-13) făcând înlocuirile (3.1-15) și (3.1-16) avem :

$$\rho \frac{d\vec{v}}{dt} = \text{Div } T + \rho \vec{k} , \quad (3.1-17)$$

care este ecuația de bilanț a impulsului sub formă diferențială. Așa cum s-a arătat, în lucrare preferăm descrierea mișcării după EULER, în acest caz ecuația (3.1-17) devine :

$$\rho \frac{d\vec{v}}{dt} = \frac{\partial}{\partial t}(\rho \vec{v}) + \text{Div}(\rho \vec{v} \vec{v}) \quad (3.1-18)$$

sau

$$\frac{\partial}{\partial t}(\rho \vec{v}) + \text{Div}(\rho \vec{v} \vec{v}) = \text{Div } T + \rho \vec{k} \quad (3.1-18')$$

Tenzorul eforturilor unitare  $T$  se descompune în două părți : tensiunile viscoase  $T_v$  și presiunea statică  $pE$ ; astfel că ecuația de bilanț pentru impuls ia forma (ecuațiile NAVIER-STOKES):

$$\frac{\partial}{\partial t}(\rho \vec{v}) + \text{Div}(\rho \vec{v} \vec{v} - T_v) + \text{grad } p - \rho \vec{k} = 0 \quad (3.1-19)$$

---

### 3.1.3.3. ECUAȚIA DE BILANȚ PENTRU SPECII CHIMICE (COMPONENTE ALE CONȚINUTULUI CARE CURG ȘI REACȚIONEAZĂ)

---

Pornind de la ecuația (3.1-10), notăm :

$$\begin{aligned} \Phi &\equiv M_j \\ \varphi &= \frac{M_j}{M} = m_j \end{aligned} \quad (3.1-20)$$

Fiind masa totală iar  $M_j$  masa speciei chimice  $j$ . Deoarece sumele parțiale  $M_j$  este egală cu masa totală  $M$ , putem scrie

$$\sum_j m_j = 1 \quad (3.1-21)$$

prin înlocuirea relației (3.1-20) în (3.1-10) avem :

$$\frac{\partial}{\partial t}(\rho \cdot m_j) + \text{div}(\rho m_j \vec{v}_j) - S_j = 0 \quad (3.1-22)$$

$\vec{v}_j$  este viteza absolută de transport a speciei chimice  $j$  și este compusă din :

$$\vec{v}_j = \vec{v} + \vec{w}_j \quad (3.1-23)$$



$\vec{v}$  - fiind viteza de deplasare a particulei de fluid, iar  $\vec{w}_j$  - viteza relativă de variație a masei particulei  $M_j$  în raport cu masa totală  $M$  (viteză de difuzie).

Între aceste viteze există relația de dependență :

$$\rho \vec{v} = \sum_j \rho m_j \vec{v}_j \quad (3.1-24)$$

care arată că densitatea fluxului masei totale este formată din suma densităților fluxurilor maselor parțiale ale speciilor chimice.

Densitatea fluxului de difuzie a speciei  $j$  poate fi definită prin :

$$\vec{J}_j \equiv \rho m_j \vec{w}_j, \quad (3.1-25a)$$

sau utilizând relația (3.1-23)

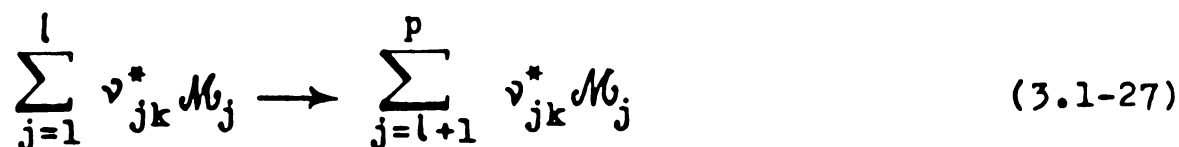
$$\sum_j \vec{J}_j = \sum_j \rho m_j \vec{w}_j = \sum_j \rho m_j \vec{v}_j - \sum_j \rho m_j \vec{v} = 0 \quad (3.1-25b)$$

Înlocuind relațiile (3.1-24) și (3.1-25b) în ecuația generală (3.1-22) obținem :

$$\frac{\partial}{\partial t}(\rho m_j) + \text{div}(\rho m_j \vec{v} - \vec{J}_j) - S_j = 0 \quad (3.1-26)$$

În cazul curgerii fără reacție chimică, termenul de sursă  $S_j$  este nul ( $\sum_j S_j = 0$ ).

Considerînd o reacție chimică ce se desfășoară după schema



membrul stîng reprezintă masa produselor inițiale, iar membrul drept, masa produselor finale.  $M_j$  - este masa molară a speciei  $j$ ,  $\nu_{jk}^*$  - coeficientul stoichiometric al speciei  $j$ , la a  $k$ -a reacție.

Conform convenției, membrul stîng are valoare negativă, iar membrul drept pozitivă. Pe baza principiului conservării masei putem scrie :

$$\sum_{j=1}^p \nu_{jk}^* \cdot M_j = 0 \quad (3.1-28)$$

Este util ca în locul coeficientului stoichiometric  $\nu_{jk}^*$

să se utilizeze coeficienți stoechiometrici raportați, ca de exemplu :

$$v_{jk} = \frac{v_{jk}^* \cdot M_j}{\sum_{j=l+1}^p v_{jk}^* M_j}, \quad (3.1-29)$$

raportul dintre masa speciei  $j$  care participă la a  $k$ -a reacție și masa produselor finale.

Fiecărei reacții ce se desfășoară după schema (3.1-27) îi este atribuită o viteză de reacție  $R_k$ , reprezentând cantitatea de masă ce ia naștere la a  $k$ -a reacție pe volum și în unitatea de timp.

Vitezele de formare  $S_{jk}$  a produsilor  $j$  la a  $k$ -a reacție sînt în următoarea dependență cu  $R_k$

$$S_{jk} = v_{jk} R_k \quad (3.1-30)$$

sau prin însumarea maselor parțiale rezultă termenul de sursă

$$S_j = \sum_{k=1}^n S_{jk} = \sum_{k=1}^n v_{jk} R_k \quad (3.1-31)$$

Astfel obținem ecuația completă de bilanț a speciei chimice  $j$  pentru  $n$  reacții chimice :

$$\frac{\partial}{\partial t}(\rho m_j) + \text{div}(\rho m_j \vec{v} + \vec{J}_j) - \sum_{k=1}^n v_{jk} R_k = 0 \quad (3.1-32)$$

#### 3.1.3.4. ECUAȚIA DE BILANȚ PENTRU ENTALPIE

Înlocuind în ecuația generală de bilanț (3.1-10) notațiile

$$\Phi \equiv H_g$$

$$\varphi = \frac{H_g}{M} = h_g \quad (3.1-33)$$

corespunzător entalpiei specifice totale  $h_g$  avem :

$$\frac{\partial}{\partial t}(\rho h_g) + \text{div}(\rho h_g \vec{v}_{h_g}) - S_{h_g} = 0 \quad (3.1-34)$$

Entalpia specifică totală  $h_g$  este formată din entalpia specifică  $h$  și energia cinetică specifică  $\frac{\vec{v}^2}{2}$

$$h_g = h + \frac{\vec{v}^2}{2} \quad (3.1-35)$$

Pentru deducerea termenului de sursă din ecuația (3.1-34) se pornește de la ecuațiile de bilanț pentru energiile cinetică și potențială :

$$\frac{\partial}{\partial t} \left( \rho \frac{\vec{v}^2}{2} \right) + \text{div} \left( \rho \frac{\vec{v}^2}{2} \vec{v} - \vec{v} \cdot \mathbf{T} \right) + \frac{T}{\text{Grad } \vec{v}} - \rho \vec{v} \cdot \mathbf{k} = 0 \quad (3.1-36)$$

$$\text{și} \quad \frac{\partial (\epsilon_p \cdot \rho)}{\partial t} + \text{div} (\rho \epsilon_p \vec{v}) + \rho \vec{v} \cdot \mathbf{k} = 0 \quad (3.1-37)$$

deduse din ecuațiile NAVIER-STOKES (3.1-19) și de continuitate (3.1-12).

În ecuația (3.1-37) s-a notat

$$\mathbf{k} = - \text{grad } \epsilon_p \quad (3.1-38)$$

După cum se știe, energia mecanică specifică  $\epsilon_m$  a unei particule a fluidului este formată din suma :

$$\epsilon_m = \frac{\vec{v}^2}{2} + \epsilon_p \quad (3.1-39)$$

și i se poate ataga o ecuație generală de bilanț de forma (3.1-40)

$$\frac{\partial}{\partial t} (\rho \epsilon_m) + \text{div} (\rho \epsilon_m \vec{v} + \vec{J}_{\epsilon_m}) - S_{\epsilon_m} = 0 \quad (3.1-40)$$

Din însumarea ecuațiilor (3.1-36) și (3.1-37) și compararea cu ecuația (3.1-40) rezultă că densitatea fluxului energiei mecanice  $\vec{J}_{\epsilon_m}$  este dată de produsul vectorului vitezei și tensorul eforturilor unitare :

$$\vec{J}_{\epsilon_m} = - \vec{v} \cdot \mathbf{T} \quad (3.1-41)$$

iar termenul de sursă de raportul

$$S_{\epsilon_m} = - \frac{T}{\text{Grad } \vec{v}} \quad (3.1-42)$$

Ecuația de bilanț a energiei totale  $\epsilon$ , a sumei dintre energia mecanică  $\epsilon_m$  și energia internă  $u$ , trebuie să fie fără termenul de sursă, pe baza primului principiu al termodinamicii:

$$\frac{\partial}{\partial t} (\rho \cdot \epsilon) + \text{div} (\rho \cdot \epsilon \vec{v} + \vec{J}) = 0 \quad (3.1-43)$$

Făcînd diferența dintre (3.1-43) și (3.1-40) se obține ecuația de bilanț a energiei interne,  $u = \epsilon - \epsilon_m$

$$\frac{\partial}{\partial t}(\rho u) + \text{div}(\rho u \vec{v} + \vec{J}_e - \vec{J}_{e_m}) + S_{e_m} = 0 \quad (3.1-44)$$

Densitatea fluxului de căldură este considerată diferența :

$$\vec{J}_q = \vec{J}_e - \vec{J}_{e_m} \quad (3.1-45)$$

Relația dintre energia internă și entalpie fiind

$$u = h - \frac{p}{\rho} = h_g - \frac{\vec{v}^2}{2} - \frac{p}{\rho} \quad (3.1-46)$$

prin introducerea expresiei (3.1-46) în ecuația (3.1-44) și după efectuarea calculelor se obține o nouă formă a ecuației (3.1-34)

$$\frac{\partial}{\partial t}(\rho h_g) + \text{div}(\rho \vec{v} + \vec{J}_q) - \text{div}(p \vec{v} + \vec{v} T) - \frac{\partial p}{\partial t} - \rho (\vec{v} \cdot \vec{k}) = 0 \quad (3.1-47)$$

de unde rezultă termenul de sursă

$$S_{h_g} = \frac{\partial p}{\partial t} + \text{div}(p \vec{v} + \vec{v} T) + \rho (\vec{v} \cdot \vec{k}) \quad (3.1-48)$$

Așa cum s-a mai arătat, tensorul eforturilor unitare  $T$ , poate fi descompus în două (partea presiunii statice  $pE$  și partea tensiunilor viscoase  $T_v$ )

$$T = - pE + T_v \quad (3.1-49)$$

Astfel se simplifică expresia termenului de sursă la forma :

$$S_{h_g} = \frac{\partial p}{\partial t} + \text{div}(\vec{v} \cdot T_v) + \rho (\vec{v} \cdot \vec{k}) \quad (3.1-50)$$

#### 3.1.4. DIFUZIA MOLECULARĂ

Densitatea locală a fluxului unei proprietăți specifice a curenților de fluid ( $\phi$ ) este dată de relația :

$$\vec{J}_\phi^* = \rho \vec{v}_\phi \phi \quad (3.1-51)$$

$\vec{v}_\phi$  - fiind viteza de transport percepută de un observator în repaus (viteză absolută). În ecuația (3.1-51) în locul lui  $\vec{v}_\phi$ , trebuie introdusă viteza de mișcare a centrului de greutate a particulei studiate  $\vec{v}$ . Astfel

$$\vec{J}_\phi^* = \rho \vec{v} \cdot \phi + \vec{J}_\phi \quad (3.1-52)$$

$\rho \vec{v} \phi$  fiind partea convectivă a densității fluxului, iar  $\vec{J}_\phi$  partea difuzivă (substanțială).

Difuzia moleculară este un fenomen complex ce reprezintă

un transport macroscopic de substanță ca urmare a agitației termice moleculare. Acestui fenomen îi aparțin :

- frecarea internă
- difuzia materială
- transmiterea căldurii.

### 3.1.4.1. FRECARĂ INTERNĂ

Frecarea internă se poate exprima ca difuzie a impulsului specific  $\vec{v}$  ( $\vec{v}$  este în această notație impulsul pe unitate de masă)

$$J_{\vec{v}} = - T_v \quad (3.1-53)$$

iar  $T_v$  este tensorul tensiunilor de frecare datorită viscozității; rezultă că densitatea fluxului de difuzie este o mărime tensorială (impulsul fiind o mărime vectorială).

Presupunând că fluidul este newtonian, forțele de frecare și astfel fluxul de difuzie, va putea fi calculat cu ipoteza lui STOKES, cunoscându-se vitezele de curgere :

$$T_v = 2\eta \left[ \dot{D} - \left( \frac{1}{3} \text{div } \vec{v} \right) E \right] \quad (3.1-54)$$

Relația arată că tensorul forțelor de frecare  $T_v$  este proporțional cu tensorul vitezelor de deformație  $\dot{D}$ . Acest lucru fiind analog cu legea lui HOOK, dacă se înlocuiește  $\dot{D}$  din ecuația (3.1-54) cu tensorul vitezelor de deformație  $\dot{D}$  /49/

$$\dot{D} = (\text{Grad } \vec{v})^s \quad (3.1-55)$$

$\dot{D}$  fiind format din partea simetrică a tensorului gradientilor vitezelor de translație.

Astfel efortul de frecare devine :

$$T_v = 2\eta \left[ (\text{Grad } \vec{v})^s - \left( \frac{1}{3} \text{div } \vec{v} \right) E \right] \quad (3.1-56)$$

Coeficientul de proporționalitate  $\eta$  reprezintă viscozitatea dinamică.

Relația lui STOKES (3.1-54) are la bază o ipoteză empirică; un caz particular al acesteia este ipoteza lui NEWTON, valabilă pentru curenți la care apar gradienti ai vitezelor de translație perpendicular pe direcția de curgere.

$$\tau_{xy} = \eta \frac{\partial v_x}{\partial y} \quad (3.1-57)$$

Pentru gaze este valabilă o relație de forma (3.1-57) dedusă din teoria cinetico-moleculară /50/, din care rezultă că viscozitatea dinamică  $\eta$  este proporțională cu densitatea  $\rho$

cu viteza medie a moleculelor de gaz  $\sqrt{\bar{v}_g^2}$  și drumul liber mijlociu  $\lambda^*$  :

$$\eta = \frac{1}{3} \rho \sqrt{\bar{v}_g^2} \lambda^* \quad (3.1-58)$$

Relația stă la baza înțelegerii și elaborării ulterioare a modelelor turbulenței.

### 3.1.4.2. DIFUZIA MATERIAIĂ

Prin particularizarea relațiilor generale obținute în termodinamica proceselor ireversibile /14/ se pot obține ecuațiile difuziei moleculare ale speciei chimice  $j$  într-un amestec de specii  $j$  și  $l$ , presupunând că temperatura și presiunea sînt constante și că moleculele sînt supuse aceluiași forțe exterioare - legea lui FICK,

$$\vec{J}_{n,j} = - D_{j,l} \text{ grad } n_j \left[ \frac{\text{kmol}}{\text{m}^2 \text{s}} \right] \quad (3.1-59)$$

unde  $\vec{J}_{n,j}$  este densitatea fluxului molar de difuzie,  $n_j$  - densitatea molară a speciei  $j$ ,  $D_{j,l}$  - coeficientul (binar) de difuzie. Pentru gaze  $D_{j,l}$  este dedus aproximativ din teoria cinetico-moleculară a gazelor :

$$D_{j,l} = \frac{1}{3} \lambda_{j,l} \sqrt{\bar{v}_{g,j}^2} \quad (3.1-60)$$

$\lambda_{j,l}$  - fiind drumul liber mijlociu al moleculei  $j$  în amestecul  $j, l$ , iar  $\sqrt{\bar{v}_{g,j}^2}$  viteza medie a moleculelor de gaz (a se compara cu relația 3.1-58).

Schimbul de materie conform relației (3.1-59), pentru aceeași masă molară a celor două componente și în condițiile amintite (presiune și temperatură constantă) duce la egalitatea

$$\vec{J}_{n,j} = \vec{J}_{n,l} \quad (3.1-61)$$

Pentru mase molare diferite  $M_j$  și  $M_l$  avem totdeauna o densitate de flux din diferența :

$$\vec{J}_j^* - \vec{J}_l = \rho \vec{v} \quad (3.1-62)$$

unde  $\vec{J}_j^* = M_j \vec{J}_{n,j}$  și  $\vec{J}_l = M_l \cdot \vec{J}_{n,l}$

și ținînd seama de relațiile (3.1-52), (3.1-59), (3.1-61) și (3.1-62) după transformări obținem densitatea fluxului de difuzie a speciei  $j$  :

$$\vec{J}_j = - \left( 1 + m_j \frac{M_l - M_j}{M_j} \right) D_{j,l} \text{ grad}(\rho, m_j) \quad (3.1-63)$$

sau

$$\vec{J}_j = - \rho D_{j,l} \text{ grad } m_j \quad (3.1-64)$$

Relația de mai sus este valabilă pentru un amestec de



două componente în condițiile ( $p = ct$  și  $T = ct$ ). La un amestec format din  $n$  componente relația dintre densitățile fluxului de difuzie și gradientii de concentrație este mult mai complicată /51/. Pentru elaborarea modelului matematic al flăcării combustibililor gazoși, relațiile de mai sus sînt suficiente.

Fluxurile de difuzie expuse pînă acum sînt cauzate de diferențele de concentrații. Pot apărea fluxuri de difuzie materială și din alte motive :

- fluxuri materiale cauzate de gradientii de temperatură (termodifuzie)
- fluxuri materiale la apariția gradientilor de presiune
- fluxuri materiale pe baza influenței forțelor exterioare (cîmp electric).

Pentru calculele de ardere /4/ pe lîngă difuzia obișnuită (gradientul concentrațiilor), de importanță este doar difuzia termică (efect SORET). Astfel densitatea fluxului de masă pentru două componente, ținînd seama și de termodifuzie după HIRSCHFELDER /51/ este dat de relația :

$$\vec{J}_j = -\rho D_{j,l} \text{ grad } m_j + D_j^T \text{ grad}(\ln T) \quad (3.1-65)$$

$D_j^T$  - este constanta de termodifuzie pentru componenta  $j$ , iar  $\text{grad}(\ln T)$  forța termodinamică.

#### 3.1.4.3. TRANSMITEREA CĂLDURII

Densitatea fluxului total de căldură  $\vec{J}_q$  definit în relația (3.1-45) se compune din :

$$\vec{J}_q = \vec{J}_{q,m} + \vec{J}_{q,R} \quad (3.1-66)$$

în care  $\vec{J}_{q,m}$  este densitatea fluxului de căldură molecular (transportul molecular al energiei interne), iar  $\vec{J}_{q,R}$  este densitatea fluxului radiației termice (care va fi dezvoltat în paragraful 3.5).

Într-un sistem cu o singură componentă, transmiterea căldurii se poate trata ca difuzie a energiei cinetice suplimentare a moleculei, corespunzător legii lui FOURIER :

$$\vec{J}_{q,m} = -\lambda \text{ grad } T \quad (3.1-67)$$

$\lambda$  fiind conductibilitatea termică. Pentru un sistem cu o singură componentă gazoasă  $j$ ,  $\lambda$  este :

$$\lambda = \frac{1}{6} \rho \sqrt{\frac{8}{3}} \lambda^* f \cdot R_j \quad (3.1-68)$$

unde  $\lambda^*$  este drumul liber mijlociu al moleculei  $j$ ,  $f$  - numărul

gradelor de libertate ale mișcării moleculare și  $R_j$  constanta gazului de specie  $j$ .

Pentru un sistem de două sau mai multe componente, densitatea fluxului de căldură molecular  $\vec{J}_{q,m}$ , se completează cu încă două procese de difuzie :

- difuzia materiei, fiind entalpiile specifice ale componentelor au valori diferite și
- un proces analog difuziei termice (efect DUFOUR) /51/ (în flăcări industriale contribuția acestui proces este mică și poate fi neglijat).

Considerînd o tratare simplificată a difuziei materiei datorită diferențelor entalpiilor specifice, densitatea fluxului de căldură molecular are expresia :

$$\vec{J}_{q,m} = - \lambda \text{grad } T + \sum_{j=1}^p h_j \vec{J}_j \quad (3.1-69)$$

$h_j$  - fiind negativul entalpiei formării componentei  $j$ , iar  $\vec{J}_j$  densitatea fluxului de difuzie a lui  $j$ .

### 3.1.5. REZUMAT AL ECUAȚIILOR DE BILANȚ

Ecuatiile de bilanț prezentate în capitolul precedent constituie baza matematică a analizei și înțelegerii proceselor din focare. După cum se observă, fenomenele de frecare, transport de masă și de căldură, sînt descrise prin același tip de ecuații, ceea ce se explică prin faptul că au la bază același mecanism condiționat de mișcarea haotică a moleculelor. Pe acest fundament matematic se vor dezvolta în continuare particularitățile specifice arderii în focare (curenți turbulenți, reacție de ardere, transmitere de căldură prin radiație) și dată fiind importanța ecuațiilor, mai sînt prezentate încă o dată centralizat în tabelul 3.1.

Tabelul 3.1. Ecuatiile de bilanț.

Ecuatii pentru	Variabila considerată	Unitatea de măsură a variabilei	Variația locală în raport cu timpul	Convecția și difuzia	Termenul de sursă	Nr. ecuației
Continuitate	1	-	$\frac{\partial \rho}{\partial t}$	$+ \text{div}(\rho \vec{v})$	= 0	3.1-70a
Impuls	$\vec{v}$	$\frac{m}{s}$	$\frac{\partial(\rho \vec{v})}{\partial t}$	$+ \text{Div}(\rho \vec{v} \vec{v} - T_v)$	$+ \text{grad } p - \rho \vec{k}$	= 0 3.1-70b
Specii chimice	$m_j$	$\frac{kg_j}{kg}$	$\frac{\partial(\rho m_j)}{\partial t}$	$+ \text{div}(\rho m_j \vec{v} + \vec{J}_j)$	$- \sum_{k=1}^n \nu_{jk} R_k$	= 0 3.1-70c
Entalpie	$h_g$	$\frac{kJ}{kg}$	$\frac{\partial(\rho h_g)}{\partial t}$	$+ \text{div}(\rho h_g \vec{v} + \vec{J}_{q,m})$	$- \frac{\partial p}{\partial t} + \text{div} \vec{J}_{q,R} - \text{div}(\vec{v} T_v) - \rho(\vec{v} \vec{k})$	= 0 3.1-70d

---

### 3.2. SCHIMBUL DE MASĂ ȘI CĂLDURĂ ÎN FLACĂRA DIFUZIV TURBULENTĂ

---

Instalațiile de ardere industriale folosesc aproape în exclusivitate flăcări turbulente, în care procesele de schimb de masă și de căldură se desfășoară conform legilor curgerii turbulente. Astfel, un model matematic al arderii și transferului de căldură în focare, construit pe baza ecuațiilor curgerii, trebuie să precizeze și influența turbulenței asupra acestor procese.

Conform teoriei lui HINZE /52/, mișcarea turbulentă presupune existența unei curgeri neregulate, în care diversele mărimi suferă variații haotice în timp și spațiu și la care se pot defini statistic valorile medii (constante în timp). La un asemenea proces stocastic, valoarea momentană a mărimii  $\varphi$  este formată dintr-o valoare medie temporală  $\bar{\varphi}$  și o valoare pulsatorie  $\varphi'$  :

$$\varphi = \bar{\varphi} + \varphi' \quad (3.2-1)$$

$$\text{unde } \bar{\varphi} = \lim_{\tau \rightarrow \infty} \frac{1}{\tau} \int_{t_0 - \frac{\tau}{2}}^{t_0 + \frac{\tau}{2}} \varphi(t) dt \quad (3.2-2)$$

de unde rezultă că :

$$\bar{\varphi}' = 0, \quad (3.2-3)$$

(valoarea medie a componentei pulsatorii este nulă)

Așa cum s-a mai amintit, toate caracteristicile fluidului aflat într-o curgere turbulentă sînt supuse fluctuațiilor. Aceste caracteristici sînt chiar variabilele ecuațiilor diferențiale (2.1-7oa) - (3.1-7od).

Pentru valorile momentale ale mărimilor de câmp în flacără și focar sînt valabile relațiile :

- pentru variabilele ecuațiilor de bilanț

$$\vec{v} = \bar{\vec{v}} + \vec{v}' \quad (3.2-4-a)$$

$$p = \bar{p} + p' \quad (3.2-4-b)$$

$$m_j = \bar{m}_j + m_j' \quad (3.2-4-c)$$

$$h_g = \bar{h}_g + h_g' \quad (3.2-4-d)$$

- pentru mărimile termodinamice de stare

$$\rho = \bar{\rho} \quad (3.2-4-e)$$

$$T = \bar{T} + T' \quad (3.2-4-f)$$

- pentru mărimile de transport moleculare

$$\eta = \bar{\eta} \quad (3.2-4-g)$$

$$D_{j,l} = \bar{D}_{j,l} \quad (3.2-4-h)$$

$$\lambda = \bar{\lambda} \quad (3.2-4-i)$$

- pentru densitățile fluxurilor de difuzie

$$T_v = \bar{T}_v + T'_v \quad (3.2-4-j)$$

$$\vec{J}_j = \bar{\vec{J}}_j + \vec{J}'_j \quad (3.2-4-k)$$

$$\vec{J}_{q,m} = \bar{\vec{J}}_{q,m} + \vec{J}'_{q,m} \quad (3.2-4-l)$$

$$\vec{J}_{q,R} = \bar{\vec{J}}_{q,R} + \vec{J}'_{q,R} \quad (3.2-4-m)$$

- pentru viteza de reacție

$$R_k = \bar{R}_k + R'_k \quad (3.2-4-n)$$

- pentru eforturi

$$\vec{k} = \bar{\vec{k}} \quad (3.2-3-o)$$

Astfel sistemul de ecuații din tabelul 3.1 cu notațiile de mai sus, devine :

Tabelul 3.2. Ecuațiile de bilanț după introducerea valorilor medii și pulsatorii.

Ecuații pentru	Variabila considerată	Unitatea de măsură a variabilei	Variația locală în raport cu timpul	Convecția și difuzia	Termenul de sursă	Nr. ecuației
Continuitate	1	-	$\frac{\partial \bar{\rho}}{\partial t}$	$+ \text{div} (\bar{\rho} \vec{v} + \bar{\rho} \vec{v}')$	=0	3.2-5a
Impuls	$\vec{v}$	$\frac{m}{s}$	$\frac{\partial}{\partial t} (\bar{\rho} \vec{v} + \bar{\rho} \vec{v}')$	$+ \text{Div} (\bar{\rho} \vec{v} \vec{v} + \bar{\rho} \vec{v} \vec{v}' + \bar{\rho} \vec{v}' \vec{v} + \bar{\rho} \vec{v}' \vec{v}') - \bar{T}_v - T'_v$	$+ \text{grad} (\bar{p} + p') - \bar{\rho} \vec{k}$	=0 3.2-5b
Specii chimice	$m_j$	$\frac{kg_j}{kg}$	$\frac{\partial}{\partial t} (\bar{\rho} \bar{m}_j + \bar{\rho} \bar{m}'_j)$	$+ \text{div} (\bar{\rho} \bar{m}_j \vec{v} + \bar{\rho} \bar{m}_j \vec{v}' + \bar{\rho} \bar{m}'_j \vec{v} + \bar{\rho} \bar{m}'_j \vec{v}') + \bar{J}_j + \bar{J}'_j$	$- \sum_{k=1}^n \nu_{j,k} (\bar{R}_k + R'_k)$	=0 3.2-5c
Entalpie	$h_g$	$\frac{kJ}{kg}$	$\frac{\partial}{\partial t} (\bar{\rho} \bar{h}_g + \bar{\rho} \bar{h}'_g)$	$+ \text{div} (\bar{\rho} \bar{h}_g \vec{v} + \bar{\rho} \bar{h}_g \vec{v}' + \bar{\rho} \bar{h}'_g \vec{v} + \bar{\rho} \bar{h}'_g \vec{v}') + \bar{J}_{q,m} + \bar{J}'_{q,m}$	$- \frac{\partial}{\partial t} (\bar{p} + p') + \text{div} (\bar{J}_{q,R} + \bar{J}'_{q,R})$ $- \text{div} (\bar{v} \bar{T}_v + \bar{v} T'_v + \bar{v}' \bar{T}_v + \bar{v}' T'_v)$ $- \bar{\rho} \vec{k} (\bar{v} + \vec{v}')$	=0 3.2-5d

### 3.2.1. ECUAȚIILE DE BILANȚ PENTRU VALORILE MEDIATE ÎN TIMP

Ecuațiile de bilanț pentru valorile medii  $\bar{v}$ ,  $\bar{p}$ ,  $\bar{m}_j$  și  $\bar{h}_g$  ale variabilelor dependente se obțin din ecuațiile (2.3-5-a - 3.2-5-d) cu ajutorul relațiilor de definiție a valorii mediate în timp (3.2-2) a componentei continui și (3.2-3) a componentei pulsatorii.

Tabelul 3.3. Ecuațiile de bilanț mediate în timp.

Ecuații pentru	Variabila considerată	Unitatea de măsură a variabilei	Variația locală în raport cu timpul	Convecția și difuzia	Termenul de sursă	Nr. ecuații	
Continuitate	1	-	$\frac{\partial \bar{\rho}}{\partial t}$	$+ \text{div} (\bar{\rho} \bar{\mathbf{v}})$	=0	3.2-6a	
Impuls	$\bar{\mathbf{v}}$	$\frac{m}{s}$	$\frac{\partial}{\partial t} (\bar{\rho} \bar{\mathbf{v}})$	$+ \text{Div} (\bar{\rho} \bar{\mathbf{v}} \bar{\mathbf{v}} + \bar{\rho} \bar{\mathbf{v}}' \bar{\mathbf{v}}' - \bar{\mathbf{T}}_v)$	$+ \text{grad } \bar{p} - \bar{\rho} \bar{\mathbf{k}}$	=0	3.2-6b
Specii chimice	$\bar{m}_j$	$\frac{kg_j}{kg}$	$\frac{\partial}{\partial t} (\bar{\rho} \bar{m}_j)$	$+ \text{div} (\bar{\rho} \bar{m}_j \bar{\mathbf{v}} + \bar{\rho} \bar{m}_j' \bar{\mathbf{v}}' + \bar{\mathbf{J}}_j)$	$- \sum_{k=1}^n \nu_{jk} \bar{R}_k$	=0	3.2-6c
Entalpie	$\bar{h}_g$	$\frac{kJ}{kg}$	$\frac{\partial}{\partial t} (\bar{\rho} \bar{h}_g)$	$+ \text{div} (\bar{\rho} \bar{h}_g \bar{\mathbf{v}} + \bar{\rho} \bar{h}_g' \bar{\mathbf{v}}' + \bar{\mathbf{J}}_{q,m})$	$- \frac{\partial \bar{p}}{\partial t} + \text{div} \bar{\mathbf{J}}_{q,R} - \text{div} (\bar{\mathbf{v}} \bar{\mathbf{T}}_v + \bar{\mathbf{v}}' \bar{\mathbf{T}}_v') - \bar{\rho} \bar{\mathbf{v}}' \bar{\mathbf{k}}$	=0	3.2-6d

Ecuațiile (3.2-6-a - 3.2-6-d) sînt de o importanță majoră, fiind în esență baza tuturor calculelor ingineresti ale curgerii turbulente.

O comparație a ecuațiilor (3.2-6-a;d) cu ecuațiile (3.1-7o-a;d) arată că ecuațiile de bilanț mediate în timp au suplimentar (cu excepția ecuației de continuitate) față de ecuațiile de bilanț pentru valorile momentane, termenii de corelație ai valorilor pulsatorii. Acești termeni :  $\bar{\rho} \bar{\mathbf{v}}' \bar{\mathbf{v}}'$ ,  $\bar{\rho} \bar{m}_j' \bar{\mathbf{v}}'$  și  $\bar{\rho} \bar{h}_g' \bar{\mathbf{v}}'$ , reprezintă transportul mărit prin convecție într-o curgere turbulentă a impulsului, al speciei chimice și al energiei față de o curgere laminară. Acești termeni mai pot fi definiți și astfel :

$$\bar{\mathbf{T}}_t = -\bar{\rho} \overline{\mathbf{v}' \mathbf{v}'} \quad \bar{\mathbf{v}}' = 0 \quad (3.2-7)$$

$\bar{\mathbf{T}}_t$  fiind tensorul tensiunilor aparente, datorită turbulenței.

Analog se definesc și densitățile fluxurilor de difuzie turbulente ale speciilor chimice și entalpiei :

$$\bar{\mathbf{J}}_{j,t} = \bar{\rho} \cdot \overline{m_j' \mathbf{v}'} \quad (3.2-8)$$

$$\bar{\mathbf{J}}_{h_g,t} = \bar{\rho} \cdot \overline{h_g' \mathbf{v}'} \quad (3.2-9)$$

care se însumează cu densitățile fluxurilor moleculare  $-\bar{\mathbf{T}}_v$ ,  $\bar{\mathbf{J}}_j$  și  $\bar{\mathbf{J}}_{q,m}$ . Termenii  $\bar{\mathbf{v}}' \bar{\mathbf{T}}_v'$  din ecuația entalpiei pot fi neglijați.

Măsurătorile efectuate în curenți turbulenți au arătat că :

$$\begin{aligned} \bar{\mathbf{T}}_t &\gg \bar{\mathbf{T}}_v \\ \bar{\mathbf{J}}_{j,t} &\gg \bar{\mathbf{J}}_j \\ \bar{\mathbf{J}}_{h_g,t} &\gg \bar{\mathbf{J}}_{q,m} \end{aligned} \quad (3.2-10)$$

Inegalitățile își mențin valabilitatea pînă în apropierea peretelui, unde difuzia turbulentă este de același ordin de mărime cu cea moleculară. În stratul limită laminar aderent la perete au loc numai procese de schimb molecular.

Ecuatiile (3.2-6-a;d) nu pot fi rezolvate fără cunoașterea termenilor de corelație (3.2-7;8;9), care depind de coordonatele geometrice ale punctului considerat, iar în caz nestaționar și de timp. Totodată, inegalitățile (3.2-10) impun luarea în considerare a acestor termeni.

Elaborarea unui model matematic al curgerii unei flăcări de difuzie turbulente implică deci necesitatea calculului termenilor de corelație. Acest lucru se poate face prin așa numitele modele ale turbulenței.

### 3.2.2. MODELE ALE TURBULENȚEI

Calculul tehnic al curenților turbulenți trebuie să se limiteze din motivele amintite în capitolul 3.2.1, la determinarea mărimilor medii ale câmpului turbulent. Mărimile caracteristice considerate : masa totală, impulsul total, masele speciilor chimice și entalpia totală (ecuațiile 3.2-6a;d), cu excepția ecuației pentru masa totală, conțin termenii de corelație care descriu influența turbulenței asupra distribuției valorilor medii ale mărimilor de câmp. Sarcina modelelor turbulenței este de a furniza date fenomenologice pentru termenii de corelație, pentru ca sistemul de ecuații (3.2-6-a;d) să poată fi rezolvat.

Primele date privind calculul curenților turbulenți au fost expuse de BOUSSINESQ /53/, apoi, în următoarele decenii au fost dezvoltate modele ale turbulenței de PRANDTL /16/, /54/, KOLMOGOROV /15/, TAYLOR /55/ și KARMAN /56/. Interesul practic pentru modelele turbulenței a fost impulsivat de perfecționarea în ultimul deceniu a calculatoarelor electronice, care au permis rezolvarea ecuațiilor curgerii în condiții economice.

După gradul de complexitate, modelele turbulenței se pot clasifica în :

- a) modele ale turbulenței pe baza conceptului de viscozitate turbulentă  $\eta_t$ 
  - expresii algebrice pentru viscozitatea turbulentă
  - determinarea viscozității turbulente din rezolvarea ecuațiilor de bilanț pentru una sau mai multe mărimi aflate în mișcare turbulentă.



b) modele ale turbulenței pe baza rezolvării ecuațiilor de bilanț a termenilor de corelație.

### 3.2.2.1. VÎSCOZITATEA TURBULENTĂ

Considerînd o analogie între legea lui NEWTON privind efortul tangențial de frecare, BOUSSINESQ /53/ pentru o curgere COUETTE introduce tensiunile de frecare aparentă a mișcării turbulente :

$$\bar{\tau}_t = (\bar{T}_{xy})_t = -\bar{\rho} \overline{v'_x v'_y} = \eta_t \frac{\partial \bar{v}_x}{\partial y} = \bar{\rho} \nu_t \frac{\partial \bar{v}_x}{\partial y} \quad (3.2-11)$$

Între viscozitatea dinamică turbulentă și viscozitatea cinematică turbulentă există relația :

$$\eta_t = \bar{\rho} \nu_t \quad (3.2-12)$$

Pentru calculul curenților multidimensionali, plecînd de la legea lui STOKES pentru o curgere laminară, tensiunile de frecare aparentă se pot calcula cu relația :

$$\bar{T}_t = -\bar{\rho} \overline{v'_i v'_j} = 2 \eta_t \left[ (\text{Grad } \bar{v})^s - \left( \frac{1}{3} \text{div } \bar{v} \right) E \right] \quad (3.2-13)$$

Relația (3.2-11) revine ca un caz particular al relației (3.2-13). Expresiile au fost stabilite empiric și arată dependența dintre tensiunile de frecare și gradientii vitezelor medii și anume că tensiunile sînt cu atît mai mari, cu cît sînt mai mari gradientii locali ai vitezelor.

Înlocuind în ecuația impulsului mediată în timp (3.2-6b) relațiile reprezentînd legea lui STOKES (3.1-54) și ecuația tensiunilor de frecare aparentă (3.2-13), coeficientul de transport total apare ca suma viscozităților laminară și turbulentă, numită viscozitate efectivă :

$$\eta_{ef} = \eta_l + \eta_t \quad (3.2-14)$$

O astfel de formulare face posibilă extinderea ecuațiilor impulsului pentru curgerea laminară la o curgere turbulentă.

### 3.2.2.2. EXPRESII ALGEBRICE ALE VÎSCOZITĂȚII TURBULENTE

#### 3.2.2.2.1. FORMULAREA $\nu_t = \text{const.}$

Cea mai simplă ipoteză privind viscozitatea dinamică turbulentă este :

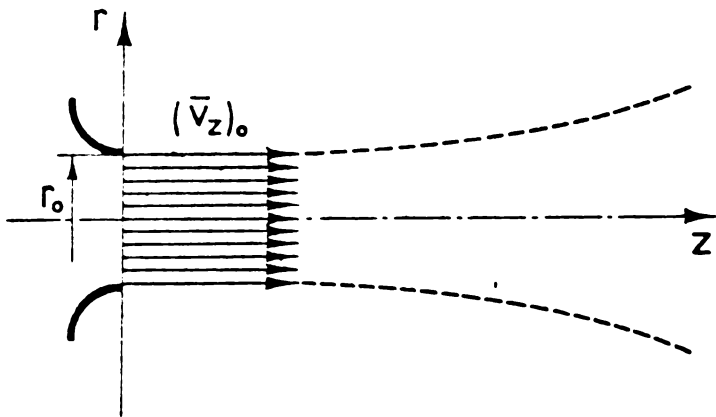
$$\eta_t = f(\rho) \cdot \text{const.} \quad (3.2-15)$$

presupunîndu-se că viscozitatea turbulentă este constantă într-un curent turbulent izoterm. Constanta de proporționalitate se determină din condițiile de intrare și de contur. Un exemplu de curgere la care se poate folosi relația (3.2-15), este jetul liber turbulent circular. SCHLICHTING /49/ propune pentru calculul viscozității

ții turbulente relația :

$$\eta_t = \bar{\rho} k^* \sqrt{2\pi \int_0^\infty \bar{v}_z^2 r dr} \quad (3.2-16)$$

expresia de sub radical fiind impulsul cinematic constant al jetului liber în direcția z. Când jetul curge liber dintr-o duză care asigură un profil plan al vitezelor (fig.3.4), se poate scrie :



$$\eta_t = k_1 \bar{\rho} (\bar{v}_z)_0 r_0 \quad (3.2-17)$$

Valorile coeficientului empiric  $k_1$  sînt recomandate de diverși cercetători :

SCHLICHTING /49/  $k_1 = 0,0285$ ,  
HINZE /52/  $k_1 = 0,0248$  și  
GOSMAN /20/  $k_1 = 0,026$ . PUN  
și SPALDING /57/ au dat o

Fig.3.4. Profilul vitezelor în secțiunea de ieșire a unei duze.

formulă generalizată pentru calculul viscozității turbulente în curenți axial-simetrice închiși, la care combustibilul și aerul necesar arderii sînt admisi printr-un arzător dublu concentric (fig.3.5)

$$\eta_t = k_2 D^{\frac{2}{3}} W^{-\frac{1}{3}} \bar{\rho}^{\frac{2}{3}} \left[ \dot{M}_p (\bar{v}_z)_p^2 + \dot{M}_s (\bar{v}_z)_s^2 \right]^{\frac{1}{3}} \quad (3.2-18)$$

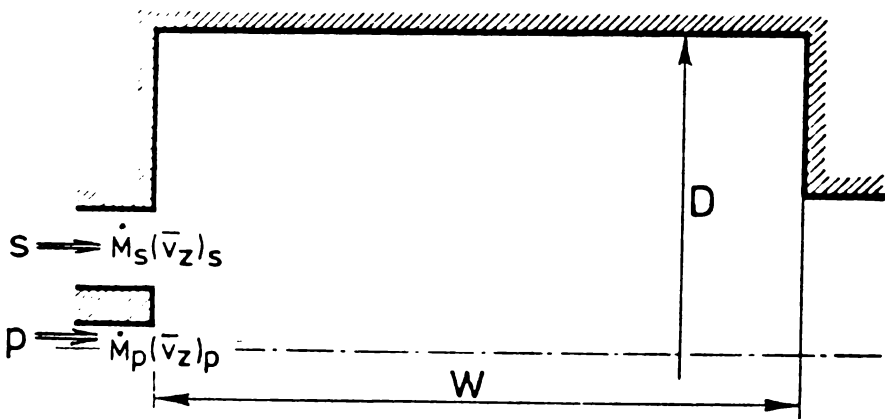


Fig.3.5. Focar cilindric cu arzător dublu concentric.

$k_2$  este o constantă dimensională; celelalte simboluri sînt reprezentate în fig. 3.5.

În comparație cu ipoteza viscozității (relația 3.2-17), care poate fi considerată ca rezultată din ecuația lungimii de

amestec a lui PRANDTL (vezi paragraful 3.2.2.2.2), formularea ad-hoc (relația 3.2-18) este pur empirică. Se presupune o dependență a lui  $\eta_t$  funcție de debitul curenților și de energia lor cinetică, cît și de dimensiunile focarului. Pentru un curent izoterm singular  $(\bar{v}_z)_s = 0$ , relația (3.2-18) poate fi adusă la forma (3.2-17)

$$\eta_t = \underbrace{k_2 D^{\frac{2}{3}} W^{-\frac{1}{3}} r_p^{-\frac{1}{3}} \sqrt{\pi}}_{k_1 \text{ (relația 3.2-17)}} \bar{\rho} (\bar{v}_z)_{p r_p} \quad (3.2-19)$$

Ipoteza viscozității turbulente ad-hoc (3.2-18) a fost verificată pe modele izoterme /58/ și a dat rezultate bune în studiul flăcărilor de combustibil gazos și cărbune pulverizat /59/, /43/. În primele lucrări /76/, /77/, autorul a obținut rezultate bune privind curgerea, amestecul și distribuția temperaturii într-o cameră de ardere axial-simetrică, utilizând relația (3.2-18) pentru definirea viscozității turbulente.

### 3.2.2.2.2. TEORIA LUNGIMII DE AMESTEC

Cea mai cunoscută formulare a viscozității turbulente a unui fluid este cea a lui PRANDTL /60/, așa numita ipoteză a lungimii de amestec :

$$\eta_t = \bar{\rho} l_m^2 \left| \frac{d\bar{v}_x}{dy} \right| \quad (3.2-20)$$

În care direcția  $x$  este sensul curentului principal,  $l_m$  este "lungime de amestec" a lui PRANDTL. Ecuația (3.2-20) nu elucidează complet problema, ci înlocuiește pe  $\eta_t$  cu o mărime lineară  $l_m^2$ . Deși  $l_m$  variază în cadrul curentului, variația este cu mult mai mică decât a lui  $\eta_t$ . S-a dovedit că această mărime este mai ușor de determinat, fiind o funcție numai de spațiu, ale cărei valori se pot verifica experimental.

De remarcat, că la aceeași formulare (3.2-20) a ajuns și KARMAN prin teoria similitudinii mecanice.

Utilizarea acestei formule depinde de alte ipoteze sau de structura formulei admisă pentru  $l_m$ . Astfel PRANDTL propune pentru  $l_m$  în zona de lângă perete :

$$l_m = \alpha y \quad (3.2-21)$$

În care  $\alpha$  este o constantă adimensională (KARMAN) cu valori recomandate de diverși autori :  $\alpha = 0,48$  /17/ sau  $\alpha = 0,41$  /61/.

Pentru o curgere prin conducte circulare, lungimea de amestec se poate determina cu formula lui NICURADSE /62/

$$\frac{l_m}{R} = 0,14 - 0,08 \left(1 - \frac{y}{R}\right)^2 - 0,06 \left(1 - \frac{y}{R}\right)^4 \quad (3.2-22)$$

$R$  - fiind raza conductei, iar  $y = R - r$ , distanța de la perete considerată.

Ecuația (3.2-20) împreună cu o serie de reguli referitoare la calculul lui  $l_m$ , permite aprecieri bune ale comportării hidrodinamice a stratului limită turbulent bidimensional. PATANKAR și

SPALDING /63/ au exploatat aceste posibilități prin incorporarea lor într-un program general de rezolvare a ecuațiilor diferențiale de tip parabolic. Astfel, pentru o curgere bidimensională plană, de fapt pentru domeniul de început al unui jet la un perete plan s-a folosit relația /20/ :

$$\eta_t = \bar{\rho} l_m^2 \left[ \left( \frac{\partial \bar{v}_x}{\partial y} \right)^2 + \left( \frac{\partial \bar{v}_y}{\partial x} \right)^2 \right]^{\frac{1}{2}} \quad (3.2-23)$$

În această formulare este conținută ipoteza lui PRANDTL (3.2-20) ca și caz particular; totuși  $\eta_t$  este și aici dependent de orientarea sistemului de coordonate ales.

### 3.2.2.2.3. MODELUL KOLMOGOROV-PRANDTL (IPOTEZA VÎSCOZITĂȚII TURBULENTE EXPRIMATĂ CU O SINGURĂ ECUAȚIE CU DERIVATE PARȚIALE)

Exprimările algebrice ale viscozității turbulente, în care  $\eta_t$  este doar funcție de gradientii locali ai vitezelor medii (relațiile 3.2-20 și 3.2-23) prezintă două dezavantaje :

- pentru zonele în care gradientii vitezelor sînt nuli (ex. în axa jetului)  $\eta_t = 0$ , adică nu avem schimb turbulent. Acest lucru fiind infirmat teoretic de formularea viscozității turbulente a lui PRANDTL /60/

$$\eta_t = \bar{\rho} \cdot l_m \sqrt{\bar{v}_t^2} \quad (3.2-24)$$

cît și experimental.

- formulările algebrice ale lui  $\eta_t$  nu permit luarea în considerare a parametrilor curentului turbulent din amonte de zona studiată (datele de intrare).

Neajunsurile amintite au fost soluționate, cel puțin parțial, prin formulările propuse de KOLMOGOROV /15/ și PRANDTL /54/. Se presupune că viteza de pulsație turbulentă  $\sqrt{\bar{v}_t^2}$  este proporțională cu rădăcina patrată din energia cinetică specifică  $\bar{k}$  a mișcării pulsatorii.

$$\sqrt{\bar{v}_t^2} \sim \sqrt{\bar{k}} \quad (3.2-25)$$

Astfel că în loc de (3.2-24) avem :

$$\eta_t = \bar{\rho} \cdot l \sqrt{\bar{k}} \quad (3.2-26)$$

$l$  este scara turbulenței fiind de același ordin de mărime cu lungimea de amestec a lui PRANDTL,  $l_m$ , iar  $\bar{k}$  este definit de relația :

$$\bar{k} = \frac{1}{2} \bar{v}^2 \quad (3.2-27)$$

Energia cinetică specifică  $\bar{k}$  a mișcării pulsatorii, mai poate fi definită /66/ și de o ecuație diferențială cu derivate

parțiale :

$$\frac{\partial}{\partial t}(\bar{\rho} \bar{k}) + \text{div} [\bar{\rho} \bar{k} \bar{v} + (\bar{\rho} \bar{k} + p') \bar{v}' - \bar{v}' T_v'] + \bar{\rho} \bar{v}' \bar{v}' : \text{Grad} \bar{v} + T_v' : \text{Grad} \bar{v}' - p' \text{div} \bar{v}' = 0 \quad (3.2-28)$$

în care, pe lângă generarea și disiparea locală a lui  $\bar{k}$  se ia în considerare convecția și difuzia energiei cinetice specifice, astfel încât valoarea determinată conform relației (3.2-26) a lui  $\eta_t$  să nu depindă exclusiv de condițiile locale.

Rezolvarea ecuației diferențiale pentru  $\bar{k}$  (3.2-28) este doar atunci posibilă, când, pe lângă termenul  $-\rho \bar{v}' \bar{v}'$  sînt aproximați și ceilalți termeni de corelație ai mărimilor ce definesc curgerea, descriși în paragraful 3.2.2.2.5.

Scara turbulenței  $l$ , urmează a fi determinată la fel ca și lungimea de amestec a lui PRANDTL,  $l_m$ ; relațiile de calcul al lui  $l$  pentru curgeri cu recirculație sînt date în /78/.

#### 3.2.2.2.4. IPOTEZA VISCOZITĂȚII TURBULENTE EXPRIMATĂ CU DOUĂ ECUAȚII CU DERIVATE PARȚIALE

În formularea lui KOLMOGOROV și PRANDTL a viscozității turbulente (ec.3.2-26), energia specifică a mișcării pulsatorii este calculată dintr-o ecuație de bilanț (3.2-28) ce ține seama de desfășurarea reală a procesului studiat; în timp ce lungimea de amestec este determinată doar empiric.

Este ușor de intuit că și această mărime,  $l$ , servește unui proces de transport convectiv și difuziv. ROTTA /65/ a dedus din ecuațiile NAVIER-STOKES o lungime unitară, independentă de direcția curgerii, definită de relația :

$$l = L = \frac{3\pi}{8 \bar{k}} \int_0^{\infty} F(n) \frac{dn}{n} \quad (3.2-29)$$

în care  $n$  este frecvența pulsațiilor spectrului turbulent și  $F(n)$  distribuția spectrală a energiei cinetice turbulente.

O variantă simplificată a acestei ecuații a fost utilizată de GOSMAN și alții /20/ la studiul curgerilor de tip eliptic.

LAUNDER și SPALDING /61/, consideră că ecuația (3.2-29) nu exprimă corect realitatea, pe temeiul că difuzia turbulentă a mării  $L$  nu este proporțională cu gradientul lui  $L$ . Acest dezavantaj poate fi înlăturat, dacă a doua ecuație a modelului turbulenței nu este prezentată direct pentru  $l$ , ci printr-o nouă variabilă:

$$\bar{z} = \bar{k}^m \cdot l^n \quad (3.2-30)$$

m și n fiind constante.

Astfel, cu această substituție, formularea lui KOLMOGOROV și PRANDTL (ec.3.2-26) devine :

$$\eta_t = \bar{\rho} l \bar{k}^{\frac{1}{2}} = \bar{\rho} \bar{z} \frac{1}{n} \bar{k}^{\left(\frac{1}{2} - \frac{m}{n}\right)} \quad (3.2-31)$$

Funcție de valorile constantelor m și n se cunosc mai multe expresii pentru  $\eta_t$ ; cea mai cunoscută fiind a lui ROTTA (m = 0 și n = 1).

În 1942, KOLMOGOROV /15/ a prezentat variabila  $\bar{z}$  printr-o ecuație diferențială pentru o frecvență medie a turbulenței  $\bar{f}$ .

$$\bar{z} \equiv \bar{f} \equiv \frac{k}{l}^{\frac{1}{2}} \quad (3.2-32)$$

aceasta corespunde în (3.2-31) lui m =  $\frac{1}{2}$  și n = 1.

SPALDING /39/ a preluat ideea lui KOLMOGOROV și a propus așa numitul model  $\bar{k}-\bar{W}$  al turbulenței. A doua variabilă a sa corespunde pătratului frecvenței medii  $\bar{f}$  a lui KOLMOGOROV

$$\bar{z} \equiv \bar{W} = \bar{f}^2 = \frac{\bar{k}}{l^2} \quad (3.2-33)$$

Mai recent /79/ studiul proceselor din focare a mai fost întreprins și utilizînd ca a doua variabilă a modelului turbulenței  $\bar{E}$  (modelul  $\bar{k} - \bar{E}$ )

$$\bar{z} \equiv \bar{E} \equiv \frac{\bar{k}}{l}^{\frac{3}{2}} \quad (3.2-34)$$

$\bar{E}$  - fiind o mărime a disipării turbionare medii.

Modelul  $\bar{k} - \bar{W}$  al turbulenței a fost utilizat în calculele curgerii, arderii și transferului de căldură din lucrarea de față. Alegerea a fost ca o urmare a dezvoltării și aplicării în timp a modelelor matematice, atât în cadrul bibliografiei studiate cât și din experiența proprie a autorului /76/,/77/.

Pentru aceasta se va expune în continuare mai detaliat modelul utilizat,  $\bar{k} - \bar{W}$ .

#### 3.2.2.2.5. MODELUL $\bar{k} - \bar{W}$ AL TURBULENȚEI

Modelul  $\bar{k}-\bar{W}$  al turbulenței se stabilește cu următoarele ipoteze :

- valabilitatea formulării ecuației de schimb turbulent (3.2-11) respectiv (3.2-13)
- valabilitatea formulării KOLMOGOROV-PRANDTL (3.2-31) a viscozității turbulente.

$$\eta_t = \bar{\rho} l \bar{k}^{\frac{1}{2}} \quad (3.2-35)$$

- determinarea lungimii de amestec l cu relația (3.2-33)



$$l = \frac{1}{2} \bar{W}^{-\frac{1}{2}} \quad (3.2-36)$$

unde  $\bar{W}$  este patratul frecvenței medii a pulsațiilor turbulente, pentru care se poate stabili la fel ca și pentru energia medie specifică turbulentă  $\bar{k}$  o ecuație de bilanț.

Din ultimele două ipoteze, rezultă o nouă formulare a viscozității turbulente :

$$\eta_t = \bar{\rho} \bar{k} \bar{W}^{-\frac{1}{2}} \quad (3.2-37)$$

SPALDING /39/ a definit mărimea  $\bar{W}$  conform ecuației :

$$\bar{W} = \frac{1}{2} \overline{\bar{\omega}'^2} \left[ \frac{1}{s^2} \right] \quad (3.2-38)$$

ca semipătratul pulsațiilor  $\bar{\omega}'$  vitezei unghiulare a vârtejului  $\bar{\omega}$  (vezi paragraful 3.3.3), asociindu-i următoarea ecuație de bilanț :

$$\begin{aligned} & \frac{\partial}{\partial t}(\bar{\rho} \bar{W}) + \text{div}(\bar{\rho} \bar{W} \bar{v} + \overline{\bar{\rho} \bar{W} \bar{v}'}) - \overline{\bar{\omega}' \text{rot Div } T_v'} + \overline{\bar{\rho} \bar{\omega}' \bar{v}'} : \text{Grad } \bar{\omega} - \\ & - \overline{\bar{\rho} \bar{\omega}' \bar{\omega}'} : \text{Grad } \bar{v}' - \overline{\bar{\rho} \bar{\omega}' \bar{\omega}'} : \text{Grad } \bar{v}' - \overline{\bar{\rho} \bar{\omega}' \bar{\omega}'} : \text{Grad } \bar{v}' - 2 \bar{W} \frac{\partial \bar{\rho}}{\partial t} - \\ & - \overline{\bar{\omega}' \left[ \frac{\partial \bar{v}'}{\partial t} + \frac{1}{2} \text{grad}(2 \bar{v}' \cdot \bar{v}' + \bar{v}'^2) \right]} \text{grad } \bar{\rho} - \overline{\bar{\omega}' \bar{\omega}' \bar{v}'} \text{grad } \bar{\rho} - \\ & - \overline{\bar{\omega}' \bar{\omega}'} : \bar{v}' \text{grad } \bar{\rho} - \overline{\bar{\omega}' \bar{\omega}'} : \bar{v}' \text{grad } \bar{\rho} = 0 \end{aligned} \quad (3.2-39)$$

Utilizarea practică a modelului  $\bar{k}$ - $\bar{W}$  depinde de rezolvarea ecuațiilor de bilanț aferente celor două mărimi  $\bar{k}$  și  $\bar{W}$  (ecuațiile 3.2-28 și 3.2-39), care în forma prezentată nu se pot soluționa, deoarece conțin, pe lângă tensiunile turbulente  $-\overline{\bar{\rho} \bar{v}' \bar{v}'}$  o serie de corelații duble și triple între valorile pulsatorii ale mărimilor curgerii, respectiv între gradientii lor.

Aceste corelații au fost soluționate în /66/, obținându-se aproximarea ecuațiilor de bilanț pentru  $\bar{k}$  și  $\bar{W}$ . Astfel pentru curgeri cu numere REYNOLDS turbulente mari (cazurile reale din industrie)

$$Re_t = \frac{\bar{\rho} \cdot l \bar{k}^{\frac{1}{2}}}{\eta_l} = \frac{\eta_t}{\eta_l} \quad (3.2-40)$$

în care  $\eta_l \ll \eta_t$  și poate fi neglijat, ecuația aproximativă pentru  $\bar{k}$  la  $Re_t \gg 1$  este :

$$\begin{aligned} & \frac{\partial}{\partial t}(\bar{\rho} \bar{k}) + \text{div}(\bar{\rho} \bar{k} \bar{v} - \frac{\eta_t}{\sigma_{k,t}} \text{grad } \bar{k}) - \eta_t (\text{Grad } \bar{v} : \text{Grad } \bar{v} + \\ & + \text{div Div } \bar{v} \bar{v}) + \left\{ \frac{2}{3} \bar{\rho} \bar{k} E : \text{Grad } \bar{v} \right\} + C_D \bar{\rho} \bar{k} \bar{W}^{\frac{1}{2}} = 0 \end{aligned} \quad (3.2-41)$$

și ecuația aproximativă pentru  $\bar{W}$  la  $Re_t \gg 1$  este :

$$\begin{aligned} & \frac{\partial}{\partial t}(\bar{\rho} \bar{W}) + \text{div}(\bar{\rho} \bar{W} \bar{v} - \frac{\eta_t}{\sigma_{W,t}} \text{grad} \bar{W}) - C_1 \eta_t (\text{Grad} \bar{\omega} : \text{Grad} \bar{\omega} + \\ & + \text{div} \text{Div} \bar{\omega} \bar{\omega}) - C_3 \frac{\bar{W}}{k} \left[ \eta_t (\text{Grad} \bar{v} : \text{Grad} \bar{v} + \text{div} \text{Div} \bar{v} \bar{v}) - \right. \\ & \left. - \left\{ \frac{2}{3} \bar{\rho} \bar{k} E : \text{Grad} \bar{v} \right\} \right] + C_2 \bar{\rho} \bar{W} \bar{W}^{\frac{1}{2}} = 0 \end{aligned} \quad (3.2-42)$$

Ecuatiile de bilanț aproximative pentru  $\bar{k}$  și  $\bar{W}$  au aceeași formă cu ecuațiile generale de bilanț ale curgerii și conțin șase mărimi ce trebuie determinate empiric. Aceste mărimi  $C_D$ ,  $C_1$ ,  $C_2$ ,  $C_3$ ,  $\sigma_{k,t}$  și  $\sigma_{W,t}$  la numere REYNOLDS turbulente mari sînt considerate constante.

Evaluarea constantelor empirice ale modelului  $\bar{k}$ - $\bar{W}$  se poate face pornind de la rezultatele măsurătorilor experimentale efectuate pe forme simple de curgere, cît și din ecuațiile de bilanț (3.2-41) și (3.2-42). Prin introducerea valorilor măsurate în aceste ecuații, se pot găsi valori pentru constante sau relații de calcul al constantelor /39/.

La început s-a crezut, că valorile constantelor găsite în formele simple de curgere ale modelului  $\bar{k}$ - $\bar{W}$ , vor fi universale. Utilizarea modelului în forme tot mai complicate ale curgerii a arătat că acest deziderat nu este totdeauna valabil. Astfel a trebuit să se efectueze măsurători pe forme de curgere cît mai apropiate de cele ale fenomenului studiat, iar apoi să se facă o selecție optimă a acestor constante pentru a reprezenta cît mai fidel forma de curgere studiată.

Pentru constantele modelului turbulenței  $\bar{k}$ - $\bar{W}$ , au fost făcute în ultimii ani următoarele propuneri (Tabelul 3.4).

Tabelul 3.4. Valorile propuse ale constantelor modelului turbulenței k-W

Autorul	$C_D$	$C_1$	$C_2$	$C_3$	$\sigma_{k,t}$	$\sigma_{W,t}$	Observ.
SPALDING /71/	0,075	3,36	0,132	1,23	0,7	0,7	Jet liber circular
SPALDING /39/	0,09	3,5	0,17	1,04	0,9	0,9	Curgere prin tub; de-a lungul unei plăci plane, jet liber plan, jet liber circular
ROBERTS /58/	0,075	3,81	0,134	0,763	0,7	0,7	Jet circular închis, neturbionat
RICHTER /66/	0,058	3,36	0,134	1,23	1,0	0,7	- " -

De remarcat că valoarea constantelor propusă de SPALDING este cea mai universală, acoperind o mare varietate de fenomene. Totuși pentru jeturile circulare închise este necesară o reconsiderare a valorii acestora, mai ales la curgeri în stratul limită din preajma pereților. Calculul acestor domenii se face folosind așa-numitele "funcții ale peretelui" (paragraful 3.6.3), care face aplicabil modelul  $\bar{k}-\bar{W}$  și în această zonă.

### 3.2.3. COEFICIENȚI DE SCHIMB TURBULENȚI PENTRU SPECIILE CHIMICE $m_j$ și ENTALPIE $h_g$

S-a rezolvat pînă acum, în ceea ce privește calculul turbulenței aproximarea termenului  $\bar{\rho} \overline{v'v'}$ , care descrie schimbul turbulent al impulsului specific  $\bar{v}$  (schimbul unei mărimi vectoriale).

Mărimile  $\bar{\rho} \overline{m_j'v'}$  și  $\bar{\rho} \overline{h_g'v'}$  de schimb turbulent al speciilor chimice și entalpiei specifice totale sînt mărimi scalare.

Dacă  $\varphi$  este una din proprietățile specifice ale fluidului, atunci în analogie cu formularea ecuației de schimb turbulent pentru impuls (ec.3.2-13) se presupune că :

$$\bar{J}_{\varphi,t} = + \bar{\rho} \overline{\varphi'v'} = - \Gamma_{\varphi,t} \text{ grad } \bar{\varphi} \quad (3.2-43)$$

$\bar{J}_{\varphi,t}$  în comparație cu densitatea fluxului de difuzie molecular  $\bar{J}_{\varphi,r}$  a mărimii  $\varphi$ , este densitatea fluxului turbulent, iar  $\Gamma_{\varphi,t}$  este coeficientul de schimb turbulent.

Cînd  $\varphi$  se referă la speciile chimice  $m_j$

$$\Gamma_{j,t} = \bar{\rho} D_{j,t} \quad (3.2-44)$$

unde  $D_{j,t}$  este coeficientul de difuzie turbulent.

Dacă  $\varphi$  reprezintă entalpia specifică totală  $h_g$ ,

$$\Gamma_{h_g,t} = \Gamma_{q,t} = \frac{\lambda_t}{c_p} \quad (3.2-45)$$

$\lambda_t$  - este conductibilitatea termică turbulentă.

Este de așteptat, ca viscozitatea turbulentă  $\eta_t$  și coeficientul de schimb turbulent  $\Gamma_{\varphi,t}$  să fie de același ordin de mărime. Astfel se presupune că  $\eta_t$  și  $\Gamma_{\varphi,t}$  se află într-un raport constant unul față de celălalt :

$$\sigma_{\varphi,t} = \frac{\eta_t}{\Gamma_{\varphi,t}} = \text{const.} \quad (3.2-46)$$

numit numărul PRANDTL-SCHMIDT turbulent.

Măsurătorile experimentale au arătat că valoarea lui  $\sigma_{\varphi,t}$  depinde de felul curgerii. Astfel pentru jeturi turbulente circu-

$$\sigma_{\varphi,t} \cong 0,7.$$

O explicație fizică a lui  $\sigma_{\varphi,t}$  poate fi dată cu ajutorul lungimii de amestec a lui PRANDTL. În analogie cu teoria cinetică a gazelor (ec. 3.1-60) și cu formulările (3.2-24) și (3.2-26)

$$\Gamma_{\varphi,t} = \bar{\rho} l_{m,\varphi} \sqrt{\bar{v}_t^2} \quad (3.2-47)$$

unde  $l_{m,\varphi}$  este lungimea pe care particulele trebuie să o parcurgă transversal pe direcția principală de curgere, pentru ca diferența dintre caracteristica  $\bar{\varphi}$  a celor două puncte să fie egală cu pulsația medie  $\sqrt{\bar{\varphi}'^2}$  a punctului inițial.

Din compararea relațiilor (3.2-24) cu (3.2-47) rezultă :

$$\sigma_{\varphi,t} = \frac{l}{l_{m,\varphi}} \quad (3.2-48)$$

Deci numerele PRANDTL-SCHMIDT turbulente pot fi considerate ca rapoarte a două lungimi de amestec.

Corespunzător viscozității efective (3.2-14), se introduc coeficienții efectivi de schimb pentru specii chimice și entalpie:

$$\Gamma_{j,ef} = \frac{\eta_{ef}}{\sigma_{j,ef}} \quad \text{și} \quad \Gamma_{h,ef} = \frac{\eta_{ef}}{\sigma_{h,ef}} \quad (3.2-49)$$

unde  $\sigma_{j,ef}$  este numărul SCHMIDT efectiv, iar  $\sigma_{h,ef}$  numărul PRANDTL efectiv. Calculul lor rezultă din cumulara transferului turbulent și laminar :

$$\sigma_{j,ef} = \frac{\eta_{ef}}{\Gamma_{j,ef}} = \frac{\eta_t + \eta_l}{\frac{\eta_t}{\sigma_{j,t}} + \frac{\eta_l}{\sigma_{j,l}}} \quad (3.2-50a)$$

$$\sigma_{h,ef} = \frac{\eta_{ef}}{\Gamma_{h,ef}} = \frac{\eta_t + \eta_l}{\frac{\eta_t}{\sigma_{h,t}} + \frac{\eta_l}{\sigma_{h,l}}} \quad (3.2-50b)$$

Așa cum s-a precizat la enunțarea ecuației de schimb pentru impuls, trebuie să se atragă atenția și la formularea ecuației pentru transferul turbulent al mărimii  $\varphi$  (ec.3.2-43), că este vorba de o relație empirică. Veridicitatea ecuației (3.2-43) este cu atât mai bună cu cât este mai mică scara turbulenței și cu cât variază mai puțin câmpul energiei cinetice turbulente comparativ cu câmpul mărimii  $\bar{\varphi}$ . Dacă aceste condiții nu sînt îndeplinite, este necesar să se elaboreze modele noi ale turbulenței pentru aproximarea fluxului turbulent al mărimii  $\bar{\varphi}$ , ce pot fi derivate din soluția unei ecuații de bilanț /61/.

### 3.3. ECUAȚIILE DE BILANȚ DUPĂ INTRODUCEREA MĂRIMILOR TURBULENTE DE SCHIMB ȘI A MODELULUI $\bar{k}$ - $\bar{W}$ AL TURBULENȚEI

După analiza datelor din paragraful 3.2, în această lucrare s-a ales pentru aproximarea termenilor de corelație ai ecuațiilor de bilanț (3.2-6a,d), modelul  $\bar{k}$ - $\bar{W}$  al turbulenței. Mărimile de schimb turbionar se determină astfel din rezolvarea ecuațiilor diferențiale pentru  $\bar{k}$  și  $\bar{W}$ .

După introducerea ecuațiilor schimbului turbulent, ecuațiile de bilanț (3.2-6a,b) devin : (Tabelul 3.5).

Ecuatiile curgerii sînt astfel aduse într-o formă (ec. 3.3-1a,j), care împreună cu condițiile inițiale și de contur fac posibilă o rezolvare univocă a sistemului.

Mărimile presupuse cunoscute sînt :

- viteza de reacție medie  $\bar{R}_k$  pe unitatea de volum a tuturor reacțiilor  $k$  ce apar;
- densitatea fluxului mediu al radiației,  $\text{div } \bar{J}_{q,R}$  pe unitatea de volum (paragraful 3.5);
- constantele modelului turbulenței;
- numerele PRANDTL și SCHMIDT turbulente,  $\sigma_{h,t}$  și  $\sigma_{j,t}$  funcție de  $Re_t$ ;
- căldura specifică medie la presiune constantă funcție de temperatură;
- viscozitatea laminară,  $\eta_l$ , numerele PRANDTL și SCHMIDT,  $\sigma_{h,l}$  și  $\sigma_{j,l}$  laminare funcție de temperatură.

Sistemul de ecuații (3.3-1a,j) reprezintă baza de plecare pentru abordarea practică a calculului unui focar industrial.

Cu mici modificări, acestui sistem de ecuații i se pot adăuga ecuații suplimentare pentru a mări sfera de înțelegere și studiu al unui fenomen parțial.

#### 3.3.1. SIMPLIFICĂRI ADUSE ECUAȚIILOR CURGERII

##### 3.3.1.1. ECUAȚII PENTRU NUMERE RAYNOLDS MARI

În regim turbulent stabilizat se poate considera :

$$\eta_t \gg \eta_l \quad (3.3-2)$$

astfel în sistemul de ecuații (3.3-1a,j), toți termenii ce conțin factorul  $\eta_l$  pot fi neglijați. Cercetările experimentale /59/ întreprinse asupra arderii combustibililor gazeși au arătat valabilitatea relației (3.3-2), cu excepția stratului limită din apropierea pereților.

Ecuatiile de bilanț după introducerea mărimilor turbulente de schimb și a modelului  $k-W$  al turbulenței

Ecuații pentru	Variabila considerată	Unitatea de măsură a variabilei	Variația în raport cu timpul	Convecția și difuzia	Termenul de sursă	Nr. ecuației
Continuitate	1	-	$\frac{\partial \bar{\rho}}{\partial t}$	$+ \text{div}(\bar{\rho} \bar{v})$	=0	3.3-1a
Impuls	$\bar{v}$	$\frac{m}{s}$	$\frac{\partial}{\partial t}(\bar{\rho} \bar{v})$	$+ \text{Div}[\bar{\rho} \bar{v} \bar{v} - (\eta_t + \eta_l)(\text{Grad} \bar{v} + \text{Grad} \bar{v})]$	$+ \text{grad}[\bar{p} + \frac{2}{3} \bar{\rho} \bar{k} + \frac{2}{3}(\eta_t + \eta_l) \cdot \text{div} \bar{v}] - \bar{\rho} \bar{k}$	=0 3.3-1b
Specii chimice	$\bar{m}_j$	$\frac{kg_j}{kg}$	$\frac{\partial}{\partial t}(\bar{\rho} \bar{m}_j)$	$+ \text{div}[\bar{\rho} \bar{m}_j \bar{v} - (\frac{\eta_t}{\sigma_{j,t}} + \frac{\eta_l}{\sigma_{j,l}}) \text{grad} \bar{m}_j]$	$- \sum_{k=1}^n v_{j,k} \bar{R}_k$	=0 3.3-1c
Energie	$\bar{h}_g$	$\frac{KJ}{kg}$	$\frac{\partial}{\partial t}(\bar{\rho} \bar{h}_g)$	$+ \text{div}[\bar{\rho} \bar{h}_g \bar{v} - (\frac{\eta_t}{\sigma_{h,t}} + \frac{\eta_l}{\sigma_{h,l}}) \text{grad} \bar{h}_g]$	$+ \text{div} \left\{ \sum_{j=1}^p [\eta_t (\frac{1}{\sigma_{h,t}} - \frac{1}{\sigma_{j,t}}) + \eta_l (\frac{1}{\sigma_{h,l}} - \frac{1}{\sigma_{j,l}})] h_j \text{grad} \bar{m}_j + [\eta_t (\frac{1}{\sigma_{h,t}} - 1) + \eta_l (\frac{1}{\sigma_{h,l}} - 1)] \cdot \text{grad} \frac{\bar{v}^2}{2} + [\eta_t (\frac{1}{\sigma_{h,t}} - \frac{1}{\sigma_{k,t}}) + \eta_l (\frac{1}{\sigma_{h,l}} - 1)] \text{grad} \bar{k} - (\eta_t + \eta_l) \text{Div} \bar{v} \bar{v} + \frac{5}{3}(\eta_t + \eta_l) \bar{v} \text{div} \bar{v} + \frac{2}{3} \bar{\rho} \bar{k} \bar{v} \right\} - \frac{\partial \bar{p}}{\partial t} + \text{div} \bar{J}_{q,R} - \bar{\rho} \bar{v} \cdot \bar{k}$	=0 3.3-1d
Energie cinetică specifică pulsatorie	$\bar{k}$	$\frac{m^2}{s^2}$	$\frac{\partial}{\partial t}(\bar{\rho} \bar{k})$	$+ \text{div}[\bar{\rho} \bar{k} \bar{v} - (\frac{\eta_t}{\sigma_{k,t}} + \eta_l) \text{grad} \bar{k}]$	$- [\eta_t (\text{Grad} \bar{v} : \text{Grad} \bar{v} + \text{div} \text{Div} \bar{v} \bar{v}) - \frac{2}{3} \bar{\rho} \bar{k} E : \text{Grad} \bar{v}] + C_D \bar{\rho} \bar{k} \bar{W}^{\frac{1}{2}}$	=0 3.3-1e
Transferul energiei cinetice pulsatorii	$\bar{W}$	$\frac{1}{s^2}$	$\frac{\partial}{\partial t}(\bar{\rho} \bar{W})$	$+ \text{div}[\bar{\rho} \bar{W} \bar{v} - (\frac{\eta_t}{\sigma_{w,t}} + \eta_l) \text{grad} \bar{W}]$	$- C_1 \eta_t (\text{Grad} \bar{\omega} : \text{Grad} \bar{\omega} + \text{div} \text{Div} \bar{\omega} \bar{\omega}) - C_3 \frac{\bar{W}}{\bar{k}} [\eta_t (\text{Grad} \bar{v} : \text{Grad} \bar{v} + \text{div} \text{Div} \bar{v} \bar{v}) - \frac{2}{3} \bar{\rho} \bar{k} E : \text{Grad} \bar{v}] + C_2 \bar{\rho} \bar{W} \bar{W}^{\frac{1}{2}}$	=0 3.3-1f
Ecuații suplimentare						
Coeficient de turbulență	$\eta_t = \bar{\rho} \frac{\bar{k}}{\bar{W}^{\frac{1}{2}}}$					3.3-1g
Vorticitate	$\bar{\omega} = \text{rot} \bar{v}$					3.3-1h
Energie cinetică pulsatorie	$\bar{h}_g = \sum_{j=1}^p (c_{p,j}   \bar{m}_j ) \bar{T} + \sum_{j=1}^p h_j \bar{m}_j + \frac{\bar{v}^2}{2} + \bar{k}$					3.3-1i
Densitate	$\bar{\rho} = \frac{\bar{p}}{\mathcal{R} \bar{T} \sum \frac{\bar{m}_j}{\mathcal{M}_j}}$					3.3-1j



### 3.3.1.2. NEGLIJAREA ENERGIEI MECANICE ÎN ECUAȚIA ENTALPIEI

Conform relației (3.3-1.d) entalpia medie totală este formată din căldura sensibilă, căldura legată chimic și din energia cinetică a mișcării principale și pulsatorii.

În focare industriale vitezele de curgere în mod normal nu depășesc 150 m/s, astfel că energiile cinetice sînt mici comparativ cu primii doi termeni ai relației (3.3-1.d). Și acest lucru a fost confirmat prin o serie de experiențe efectuate pe curenți de aer /66/.

În ecuația (3.3-1.d) de bilanț a entalpiei nu intră valorile absolute ale energiilor parțiale, ci doar diferențele lor. Si aici gradientii energiilor cinetice sînt mici comparativ cu cei ai căldurii sensibile și a celei legate chimic, astfel putînd fi neglijați. Termenii rîndului al șaselea din ecuația entalpiei se consideră de importanță minoră pentru flăcări de difuzie.

Variația în timp a presiunii medii  $\frac{\partial \bar{p}}{\partial t}$  pentru un focar ce funcționează la presiune atmosferică este neglijabilă.

Astfel din termenul de sursă al ecuației entalpiei rămîn după simplificări doar doi termeni (ec.3.3-3.d). De o importanță majoră este al doilea termen  $\text{div } \vec{J}_{q,R}$ , reprezentînd densitatea fluxului de căldură transmis prin radiație, care poate ajunge la 90% din cantitatea fluxului total de căldură transmis pereților în focare industriale.

Aproximarea acestei expresii importante face obiectul unui subcapitol ulterior.

### 3.3.2. FORME PARTICULARE ALE ECUAȚIILOR CURGERII

Lucrarea de față și-a propus pentru exemplificare, studiul flăcării difusive staționare a gazului metan, obținută cu un arzător dublu concentric într-un focal axial simetric și distribuției fluxului de căldură. Ecuațiile generale de bilanț prezentate anterior vectorial și tensorial se vor transcrie pentru această formă particulară de curgere. Se folosește un sistem de coordonate cilindrice ( $z$ ,  $r$  și  $\theta$ ), fig.3.6.

Din punct de vedere matematic, noțiunea de curgere bidimensională referitoare la tipul de focar din fig.3.6 reprezintă că mărimile (proprietățile)  $\varphi$  ale fluidului nu sînt dependente de direcția tangențială  $\theta$

$$\varphi = f(z,r) \neq f(\theta) \quad (3.3-4)$$

sau

$$\frac{\partial \varphi}{\partial \theta} = 0 \quad (3.3-5)$$

Ecuatiile de bilanț simplificat pentru numere Reynolds mari și la neglijarea energiei mecanice:

Ecuatii pentru	Variabila considerată	Unități de măsură a variabilei	Variația în raport cu timpul	Convecția și difuzia	Termenul de sursă	Nr. ecuației
Continuitate	1	-	$\frac{\partial \bar{\rho}}{\partial t}$	$+ \operatorname{div}(\bar{\rho} \bar{\mathbf{v}})$	=0	3.3-3a
Impuls	$\bar{\mathbf{v}}$	$\frac{m}{s}$	$\frac{\partial}{\partial t}(\bar{\rho} \bar{\mathbf{v}})$	$+ \operatorname{Div}[\bar{\rho} \bar{\mathbf{v}} \bar{\mathbf{v}} - \eta_t (\operatorname{Grad} \bar{\mathbf{v}} + \overline{\operatorname{Grad} \bar{\mathbf{v}}})]$	$+ \operatorname{grad}(\bar{p} + \frac{2}{3} \bar{\rho} \bar{k} + \frac{2}{3} \eta_t \operatorname{div} \bar{\mathbf{v}}) - \bar{\rho} \bar{\mathbf{k}} = 0$	3.3-3b
Masa chimică	$\bar{m}_j$	$\frac{kg_j}{kg}$	$\frac{\partial}{\partial t}(\bar{\rho} \bar{m}_j)$	$+ \operatorname{div}(\bar{\rho} \bar{m}_j \bar{\mathbf{v}} - \frac{\eta_t}{\sigma_{j,t}} \operatorname{grad} \bar{m}_j)$	$- \sum_{k=1}^n \nu_{jk} \bar{R}_k = 0$	3.3-3c
Entalpie	$\bar{h}$	$\frac{KJ}{kg}$	$\frac{\partial}{\partial t}(\bar{\rho} \bar{h})$	$+ \operatorname{div}(\bar{\rho} \bar{h} \bar{\mathbf{v}} - \frac{\eta_t}{\sigma_{h,t}} \operatorname{grad} \bar{h})$	$+ \operatorname{div} \sum_{j=1}^P \eta_t (\frac{1}{\sigma_{h,t}} - \frac{1}{\sigma_{j,t}}) h_j \operatorname{grad} \bar{m}_j + \operatorname{div} \bar{\mathbf{J}}_{q,R} = 0$	3.3-3d
Energia cinetică turbulente	$\bar{k}$	$\frac{m^2}{s^2}$	$\frac{\partial}{\partial t}(\bar{\rho} \bar{k})$	$+ \operatorname{div}(\bar{\rho} \bar{k} \bar{\mathbf{v}} - \frac{\eta_t}{\sigma_{k,t}} \operatorname{grad} \bar{k})$	$- [\eta_t (\operatorname{Grad} \bar{\mathbf{v}} : \operatorname{Grad} \bar{\mathbf{v}} + \operatorname{div} \operatorname{Div} \overline{\bar{\mathbf{v}} \bar{\mathbf{v}}}) - \frac{2}{3} \bar{\rho} \bar{k} E : \operatorname{Grad} \bar{\mathbf{v}}] + C_D \bar{\rho} \bar{k} \bar{W}^{\frac{1}{2}} = 0$	3.3-3e
Bilanțul conservării energiei turbulente	$\bar{W}$	$\frac{1}{s^2}$	$\frac{\partial}{\partial t}(\bar{\rho} \bar{W})$	$+ \operatorname{div}(\bar{\rho} \bar{W} \bar{\mathbf{v}} - \frac{\eta_t}{\sigma_{w,t}} \operatorname{grad} \bar{W})$	$- C_1 \eta_t (\operatorname{Grad} \bar{\omega} : \operatorname{Grad} \bar{\omega} + \operatorname{div} \operatorname{Div} \overline{\bar{\omega} \bar{\omega}}) - C_3 \frac{\bar{W}}{k} [\eta_t (\operatorname{Grad} \bar{\mathbf{v}} : \operatorname{Grad} \bar{\mathbf{v}} + \operatorname{div} \operatorname{Div} \overline{\bar{\mathbf{v}} \bar{\mathbf{v}}}) - \frac{2}{3} \bar{\rho} \bar{k} E : \operatorname{Grad} \bar{\mathbf{v}}] + C_2 \bar{\rho} \bar{W} \bar{W}^{\frac{1}{2}} = 0$	3.3-3f

Ecuatii suplimentare

Modelul de turbulență	$\eta_t = \bar{\rho} \frac{\bar{k}}{W^{\frac{1}{2}}}$	3.3-3g
Modelul de turbulență	$\bar{\omega} = \operatorname{rot} \bar{\mathbf{v}}$	3.3-3h
Modelul de turbulență	$\bar{h} = \sum_{j=1}^P (c_{p,j}   \bar{T}_o \bar{m}_j ) \bar{T} + \sum_{j=1}^P h_j \bar{m}_j$	3.3-3i
Modelul de turbulență	$\bar{\rho} = \frac{\bar{p}}{\mathcal{R} \bar{T} \sum \frac{\bar{m}_i}{M_j}}$	3.3-3j

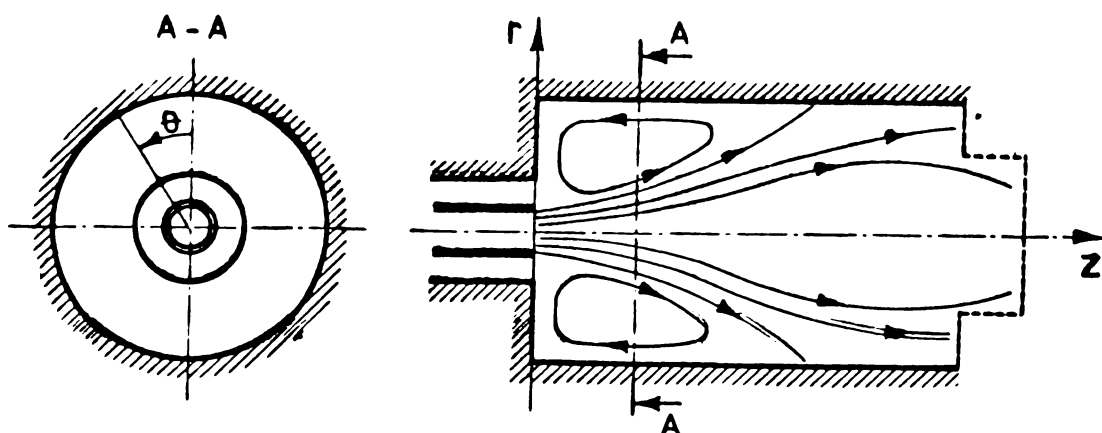


Fig.3.6. Sistemul de coordonate cilindrice

Apariția componentelor tangențiale ale vitezei medii de curgere pe circumferința focarului nu contravine ipotezei de curgere bidimensională.

Rezolvarea problemelor curgerii bidimensionale se poate face pornind de la două sisteme de bază :

- într-un sistem presiunea și componentele vitezei sînt variabile dependente
- în celălalt sistem funcția de curent și viteza unghiulară a vîrtejului sînt considerate variabile dependente.

Din punct de vedere matematic ecuațiile cu  $v_z$ ,  $v_r$  și  $p$  ca variabile dependente (primul sistem) și ecuațiile cu  $\Psi$  și  $\omega_\theta$  ca variabile dependente (al doilea sistem) se obțin expresii echivalente. Avantajele și dezavantajele unuia sau ale celuilalt sistem se pot discuta în ceea ce privește rezolvarea numerică.

GOSMAN /20/ a recomandat la început sistemul  $\Psi$ ,  $\omega_\theta$  pentru a putea elimina presiunea din ecuațiile de bilanț. Reconsiderarea presiunii s-a făcut după calculul cîmpului lui  $\Psi$  și al vitezelor. Valorile presiunii statice astfel obținute sînt supuse unei erori numerice, ele provenind după calcule lungi (o diferențiere dublă și o integrare numerică simplă). Avînd în vedere că în general distribuția presiunii în camere de ardere prezintă mai puțin interes practic decît liniile de curent și distribuția vitezelor, acest dezavantaj nu este prea important.

Un alt dezavantaj al sistemului  $\Psi$ ,  $\omega_\theta$  este că nu poate fi extins asupra curgerilor tridimensionale /21/, deoarece nu există o funcție de curent pentru curgeri tridimensionale.

Ca avantaje se remarcă reducerea numărului de ecuații de rezolvat cu una față de sistemul  $p$ ,  $\vec{v}$  și a condițiilor de contur ale ecuației  $\Psi$  foarte simple (condiții DIRICHLET). Totodată timpii de calcul sînt mai mici.

Avantajul sistemului  $p$ ,  $\vec{v}$  constă în marea sa flexibilitate, putîndu-se adapta la toată gama de probleme ale curgerii fluidelor

incompresibile și compresibile bi- și tridimensionale. Ca principal dezavantaj este sistemul matematic mai complicat, se necesită timpi mari de calcul și implicit calculatoarele electronice de mare putere. Cercetări recente ale lui SPALDING /64/ indică utilizarea sistemului  $p, \vec{v}$ , mai ales în probleme de determinare exactă a câmpului vitezelor și presiunii statice.

În lucrarea de față s-a utilizat sistemul  $\Psi, \omega_\theta$ , fiind unicul, ale cărui rezultate au putut fi comparate cu cele existente în literatura de specialitate /20/.

### 3.3.3. SISTEMUL DE ECUAȚII AVÎND FUNCȚIA DE CURENT ȘI VITEZĂ UNGHIULARĂ A VÎRTEJULUI CA VARIABILE DEPENDENTE ÎN COORDONATE CILINDRICE

Pentru curenți care din punct de vedere matematic sînt bi-dimensionali, se poate defini o funcție scalară  $\Psi(z, r)$ , astfel ca liniile de aceeași valoare a funcției să fie liniile de curent ale câmpului vitezei.

În coordonate cilindrice funcția de curent este definită prin condițiile :

$$\rho v_z = + \frac{1}{r} \frac{\partial \Psi}{\partial r} \quad \text{și} \quad (3.3-6.a)$$

$$\rho v_r = - \frac{1}{r} \frac{\partial \Psi}{\partial z} \quad (3.3-6.b)$$

O reprezentare intuitivă a funcției de curent este redată în fig.3.7. Se prezintă schematic forma liniilor de curent pentru un fluid ce curge prin-

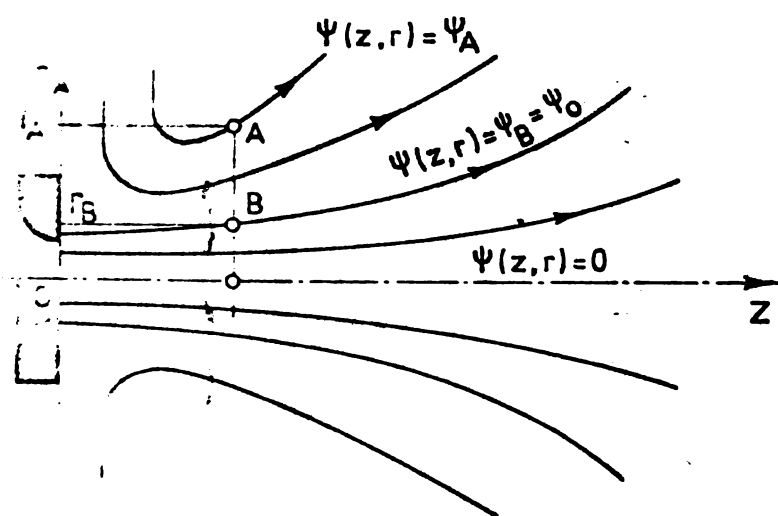


Fig.3.7. Reprezentarea funcției de curent.

tr-o duză. Axa duzei este considerată o linie de curent de valoare 0. Prin integrarea ecuației (3.3-6a) în secțiunea A-0 se obține valoarea funcției de curent în punctul A.

$$\Psi_A = \int_0^{r_A} \rho v_z r \, dr = \frac{1}{2\pi} \dot{M}_A \quad (3.3-7)$$

Linia de curent din punctul B corespunde ieșirii din duză și corespunde o valoare a masei  $\dot{M}_0$  împărțită la  $2\pi$ .

$$\Psi_B = \int_0^{r_B} \rho v_z r dr = \frac{1}{2\pi} \dot{M}_0 = \Psi_0 \quad (3.3-8)$$

Pentru un proces staționar, în coordonate cilindrice, ecuația de continuitate (3.1-12) utilizând funcția de curent (ec. 3.3-6a,b) devine :

$$\frac{\partial}{\partial z} \left( \frac{\partial \Psi}{\partial r} \right) - \frac{\partial}{\partial r} \left( \frac{\partial \Psi}{\partial z} \right) = 0 \quad (3.3-9)$$

obținându-se astfel o reducere de la două la una a ecuațiilor de rezolvat; masa fiind obținută implicit (ec.3.3-7 și 3.3-8).

Ecuația de bilanț pentru impuls (3.1-19) reprezintă conservarea impulsului în direcțiile : axială, radială și tangențială (în coordonate cilindrice). Deoarece presiunea nu este o variabilă independentă, ci este definită prin cîmpul vitezelor, ea poate fi eliminată din ecuații prin introducerea vitezei unghiulare a vârtejului  $\vec{\omega}$ , ca nouă variabilă dependentă /20/, definită prin :

$$\vec{\omega} = \text{rot } \vec{v} \quad (3.3-10)$$

și prin aplicarea operatorului rot asupra ecuației (3.1-19).

Astfel, rot grad p = 0, presiunea este eliminată din componentele axială, radială și tangențială ale impulsului, prin reducerea la o singură ecuație de bilanț pentru  $\vec{\omega}$  :

$$\begin{aligned} \frac{\partial}{\partial t} (\rho \vec{\omega}) + \text{Div}(\rho \vec{\omega} \vec{v}) - \text{rot Div } T_v - \vec{\omega} \text{ Grad}(\rho \vec{v}) - \\ - \vec{\omega} \frac{\partial \rho}{\partial t} - \left( \frac{\partial \vec{v}}{\partial t} + \frac{1}{2} \text{grad } \vec{v}^2 - \vec{k} \right) \cdot \text{grad } \rho = 0 \end{aligned} \quad (3.3-11)$$

Pentru curenți bidimensionali axial-simetrice, vectorul vitezei unghiulare a vârtejului are următoarele componente :

$$\vec{\omega} = \text{rot } \vec{v} = \begin{pmatrix} \omega_z \\ \omega_r \\ \omega_\theta \end{pmatrix} = \begin{pmatrix} \frac{1}{r} \frac{\partial}{\partial r} (v_\theta) \\ - \frac{\partial v_\theta}{\partial z} \\ \frac{\partial v_r}{\partial z} - \frac{\partial v_z}{\partial r} \end{pmatrix} \quad (3.3-12)$$

Introducînd ecuațiile (3.3-6a,b) în ecuația (3.3-12) se poate exprima legătura dintre  $\omega_\theta$  și  $\Psi$ , printr-o ecuație diferențială POISSON :

$$- \frac{\partial}{\partial z} \left( \frac{1}{r\rho} \frac{\partial \Psi}{\partial z} \right) - \frac{\partial}{\partial r} \left( \frac{1}{r\rho} \frac{\partial \Psi}{\partial r} \right) - \omega_\theta = 0 \quad (3.3-13)$$

Ecuația (3.3-13) poate fi adusă la forma ecuației generale de bilanț (Tabelul 3.7), această ecuație reprezentînd punctul de referință pentru un procedeu general și economic de rezolvare

Ecuatia generală de bilanț și ecuațiile curgerii în coordonate cilindrice

Ecuatia generală de bilanț pentru variabila $\varphi$							
Convecție		Difuzie			Sursă	Nr. ecuației	
$\partial\varphi \left[ \frac{\partial}{\partial z} \left( \varphi \frac{\partial\psi}{\partial r} \right) - \frac{\partial}{\partial r} \left( \varphi \frac{\partial\psi}{\partial z} \right) \right]$		$-\frac{\partial}{\partial z} \left[ r b_{\varphi} \frac{\partial}{\partial z} (c_{\varphi}\varphi) \right] - \frac{\partial}{\partial r} \left[ r b_{\varphi} \frac{\partial}{\partial r} (c_{\varphi}\varphi) \right]$			$- r d\varphi$	$= 0$ 3.3-14	
Ecuațiile curgerii cuprinse în modelul matematic							
Ecuatii pentru	Denumirea variabilei $\varphi$	$\frac{U}{M}$	Coef. $a_{\varphi}$	Coef. $b_{\varphi}$	Coef. $c_{\varphi}$	Coef. $d\varphi$ (termen de sursă)	
Funcția de curent	$\psi$	$\frac{kg}{s}$	0	$\frac{1}{r^2 \rho}$	1	$+\frac{\omega_{\theta}}{r}$	3.3-14a
Vit. unghiulară / rază	$\frac{\omega_{\theta}}{r}$	$\frac{1}{m \cdot s}$	$r^2$	$r^2$	$\eta_{ef}$	$+\frac{\partial}{\partial z} (\rho v_{\theta}^2) + r \left\{ \frac{\partial}{\partial z} \frac{v_z^2 + v_r^2}{2} \frac{\partial \rho}{\partial r} - \frac{\partial}{\partial r} \frac{v_z^2 + v_r^2}{2} \frac{\partial \rho}{\partial z} - k_z \frac{\partial \rho}{\partial r} \right\}$	3.3-14b
Momentul $\theta$ / rază	$r v_{\theta}$	$\frac{m^2}{s}$	1	$r^2 \eta_{ef}$	$\frac{1}{r^2}$	0	3.3-14c
Sursii chimice	$m'_j$	$\frac{kg_j}{kg}$	1	$\frac{\eta_{ef}}{\sigma_{j,ef}}$	1	$+\sum_{k=1}^n v_{jk} R_k$	3.3-14d
Entalpie	$h$	$\frac{KJ}{kg}$	1	$\frac{\eta_{ef}}{\sigma_{h,ef}}$	1	$-\frac{1}{r} \sum_{j=1}^p \left\{ \frac{\partial}{\partial z} \left[ r \eta_{ef} \left( \frac{1}{\sigma_{h,ef}} - \frac{1}{\sigma_{j,ef}} \right) h_j \frac{\partial m_j}{\partial z} \right] + \frac{\partial}{\partial r} \left[ r \eta_{ef} \left( \frac{1}{\sigma_{h,ef}} - \frac{1}{\sigma_{j,ef}} \right) h_j \frac{\partial m_j}{\partial r} \right] - \frac{1}{r} \left[ \frac{\partial}{\partial z} (r \cdot \dot{q}_{Rz}) + \frac{\partial}{\partial r} (r \cdot \dot{q}_{Rr}) \right] \right\}$	3.3-14e
Viscozitate dinamică / viscositate	$k$	$\frac{m^2}{s^2}$	1	$\frac{\eta_{ef}}{\sigma_{k,ef}}$	1	$+\eta_t \left\{ 2 \left[ \left( \frac{\partial v_z}{\partial z} \right)^2 + \left( \frac{\partial v_r}{\partial r} \right)^2 \right] + \left( \frac{\partial v_z}{\partial r} + \frac{\partial v_r}{\partial z} \right)^2 + \left( \frac{\partial v_{\theta}}{\partial z} \right)^2 + \left( \frac{\partial v_{\theta}}{\partial r} \right)^2 - \frac{2}{r} v_{\theta} \frac{\partial v_{\theta}}{\partial r} + \frac{2v_r^2}{r^2} + \frac{v_{\theta}^2}{r^2} \right\} - \frac{2}{3} \rho k \left[ \frac{\partial v_z}{\partial z} + \frac{1}{r} \frac{\partial}{\partial r} (r v_r) \right] - C_d \rho k W^{\frac{1}{2}}$	3.3-14f
	În termenul de sursă $d\varphi$						
	$v_z = \frac{1}{\rho r} \frac{\partial \psi}{\partial r}; v_r = -\frac{1}{\rho r} \frac{\partial \psi}{\partial z}$ 3.3-14f'						
Temperatura turbulentă / viteza turbulenței	$W$	$\frac{1}{s^2}$	1	$\frac{\eta_{ef}}{\sigma_{W,ef}}$	1	$+C_1 \eta_t \left\{ 2 \left[ \left( \frac{\partial \omega_z}{\partial z} \right)^2 + \left( \frac{\partial \omega_r}{\partial r} \right)^2 \right] + \left( \frac{\partial \omega_z}{\partial r} + \frac{\partial \omega_r}{\partial z} \right)^2 + \left( \frac{\partial \omega_{\theta}}{\partial z} \right)^2 + \left( \frac{\partial \omega_{\theta}}{\partial r} \right)^2 - \frac{2}{r} \omega_{\theta} \frac{\partial \omega_{\theta}}{\partial r} + \frac{2\omega_r^2}{r^2} + \frac{\omega_{\theta}^2}{r^2} \right\} + C_3 \frac{W}{k} \left\{ \left\{ \eta_t \left[ 2 \left[ \left( \frac{\partial v_z}{\partial z} \right)^2 + \left( \frac{\partial v_r}{\partial r} \right)^2 \right] + \left( \frac{\partial v_z}{\partial r} + \frac{\partial v_r}{\partial z} \right)^2 + \left( \frac{\partial v_{\theta}}{\partial z} \right)^2 + \left( \frac{\partial v_{\theta}}{\partial r} \right)^2 - \frac{2}{r} v_{\theta} \frac{\partial v_{\theta}}{\partial r} + \frac{2v_r^2}{r^2} + \frac{v_{\theta}^2}{r^2} \right] \right\} - \frac{2}{3} \rho k \left[ \frac{\partial v_z}{\partial z} + \frac{1}{r} \frac{\partial}{\partial r} (r v_r) \right] \right\} - C_2 \rho W W^{\frac{1}{2}}$	3.3-14g
	$\omega_z = \frac{1}{r} \frac{\partial}{\partial r} (r v_{\theta}); \omega_r = -\frac{\partial v_{\theta}}{\partial z}$ 3.3-14g'						



numerică a ecuațiilor diferențiale ce descriu procesele din focare. Astfel calculul curgerii, amestecului și arderii complete se face prin rezolvarea simultană a cinci ecuații diferențiale cu derivate parțiale ce descriu : conservarea masei ( $\Psi$ ); speciei chimice ( $m_j$ ), energiei ( $h$ ), vitezei unghiulare a vârtejului ( $\omega$ ) și a componentei tangențiale a impulsului ( $v_\theta \cdot r$ ). Ecuațiile de bilanț ce descriu fenomenele parțiale mai sus arătate, au o trăsătură comună și anume, cu mici modificări se pot aduce la o formă generală a ecuației de bilanț, făcându-le accesibile metode de rezolvare numerice.

Pentru derivarea numerică a ecuațiilor curgerii, lucrarea de față folosește sistemul de ecuații de bază  $\Psi - \omega_\theta$ , aflat în formă definitivă în tabelul 3.7. Schema generală de rezolvare a unui astfel de sistem a fost confirmată de GOSMAN /20/.

Derivarea ecuației de bilanț pentru componenta tangențială a vitezei unghiulare a vârtejului (3.3-14b) a fost făcută pe baza ecuației generale a vectorului vârtej (3.3-11) /66/. În ecuația lui  $\omega_\theta$  (3.3-14b) ca și în restul ecuațiilor de bilanț (3.3-14f și 3.3-14g) apar încă  $v_z$  și  $v_r$  ca și variabile, care însă pot fi eliminate pe baza ecuațiilor de definiție (3.3-14'f).

În forma finală a sistemului de ecuații (Tabelul 3.7) s-a folosit în locul lui  $\omega_\theta$  variabila  $\omega_\theta/r$ , iar în locul lui  $v_\theta$  variabila  $r \cdot v_\theta$ .  $v_z$  și  $v_r$  au fost utilizate în termenul de sursă a lui  $\omega_\theta$  pentru o scriere simplificată, aceste mărimi fiind ulterior înlocuite prin utilizarea funcției de curent. De asemenea  $\omega_z$  și  $\omega_r$  trebuie înlocuiți în termenul de sursă a lui  $\bar{W}$  pentru o curgere turbionară cu ecuațiile (3.3-14'g). La o curgere neturbionară  $\omega_z$  și  $\omega_r$  iau valoarea zero.

Modificări semnificative ale acestui sistem de ecuații se aduc în continuare prin precizarea reacției chimice și a transferului de căldură prin radiație.

---

### 3.4. DESCRIEREA MATEMATICĂ A REACȚIEI DE ARDERE

---

#### 3.4.1. SIMPLIFICĂRI ADUSE DESCRIEI REACȚIEI DE ARDERE

---

În general, calculul flăcării industriale se face considerînd reacția de ardere mult simplificată. Acest lucru se impune din următoarele motive :

- reacțiile elementare ce apar la oxidarea combustibililor nu sînt clarificate în întregime, cu excepția unor combus-

combustibili gazeși simpli, ca de exemplu hidrogenul /67/ sau metanul /68/;

- descrierea completă a arderii cu ajutorul reacțiilor elementare implică un număr mare de componente. Astfel CREMER /69/ în cadrul reacției metan-aer ia în considerare 17 componente.

Cheltuielile de calcul pentru rezolvarea unui număr așa de mare de ecuații de transport a speciilor chimice nu sînt accesibile, mai ales în cadrul focarelor în care avem recirculare a produselor de ardere. Totodată este problematică obținerea stabilității la rezolvarea numerică a acestor ecuații nelineare.

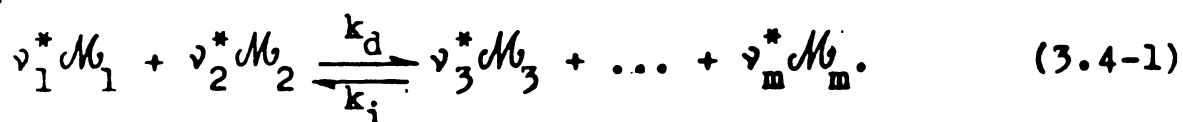
- este greu de determinat viteza de reacție a combustibililor gazeși în focare cu regim turbulent de desfășurare a curgerii și arderii.

Pentru a obține modele matematice simplificate a reacției de ardere, se utilizează frecvent așa numitele "reacții brute", în care se neglijează etapele intermediare de desfășurare a reacției. Se face bilanțul raportat doar la componentele inițiale și la produși finali (nu se iau în considerare componentele inerte). Reacții brute ale oxidării  $CH_4$  și  $CO$  sînt date în /70/. O altă simplificare importantă rezultă din considerarea că unele reacții de ardere se desfășoară infinit de repede.

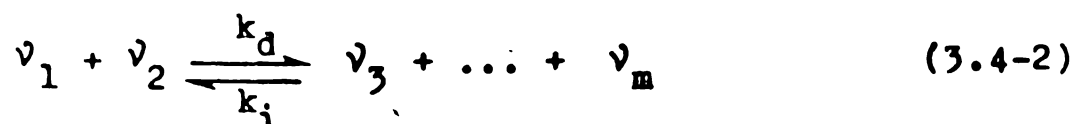
În această lucrare se vor deduce modele simple ale reacțiilor de ardere, neglijîndu-se influența turbulenței, astfel ca viteza de reacție medii să fie funcții numai de mărimile simple cîmp, ca de exemplu ale concentrațiilor și temperaturilor medii. S-au făcut încercări de luare în considerare a turbulenței /71/, /66/, utilizînd un model  $\bar{k}-\bar{W}$  sau  $\bar{k}-\bar{E}$ , însă pentru calculul coeficienților de difuzie a combustibililor gazeși, unde se consideră viteza de reacție infinit de mare, volumul suplimentar de calcul nu justifică precizia redusă a rezultatelor obținute.

### 3.4.2. REACȚII BRUTE

Forma generală a ecuației unei reacții brute este dată de forma :

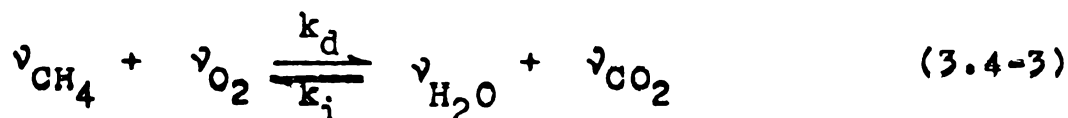


unde, în cazul în care se folosesc coeficienții stoichiometrici definiți de relația (3.1-29) devine :



cu indicele 1 s-a notat combustibilul, cu 2 oxidantul, indicii 3 la m reprezintă produsele arderii. Celelalte componente m+1 la p sînt inerte, coeficienții lor stoichiometrici fiind o.

În cazul arderii metanului cu oxigenul, forma particulară a relației (3.4-2) este :



cu  $\nu_{\text{CH}_4} = -0,20$ ;  $\nu_{\text{O}_2} = -0,80$ ,  $\nu_{\text{H}_2\text{O}} = 0,45$ ;  $\nu_{\text{CO}_2} = 0,55$ .

Pentru concentrația medie a componentelor m este valabilă ecuația de bilanț dedusă în paragraful 3.2.

$$\text{div}(\bar{\rho} \bar{m}_j \bar{v} - \frac{\eta_{ef}}{\sigma_{j,ef}} \text{grad } \bar{m}_j) - \nu_j \bar{R} = 0 \quad (3.4-4)$$

care poate fi integrată pentru componentele p-1 avînd în vedere că :

$$\sum_{j=1}^p \bar{m}_j = 1 \quad (3.4-5)$$

iar pentru componentele  $j = m+1, \dots, p$  termenul de sursă  $\nu_j \bar{R} = 0$ . Sistemul de ecuații (3.4-4) poate fi simplificat prin eliminarea termenului de sursă  $\nu_j \bar{R}$  din ecuațiile m-1 și presupunînd numerele SCHMIDT efective ca egale pentru toate componentele :

$$\sigma_{1,ef} = \sigma_{j,ef} = \sigma_{\varphi,ef} \quad (3.4-6)$$

Se obțin astfel următoarele ecuații de bilanț :  
pentru  $j = 1$

$$\text{div}(\bar{\rho} \bar{m}_1 \bar{v} - \frac{\eta_{ef}}{\sigma_{\varphi,ef}} \text{grad } \bar{m}_1) - \nu_1 \bar{R} = 0 \quad (3.4-7a)$$

pentru  $j = 2 \dots m$  și  $\bar{\varphi}_j = \frac{\bar{m}_1}{\nu_1} - \frac{\bar{m}_j}{\nu_j}$

$$\text{div}(\bar{\rho} \bar{\varphi}_j \bar{v} - \frac{\eta_{ef}}{\sigma_{\varphi,ef}} \text{grad } \bar{\varphi}_j) = 0 \quad (3.4-7b)$$

pentru  $j = m+1 \dots p-1$ .

$$\text{div}(\bar{\rho} \bar{m}_j \bar{v} - \frac{\eta_{ef}}{\sigma_{\varphi,ef}} \text{grad } \bar{m}_j) = 0 \quad (3.4-7c)$$

pentru  $j = p$

$$\bar{m}_p = 1 - \sum_{j=1}^{p-1} \bar{m}_j \quad (3.4-7d)$$

Variabilele dependente introduse în ecuația (3.4-7b)

$$\bar{\varphi}_j = \frac{\bar{m}_1}{\nu_1} - \frac{\bar{m}_j}{\nu_j}$$

ca și componentele inerte din ecuația (3.4-7c) proprietăți conservative.

Ca urmare a transformărilor efectuate, viteza de reacție  $\bar{R}$  apare doar în ecuația pentru combustibil (3.4-7a) și termenul  $v_1 \bar{R}$  poate fi aproximat cu o expresie de forma /66/ :

$$v_1 \bar{R} = v_1^* \mathcal{M}_1 \bar{k}_d \left[ \left( \bar{\rho} \frac{\bar{m}_1}{\mathcal{M}_1} \right)^{-v_1^*} \left( \bar{\rho} \frac{\bar{m}_2}{\mathcal{M}_2} \right)^{-v_2^*} - \frac{1}{K_c} \prod_{j=3}^m \left( \bar{\rho} \frac{\bar{m}_j}{\mathcal{M}_j} \right)^{v_j^*} \right] \quad (3.4-8)$$

În general pentru domeniul de temperaturi ridicate din focarele generatoarelor de abur, constanta de echilibru a reacției are valoare foarte mare, astfel că reacția de ardere (3.4-1) se desfășoară exclusiv de la stînga la dreapta. Pentru  $K_c \rightarrow \infty$  dispare a doua expresie din membrul drept al relației (3.4-8), iar pentru  $K_c$  suficient de mare, poate fi neglijat.

### 3.4.3. INTRODUCEREA FRACTIEI AMESTECULUI

Ecuatiile de bilanț ale speciilor chimice (3.4-7a,b) pot fi scrise într-o forma particulară, dacă sînt îndeplinite condițiile:

- fluxurile de materie sînt introduse separat în camera de ardere în curent primar și secundar, avînd un profil plan al concentrațiilor (din punct de vedere tehnic acest lucru este realizabil la un arzător de difuzie tip "țeavă în țeavă");
- pereții are pereții impermeabili;
- condițiile de contur ale concentrațiilor la pereți și la ieșirea din focar sînt date de același tip de ecuații (gradienti).

În aceste condiții variabilele  $\bar{\varphi}_j$  ( $j = 2, \dots, m$ ) și concentrațiile  $\bar{m}_j$  ale componentelor inerte ( $j = m+1, \dots, p-1$ ), prin introducerea așa numitei "fracții a amestecului" (raportul amestecului)

$$\bar{f} = \frac{\bar{\varphi}_j - (\bar{\varphi}_j)_s}{(\bar{\varphi}_j)_p - (\bar{\varphi}_j)_s} = \frac{\bar{m}_j - (\bar{m}_j)_s}{(\bar{m}_j)_p - (\bar{m}_j)_s} \quad (3.4-9)$$

sînt determinate prin reducerea ecuațiilor p-2 (3.4-7b și 3.4-7c) la o singură ecuație pentru  $\bar{f}$  :

$$\text{div}(\bar{\rho} \bar{f} \vec{v} - \frac{\eta_{ef}}{\sigma_{f,ef}} \text{grad } \bar{f}) = 0 \quad (3.4-10)$$

unde  $\bar{f} = 1$  pentru secțiunea de intrare primară și  $\bar{f} = 0$  pentru secțiunea de intrare secundară, conform relației (3.4-9).

### 3.4.4. MODELUL REACȚIEI "AMESTEC = ARS"

Dacă presupunem că viteza reacției brute (3.4-1) este in-

finit de mare, se obține o nouă simplificare a ecuației de bilanț a arderii (3.4-7a,d). Prin substituția ecuației (3.4-8) în ecuația (3.4-7a) și prin împărțirea la  $\bar{k}_d$ , considerând  $\bar{k}_d \rightarrow \infty$ , rezultă în locul ecuației diferențiale (3.4-7a) pentru bilanțul material ecuația algebrică nelineară :

$$\left(\bar{\rho} \frac{\bar{m}_1}{\mathcal{M}_1}\right)^{-\nu_1^*} \left(\bar{\rho} \frac{\bar{m}_2}{\mathcal{M}_2}\right)^{-\nu_2^*} - \frac{1}{K_c} \prod_{j=3}^m \left(\bar{\rho} \frac{\bar{m}_j}{\mathcal{M}_j}\right)^{\nu_j^*} = 0 \quad (3.4-11)$$

Considerând pentru o reacție de ardere  $K_c \rightarrow \infty$ , se obține

$$\bar{m}_1^{-\nu_1^*} \bar{m}_2^{-\nu_2^*} = 0 \quad (3.4-12)$$

Acest model al reacției exclude posibilitatea existenței în același timp și loc a combustibilului și oxidantului, corespunzând expresiei "amestec = ars"; prin "amestec" înțelegându-se amestecul macroscopic. Această formulare este identică cu ipoteza unei viteze medii de reacție infinit de mare.

Ecuația (3.4-12) are soluția generală :

$$\bar{m}_2 = 0 \quad \text{pentru} \quad \bar{m}_1 \geq 0 \quad (3.4-13a)$$

$$\bar{m}_1 = 0 \quad \text{pentru} \quad \bar{m}_2 \geq 0 \quad (3.4-13b)$$

Cu ajutorul relațiilor (3.4-13a,b), din rezolvarea ecuațiilor diferențiale (3.4-7b) rezultă următoarea distribuție a concentrațiilor reactanților :

$$\text{pentru } \bar{\varphi}_2 \leq 0 : \bar{m}_1 = \nu_1 \bar{\varphi}_2 ; \bar{m}_2 = 0 \quad (3.4-14a)$$

$$\bar{\varphi}_2 \geq 0 : \bar{m}_1 = 0 ; \bar{m}_2 = -\nu_2 \bar{\varphi}_2$$

$$\text{pentru } j = 3, \dots, m : \bar{m}_j = \frac{\nu_j}{\nu_1} \bar{m}_1 - \nu_j \bar{\varphi}_j \quad (3.4-14b)$$

În cazul utilizării unui arzător de difuzie dublu concentric cu admisie primară și secundară, rezolvarea ecuației diferențiale (3.4-7b) duce la următoarele soluții :

$$\text{pentru } \bar{r} \geq -\frac{(\bar{\varphi}_2)_s}{(\bar{\varphi}_2)_p - (\bar{\varphi}_2)_s} : \bar{m}_1 = \nu_1 [(\bar{\varphi}_2)_p - (\bar{\varphi}_2)_s] \bar{r} + \nu_1 (\bar{\varphi}_2)_s ; \bar{m}_2 = 0$$

$$\bar{r} \leq -\frac{(\bar{\varphi}_2)_s}{(\bar{\varphi}_2)_p - (\bar{\varphi}_2)_s} : \bar{m}_1 = 0 ; \bar{m}_2 = -\nu_2 [(\bar{\varphi}_2)_p - (\bar{\varphi}_2)_s] \bar{r} - \nu_2 (\bar{\varphi}_2)_s \quad (3.4-15a)$$

$$\text{pentru } j = 3, \dots, m : \bar{m}_j = \frac{\nu_j}{\nu_1} \bar{m}_1 - \nu_j [(\bar{\varphi}_j)_p - (\bar{\varphi}_j)_s] \bar{r} - \nu_j (\bar{\varphi}_j)_s \quad (3.4-15b)$$

Din ecuațiile (3.4-14a) și (3.4-15a), pentru suprafața unde

se stabilește amestecul stoechiometric, avem :

$$\bar{\varphi}_2 = (\bar{\varphi}_s)_{st} = 0 \quad (3.4-16)$$

și

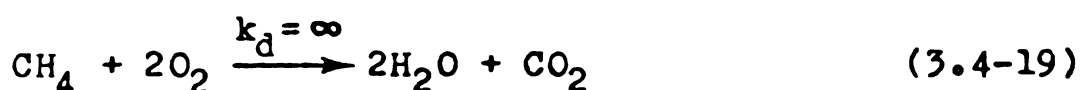
$$\bar{f} = \bar{f}_{st} = \frac{-(\bar{\varphi}_2)_s}{(\bar{\varphi}_2)_p - (\bar{\varphi}_2)_s} \quad (3.4-17)$$

Dacă la ardeătorul de difuzie dublu concentrație introducem prin orificiul primar numai combustibil  $(\bar{m}_1)_p = 1$ ; iar dacă prin orificiul secundar se introduce doar oxidant  $(\bar{m}_2)_s = 1$ . Astfel ecuația (3.4-17) se mai poate scrie

$$\bar{f} = \bar{f}_{st} = \frac{1}{1 + \frac{\nu_2}{\nu_1}} \quad (3.4-18)$$

### 3.4.5. CALCULUL CONCENTRAȚIILOR MASICE AL COMPONENTELOR LA ARDEREA GAZULUI METAN

Considerând reacția brută de oxidare a metanului într-o singură etapă



de tipul "amestec = ars", doar  $\text{CH}_4$ ,  $\text{O}_2$ ,  $\text{H}_2\text{O}$ ,  $\text{CO}_2$  și  $\text{N}_2$  sînt luate în considerare ca și componente de calcul.

Aceste simplificări permit determinarea fracțiilor de masă locale a tuturor speciilor chimice  $m_j$  din raportul adimensional de amestec  $f$  (ec.3.4-9) (fracția amestecului)

- metanul -  $\text{CH}_4$

$$f \geq f_{st} : m_{\text{O}_2} = 0$$

$$f < f_{st} : m_{\text{O}_2} = (m_{\text{O}_2})_s (1-f) - \lambda (m_{\text{CH}_4})_p f \quad (3.4-20)$$

$$m_{\text{CH}_4} = 0$$

- oxigenul -  $\text{O}_2$

$$f \geq f_{st}; m_{\text{CH}_4} = \frac{1}{\lambda} (m_{\text{O}_2})_s (f-1) + f (m_{\text{CH}_4})_p \quad (3.4-21)$$

$$m_{\text{O}_2} = 0$$

$$f < f_{st} : m_{\text{CH}_4} = 0$$

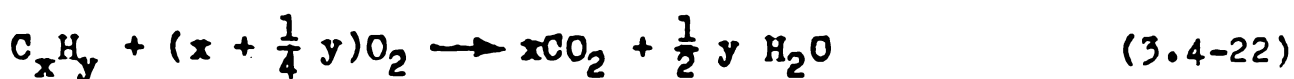
- vaporii de apă- $\text{H}_2\text{O}$

În focar vaporii de apă provin din două surse :

- introduși cu aerul necesar arderii și

- ca produs al reacției conform ecuației :





Pe unitatea de masă de combustibil arsă se obține cantitatea de apă

$$R_{H_2O} = \frac{9y}{12x + y} \quad (3.4-23)$$

la consumul stoechiometric de oxigen

$$\lambda = \frac{32x + 8y}{12x + y} \quad (3.4-24)$$

Pentru  $CH_4$  ( $x = 1, y = 4, \lambda = 4$ ).

Cantitatea de apă din fiecare punct de calcul al focarului se obține cu relațiile

$$\left. \begin{aligned} m_{H_2O} &= R_{H_2O} [f(m_{CH_4})_p - m_{CH_4}] \\ m_{H_2O} &= 9 \left( \frac{3}{16} \lambda - \frac{1}{2} \right) [f(m_{CH_4})_p - m_{CH_4}] + f(m_{H_2O})_s \\ m_{H_2O} &= \frac{9}{4} [f(m_{CH_4})_p - m_{CH_4}] + f(m_{H_2O})_s \end{aligned} \right\} \quad (3.4-25)$$

- bioxidul de carbon -  $CO_2$

$$R_{CO_2} = \frac{44x}{12x + y} \quad (3.4-26)$$

Din ecuațiile (3.4-24) și (3.4-26) rezultă cantitatea de bioxid de carbon în punctele de calcul :

$$\left. \begin{aligned} m_{CO_2} &= R_{CO_2} [f(m_{CH_4})_p - m_{CH_4}] \\ m_{CO_2} &= 11 \left( \frac{1}{2} - \frac{\lambda}{16} \right) [f(m_{CH_4})_p - m_{CH_4}] \\ m_{CO_2} &= \frac{11}{4} [f(m_{CH_4})_p - m_{CH_4}] \end{aligned} \right\} \quad (3.4-27)$$

- azotul -  $N_2$

Fiind gaz inert, azotul nu ia parte la reacție și se determină din condiția :

$$\sum m_j = 1 \quad (3.4-28)$$

$$m_{N_2} = 1 - (m_{CH_4} + m_{O_2} + m_{H_2O} + m_{CO_2}) \quad (3.4-29)$$

### 3.5. CALCULUL SCHIMBULUI DE CĂLDURĂ PRIN RADIAȚIE

#### 3.5.1. CONSIDERAȚII TEORETICE

Considerînd spațiul focarului ca un fluid neizoterm care curge, acesta transportă în primul rînd căldură prin convecție și prin difuzie moleculară și turbulentă. Corespunzător compoziției și caracteristicilor optice, un mediu poate să emită, să absoarbă și să disipeze radiația termică. Transferul de căldură prin radiație este independent de cîmpul curgerii. La transmiterea căldurii prin convecție și difuzie, schimbul de căldură și substanță are loc între volumul infinit de mic considerat în cîmpul curgerii și volumele învecinate. În cazul radiației cantitatea de căldură absorbită de un volum elementar provine de la toate volumele infinitezimale ale spațiului focarului cît și de la pereții acestuia.

Astfel valoarea netă a densității fluxului de căldură schimbă de un volum elementar în unitatea de timp este definită prin :

$$- \operatorname{div} (\vec{J}_{q,R}) \quad (3.5-1)$$

care apare ca termen de sursă în ecuația entalpiei (3.1-7od).

Pentru curgeri turbulente se poate considera densitatea fluxului de căldură prin radiație ca fiind format din componența continuă și cea pulsatorie :

$$\vec{J}_{q,R} = \bar{\vec{J}}_{q,R} + \vec{J}'_{q,R} \quad (3.5-2)$$

În această lucrare influența turbulenței asupra transferului de căldură prin radiație va fi neglijată, avîndu-se în vedere faptul că zonele prioritare participante sînt cele de recirculație, unde fluctuațiile temperaturilor sînt cele mai reduse.

Din punct de vedere matematic, transmiterea căldurii prin convecție și difuzie, respectiv prin radiație este definită prin formulări diferite. Astfel transferul convectiv și difuziv este descris prin ecuații diferențiale cu derivate parțiale, în timp ce schimbul de căldură prin radiație are la bază ecuații integro-diferențiale.

Pentru calculele tehnice și mai ales în condițiile utilizării calculatorului electronic, este necesar de a se aduce la aceeași formă ecuațiile transferului prin radiație cu cele ale transportului convectiv și difuziv. Doar în cazuri particulare și cu multe simplificări acest lucru este posibil. Prezentarea



$$\dot{q}_N = \sigma T^4 \quad (3.5-8)$$

astfel că intensitatea radiației corpului negru se poate calcula cu :

$$i_N = \frac{\dot{q}_N}{\pi} = \frac{\sigma}{\pi} T^4 \quad (3.5-9)$$

Dependența intensității  $i$  a radiației de lungimea de undă se face prin introducerea intensității spectrale  $i_\lambda$  a radiației avînd relația de legătură :

$$i = \int_0^\infty i_\lambda d\lambda \quad (3.5-10)$$

$i_\lambda$  fiind intensitatea monocromatică a radiației.

### 3.5.3. ECUAȚIILE DE TRANSPORT ALE RADIAȚIEI MONOCROMATICE

Pentru a calcula distribuția spațială a intensității radiației  $i$  într-un mediu staționar ce emite, absoarbe și reflectă, se scrie bilanțul energetic pentru un fascicol infinitesimal de raze cu lungimea  $ds$  în ipoteza existenței echilibrului termodinamic local. Acest bilanț energetic duce la următoarea ecuație de transport a intensității după o direcție a radiației :

$$\frac{di_\lambda}{ds} = \vec{e}_R \text{grad } i_\lambda = -(K_{a,\lambda} + K_{R,\lambda}) i_\lambda + K_{a,\lambda} i_{N,\lambda} + \frac{K_{R,\lambda}}{4\pi} \int_0^{4\pi} p_\lambda(\Phi^*) i_\lambda(\Omega^*) d\Omega^* \quad (3.5-11)$$

Relația (3.5-11) este dedusă în //11/, termenii ecuației fiind explicați în fig.3.9.

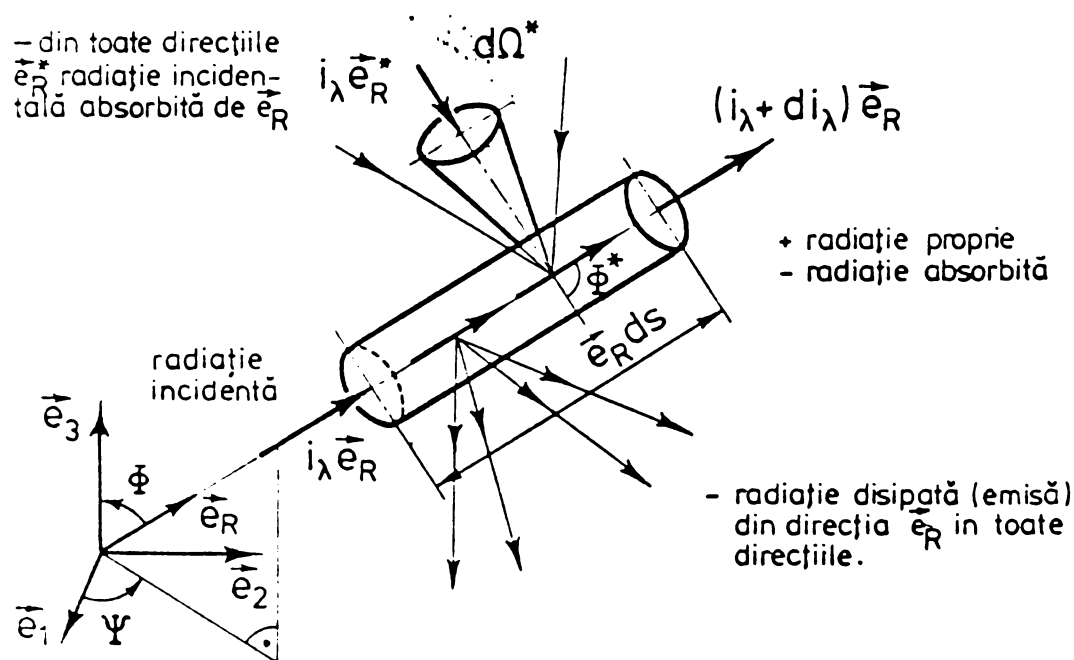


Fig. 3.9. Interpretarea ecuației de transport a radiației (ec.3.5-11).

$\vec{e}_R \text{grad } i_\lambda$  : variația lui  $i_\lambda$  de-a lungul elementului infinitesimal linear  $ds$ , orientat pe direcția versorului  $\vec{e}_R$ .

$-(K_{a,\lambda} + K_{R,\lambda}) i_\lambda$  : suma radiațiilor absorbite și difuzate (emise)

de-a lungul lui  $ds$  în direcția  $\vec{e}_R$ .

$K_{a,\lambda} i_{N,\lambda}$  - emisia volumului elementar de lungime  $ds$  în direcția  $\vec{e}_R$ .

$\frac{K_{R,\lambda}}{4\pi} \int_0^{4\pi} p_\lambda(\Phi^*) i_\lambda(\Omega^*) d\Omega^*$  - emisia și dispersia radiației din toate direcțiile  $\vec{e}_R^*$  de-a lungul lui  $ds$ .

#### 3.5.4. ECUAȚIILE DE BILANȚ PENTRU RADIATIA TERMICĂ MONOCROMATICĂ

Prin integrarea ecuației (3.5-11) a intensității direcționale a radiației pe un unghi solid de  $4\pi$  (în toate direcțiile) se obține ecuația de bilanț pentru căldura radiată :

$$\int_{4\pi} \vec{e}_R \cdot \text{grad } i_\lambda d\Omega = -K_{a,\lambda} \int_{4\pi} i_\lambda d\Omega + 4\pi K_{a,\lambda} \cdot i_{N,\lambda} \quad (3.5-12)$$

În ecuația (3.5-12) s-a considerat :

$$\frac{K_{R,\lambda}}{4\pi} \int_{4\pi} \int_{4\pi} p_\lambda(\Phi^*) i_\lambda(\Omega^*) d\Omega^* d\Omega = K_{R,\lambda} \int_{4\pi} i_\lambda d\Omega \quad (3.5-13)$$

Termenii ecuației (3.5-12) care se referă la radiația disipată nu participă la ecuația de bilanț, aceasta fiind scrisă doar pentru energia înmagazinată în elementul de volum infinitezimal considerat.

#### 3.5.5. ECUAȚIA DE BILANȚ A RADIATIEI TERMICE

Dacă se integrează ecuația (3.5-12) pe toate lungimile de undă, rezultă ecuația de bilanț a întregii călduri radiate.

$$\begin{aligned} \int_0^\infty \int_{4\pi} \vec{e}_R \cdot \text{grad } i_\lambda d\Omega d\lambda &= \text{div } \vec{J}_{q,R} \equiv \text{div } \vec{q}_R = \\ &= - \int_0^\infty K_{a,\lambda} \int_{4\pi} i_\lambda d\Omega d\lambda + 4\pi \int_0^\infty K_{a,\lambda} i_{N,\lambda} d\lambda \end{aligned} \quad (3.5-14)$$

Membrul stâng al ecuației reprezintă cantitatea netă de căldură radiată de un element infinitezimal de volum în unitatea de timp și corespunde cu termenul de sursă negativ (ec.3.5-1) al ecuației entalpiei.  $\vec{J}_{q,R} \equiv \text{div } \vec{q}_R$ . Primul termen din membrul drept este căldura radiată absorbită pe unitatea de volum și timp, iar al doilea termen căldura iradiată pe unitatea de volum și timp.

#### 3.5.6. CONDIȚII DE CONTUR A ECUAȚIILOR DE TRANSPORT A RADIATIEI LA PEREȚI

Se presupune că emisia și reflexia radiației termice la pereții ce limitează domeniul de radiație, respectă legea cosinusului

a lui LAMBERT. Cu notațiile din fig.3.10 condițiile de contur pentru intensitatea radiației monocromatice devin :

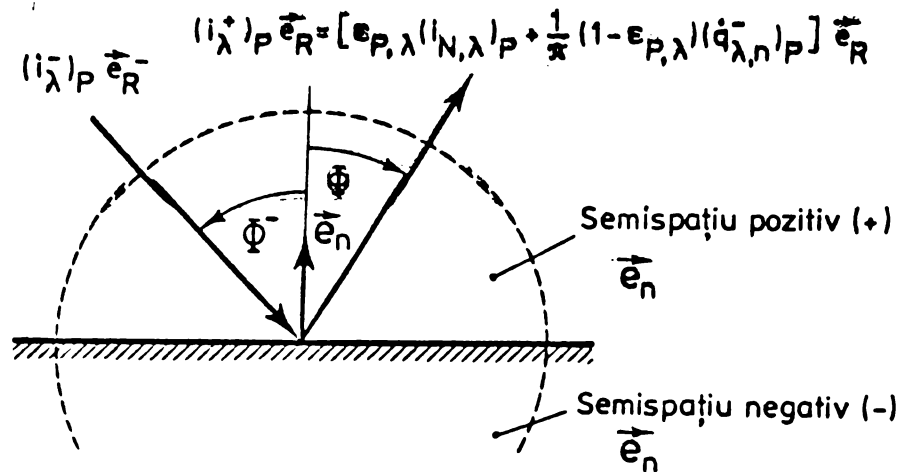


Fig.3.10. Notații ale intensității radiației la perete.

$$(i_{\lambda}^+)_{P} = \epsilon_{P,\lambda}(i_{N,\lambda})_{P} + \frac{1}{\pi}(1 - \epsilon_{P,\lambda})(\dot{q}_{\lambda,n}^-)_{P} \quad (3.5-15)$$

Componenta normală a vectorului densității de flux termic radiat considerîndu-se ecuația (3.5-15) pentru  $\vec{e}_n$  este :

$$(\dot{q}_{\lambda,n}^-)_{P} = \int_{2\pi} (i_{\lambda}^-)_{P}(\vec{e}_R^- \cdot \vec{e}_n) d\Omega^- = - \int_{2\pi} (i_{\lambda}^-)_{P} \cos \Phi^- d\Omega^- \quad (3.5-16)$$

Pentru radiația monocromatică se obține condiția de contur

$$(\dot{q}_{\lambda,n}^+)_{P} = \pi \epsilon_{P,\lambda}(i_{N,\lambda})_{P} + (1 - \epsilon_{P,\lambda})(\dot{q}_{\lambda,n}^-)_{P} \quad (3.5-17)$$

iar pentru întreaga căldură radiată rezultă :

$$(\dot{q}_{R,n}^+)_{P} = \pi \int_0^{\infty} \epsilon_{P,\lambda}(i_{N,\lambda})_{P} d\lambda + \int_0^{\infty} (1 - \epsilon_{P,\lambda})(\dot{q}_{\lambda,n}^-)_{P} d\lambda \quad (3.5-18)$$

Densitatea fluxului net al radiației termice la perete rezultă din diferența densității fluxului de căldură radiat și absorbit

$$(\dot{q}_{R,n})_{P} = \dot{q}_{R,n}^+ - \dot{q}_{R,n}^- = \pi \int_0^{\infty} \epsilon_{P,\lambda}(i_{N,\lambda})_{P} d\lambda - \int_0^{\infty} \epsilon_{P,\lambda}(\dot{q}_{\lambda,n}^-)_{P} d\lambda \quad (3.5-19)$$

### 3.5.7. METODE DE REZOLVARE A ECUAȚIILOR DE TRANSPORT A RADIAȚIEI TERMICE

Soluția analitică a ecuațiilor schimbului de căldură prin radiație (3.5.11) și (3.5-15) este posibilă doar pentru câteva cazuri simple, la care printre altele simplificări, transmiterea căldurii prin convecție este neglijată /10/, /12/. Pentru cazurile practice și în deosebi pentru calculul transferului de căldură prin radiație în focare și flăcări, trebuie să acceptăm soluții



aproximative, obținute mai nou cu ajutorul metodelor numerice.

Interpretarea ecuațiilor integro-diferențiale ce descriu transmiterea căldurii prin radiație, conduc la două grupe de probleme :

- problema geometrică a schimbului de căldură prin radiație, care constă în determinarea dependenței de direcție a intensității radiației și
- problema tratării dependenței de lungimea de undă a coeficienților de atenuare  $K_{a,\lambda}$ , a funcției de dispersie  $p_{\lambda}(\Phi^*)$  și a factorilor energetici de emisie  $\epsilon_{p,\lambda}$  ai radiației.

O altă problemă s-ar putea ridica, când pereții nu respectă legea lui LAMBERT (reflectă doar parțial difuz). Acest lucru nu face obiectul prezentei lucrări.

### 3.5.7.1. METODELE PENTRU REZOLVAREA PROBLEMEI GEOMETRICE A SCHIMBULUI DE CĂLDURĂ PRIN RADIAȚIE

Problema geometrică a calculului schimbului de căldură prin radiație se poate trata simplificat considerând gazele din focar și pereții corpurii cenușii. În acest caz mărimile caracteristice  $K_a$ ,  $\epsilon_p$  și  $p(\Phi^*)$  ale radiației cenușii nu depind de lungimea de undă  $\lambda$ . Astfel ecuația de transport (3.5-11) pentru  $i_{\lambda}$  și condiția ei de contur (3.5-15) se pot integra pe toate lungimile de undă :

$$\vec{e}_R \text{ grad } i = -(K_a + K_R)i + K_a \frac{\sigma}{\pi} T^4 + \frac{K_R}{4\pi} \int_0^{4\pi} p(\Phi^*) i(\Omega^*) d\Omega \quad (3.5-20)$$

$$i_P^+ = \epsilon_P \frac{\sigma}{\pi} T_P^4 + \frac{1}{\pi} (1 - \epsilon_P) \int_0^{2\pi} i_P^- \cos \Phi^- d\Omega^- \quad (3.5-21)$$

Ecuația de transport și condiția de contur pentru întreaga căldură de radiație cenușie este :

$$\text{div } \vec{q}_R = \int_{4\pi} \vec{e}_R \text{ grad } i d\Omega = -K_a \int_{4\pi} i d\Omega + 4K_a \sigma T^4 \quad (3.5-22)$$

$$(\dot{q}_{R,n})_P = \epsilon_P \sigma T_P^4 - \epsilon_P \int_{2\pi} i_P^- \cos \Phi^- d\Omega^- \quad (3.5-23)$$

Rezolvarea ecuațiilor (3.5-20) și (3.5-21) necesită cunoașterea distribuției spațiale a temperaturii și a coeficienților de atenuare și difuzie a radiației. Astfel apare ca singură variabilă necunoscută, dependența intensității radiației  $i$  de factorii geometrici :

$$i = f(\vec{r}, \Phi, \Psi) \quad (3.5-24a)$$

Metodele de rezolvare numerică prevăd introducerea ecuației (3.5-22) în ecuația entalpiei ca termen de sursă, pentru a obține pe cale iterativă o rezolvare simultană a acesteia cu ecuațiile de bilanț pentru impuls și specii chimice.

Pentru rezolvarea aproximativă a ecuației de transport a radiației s-au dezvoltat două grupe de metode :

- metoda zonei și
- modele de curgere.

Metoda zonei, dezvoltată de HOTTEL și SAROFIM /10/ permite o evaluare aproape exactă a schimbului de căldură prin radiație în incinta focarului, cu condiția ca proprietățile radiative ale gazelor de ardere și pereților să fie cunoscute. Câmpurile de temperatură și distribuția fluxului de căldură prin radiație sînt calculate cu ajutorul bilanșurilor energetice totale pe fiecare zonă a focarului. Metoda prezintă două neajunsuri importante :

- determină doar fluxul de căldură prin radiație și
- necesită un volum mare de date de intrare.

Scopul acestui capitol fiind elaborarea unui model matematic "închis" al distribuției fluxului de căldură în focare axial-simetrice, doar modelele de curgere prezintă interes.

#### 3.5.7.2. MODELE DE CURGERE

Ideea ce stă la baza modelelor de curgere constă în a aproxima a priori dependența de direcție a intensității radiației  $i$  prin funcții discontinue sau continue a unghiurilor  $\Phi$  și  $\Psi$ .

În funcție de felul în care a fost transformată ecuația (3.5-20), se deosebesc încă două metode :

- modele pe baza aproximării SCHUSTER-SCHWARZSCHILD /11/ și
- modele pe baza aproximării MILNE-EDDINGTON /42/.

Metoda SCHUSTER-SCHWARZSCHILD constă din integrarea ecuației intensității radiației pe domenii parțiale ale unghiului solid complet  $4\pi$ , după ce  $i$  a fost înlocuit cu funcția aleasă  $f(\Phi, \Psi)$ . Astfel rezultă pentru fiecare domeniu parțial ales o ecuație diferențială a fluxului de radiație. O împărțire în 2 domenii duce la un model cu două fluxuri, în 4 domenii la un model cu patru fluxuri etc., funcție de posibilitățile calculatorului electronic.

La metoda MILNE-EDDINGTON se ajunge prin înmulțirea ecuației (3.5-20) cu cosinusurile unghiului polar al direcțiilor de curgere alese. Prin integrarea ecuației (3.5-20) și a ecuațiilor derivate din ea pe întreg unghiul polar  $4\pi$ , considerînd o distribuție a priori  $i = f(\Phi, \Psi)$  se obține un sistem de ecuații diferen-

șiale, din rezolvarea căruia rezultă fluxurile de radiație de-a lungul direcțiilor alese.

O evaluare exactă, comparativă a modelelor schimbului de căldură prin radiație este greu de obținut, datorită lipsei materialelor bibliografice. Autorul preferă pentru sisteme axial-simetrice, un model cu două fluxuri dedus pe baza metodei SCHUSTER-SCHWARZSCHILD. Metoda este în primul rând apropiată de fenomenul fizic și în al doilea rând superioară metodei MILNE-EDDINGTON a lui GIBSON /43/ în aprecierea fluxului de căldură în apropierea axei.

Modelul de curgere pentru un proces axial-simetric are la bază un sistem de coordonate cilindrice, fig.3.11.

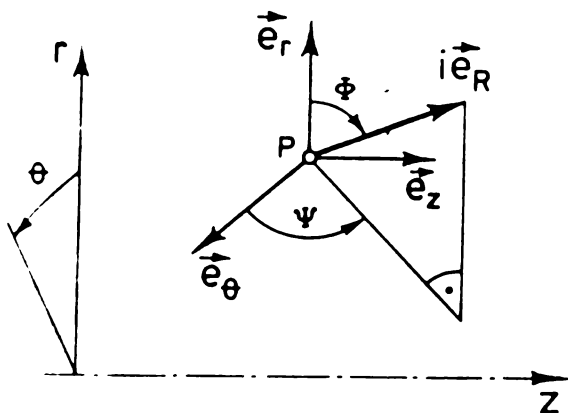


Fig.3.11. Sistemul de coordonate cilindrice pentru deducerea modelului de curgere.

În cazul cel mai general distribuția intensității radiației este de forma :

$$i = f(z, r, \theta, \Phi, \Psi) \quad (3.5-24b)$$

Alegînd un model de curgere cu două fluxuri, fig.3.12 prezintă distribuția intensității radiației pentru acest caz.

Unghiul solid  $4\pi$  este împărțit în două domenii. Cu notațiile din fig.

3.12 rezultă pentru  $i$  :

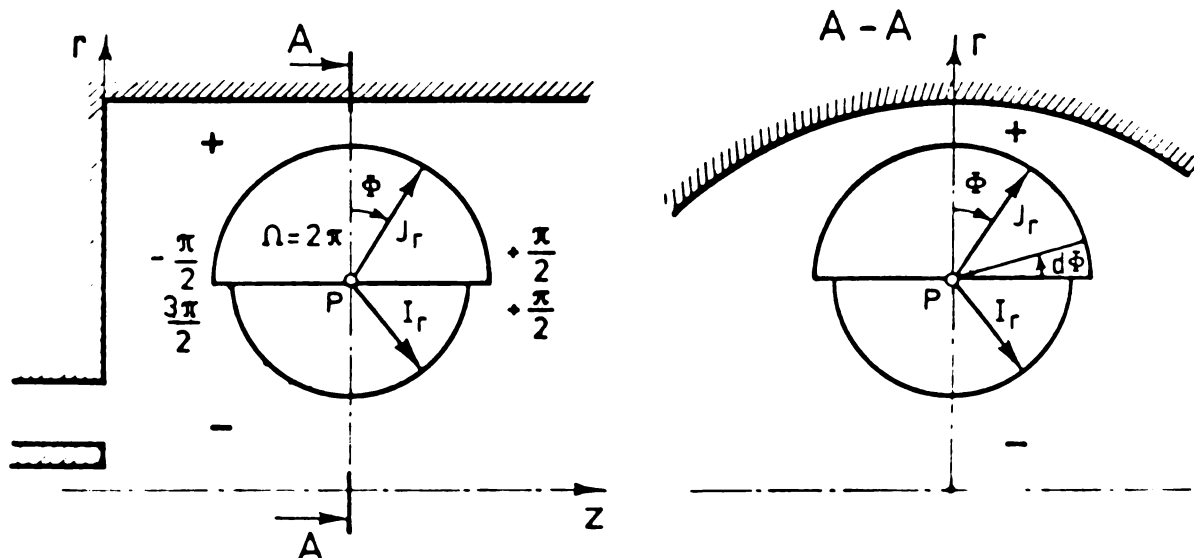


Fig.3.12. Distribuția presupusă a intensității radiației în spațiul focarului.

$$i = f(\Phi, \Psi) = I_r \quad \text{pentru toate direcțiile din semi-} \quad (3.5-25a)$$

spațiul  $r$  negativ  $-\frac{\pi}{2} < \Phi \leq \frac{\pi}{2}$  și

$$i = f(\Phi, \Psi) = J_r \quad \text{pentru toate direcțiile din semi-} \quad (3.5-25b)$$

spațiul  $r$  pozitiv  $+\frac{\pi}{2} < \Phi \leq \frac{3\pi}{2}$

Pentru punctul P în sistemul de coordonate cilindrice, intensitatea radiației ce pleacă din P are următoarele componente scalare, fig.3.13

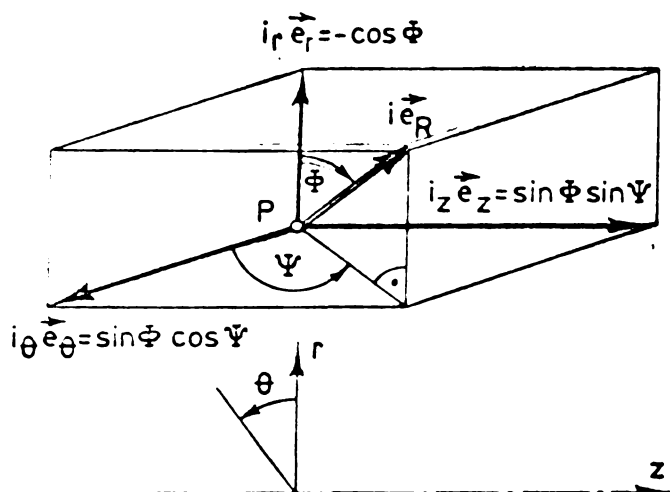


Fig.3.13. Descompunerea vectorului intensității radiației în componentele sale scalare.

Membrul stâng al ecuației (3.5-20) poate fi scris astfel :

$$\vec{e}_R \text{ grad } i = i_r \vec{e}_r \left( \frac{\partial i}{\partial r} \right)_{\theta, z} + \frac{i_\theta \vec{e}_\theta}{r} \left( \frac{\partial i}{\partial \theta} \right)_{r, z} + i_z \vec{e}_z \left( \frac{\partial i}{\partial z} \right)_{\theta, r} \quad (3.5-26)$$

Cu ajutorul transformărilor trigonometrice din fig.3.13, considerînd gazul cenușiu, ecuația (3.5-20) se poate integra pe domeniile unghiului solid stabilit.

Astfel, transferul net al căldurii prin radiație în direcție axială este zero :

$$\left( \frac{\partial i}{\partial z} \right)_{\theta, r} = 0 \quad (3.5-27)$$

Sistemul tratat fiind axial-simetric

$$\left[ \left( \frac{\partial i}{\partial \theta} \right)_{\theta, \psi} \right]_r = 0 \quad (3.5-28)$$

Intensitatea radiației în direcția emisferelor are o valoare constantă stabilită, fig.3.12.

$$\left( \frac{\partial i}{\partial \psi} \right)_{r, z} = 0 \quad (3.5-29)$$

Se obține astfel valoarea netă a fluxului de căldură prin radiație în punctul P.

$$\int_{4\pi} \vec{e}_R \text{ grad } i \, d\Omega = \frac{1}{r} \frac{d}{dr} (r \cdot \dot{q}_r) \quad (3.5-30)$$

Pentru domeniile celor două unghiuri solide considerate rezultă următoarele ecuații diferențiale :

$$\frac{d(r\dot{q}_r^+)}{dr} = -A_r K_a \dot{q}_r^+ + B_r K_a \sigma T^4 + \frac{\dot{q}_r^-}{r} \quad (3.5-21a)$$

$$-\frac{d(r\dot{q}_r^-)}{dr} = -A_r K_a \dot{q}_r^- + B_r K_a \sigma T^4 - \frac{\dot{q}_r^-}{r} \quad (3.5-21b)$$

Fluxurile de radiație sînt legate de intensitățile stabilite conform fig.3.12 :

$$\dot{q}_r^+ = \pi \frac{B_r}{A_r} I_r ; \quad \dot{q}_r^- = \pi \frac{B_r}{A_r} J_r \quad (3.5-32)$$

Pentru un model cu două fluxuri, coeficienții  $A_r$  și  $B_r$  sînt determinați din distribuția presupusă  $\Phi = f(z,r)$  :

$$A_r = 2 ; \quad B_r = 2$$

astfel rezultă densitățile fluxurilor de căldură prin radiație :

$$\dot{q}_r^+ = \pi I_r ; \quad \dot{q}_r^- = \pi J_r \quad (3.5-33a,b)$$

Condițiile de contur la pereții focarului pentru distribuția fluxului de căldură prin radiație se obțin prin înmulțirea ecuației (3.5-21) cu  $\cos \Phi$  și integrarea acesteia pe domeniul unghiului solid. Densitatea fluxului termic în direcție verticală, notat cu indicele n, este :

$$\dot{q}_{n,p}^+ = (1 - \epsilon_p) \dot{q}_{n,p}^- + \left( \frac{B_n}{A_n} \right)_p \epsilon_p \sigma T_p^4 \quad (3.5-34)$$

Condiția de contur pe axa de simetrie

$$\dot{q}_{a,m}^+ = \dot{q}_{a,m}^- \quad (3.5-35)$$

Din rezolvarea sistemului de ecuații diferențiale (3.5-31a,b) rezultă termenul de sursă negativ din ecuația entalpiei  $\dot{q}_R$

$$\text{div } \vec{q}_R = \frac{1}{r} \frac{\partial}{\partial r} [r(\dot{q}_r^+ - \dot{q}_r^-)] \quad (3.5-36a)$$

precum și densitatea fluxului termic net prin radiație la perete

$$(\dot{q}_{R,n})_p = \dot{q}_{n,p}^+ - \dot{q}_{n,p}^- \quad (3.5-36b)$$

Cele două ecuații diferențiale de ordinul 1 (3.5-31a,b) se transformă pentru o mai ușoară rezolvare numerică într-o ecuație diferențială de ordinul 2. Pentru aceasta se introduce o nouă variabilă

$$F_r = \frac{2}{3} (\dot{q}_r^+ + \dot{q}_r^-) \quad (3.5-37)$$

astfel rezultă :

$$-\frac{c}{dr} \left( \frac{r^2}{rA_rK_a+1} \frac{dF_r}{dr} \right) - rK_a \left( \frac{4}{3} B_r \sigma T^4 - A_r F_r \right) = 0 \quad (3.5-38)$$

Ecuația diferențială (3.5-38) are aceeași formă ca și ecuația generală de bilanț (3.3-14) pentru transportul variabilei  $\varphi$ , fiind un avantaj prin posibilitatea de utilizare a procedurii generale numeric.

Condițiile de contur ale ecuației (3.5-38) sînt :

la pereți

$$\frac{r(2-\epsilon_p)}{rA_rK_a+1} \frac{dF_r}{dr} + \epsilon_p F_r - \frac{4}{3} \frac{B_r}{A_r} \epsilon_p \sigma T_p^4 = 0 \quad (3.5-39)$$

- la axa de simetrie

$$\frac{dF_r}{dr} = 0 \quad (3.5-40)$$

După introducerea variabilei  $F_r$ , termenul de sursă negativ al entalpiei  $\vec{q}_R$  este :

$$\text{div } \vec{q}_R = 2K_a B_r \sigma T^4 - \frac{3}{2} A_r F_r \quad (3.5-41)$$

și densitatea fluxului net prin radiație la perete

$$(\dot{q}_{R,r})_P = -\frac{3}{2} \frac{r}{r A_r K_a + 1} \frac{dF_r}{dr} \quad (3.5-42)$$

În fig.3.14 este reprezentată distribuția presupusă a fluxului de căldură prin radiație la perete pentru un model cu două fluxuri.

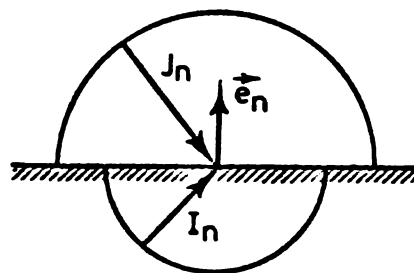


Fig.3.14. Distribuția intensității radiației la perete pentru un model cu două fluxuri.

### 3.5.8. CAPACITATEA DE EMISIE ȘI DE ABSORBȚIE A GAZELOR DE ARDERE

Procedeeul de rezolvare a ecuației de transport a radiației prezentat anterior a fost dedus pentru un mediu cu radiație ce nu se absoarbe (cu radiație neselectivă). Radiația gazelor din focarele utilizate cu combustibili gazoși este determinată pe de o parte de temperatura ce se realizează prin ardere, iar pe de altă parte de compoziția lor (gaze triatomice, particule de funingine etc.). Pentru determinarea caracteristicilor radiației au fost dezvoltate o serie de modele matematice, care iau în considerare parțial și selectivitatea radiației gazoase. Considerând arderea gazului metan de tipul de flacără neluminoasă (transparentă), se poate utiliza modelul simplu al radiației avînd ca bază conceptul densității optice a stratului gazos [73]. Metoda a fost perfecționată de HADVIG [72], obținîndu-se o foarte bună concordanță între valorile calculate și măsurate.

În cazul în care se consideră radiația gazoasă cenușie, se poate scrie legea Beer-Lambert sub forma :

$$\alpha_g = \epsilon_g = 1 - e^{-K_a L_m} \quad (3.5-43)$$

unde  $K_a$  este coeficientul de atenuare al radiației, iar  $L_m$  grosimea stratului gazos.



Totodată este valabilă și ecuația :

$$K_a = K_{aCO_2}(T_g) + K_{aH_2O}(T_g) \quad (3.5-44)$$

Pentru o cameră de ardere axial-simetrică de volum  $V$  și suprafața secțiunii  $S$ ,  $L_m$  se calculează cu relația :

$$L_m = 0,88 \frac{4V}{S} \quad (3.5.45)$$

și considerînd o temperatură medie  $T_g$  a spațiului focarului, la o presiune parțială medie a produselor de ardere ( $P_{CO_2} + P_{H_2O}$ ) din fig.3.15 rezultă coeficientul de emisie  $\epsilon_g$ . Cu aceste date, utilizînd relația (3.5-43) se poate determina coeficientul mediu de atenuare al radiației :

$$K_a = \frac{\ln(1 - \epsilon_g)}{L_m} \quad (3.5-46)$$

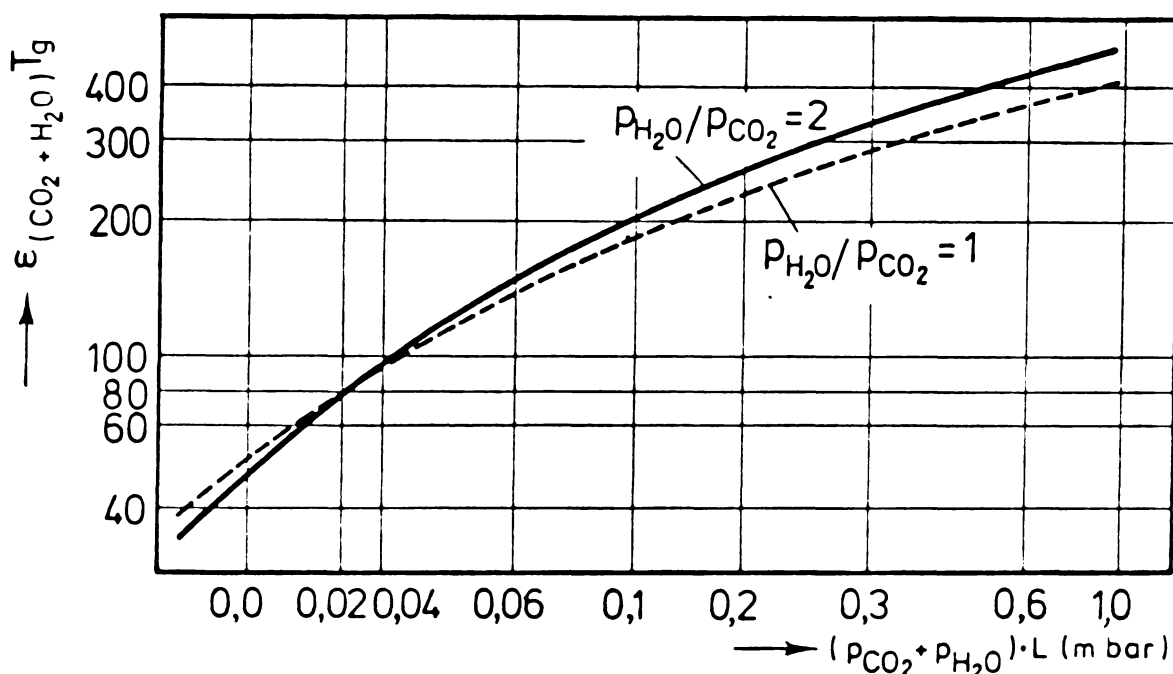


Fig.3.15. Diagrama simplificată a coeficientului de emisie al amestecurilor H<sub>2</sub>O/CO<sub>2</sub> funcție de temperatură, presiuni parțiale și lungimea medie a traiectoriei radiației. După HADVIG /72/.

În cazul focarului studiat, pentru o temperatură medie a produselor de ardere  $T_g = 1173^\circ K$  ( $900^\circ C$ ),  $p = p_{CO_2} + p_{H_2O} = 0,3$  bar (ardere completă),  $L_m = 2,6$  m și  $\epsilon_g = 0,33$  (fig.3.15) rezultă

$$K_a = \frac{\ln(1 - \epsilon_g)}{L_m} = 0,15 \left[ \frac{1}{m} \right] \quad (3.5-47)$$

O comparație între rezultatele experimentale și cele obținute prin utilizarea diferitelor modele ale radiației privind calculul distribuției fluxului de căldură la pereții focarului a fost

prezentată de I.F.R.F. /74/, fig.3.16, constituind un îndrumar în alegerea modelelor.

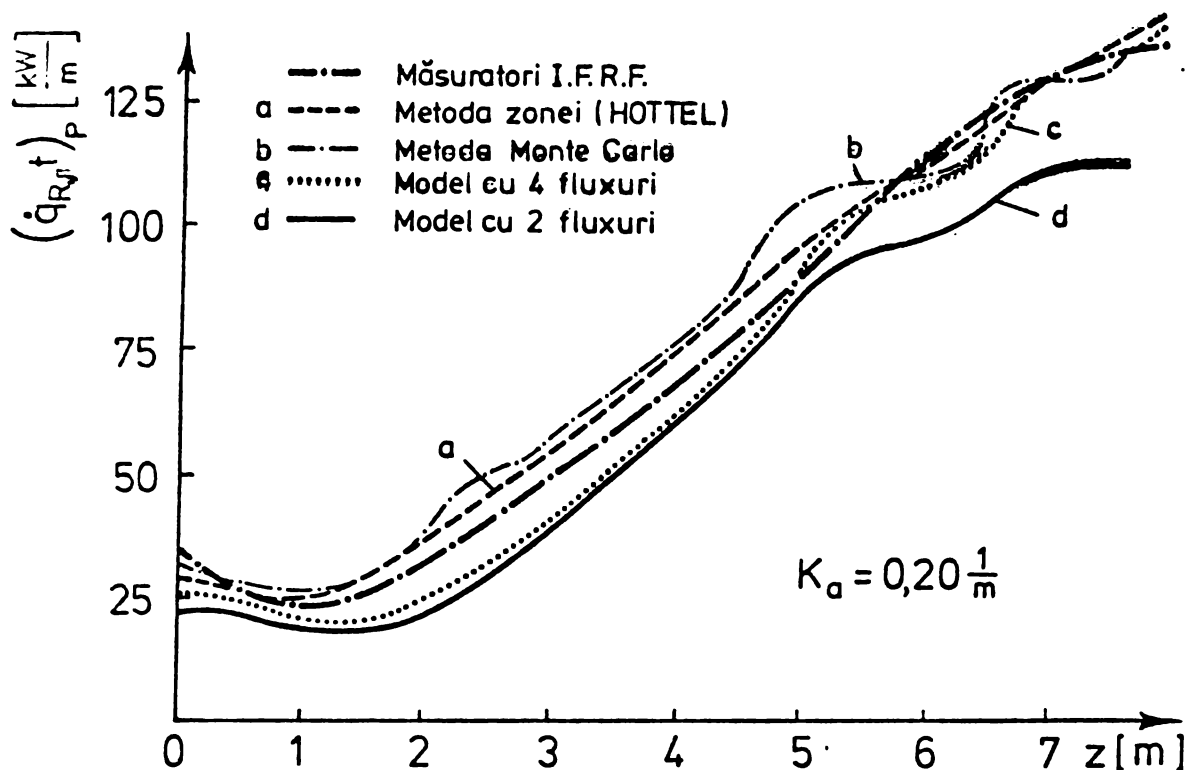


Fig.3.16. Comparație între rezultatele obținute cu diferite modele ale radiației (după I.F.R.F. /66/).

Pentru un gaz real, care emite și absoarbe în benzi, coeficientul total de emisie  $\epsilon_g$  este o funcție de presiunea parțială  $p$ , grosimea stratului  $L_m$  și de temperatura gazului  $T_g$ .

$$\epsilon_g = f(p, L, T_g) = \frac{1}{\sigma T_g^4} \int_0^{\infty} (1 - e^{-K_{a,\lambda} L}) E_{\lambda,g} d\lambda \quad (3.5-48)$$

în care  $K_{a,\lambda} = f(p, T_g)$  este coeficientul spectral de atenuare al radiației;

$E_{\lambda,g} = f(T_g)$  - este puterea de emisie spectrală a corpului negru la temperatura  $T_g$ .

Similar coeficientului de emisie se poate defini și coeficientul total de absorbție :

$$\alpha_g = f(p, L, T_g, T_R) = \frac{1}{\sigma T_R^4} \int_0^{\infty} (1 - e^{-K_{a,\lambda} L}) E_{\lambda,R} d\lambda \quad (3.5-49)$$

$E_{\lambda}$  - fiind puterea de emisie spectrală a corpului negru la temperatura  $T_R$  a sursei de radiație (temp.superficială).

Pentru calcule inginerești HOTTEL și SERAFIM /10/ propun determinarea lui  $\epsilon_g$  și  $\alpha_g$  ca sumă ponderată a coeficienților de emisie respectiv absorbție a părților neselective și a unei părți selectivă care radiază.

$$\epsilon_g = \sum_n a_{g,n}(T_g)(1 - e^{-K_{a,n}pL}) \quad (3.5-50)$$

$$\alpha_g = \sum_n a_{R,n}(T_R)(1 - e^{-K_{a,n}pL}) \quad (3.5-51)$$

unde  $\sum_n a_{g,n} = \sum_n a_{R,n} = 1 \quad (3.5-52)$

Avantajul relațiilor (3.5-50) și (3.5-51) constă în posibilitatea de a face independent de temperatură coeficientul de atenuare al radiației  $K_a$ . Dependența de temperatură a lui  $\epsilon_g$  și  $\alpha_g$  este cuprinsă doar în termenul  $a_{g,n}$  și  $a_{R,n}$ , fiind reprezentată de o funcție ce ține seama de compoziția gazelor de ardere (termenii  $b_{1,n}$  și  $b_{2,n}$ )

$$a_{g,n} = b_{1,n} + b_{2,n} \cdot T_g \quad (3.5-53)$$

Valorile lui  $b_{1,n}$  și  $b_{2,n}$  sînt date în lucrarea /10/.

### 3.6. CONDIȚII GENERALE DE CONTUR

Pentru cazurile particulare studiate, rezolvarea ecuațiilor diferențiale ce descriu procesele din focare necesită cunoașterea condițiilor inițiale și de cîmp (inclusiv pereții) a tuturor variabilelor dependente cercetate. În lucrarea de față, calculul curgerii, arderii și transferului de căldură are la bază rezolvarea ecuațiilor de bilanț staționare

$$\frac{\partial}{\partial t} = 0 \quad (3.6-1)$$

Din punct de vedere matematic, condițiile de contur pentru o ecuație diferențială cu derivate parțiale se pot da prin :

- valori ale mărimilor variabile la limita domeniului de integrare
- gradientul mărimilor variabile pe contur și
- o combinație dintre valoarea variabilelor și gradientul acestora pe contur.

Privind fizic condițiile de contur se pot împărți în două grupe funcție de felul mărginirii domeniului cercetat :

- condiții de contur la pereți ficși și
- condiții de contur la pereți liberi.

În a doua grupă de condiții de contur se numără de exemplu: condițiile de admisie în focar, condițiile pe axa sau planul de simetrie și condițiile la orificiile de ieșire.

### 3.6.1. CONDIȚII DE CONTUR LA PEREȚI FICȘI

Stabilirea condițiilor de contur la pereți ficși se face utilizându-se sistemul de coordonate ortogonal, fig.3.17.

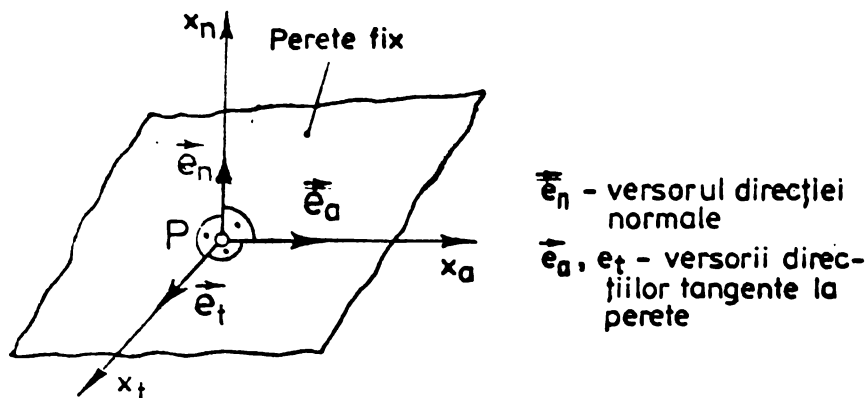


Fig.3.17. Dispunerea sistemului de coordonate pentru descrierea condițiilor de contur la pereți ficși.

#### 3.6.1.1. CONDIȚII DE CONTUR PENTRU COMPONENTELE VITEZEI ȘI PRESIUNE

##### a) Componentele vitezei

Pereții focarelor fiind impermeabili pentru materie, componentele normale la perete ale vitezelor sînt zero

$$(v_n)_P = 0 \quad (3.6-2)$$

Din condiția de aderență (contact) la perete rezultă că și componentele tangențiale sînt zero

$$(v_a)_P = 0 \quad (3.6-3a)$$

$$(v_t)_P = 0 \quad (3.6-3b)$$

##### b) Presiunea

Valorile presiunii statice de-a lungul pereților ficși ai focarelor este în general necunoscută. Pentru o curgere laminară, în stratul limită SCHLICHTING /49/ a arătat că

$$\frac{\partial p}{\partial x_n} < \frac{\partial p}{\partial x_a} \quad (3.6-4)$$

astfel că se poate considera

$$\left( \frac{\partial p}{\partial x_n} \right)_P = 0 \quad (3.6-5)$$

În stratul limită turbulent al unui perete plan este valabilă relația /61/

$$\frac{\partial \bar{p}}{\partial x_n} = - \bar{\rho} \frac{\partial \bar{v}_n^2}{\partial x_n} \quad (3.6-6)$$

dar pentru o aproximație mai grosieră se poate utiliza și relația (3.6-5).

#### 3.6.1.2. CONDIȚII DE CONTUR PENTRU FUNCȚIA DE CURENT ȘI VITEZA UNGHULARĂ A VIRTEJULUI

##### a) Funcția de curent

Așa cum s-a arătat în paragraful 3.3.3, pentru curgeri bi-dimensionale se poate defini o "funcție de curent" scalară. Astfel

toate derivatele în direcția  $x_t$  sînt zero (vezi fig.3.17); condiția de contur pentru  $\Psi$  este :

$$\left(\frac{\partial \Psi}{\partial x_a}\right)_P = 0 \quad (3.6-7)$$

sau după integrare

$$\Psi_P = \text{const.} \quad (3.6-8)$$

Din condiția de aderență la perete rezultă :

$$\left(\frac{\partial \Psi}{\partial x_n}\right)_P = 0 \quad (3.6-9)$$

Avem astfel pentru funcția de curent două formulări ale condiției de contur. Dacă dorim să rezolvăm doar ecuația pentru  $\Psi$  (pentru  $\omega_\theta = \text{const}$ ), atunci se poate folosi la alegere una din formulările condiției de contur (3.6-8 sau 3.6-9); altfel s-ar ajunge la o supradeterminare. Pentru cazul rezolvării simultane a ecuației funcției de curent și a ecuației vitezei unghiulare a vârtejului sînt necesare ambele condiții de contur. Se folosește de obicei pentru  $\Psi$  ecuația (3.6-8), iar pentru  $\omega_\theta$  ecuația (3.6-9).

b) Viteza unghiulară a vârtejului

Sistemul de coordonate din fig.3.17 definește viteza unghiulară a vârtejului ca :

$$\omega_t = \frac{\partial v_n}{\partial x_a} - \frac{\partial v_a}{\partial x_n} \quad (3.6-10)$$

ceea ce corespunde pentru un sistem de coordonate cilindrice cu  $\omega_\theta$ .

S-au propus mai multe soluții pentru formularea condițiilor de contur pentru  $\omega_t$  /26/, /20/. În această lucrare s-a ales metoda lui GOSMAN și alții /20/, care va fi descrisă simplificat. Profilul lui  $\Psi$  în apropierea peretelui poate fi aproximat printr-o serie

TAYLOR :

$$\Psi = \Psi_P + \left(\frac{\partial \Psi}{\partial x_n}\right)_P x_n + \frac{1}{2} \left[ \frac{\partial}{\partial x_n} \left(\frac{\partial \Psi}{\partial x_n}\right) \right]_P x_n^2 + \dots \quad (3.6-11)$$

Dacă există condiția de aderență la perete (ecuația 3.6-9) și dacă se întrerupe seria TAYLOR după termenul la pătrat se simplifică ecuația (3.6-11) la forma :

$$\Psi = \Psi_P + \frac{1}{2} \left[ \frac{\partial}{\partial x_n} \left(\frac{\partial \Psi}{\partial x_n}\right) \right]_P x_n^2 \quad (3.6-12)$$

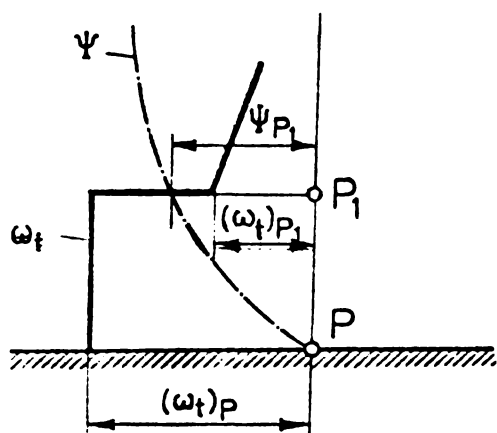
$$-\left[ \frac{\partial}{\partial x_n} \left(\frac{\partial \Psi}{\partial x_n}\right) \right]_P = -\frac{2(\Psi - \Psi_P)}{x_n^2} \quad (3.6-13)$$

În coordonate cilindrice

$$v_a = \frac{1}{r\rho} \frac{\partial \Psi}{\partial x_n} \quad \text{și} \quad v_n = -\frac{1}{r\rho} \frac{\partial \Psi}{\partial x_a}$$

cu aceste relații  $(\omega_t)_P$  devine :

$$(\omega_t)_P = - \left( \frac{\partial v_a}{\partial x_n} \right)_P = - \frac{1}{r_P \rho_P} \left[ \frac{\partial}{\partial x_n} \left( \frac{\partial \Psi}{\partial x_n} \right)_P \right] \quad (3.6-14)$$



Comparînd ecuația (3.6-14) cu ecuația (3.6-13) rezultă relația de legătură între  $(\omega_t)_P$  și  $\Psi$ .

$$(\omega_t)_P = - \frac{2(\Psi - \Psi_P)}{r_P \rho_P x_n^2} \quad (3.6-15)$$

Fig.3.18. Variația funcțiilor  $\omega_t$  și  $\Psi$  în apropierea peretelui (relația 3.6-15).

### 3.6.1.3. CONDIȚII DE CONTUR PENTRU CELELALTE VARIABILE STUDIATE

#### a) Concentrația $m_j$ a speciilor chimice

Presupunînd că pereții focarului sînt impermeabili și nereactivi (se neglijează eventualele efecte catalitice ale pereților) pentru componentele participante la procesele din focar, rezultă condiția de contur pentru concentrația  $m_j$ :

$$\left( \frac{\partial m_j}{\partial x_n} \right)_P = 0 \quad (3.6-16)$$

#### b) Entalpia - h

Funcție de felul transferului de căldură la perete și de transmiterea căldurii prin peretele focarului, condițiile de contur pentru entalpie pot fi grupate în trei cazuri:

- perete izoterm
- perete adiabat și
- perete ce transmite căldura unui mediu înconjurător.

##### b.1 - Perete izoterm

Introducînd temperatura interioară a peretelui  $T_P$  în ecuația (3.6-3g) rezultă:

$$h_P = \sum_{j=1}^p \left[ c_{p,j} \right]_0^{T_P} (m_j)_P T_P + \sum_{j=1}^p h_j (m_j)_P \quad (3.6-17)$$

Valorile  $(m_j)_P$  sînt preluate de la rezolvarea ecuațiilor bilanțului material.

##### b.2 - Perete adiabat

Neglijînd radiația termică și considerînd doar transferul convectiv la perete, acesta fiind impermeabil pentru materia și căldură, condiția de contur pentru entalpie este:

$$\left( \frac{\partial h}{\partial x_n} \right)_P = 0 \quad (3.6-18)$$



Dacă se ține seama și de radiația termică, atunci relația (3.6-18) este valabilă doar pentru pereți care reflectă totalitatea radiațiilor  $\epsilon_p = 0$ . În mod real  $\epsilon_p > 0$  și pentru deducerea condiției de contur în acest caz se scrie ecuația de bilanț termic total la suprafața peretelui

$$(\dot{q}_R)_P + (\dot{q}_C)_P = 0 \quad (3.6-19)$$

$(\dot{q}_R)_P$  este densitatea fluxului net al radiației la perete și  $(\dot{q}_C)_P$  densitatea fluxului convectiv la perete.

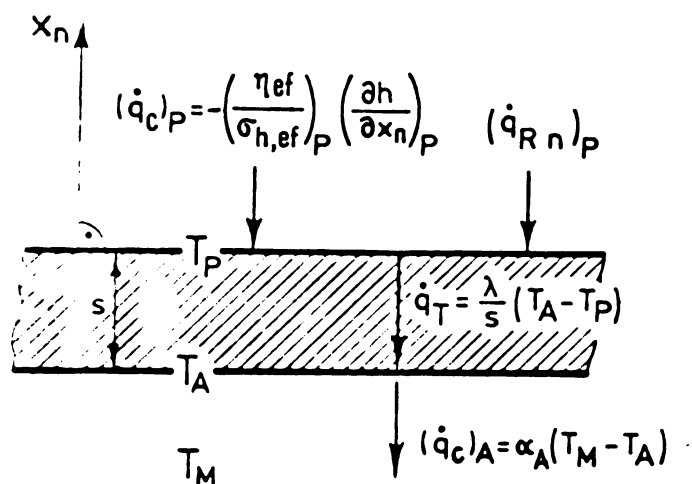
Înlocuind  $(\dot{q}_C)_P$  cu formularea ecuației difuziei, se obține pentru perete adiabatic

$$-\left(\frac{\eta_{ef}}{\sigma_{h,ef}}\right)_P \left(\frac{\partial h}{\partial x_n}\right)_P + (\dot{q}_R)_P = 0 \quad (3.6-20)$$

$(\dot{q}_R)_P$  se calculează conform relației (3.5-42). Relația (3.6-20) prezintă o contradicție aparentă, privind transformarea fluxului de căldură convectiv în flux de căldură de radiație, ceea ce contravine unui perete adiabatic. Totuși acest fenomen la perete se produce în stratul (limită) de suprafață.

b.3 - Perete ce transmite căldură unui mediu înconjurător

Schema fluxurilor de căldură la perete este prezentată simplificat în fig.3.19.



Astfel se neglijează suprafața exterioră fluxul de căldură prin radiație; transferul de căldură prin convecție fiind determinat de coeficientul de transmitere a căldurii  $\alpha_A$  pentru o temperatură constantă a mediului exterior  $T_M$ .

Pentru regim staționar, utilizând notațiile din fig.3.19, se scrie bilanțul termic total

$$(\dot{q}_C)_P + (\dot{q}_R)_P = \dot{q}_T = (\dot{q}_C)_A \quad (3.6-21)$$

Cu expresiile fluxurilor de căldură din fig.3.19 și înlocuind  $T_p$  cu  $h_p$  (relația 3.6-17), se ajunge la următoarea condiție de contur pentru  $h$  :

$$-\left(\frac{\eta_{ef}}{\sigma_{h,ef}}\right)_P \left(\frac{\partial h}{\partial x_n}\right)_P + \frac{\lambda \alpha_A}{\lambda + s \cdot \alpha_A} \frac{h_p - \sum_{j=1}^p h_j(m_j)_P}{\sum_{j=1}^p [c_{p,j} |_{T_p(m_j)_P}]} + (\dot{q}_R)_P - \frac{\lambda \alpha_A}{\lambda + s \alpha_A} T_M = 0 \quad (3.6-22)$$

Condiția (3.6-20) pentru pereți adiabatici este menținută ca și caz particular ( $\lambda = 0$ ) în relația (3.6-22).

c) Energia cinetică specifică pulsatorie și pătratul frecvenței medii a pulsațiilor turbulente

În apropierea pereților, stratul limită turbulent prezintă totdeauna un strat laminar (chiar dacă este foarte subțire), în care dispar pulsațiile componentelor variabilelor curgerii. Rezultă ca și condiție de contur pentru energia cinetică specifică pulsatorie și pătratul frecvenței medii a pulsațiilor turbulente relațiile :

$$\text{și } k_p = 0 \quad (3.6-23)$$

$$w_p = 0 \quad (3.6-24)$$

### 3.6.2. CONDIȚII DE CONTUR LA LIMITELE LIBERE ALE DOMENIULUI CURGERII CERCETAT

#### 3.6.2.1. CONDIȚII DE CONTUR PENTRU AXE DE SIMETRIE

Sistemul de coordonate utilizat pentru prezentarea condițiilor de contur pentru o axă de simetrie este prezentat în fig.3.20.

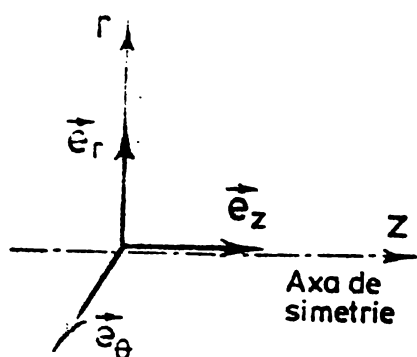


Fig.3.20. Dispunerea sistemului de coordonate pentru prezentarea condițiilor de contur pe axa de simetrie

a) Componentele vitezei

Pe axa de simetrie a curgerii componentele vitezei verticale la axă sînt zero, în timp ce viteza axială prezintă un maxim sau minim.

$$\left( \frac{\partial v_z}{\partial r} \right)_{ax} = 0 \quad (3.6-25a)$$

$$(v_r)_{ax} = 0 \quad (3.6-25b)$$

$$(v_\theta)_{ax} = 0 \quad (3.6-25c)$$

b) Funcția de curent

Pentru curgeri axial-simetrice trebuie să fie îndeplinită condiția :

$$(\Psi)_{ax} = \text{const.} \quad (3.6-26)$$

adică axa de simetrie coincide cu linia de curent  $\Psi = \text{const.}$

c) Viteza unghiulară a vârtejului

Pentru sistemul de coordonate din fig.3.20, viteza unghiulară a vârtejului este dată de relația :

$$\omega_\theta = \frac{\partial v_r}{\partial z} - \frac{\partial v_z}{\partial r} \quad (3.6-27)$$

și ținînd seama de expresiile (3.6-25a,b) rezultă

$$(\omega_\theta)_{ax} = 0 \quad (3.6-28)$$

Am utilizat în ecuația (3.3-14b) variabila  $\frac{\omega_\theta}{r}$  în locul lui

$\omega_\theta$ , care duce condiția (3.6-28) la o formă nedeterminată. Variabila  $\Psi$  se aproximează în apropierea axei de simetrie printr-o serie TAYLOR în care elementul linear dispăre din cauza :

$$r \cdot \rho v_z = \frac{\partial \Psi}{\partial r} = 0 \quad (3.6-29)$$

iar ceilalți termeni de ordin impar sînt zero din motive de simetrie

$$\Psi = \Psi_{ax} + \frac{1}{2} \left( \frac{\partial^2 \Psi}{\partial r^2} \right)_{ax} r^2 + \frac{1}{24} \left( \frac{\partial^4 \Psi}{\partial r^4} \right)_{ax} r^4 + \dots \quad (3.6-30)$$

Cu ajutorul acestei relații se poate aproxima  $\omega_\theta$  în apropierea axei de simetrie

$$\omega_\theta = - \frac{\partial v_z}{\partial r} = - \frac{\partial}{\partial r} \left( \frac{1}{r \rho} \frac{\partial \Psi}{\partial r} \right) = - \frac{1}{3 \rho} \left( \frac{\partial^4 \Psi}{\partial r^4} \right)_{ax} r - \left[ \left( \frac{\partial^2 \Psi}{\partial r^2} \right)_{ax} + \frac{1}{6} \left( \frac{\partial^2 \Psi}{\partial r^4} \right)_{ax} r^2 \right] \frac{\partial}{\partial r} \left( \frac{1}{\rho} \right) \quad (3.6-31)$$

Dacă masa specifică a fluidului este constantă de-a lungul axei, se poate admite pentru  $\frac{\omega_\theta}{r}$  relația :

$$\left( \frac{\omega_\theta}{r} \right)_{ax} = - \frac{1}{3 \rho} \left( \frac{\partial^4 \Psi}{\partial r^4} \right)_{ax} \quad (3.6-32)$$

Pentru curgerile din focare, care sînt neizoterme, relația (3.6-31) devine complicată, GOSMAN și alții /20/ au propus ca variația lui  $\omega_\theta$  în apropierea axei să fie aproximată cu o expresie patratică :

$$\omega_\theta = ar + br^2 \quad (3.6-33)$$

unde a și b sînt constante în aproximarea patratică.

d) Restul variabilelor

Pentru variabila generală  $\varphi$  pe axa de simetrie avem condiția :

$$\left( \frac{\partial \varphi}{\partial r} \right)_{ax} = 0 \quad (3.6-34)$$

$\varphi$  putînd fi p,  $m_j$ , h, k sau W.

### 3.6.2.2. CONDIȚII DE CONTUR LA ORIFICIILE DE ÎNTRARE

Condițiile de intrare la orificiile de admisie într-un focar sînt desemnate din punct de vedere matematic ca și condiții de contur. Ele pot fi date în mai multe feluri :

- profile ale variabilelor obținute din rezolvarea în amonte a ecuațiilor curgerii pe conductele de admisie,
- profile ale variabilelor rezultate din măsurători în secțiunile de intrare și
- profile ale variabilelor determinate cu ajutorul formulelor empirice avînd la bază parametrii geometrici și proprietățile fizice ale agenților introduși.

Lucrarea de față a folosit aproape în exclusivitate condițiile de intrare a ultimei grupe.

### 3.6.2.2.1. CONDIȚII DE INTRARE PENTRU UN ARZĂTOR DUBLU CONCENTRIC

Arzătorul studiat corespunde tipului de arzător difuziv des utilizat în practică, la care combustibilul (sau amestec de combustibil și aer) este admis printr-un orificiu circular central, iar aerul necesar arderii este insuflat printr-un orificiu circular concentric. Profilul vitezelor în orificiile de intrare depinde de forma interioară a arzătorului. În cazul în care nu avem valori măsurate ale distribuției vitezei, profilul acesteia poate fi aproximat printr-o lege de puteri /57/ fig.3.21.

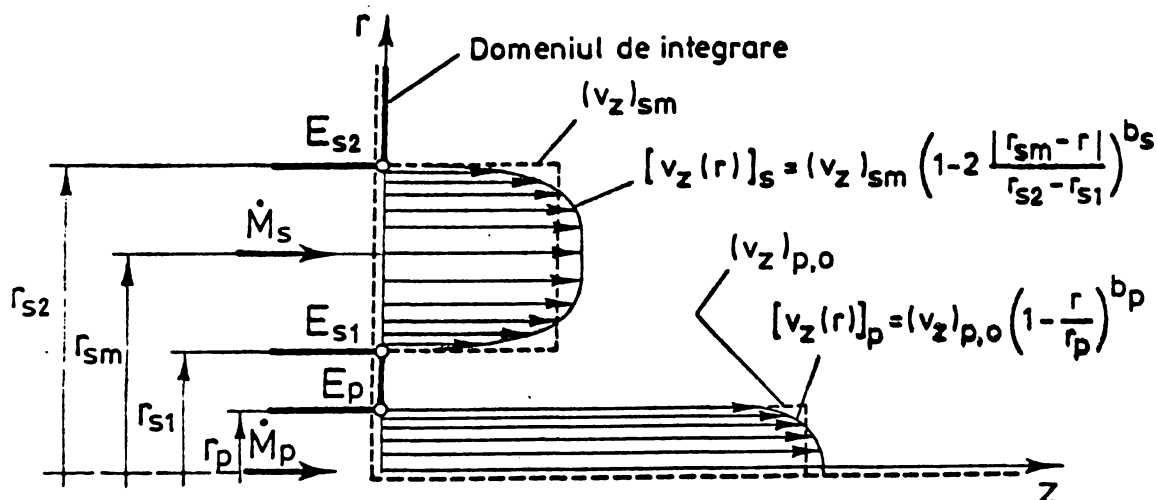


Fig.3.21. Condiții de intrare pentru un arzător dublu concentric.

Dacă se cunoaște debitul de combustibil  $\dot{M}_p$  și de aer insuflat  $\dot{M}_s$ , condiția de contur pentru distribuția vitezei axiale, în ipoteza simetriei față de axa Oz pentru curentul primar și a simetriei față de axa  $r_{s,m}$  a curentului secundar este :

$$[v_z(r)]_p = (v_z)_{p,o} \left(1 - \frac{r}{r_p}\right)^{b_p} \quad (3.6-35)$$

$$[v_z(r)]_s = (v_z)_{s,m} \left(1 - 2 \frac{|r_{sm}-r|}{r_{s2}-r_{s1}}\right)^{b_s} \quad (3.6-36)$$

și  $(v_r)_p = 0 \quad (3.6-37a)$

$$(v_r)_s = 0 \quad (3.6-37b)$$

pentru cazul când curentul nu este turbionat

$$(v_\theta)_p = 0 \quad (3.6-38a)$$

$$(v_\theta)_s = 0 \quad (3.6-38b)$$

Exponenții  $b_p$  și  $b_s$  sînt funcție de numărul lui RAYNOLDS și pentru regim turbulent ( $Re > 10^6$ ) au o valoare pozitivă mai mică

decît  $1/l_0$ .

Prin integrarea relațiilor (3.6-35) și (3.6-36) pe secțiunea de intrare se obține :

$$(v_z)_{p,o} = \frac{(1+b_p)(2+b_p)}{2} \frac{\dot{M}_p}{\rho_p \pi r_p^2} \quad (3.6-39)$$

și

$$(v_z)_{s,m} = (1+b_s) \frac{\dot{M}_s}{\rho_s (r_{s2}^2 - r_{s1}^2)} \quad (3.6-40)$$

Condiția de contur pentru funcția de curent se obține prin integrarea curenților de masă pe secțiunile de intrare (ec.3.3-6a)

$$\begin{aligned} [\Psi(r)]_p &= \int_0^r [\rho_p v_z(r)]_p r dr = \\ &= \rho_p (v_z)_{p,o} \left[ \frac{r_p^2}{(1+b_p)(2+b_p)} - r_p \left(1 - \frac{r}{r_p}\right)^{1+b_p} \frac{1}{1+b_p} \left(r + \frac{r_p}{1+b_p}\right) \right] \quad (3.6-41) \end{aligned}$$

Datorită existenței unui maxim al distribuției vitezei în curentul secundar  $(v_z)_{s,m}$ , funcția de curent este dată pe două domenii

a) pentru  $r_{s,1} \leq r \leq r_{s,m}$

$$[\Psi(r)]_s = \Psi_{s1} + \frac{\rho_s (v_z)_{s,m}}{\left(\frac{r_{s2}-r_{s1}}{2}\right)^{b_s}} \left[ \frac{1}{2+b_s} (r-r_{s,1})^{2+b_s} + \frac{r_{s,1}}{1+b_s} (r-r_{s,1})^{1+b_s} \right] \quad (3.6-42a)$$

b) pentru  $r_{s,m} \leq r \leq r_{s,2}$

$$\begin{aligned} [\Psi(r)]_s &= \Psi_{s1} + \frac{\rho_s (v_z)_{s,m}}{\left(\frac{r_{s2}-r_{s1}}{2}\right)^{b_s}} \left[ \frac{1}{2+b_s} (r_{s2}-r)^{2+b_s} - \frac{r_{s,2}}{1+b_s} (r_{s2}-r)^{1+b_s} + \right. \\ &\quad \left. + \frac{r_{s1}+r_{s2}}{1+b_s} \left(\frac{r_{s2}-r_{s1}}{2}\right)^{1+b_s} \right] \quad (3.6-42) \end{aligned}$$

Ținînd cont de relația (3.6-8), valoarea funcției de curent  $\Psi_{s1}$  este :

$$\Psi_{s1} = \Psi_p = \frac{\dot{M}_p}{2\pi} \quad (3.6-43)$$

Pentru a stabili profilul lui  $\omega_\theta$  în secțiunea de intrare primară, se acceptă că liniile de curent sînt paralele cu axa de simetrie a focarului. Astfel avem :

$$\left(\frac{\partial v_r}{\partial z}\right)_p = 0 \quad (3.6-44)$$

cu relația (3.6-35) se ajunge la următoarea distribuție a lui  $\omega_\theta$  pe intervalul  $0-r_p$  :

$$[\omega_\theta(r)]_p = b_p \frac{(v_z)_{p,0}}{r_p} \left(1 - \frac{r}{r_p}\right)^{b_p-1} \quad (3.6-45)$$

pe axa de simetrie rezultă :

$$(\omega_\theta)_{p,0} = 0 \quad (3.6-46)$$

Distribuția lui  $\omega_\theta$  în secțiunea de intrare secundară se tratează ca și funcția de curent pe două domenii. Pentru  $r = r_{s,m}$

$$(\omega_\theta)_{r=r_{s,m}} = 0 \quad (3.6-47)$$

și din distribuția vitezei (3.6-36) avem :

a) pentru :  $r_{s,1} \leq r \leq r_{s,m}$

$$[\omega_\theta(r)]_s = - \left( \frac{\partial v_z}{\partial r} \right)_s = - \frac{2b_s (v_z)_{s,m}}{r_{s,2} - r_{s,1}} \left(1 - 2 \frac{r_{s,m} - r}{r_{s,2} - r_{s,1}}\right)^{b_s-1} \quad (3.6-48)$$

b) pentru  $r_{s,m} \leq r \leq r_{s,2}$

$$[\omega_\theta(r)]_s = - \left( \frac{\partial v_z}{\partial r} \right)_s = + \frac{2b_s (v_z)_{s,m}}{r_{s,2} - r_{s,1}} \left(1 - 2 \frac{r - r_{s,m}}{r_{s,2} - r_{s,1}}\right)^{b_s-1} \quad (3.6-49)$$

Arzătorul experimental utilizat (vezi cap.5) a permis și turbionarea aerului insuflat utilizând palete directe. Astfel a trebuit să se țină seama de distribuția vitezei tangențiale, care pentru o formă simplificată se considera :

$$[v_\theta(r)]_s = \text{const} \quad (3.6-50)$$

și se definește "numărul de turbionare"  $S_s$  prin expresia :

$$S_s = \frac{(\dot{M}_\theta)_s}{(\dot{G}_z)_s \cdot r_{s,2}} = \frac{\int_{r_{s,1}}^{r_{s,2}} \rho (v_z)_s (v_\theta)_s r^2 dr}{r_{s,2} \int_{r_{s,1}}^{r_{s,2}} \rho (v_z)_s^2 r dr} \quad (3.6-51)$$

și rezultă pentru  $(v_\theta)_s$

$$(v_\theta)_s = \frac{3}{2} S_s (v_z)_s \frac{r_{s,2} (r_{s,2}^2 - r_{s,1}^2)}{r_{s,2}^3 - r_{s,1}^3} \quad (3.6-52)$$

Distribuția concentrațiilor speciilor chimice  $[m_j]_0$  și a entalpiei  $[h]_0$  în secțiunea de intrare se consideră de cele mai multe ori plană.

Datele experimentale /79/ au arătat că energia cinetică



specifică pulsatorie se modifică puțin pentru diferite regimuri de curgere și la numere REYNOLDS mari profilul de intrare se poate aproxima cu relația :

$$[k(r)]_0 = k_0 = \text{const.} \quad (3.6-53)$$

Relația (3.6-53) este confirmată și calculele efectuate cu modelul matematic, care au arătat că mărimea  $k_0$  în secțiunea de intrare nu influențează esențial desfășurarea curgerii.

O influență mai mare asupra curgerii o are însă patratul frecvenței medii a pulsațiilor turbulente  $W_0$  în secțiunea de intrare. Calculul distribuției lui  $W_0$  se face pornind de la formula lui NIKURADSE pentru determinarea lungimii de amestec a lui PRANDTL (3.2-22). La o curgere turbulentă printr-o conductă, generarea și disiparea energiei turbulente se află în echilibru. Astfel :

$$l = (C_D)^{\frac{1}{4}} l_m \quad (3.6-54)$$

Din definiția lui  $W$  (relația 3.2-33) cu expresia (3.6-54) și (3.2-22)  $W_0$  devine :

$$[W(r)]_0 = \frac{k_0}{C_D^{\frac{1}{2}} r_0^2 \left[ 0,14 - 0,08 \left( \frac{r}{r_0} \right)^2 - 0,06 \left( \frac{r}{r_0} \right)^4 \right]^2} \quad (3.6-55)$$

Pentru cazurile practice,  $k_0$  trebuie pe cât posibil evaluat din cercetări experimentale. Evaluarea lui  $[W(r)]_0$  la numere REYNOLDS mari (profil aplatizat al vitezelor la intrare) se poate face cu ajutorul profilului măsurat sau calculat al vitezei axiale, fig.3.22, din care se calculează grosimea stratului limită  $\delta$ .

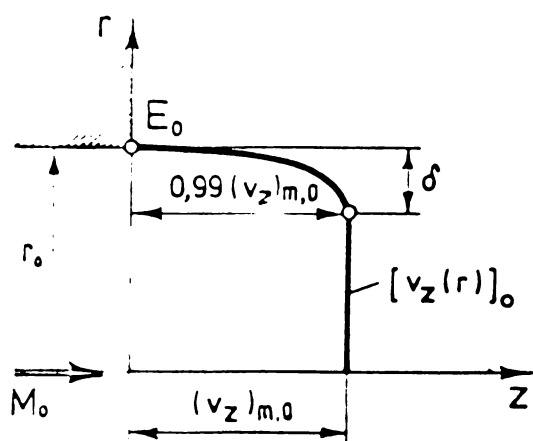


Fig.3.22. Stabilirea grosimii stratului limită a profilului curgerii la orificiul de intrare.

Presupunând lungimea de amestec  $l_m$  proporțională cu grosimea stratului limită  $\delta$

$$l_m = \lambda \delta \quad (3.6-56)$$

unde  $\lambda$  este constanta de proporționalitate, se obțin în concordanță cu relația (3.6-55) următoarele formule de calcul :

pentru  $\frac{r_0 - r}{\delta} > \frac{\lambda}{\pi}$  :

$$[W(r)]_0 \approx \frac{k_0}{C_D^{\frac{1}{2}} \lambda^2 \delta^2} \quad (3.6-57a)$$

$$\text{pentru } \frac{r_0 - r}{\delta} \leq \frac{\lambda}{\delta} : [W(r)]_0 \approx \frac{k_0}{C_D^2 \kappa^2 (r_0 - r)^2} \quad (3.6-57b)$$

### 3.6.2.3. CONDIȚII DE CONTUR LA ORIFICIUL DE EVACUARE

Valorile variabilelor la orificiul de evacuare al focarului sînt mărimi care interesează în mod deosebit atât pe proiectant cît și în exploatarea agregatelor. O stabilire apriori a valorilor variabilelor nu poate duce la rezultate mulțumitoare, pentru aceasta se preferă o formulare de tip gradient a condițiilor de contur la evacuare. La o curgere cu caracter eliptic trebuie avut grijă ca limita domeniului de integrare în secțiunea de ieșire să se situeze în afara zonei de recirculație (zonă în care se presupune curgerea într-un singur sens) fig.3.23.

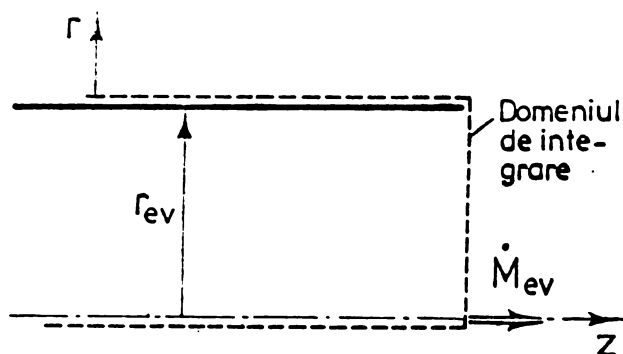


Fig.3.23. Condiții de evacuare pentru un focar axial-simetric.

Acceptînd liniile de curent paralele cu axa de simetrie la evacuare (condiția  $(v_r)_{ev} = 0$ ) rezultă :

$$\left( \frac{\partial \Psi}{\partial z} \right)_{ev} = 0 \quad (3.6-58)$$

Pentru restul variabilelor se acceptă că gradientul lor la evacuare este zero

$$\left( \frac{\partial \phi}{\partial z} \right)_{ev} = 0 \quad (3.6-59)$$

### 3.6.3. CONDIȚII PARTICULARE DE CONTUR ALE PERETELUI

Ecuatia generală de bilanț (3.3-14) pentru variabilele  $\phi$  considerate, împreună cu condițiile de contur prezentate anterior (capitolul 3.6) formează baza de plecare pentru o rezolvare numerică a modelului matematic. Astfel se transformă ecuațiile diferențiale cu derivate parțiale în ecuații algebrice cu diferențe finite, iar după rezolvarea acestora se obține soluția aproximativă a problemei studiate.

În apropierea pereților, variația coeficienților de transport efectivi cît și unele variabile ale curgerii, prezintă gradienti mari. Pentru tratarea exactă a fenomenului, cîmpul curgerii trebuie discretizat foarte fin. În general studiul proceselor din focare se ocupă cu desfășurarea curgerii în zonele mai depărtate de pereți; astfel că o discretizare fină în apropierea pereților nu justifică creșterea cheltuielilor de calcul, care sînt proporționale cu numărul nodurilor rețelei.

Pentru a lua în considerare, cel puțin aproximativ, influența stratului limită turbulent al peretelui, asupra transportului impulsului și energiei la pereții camerei de ardere, se utilizează așa numitele "funcții ale peretelui". Acestea fac legătura între valorile variabilelor la perete și valorile acestora din punctele ce se găsesc în afara stratului limită aderent, scoțându-se în evidență variația nelineară a coeficienților de transport.

Deducerea funcției peretelui pentru o variabilă  $\varphi$  se obține prin integrarea ecuației respective de bilanț de-a lungul direcției normale la perete  $x_n$ , între limitele  $x_n = 0$  și  $x_n$ . Considerînd curgerea în lungul peretelui de tip COUETTE, pentru un perete plan, fluxul de difuzie al variabilei este /20/ :

$$(J_\varphi)_P = \frac{\varphi - \varphi_P + \int_0^{x_n} \frac{1}{b_\varphi} \int_0^{\xi_n} d\varphi d\xi_n d\xi_n}{\int_0^{x_n} \frac{1}{b_\varphi} dx_n} \quad (3.6-60)$$

în care coeficienții  $b_\varphi$  și  $d_\varphi$  sînt preluați din ecuațiile de bilanț (paragraf 3.3.3), iar  $\xi$  este variabilă de integrare din ecuația considerată.

Ecuația (3.6-60) poate fi adusă într-o formă mai simplă prin neglijarea efectului presiunii de-a lungul peretelui

$$d\varphi = - \frac{\partial p}{\partial x_a} = 0 \quad (3.6-61)$$

obținînd efortul tangențial la perete

$$(J_\varphi)_P \equiv \tau_P = \frac{v_a}{\int_0^{x_n} \frac{1}{\eta_{ef}} dx_n} \quad (3.6-62)$$

variația lui  $\eta_{ef}$  în stratul limită turbulent putîndu-se formula cu ajutorul ecuației lungimii de amestec (3.2-20)

$$\eta_{ef} = \rho x^2 x_n^2 \left| \frac{\partial v_a}{\partial x_n} \right| \quad (3.6-63)$$

Înlocuind relația (3.6-63) în (3.6-62), în ipoteza că  $\tau(x_n) = \tau_P = ct.$  se obține funcția logaritmică a peretelui :

$$\frac{v_a}{v_\tau} = \frac{1}{\kappa} \ln \left( C \frac{x_n v_\tau}{\nu} \right) \quad (3.6-64)$$

unde  $v_\tau = \sqrt{\frac{|\tau|}{\rho_P}}$  este viteza tensiunii tangențiale la perete,

iar C o constantă de integrare.

Relația (3.6-64) nu este valabilă pentru stratul limită laminar. În stratul limită al peretelui, dacă turbulența este numai parțial realizată, relația (3.6-64) se înlocuiește printr-o funcție de puteri, ce prezintă o aproximare mai bună a profilului vitezelor în apropierea peretelui /20/ :

$$\frac{v_a}{v_\tau} = a \left( \frac{x_n v_\tau}{\nu_p} \right)^b \quad (3.6-65)$$

Pornind de la funcția de puteri (3.6-65) împreună cu definiția funcției de curent (3.3-6a,b) și a vitezei unghiulare a vârtejului (3.6-10) în stratul limită turbulent al peretelui, se poate stabili o dependență între  $\omega_t$  și  $\Psi$  care înlocuiește relația (3.6-15) ca și condiție de contur. În coordonate cilindrice, și pentru un strat limită izoterm :

$$\omega_t = - \frac{(1+b)b(\Psi - \Psi_p)}{r_p \rho_p x_n^2} \quad (3.6-66)$$

Comparativ cu relația (3.6-15), care stabilește valorile la limita stratului pentru  $\omega_t$ , relația (3.6-66) dă valoarea lui  $\omega_t$  în cadrul stratului limită turbulent la distanța  $x_n$  de perete.

Considerînd valabilitatea funcției de puteri și pentru stratul limită neizoterm, ecuația (3.6-66) devine :

$$\omega_t = - \frac{(2+b)(1+b)b(\Psi - \Psi_p)}{r_p [\rho_p + (1+b)\rho]} x_n^2 \quad (3.6-67)$$

Variația lui  $k$  și  $W$  în stratul limită al peretelui este puternic nelineară, astfel încît condițiile de contur

$$k_p = 0 \quad (3.6-68)$$

$$W_p = 0 \quad (3.6-69)$$

pot fi utilizate pentru o rezolvare numerică numai în cazul unei discretizări foarte fine a rețelei de calcul. Ca și în cazul precedent, se poate simplifica variația lui  $k$  și  $W$  în stratul limită al peretelui, obținînd o relație ce poate fi utilizată în calculele numerice. Cu condiția menținerii echilibrului dintre generarea și disiparea lui  $k$  în stratul limită aderent, rezultă din funcția logaritmică a peretelui (3.6-64) și din condiția  $\tau_t = \tau_p$

$$k = C_D^{-\frac{1}{2}} \left( \frac{\rho_p}{\rho} \right) v_\tau^2 \quad (3.6-70)$$

$$W = \frac{1}{C_D} \frac{v_\tau^2}{(\pi x_n)^2} \quad (3.6-71)$$

unde  $v_T$  se calculează din funcția de puteri

$$v_T = v_a \frac{1}{1+b} a^{-\frac{1}{1+b}} \left( \frac{v}{x_n} \right)^{\frac{b}{1+b}} \quad (3.6-72)$$

și rezultă :

$$v_a = \frac{(1+b)(\Psi - \Psi_P)}{r_P \rho_P x_n} \quad \text{respectiv} \quad v_a = \frac{(2+b)(1+b)(\Psi - \Psi_P)}{r_P [\rho_P + (1+b)\rho]} x_n \quad (3.6-73a,b)$$

pentru cazul izoterm, respectiv neizoterm.

Ultima variabilă importantă, care se desfășoară puternic nelinier în apropierea peretelui este entalpia. Fluxul de difuzie al entalpiei la perete, în cazul cel mai simplu, presupunând o curgere COUETTE și neglijând radiația și absorbția energiei termice în stratul limită ( $d_h = 0$ ) se poate determina pe baza relației generale (3.6-60)

$$(J_h)_P = \frac{h - h_P}{\int_0^{x_n} \frac{\sigma_{h,ef}}{\eta_{ef}} dx_n} \quad (3.6-74)$$

Cînd integrarea se face pe întreaga grosime  $\delta$  a stratului limită, se obține relația de calcul a transferului de căldură prin convecție :

$$(J_h)_P = \frac{c_p T - (c_p T)_P}{\int_0^{\delta} \frac{\sigma_{h,ef}}{\eta_{ef}} dx_n} = \alpha (T - T_P) \quad (3.6-75)$$

Aprecierea coeficientului de transmitere a căldurii prin convecție  $\alpha$  și a grosimii stratului limită  $\delta$  fiind destul de dificilă, relația (3.6-75) are o exactitate limitată. Avînd în vedere că la pereții focarelor schimbul de căldură prin radiație este preponderent, eroarea de calcul datorată relației (3.6-75) în bilanșul energetic total este mică.

Toate condițiile de contur deduse în paragraful 3.6.3 s-au obținut în ipoteza peretelui plan (neglijînd curbura). Ele rămîn valabile și pentru focare axial-simetrice în condițiile utilizării coordonatelor cilindrice.

## 4 REZOLVAREA MODELULUI MATEMATIC

Munca practică a inginerului are nevoie, după elaborarea unui model matematic și punerea condițiilor de contur, de un instrument de rezolvare al procesului modelat. Acest instrument trebuie să rămână în cadrul posibilităților sale reale de utilizare, putând fi folosit cu certitudine chiar dacă nu i se cunoaște structura sa internă. Astfel s-au dezvoltat o serie de "instrumente" ingineresti de calcul; cele mai cunoscute fiind metoda diferențelor finite și a elementelor finite. Calculul fenomenelor complexe de curgere, ardere și transmitere de căldură nu și-au găsit pînă acum o rezolvare unitară. De asemenea multe din procedeele aplicate nu sînt suficient cercetate în privința stabilității, convergenței și evaluării erorilor /26/. Printre primele realizări practice în soluționarea unor probleme de curgere cu metode numerice sînt cele ale grupului de la IMPERIAL COLLEGE /63/, /20/. Au fost publicate pentru curgeri bidimensionale eliptice și parabolice și programele de calcul /63/, /20/ într-o formă generală.

În această lucrare, fiind stabilit caracterul eliptic, bi-dimensional și axial-simetric al curgerii, procedeul descris în /20/ poate fi utilizat. Aplicarea acestui "instrument" necesită însă modificări în programul de calcul pentru a putea fi adaptat cazului studiat. Aceste modificări cer o înțelegere profundă a procedurii de rezolvare și a structurii programului, motiv pentru care va fi recapitulat pe scurt în continuare.

### 4.1. METODA DIFERENȚELOR FINITE

Rezolvarea numerică a ecuațiilor de transport descrise în capitolul 3 dă numai soluții aproximative. Câmpul în realitate continuu al mărimilor fizice trebuie înlocuit printr-un număr finit de puncte ale unei rețele de calcul ortogonale. Aproximarea valorilor funcțiilor cercetate în nodurile rețelei sau în domeniul din jurul acestora se poate face prin patru metode :

- dezvoltări de serii TAYLOR,
- prin polinoame,
- integrarea aproximativă a ecuațiilor diferențiale pe volumele stabilite de rețeaua de calcul din jurul unui punct și
- rezolvarea ecuațiilor de bilanț pe volumele de control a rețelei de calcul.



Ultima metodă este din punct de vedere fizic cea mai apropiată de realitate și este folosită și în această lucrare.

Punctul de plecare al calculelor îl constituie ecuația generală de bilanț (3.3-14) pentru variabila  $\varphi$

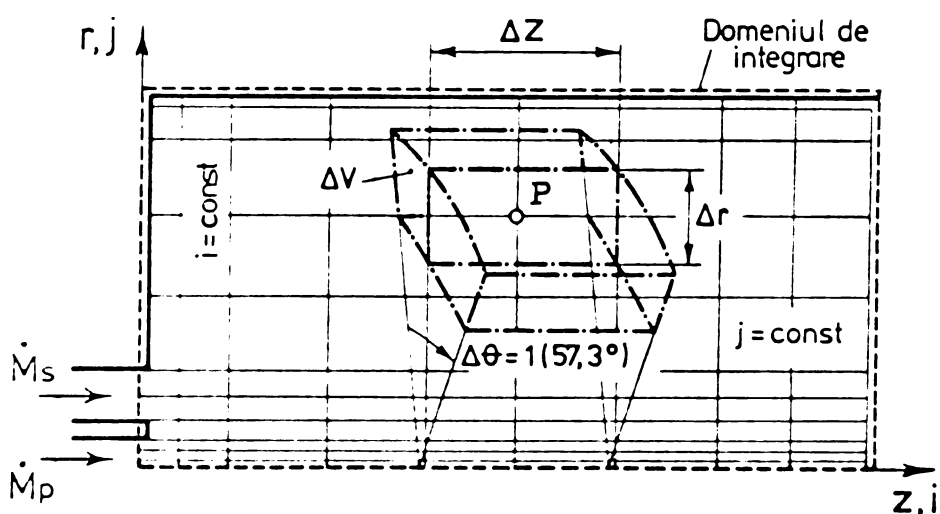
$$a_{\varphi} \left[ \frac{\partial}{\partial z} \left[ \left( \varphi \frac{\partial \psi}{\partial r} \right) - \frac{\partial}{\partial r} \left( \varphi \frac{\partial \psi}{\partial z} \right) \right] - \frac{\partial}{\partial z} \left[ r b_{\varphi} \frac{\partial}{\partial z} (c_{\varphi} \varphi) \right] - \frac{\partial}{\partial r} \left[ r b_{\varphi} \frac{\partial}{\partial r} (c_{\varphi} \varphi) \right] - r d_{\varphi} \right] = 0 \quad (4.1-1)$$

ale cărei forme particulare sînt prezentate în tabelul 3.7.

Ecuația (4.1-1) este valabilă pe curgeri bidimensionale, axial-simetrice, staționare de tip eliptic. Procedul de calcul numeric descris în continuare pentru curgeri axial-simetrice, cu mici modificări, poate fi aplicat și la curgeri plane bidimensionale.

#### 4.1.1. DEDUCEREA ECUAȚIILOR DE BILANȚ PENTRU PUNCTELE INTERIOARE ALE REȚELEI

Împărțirea unei camere de ardere cilindrice printr-o rețea de calcul ortogonală cu pas variabil, pentru  $\theta = \text{const.}$  este redată în fig.4.1.



Axa de simetrie și contururile coincid cu liniile rețelei, adică din punctele de colț trebuie să pornească linii de rețea. În jurul fiecărui punct interior al rețelei se atașează un volum de control  $\Delta V$ ,

Fig.4.1. Împărțirea domeniilor de integrare în volume de control.

$$\Delta V = \Delta z \Delta r \cdot r_p \Delta \theta = \Delta z \Delta r \cdot r_p \quad (4.1-2)$$

$\Delta z$  și  $\Delta r$  se stabilesc în așa fel încît să înjumătățească distanța dintre liniile rețelei ce trec prin P și cele învecinate.

Notații suplimentare pentru deducerea ecuațiilor cu diferențe finite cît și corespondența acestora cu notațiile din program sînt date în fig.4.2.

##### a) APROXIMAREA TERMENILOR DE CONVECȚIE

Convecția totală a variabilei  $\varphi$  pe volumul de control rezultă din suma  $\dot{S}_c$  a fluxurilor de convecție pe suprafețele e, w, n și s. Dacă variabila  $\varphi$  pe suprafețele considerate este constantă,

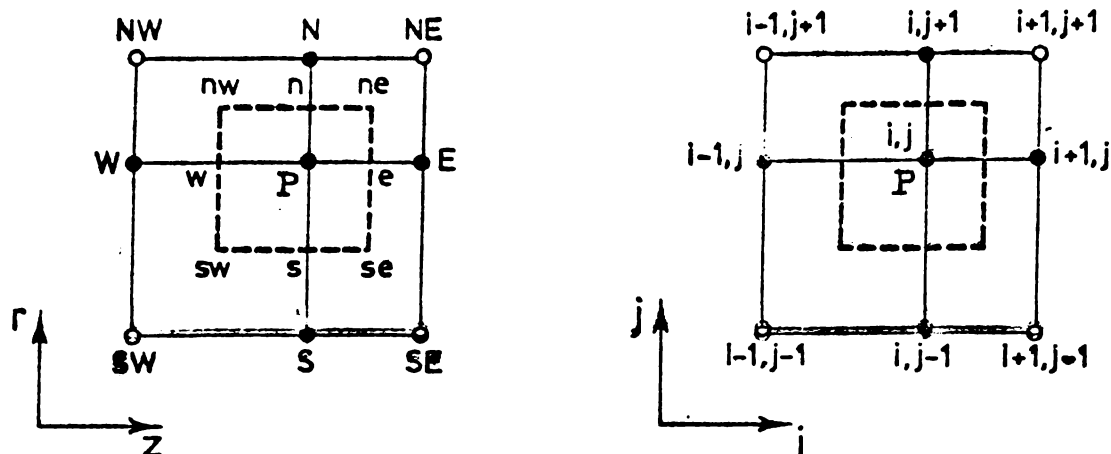


Fig.4.2. Notatii pentru deducerea ecuatiilor cu diferente finite.

$\dot{S}_C$  este :

$$\dot{S}_C = \varphi_e (\Psi_{ne} - \Psi_{se}) - \varphi_w (\Psi_{nw} - \Psi_{sw}) + \varphi_n (\Psi_{ne} - \Psi_{nw}) - \varphi_s (\Psi_{se} - \Psi_{sw}) \quad (4.1-3)$$

Presupunind variatia lineara a lui  $\Psi$  in punctele de retea invecinate, punctelor de colt a volumului de control, putem scrie

$$\Psi_{ne} = \frac{1}{4} (\Psi_N + \Psi_{NE} + \Psi_E + \Psi_P) \quad (4.1-4)$$

si similar pentru  $\Psi_{se}$ ,  $\Psi_{nw}$  si  $\Psi_{sw}$  incă trei ecuatii.

La numere REYNOLDS mari, rezolvarea numerica a ecuatiilor curgerii devine instabila datorita diferentelor mici dintre  $\varphi_e$  si  $(\varphi_E + \varphi_P)/2$  (analog si pentru  $\varphi_w$ ,  $\varphi_n$ ,  $\varphi_s$ ), numita si anomalia mediei. O rezolvare stabila se obtine, dacā la stabilirea valorilor lui  $\varphi$  pe suprafata de control se ține seama de directia de curgere. Astfel, de exemplu, pe suprafata de control e se considera curgerea in sensul lui z pozitiv, atunci  $\varphi_e$  ia valoarea lui  $\varphi_P$  in volumul de control si  $\varphi_e$  ia valoarea lui  $\varphi_E$  in directia curgerii, acest procedeu numindu-se al diferentelor ascensionale, fiind valabil si pentru suprafetele n, w si s.

Sensul directiei de curgere pe suprafata de control se determina prin diferentele functiei de curent in punctele de colt :

$$\varphi_e (\Psi_{ne} - \Psi_{se}) = \frac{1}{2} \varphi_P [(\Psi_{ne} - \Psi_{se}) + |\Psi_{ne} - \Psi_{se}|] + \frac{1}{2} \varphi_E [(\Psi_{ne} - \Psi_{se}) - |\Psi_{ne} - \Psi_{se}|] \quad (4.1-5)$$

si incă trei ecuatii analoge pentru w, n si s.

Rezultā aproximarea termenului de convecție din ecuația

$$(4.1-1) \quad a_\varphi \left[ \frac{\partial}{\partial z} \left( \varphi \frac{\partial \Psi}{\partial r} \right) - \frac{\partial}{\partial r} \left( \varphi \frac{\partial \Psi}{\partial z} \right) \right] \approx a_{\varphi, P} \frac{\dot{S}_C}{\Delta z \Delta r} \quad (4.1-6)$$

$\dot{S}_C$  se calculează cu ecuațiile (4.1-3), (4.1-5) și (4.1-4).

#### b) APROXIMAREA TERMENILOR DE DIFUZIE

Relațiile de calcul al fluxurilor de difuzie pe volumul de control sint date de ecuațiile :

$$\begin{aligned} \dot{S}_D = & (rb_\varphi)_e \frac{(c_\varphi\varphi)_P - (c_\varphi\varphi)_E}{z_E - z_P} \Delta r - (rb_\varphi)_w \frac{(c_\varphi\varphi)_W - (c_\varphi\varphi)_P}{z_P - z_W} \Delta r + \\ & + (rb_\varphi)_n \frac{(c_\varphi\varphi)_P - (c_\varphi\varphi)_N}{r_N - r_P} \Delta z - (rb_\varphi)_s \frac{(c_\varphi\varphi)_S - (c_\varphi\varphi)_P}{r_P - r_S} \Delta z \end{aligned} \quad (4.1-7)$$

unde

$$(rb_\varphi)_e \approx \frac{1}{2} \left[ (rb_\varphi)_E + (rb_\varphi)_P \right] \quad (4.1-8)$$

și analog alte trei relații.

Astfel rezultă pentru aproximarea termenilor de difuzie din ecuația (4.1-1)

$$-\frac{\partial}{\partial z} \left[ rb_\varphi \frac{\partial}{\partial z} (c_\varphi\varphi) \right] - \frac{\partial}{\partial r} \left[ rb_\varphi \frac{\partial}{\partial r} (c_\varphi\varphi) \right] \approx \frac{\dot{S}_D}{\Delta z \Delta r} \quad (4.1-9)$$

#### c) APROXIMAREA TERMENULUI DE SURSĂ

Dacă sursa  $\dot{S}_s$  are o intensitate constantă în volumul de control

$$\dot{S}_s = r_P d_{\varphi,P} \Delta z \Delta r \quad (4.1-10)$$

Așa cum rezultă din tabelul 3.6, termenul de sursă  $d_\varphi$  este format din derivate parțiale, care se aproximează în punctul P prin polinoame al căror grad nu trebuie să depășească ordinul derivatei.

Dacă variabilele termenului de sursă în cadrul volumului de control indică gradienti mari, se recomandă ca în locul variabilei punctului  $d_{\varphi,P}$  din (4.1-10) să se utilizeze valoarea medie a lui  $d_\varphi$  pentru volumul de control. Acest lucru se folosește în special la aproximarea termenului de sursă al ecuației funcție de curent în apropierea peretelui /75/.

Indiferent cum este descris termenul de sursă, din ecuația (4.1-10) rezultă valoarea aproximativă a lui  $rd_\varphi$  :

$$rd_\varphi \approx \frac{\dot{S}_s}{\Delta z \Delta r} \quad (4.1-11)$$

#### d) ECUAȚIA DIFERENȚIALĂ COMPLETĂ

Pentru volumul de control din jurul punctului P, pe baza transformărilor anterioare, ecuația diferențială generală de transport (4.1-1), devine

$$a_{\varphi,P} \frac{\dot{S}_C}{\Delta z \Delta r} + \frac{\dot{S}_D}{\Delta z \Delta r} - \frac{\dot{S}_S}{\Delta z \Delta r} = 0 \quad (4.1-12)$$

#### 4.1.2. APROXIMAREA CONDIȚIILOR DE CONTUR

Ecuatiile cu diferențe finite pentru punctele interioare au fost deduse pe baza bilanșurilor pe volumul de control din jurul

punctului considerat. Pentru volumele de control din apropierea conturului de integrare, fig.4.3, se desemnează relații matematice între variabilele pe contur și valorile acestora în punctele interioare învecinate. Funcție de formularea condițiilor de contur acestea pot fi scrise în trei feluri.

a) Dacă valoarea variabilei pe contur este dată inițial, ca de exemplu pentru funcția de curent (ec.3.6-8) sau dacă este precizată dinainte printr-o funcție  $f$  a valorilor pe contur, atunci

$$\varphi_P = \text{const} \text{ sau } \varphi_P = f \quad (4.1-13)$$

b) În cazul în care gradientul variabilelor dispăre pe direcția verticală la perete, de exemplu pentru componentele materiale la pereți impermeabili (ecuația 3.6.16) se poate folosi una din relațiile :

$$\varphi_P = \varphi_{P_1} \quad (4.1-14a)$$

sau

$$\varphi_P = \frac{x_{n2}^2}{x_{n2}^2 - x_{n1}^2} \varphi_{P_1} - \left( \frac{x_{n2}^2}{x_{n2}^2 - x_{n1}^2} - 1 \right) \varphi_{P_2} \quad (4.1-14b)$$

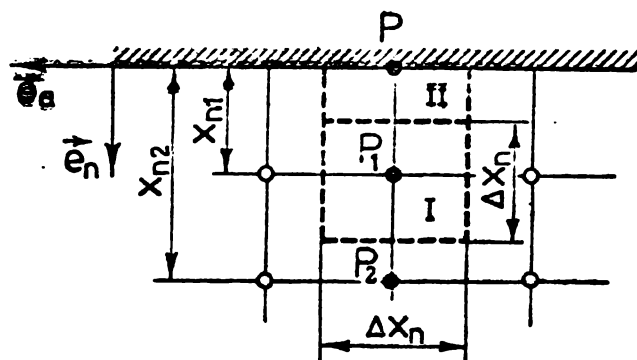
Expresiile de mai sus reprezintă aproximări prin polinoame de ordinul 1, respectiv 2.

c) Gradientul variabilelor mai poate fi scris și sub forma unei funcții  $g$  a valorilor pe contur a altor variabile; cum este cazul pereților conducători de căldură (ec.3.6-22). Atunci pot fi folosite ecuațiile :

$$\varphi_P = \varphi_{P_1} - g x_{n1} \quad (4.1-15a)$$

sau

$$\varphi_P = \frac{x_{n2}^2}{x_{n2}^2 - x_{n1}^2} \varphi_{P_1} - \left( \frac{x_{n2}^2}{x_{n2}^2 - x_{n1}^2} - 1 \right) \varphi_{P_2} - g \frac{x_{n1} x_{n2} (x_{n1} + x_{n2})}{x_{n2}^2 - x_{n1}^2} \quad (4.1-15b)$$



I. Volum de control interior  
II. Volum de control pe contur

Fig.4.3. Dispunerea volumelor de control la aproximarea condițiilor de contur.

## 4.2. METODE DE REZOLVARE A ECUAȚIILOR CU DIFERENȚE FINITE

Ecuația generală cu diferențe finite (4.1-12) împreună cu condițiile de contur pentru fiecare variabilă formează un sistem de  $n+m$  ecuații algebrice nelineare corespunzător nodurilor rețelei de calcul, cu  $n+m$  necunoscute. Sistemele de ecuații sînt cuplate între ele prin coeficienți și prin termenii de sursă. Ecuațiile ce

descriu procesele din focare sînt puternic nelineare; la aceasta adăugîndu-se caracterul eliptic al curgerii, impune ca unic procedeu de rezolvare - metoda iterativă.

Un astfel de procedeu pornește de la o serie de mărimi ale variabilelor (numite valori brute), pe care le îmbunătățește prin menținerea condițiilor inițiale și de contur la fiecare ciclu de iterație.

#### 4.2.1. PROCEDEUL GAUSS-SEIDEL

Pentru rezolvarea ecuațiilor cu diferențe finite se folosește următorul algoritm de calcul : ecuația (4.1-12) se mai poate scrie sub formă desfășurată :

$$A_E(\varphi_P - \varphi_E) + A_W(\varphi_P - \varphi_W) + A_N(\varphi_P - \varphi_N) + A_S(\varphi_P - \varphi_S) - B_E(c_{\varphi, E}\varphi_E - c_{\varphi, P}\varphi_P) - \\ - B_W(c_{\varphi, W}\varphi_W - c_{\varphi, P}\varphi_P) - B_N(c_{\varphi, N}\varphi_N - c_{\varphi, P}\varphi_P) - B_S(c_{\varphi, S}\varphi_S - c_{\varphi, P}\varphi_P) + \\ + d_{\varphi, P}V_P = 0 \quad (4.1-16)$$

Cu notațiile din fig.4.2 rezultă următoarea formulă generală de substituție :

$$\varphi_P = C_E\varphi_E + C_W\varphi_W + C_N\varphi_N + C_S\varphi_S + D \quad (4.1-17)$$

unde :

$$\left. \begin{aligned} C_E &= (A_E + B_E c_{\varphi, E}) / \sum_{AB} \\ C_W &= (A_W + B_W c_{\varphi, W}) / \sum_{AB} \\ C_N &= (A_N + B_N c_{\varphi, N}) / \sum_{AB} \\ C_S &= (A_S + B_S c_{\varphi, S}) / \sum_{AB} \\ D &= - d_{\varphi, P} V_P / \sum_{AB} \\ \sum_{AB} &= A_E + A_W + A_N + A_S + c_{\varphi, P} (B_E + B_W + B_S) \end{aligned} \right\} (4.1-17')$$

Coeficienții pentru termenii de convecție (ec.4.1-18) :

$$\left. \begin{aligned} A_E &= \frac{a_{\varphi, P}}{8} [(\psi_{SE} + \psi_S - \psi_{NE} - \psi_N) + (\psi_{SE} + \psi_S - \psi_{NE} - \psi_N)] \\ A_W &= \frac{a_{\varphi, P}}{8} [(\psi_{NW} + \psi_N - \psi_{SW} - \psi_S) + (\psi_{NW} + \psi_N - \psi_{SW} - \psi_S)] \\ A_N &= \frac{a_{\varphi, P}}{8} [(\psi_{NE} + \psi_E - \psi_{NW} - \psi_W) + (\psi_{NE} + \psi_E - \psi_{NW} - \psi_W)] \\ A_S &= \frac{a_{\varphi, P}}{8} [(\psi_{SW} + \psi_W - \psi_{SE} - \psi_E) + (\psi_{SW} + \psi_W - \psi_{SE} - \psi_E)] \end{aligned} \right\} (4.1-18)$$

Coeficienții pentru termenii de difuzie (ecuațiile 4.1-19):

$$\left. \begin{aligned} B_E &= \frac{b_{\varphi, E} + b_{\varphi, P}}{8} \frac{r_N - r_S}{z_E - z_P} (r_E + r_P) \\ B_W &= \frac{b_{\varphi, W} + b_{\varphi, P}}{8} \frac{r_N - r_S}{z_P - z_W} (r_W + r_P) \end{aligned} \right\} (4.1-19)$$

$$B_N = \frac{b_{\varphi,N} + b_{\varphi,P}}{8} \frac{z_E - z_W}{r_N - r_P} (r_N + r_P)$$

$$B_S = \frac{b_{\varphi,S} + b_{\varphi,P}}{8} \frac{z_E - z_W}{r_P - r_S} (r_S + r_P)$$

și coeficienții termenului de sursă (ecuațiile 4.1-20)

$$v_P = \frac{r_P}{4} (a_E - a_W)(r_N - r_S) \quad (4.1-20)$$

Într-un ciclu iterativ, se parcurge pentru fiecare variabilă  $\varphi$  punctele interioare ale rețelei de calcul, se află coeficienții și conform ecuației (4.1-17) se calculează valorile îmbunătățite ale variabilelor. Aceasta corespunde procedurii GAUSS-SEIDEL. Condițiile de contur ale variabilelor, în măsura în care se cer se îmbunătățesc după fiecare parcurgere a punctelor interioare. După fiecare ciclu iterativ se calculează din nou coeficienții de transport și mărimile termodinamice, în măsura în care nu sînt variabile dependente. Procesul iterativ continuă atîta timp, pînă cînd resturile relative, respectiv maximele absolute ale cîmpurilor variabilelor a două cicluri de iterații succesive, sînt mai mici decît valoarea prescrisă. Această valoare trebuie să fie desemnată ca și criteriu de convergență.

În paragraful 3.5.7.2 a fost dedusă ecuația de definiție (3.5-38) a unui model al fluxului de radiație pentru variabila  $F_r$  și condițiile de contur aferente, ecuațiile (3.5-39) și (3.5-40). Ecuațiile au aceeași formă ca și ecuația generală de bilanț (4.1-1) pentru variabila  $\varphi$ ; astfel că pentru rezolvarea lor se poate folosi procedeul iterativ elaborat pe baza formulei generale de substituție (4.1-17).

#### 4.2.2. CONVERGENȚA PROCEDEULUI - FACTORII CE INFLUENȚEAZĂ CONVERGENȚA ȘI PRECIZIA CALCULULUI

Algoritmul unui procedeu iterativ de rezolvare este util, dacã duce într-un timp accesibil de calcul la rezultate ce tind cît mai rapid spre valoarea limită. Pentru sisteme de ecuații lineare (ec.4.1-17) se pot fixa criterii exacte de convergență /20/. Din păcate nu există astfel de criterii pentru ecuațiile nelineare. Criteriile de convergență ale ecuațiilor lineare se pot totuși folosi ca orientative. Experiența altor autori /66/, cît și experiența proprie, au arătat că procedeul descris duce la rezultate de convergență prin utilizarea și respectarea următoarelor metode :

a) Subrelaxarea

Cea mai utilizată metodă de asigurare a convergenței este



subrelaxarea. Ea constă din faptul că valoarea nou calculată a unei mărimi într-un punct al rețelei nu intră cu mărimea sa întreagă în continuare în calcule, ci cu o medie dintre valoarea ciclului de iterație n-1 și cea a ciclului următor n. Astfel avem relația :

$$\varphi_n^* = \alpha_{SR} \varphi_n + (1 - \alpha_{SR}) \varphi_{n-1} \quad (4.1-21)$$

$\varphi_n^*$  este valoarea nou calculată,  $\alpha_{SR} = 0 + 1$  - coeficientul de subrelaxare.

Subrelaxarea se poate folosi la calculul variabilelor dependente sau la mărimile care influențează coeficienții C și D din ecuația (4.1-17).

RICHTER /66/ recomandă utilizarea următorilor coeficienți de subrelaxare, la rezolvarea programului de calcul al arderii difuzive a gazului metan :  $\alpha_{SR, \Psi} = 0,6$ ;  $\alpha_{SR, T} = 0,5$ ;  $\alpha_{SR, \rho} = 0,7$  și  $\alpha_{SR} \eta_{ef} = 0,75$ .

#### b) Evaluarea valorilor brute

Valorile brute greșit alese pot duce la divergența rezolvării. Se pot utiliza pentru un nou exemplu de calcul, valori brute care converg ale unui program asemănător rulat.

#### c) Condițiile de intrare

În general modificarea regimurilor de lucru în focare se face prin variația debitelor și vitezelor combustibilului și aerului, ceea ce din punct de vedere al modelului matematic corespunde cu condițiile de intrare. În aceste cazuri se recomandă utilizarea mai întâi a valorilor brute a unui calcul anterior care converg, inclusiv a condițiilor de intrare, iar apoi să se modifice treptat (pe parcursul rulărilor) noile condiții de intrare.

#### d) Tratarea implicită a condițiilor de contur

În unele cazuri condițiile de contur se pot include în formula de substituție a punctelor de rețea din vecinătatea peretelui. După părerea autorilor /20/ aceasta duce la o convergență mai rapidă a programului.

#### e) Pasul rețelei de calcul

Pasul rețelei de calcul (distanța dintre două linii de rețea succesive) pe cât este posibil nu trebuie să depășească valoarea de 1,5. Aceasta mai ales la dispunerea liniilor rețelei în apropierea orificiilor de intrare și în vecinătatea peretelui. În anumite cazuri, doar prin rearanjarea dispoziției liniilor rețelei de calcul se poate obține convergența calculului. Acest lucru trebuie făcut în strânsă dependență cu gradientii așteptați ai mărimilor cercetate, astfel ca în zonele unde gradientii sînt mari să avem o rețea deasă de calcul.

Pasul rețelei mai are și o influență asupra erorilor numerice, care devin cu atât mai mici cu cât se alege o rețea mai fină de calcul. Finețea necesară rețelei se poate stabili calculând același exemplu de utilizare cu diferiți pași ai rețelei până la atingerea masei de convergență stabilite. Se observă că timpii de calcul cresc mai mult decât proporțional cu numărul nodurilor. Astfel pasul rețelei și dispunerea acestuia trebuie făcută cu atenție, pentru a realiza timpii cât mai mici de calcul la erori numerice acceptabile.

#### 4.3. PROGRAMUL DE CALCUL

În timpul cercetărilor întreprinse, autorul a conceput mai multe programe de calcul /76/, /77/, care au avut ca bază de pornire procedeul descris în /20/. S-a încercat, pentru varianta de program ce va fi descrisă în continuare, să se răspundă la principalele cerințe ale unui calcul numeric utilizat în inginerie :

a) aplicabilitate cât mai generală - programul, ca și procedeul soluției trebuie să fie larg aplicabil; astfel, deși conceput inițial pentru studiul proceselor din focare ce utilizează combustibili gazoși, el poate fi utilizat și la rezolvarea problemelor legate de arderea combustibililor lichizi și solizi pulverizați.

b) ușurință de aplicare - programul trebuie scris cât mai clar, pentru a ușura munca de înțelegere a celui care-l utilizează în problema sa specială. Mai mult, schimbările din program cerute pentru fiecare problemă particulară trebuie să fie cât mai puține.

c) economie - programul de calcul trebuie să necesite timpii minimi de calcul și spații de memorie cât mai mici.

Astfel, s-a elaborat un program general pentru sisteme axiale-simetrice bidimensionale ce studiază curgerile cu și fără turbionare a flăcărilor de gaz metan închise. Programul a fost scris în limbaj FORTRAN IV și față de modelul din /20/ au fost aduse următoarele modificări esențiale :

- calculul coeficienților de schimb turbionari cu modele ale turbulenței cu mai multe ecuații - modelul k-W;
- includerea funcțiilor peretelui în calculul condițiilor de contur;
- luarea în considerare a schimbului de căldură prin radiație în focar cu un model al fluxului;
- formularea mai exactă a transferului total de căldură la pereții focarului;
- realizarea bilanțurilor totale de materie și căldură în focar.

Paralel cu aceste completări impuse de necesitățile fizice ale fenomenului studiat, au fost întreprinse și unele dezvoltări ale tehnicii de calcul și programare :

- utilizarea unei rețele de calcul cu pas variabil, în scopul măririi preciziei rezultatelor pentru zonele cu gradienti mari de transformare, care a dus implicit și la o reducere substanțială a nodurilor rețelei;
- programare cu alocare dinamică de memorie, pentru a obține o economie cât mai mare;
- posibilitatea introducerii valorilor inițiale ale variabilelor de pe banda magnetică și înmagazinarea variabilelor calculate pe bandă;
- reorganizarea subprogramului de trasare a graficelor izoliniilor mărimilor calculate.

Timpii de calcul pentru programele rulate au fost influențați de foarte mulți factori. O influență mare a avut-o alegerea masei de convergență. Aceasta se poate stabili cu ajutorul resturilor absolute și relative. Masa de convergență absolută este definită prin :

$$(\varphi_{P,n} - \varphi_{P,n-1})_{\max} \leq \lambda_1 \quad (4.1-22)$$

iar masa de convergență relativă cu :

$$[(\varphi_{P,n} - \varphi_{P,n-1})/\varphi_{\text{nou}}]_{\max} \leq \lambda_2 \quad (4.1-23)$$

unde  $n$  - este numărul de iterații și  $\varphi_{\text{nou}}$  se calculează cu relația (4.1-21).

În general, timpii de calcul al programelor rulate pe calculatorul FELIX C-256 au fost de un minut pentru o iterație.

#### 4.3.1. IPOTEZE DE CALCUL

Ipotezele considerate în studiul arderii și transferului de căldură în focare ce utilizează combustibili gazoși, se referă la mecanismele curgerii, arderii și schimbului de căldură.

a) Ipoteze pentru calculul curgerii

Se presupune că :

- este îndeplinită condiția pentru folosirea modelului  $k$ - $W$  al turbulenței, adică numerele REYNOLDS turbulente locale sînt mari, că  $C_D$ ,  $C_1$ ,  $C_2$ ,  $C_3$ ,  $C_{\varphi,t}$  sînt constante și că se poate considera  $\eta_{ef} = \eta_t$ ;
- procesul curgerii în apropierea peretelui poate fi descris prin funcții ale peretelui, fiind o curgere COUETTE;
- se cunosc profilele cîmpului vitezelor și mărimile turbulente  $\bar{k}$  și  $\bar{W}$  la orificiile de intrare (pentru curentul primar și secundar);

- profilele la orificiile de intrare a temperaturilor sînt plane, iar pereții sînt izotermi;
- liniile de curent în punctele de colț ale orificiilor de admisie se desfășoară paralel cu direcția principală de curgere imprimată în conductele de alimentare;
- pentru mișcarea turbulentă, curgerea în apropierea peretelui este de tip COUETTE, produsă de rezultanta dintre componentele axiale și tangențiale ale vitezei.

b) Ipoteze pentru calculul arderii :

- așa cum s-a mai arătat, se consideră modelul arderii complete - "amestec = ars" care pentru metan are următoarea reacție brută:



- nu se ia în considerare influența turbulenței asupra desfășurării reacției;
- pereții focarului sînt nereactivi și impenetranți pentru speciile chimice ce participă la reacții.

c) Ipoteze pentru calculul schimbului de căldură :

- cantitatea de căldură transmisă prin convecție la pereții focarului se determină cu relația (3.6-75).

Se presupun cunoscute valorile coeficienților de transfer prin convecție cît și temperaturile de-a lungul pereților focarului.

- schimbul de căldură prin radiație în focar se calculează cu un model cu două fluxuri descris în subcapitolul 3.5;
- comportarea la radiație a gazelor de ardere  $\text{H}_2\text{O}$  și  $\text{CO}_2$  se aproximează cu cea a unui gaz cenușiu cu coeficientul de atenuare al radiației  $k_a = 0,15 \text{ }^1/\text{m}$ . Acest coeficient a fost determinat în paragraful 3.5.8.

#### 4.3.2. ECUAȚIILE DE BAZĂ ȘI CONDIȚIILE DE CONTUR

Sistemul de ecuații diferențiale de bază conținut în program este rezolvat pentru următoarele variabile dependente :

- viteza unghiulară a vârtejului  $\omega_\theta/r$  ecuația (3.3-14b)
- funcție de curent  $\psi$  „ (3.3-14a)
- viteza tangențială  $r \cdot v_\theta$  „ (3.3-14c)
- energia cinetică specifică pulsatorie  $k$  „ (3.3-14f)
- pătratul frecvenței medii a pulsațiilor turbulente  $W$  „ (3.3-14g)
- fracția amestecului  $f$  „ (3.3-14d)
- entalpia  $h$  „ (3.3-14e)
- fluxul de radiație  $F_r$  „ (3.5-38)

Pentru modelul arderii complete "amestec = ars" nu sînt necesare ecuații suplimentare.

Condițiile de contur aferente ecuațiilor diferențiale prezentate, sînt de-a lungul pereților :

- $\omega_\theta / r$	ecuația	(3.6-66)
- $\Psi$	"	(3.6-9)
- $r \cdot v_\theta$	"	(3.6-3b)
- $k$	"	(3.6-70)
- $W$	"	(3.6-71)
- $f$	"	(3.6-16)
- $h$	"	(3.6-75)
- $F_r$	"	(3.6-39)

Cu excepția lui  $\omega_\theta / r$  (relația 3.6-33), pe axa de simetrie și la orificiul de evacuare gradientii variabilelor se anulează.

Condițiile de contur la orificiile de intrare au fost pe larg prezentate în paragraful 3.6.2.2. Astfel pentru  $v_z$  se presupune o distribuție dedusă din concepția lui PRANDTL asupra regimului turbulent de mișcare în conducte circulare /81/. Se obține funcție de numărul lui REYNOLDS un profil mai alungit la admisia curentului primar și unul aplatizat la cel secundar. În cazul turbionării curentului, profilul lui  $v_z$  nu trebuie influențat de  $v_\theta$ , care se consideră cu o distribuție plană. Valoarea lui  $v_\theta$  se determină cu ajutorul numărului de turbionare definit de relația (3.6-52). Pentru restul variabilelor, condițiile de contur la orificiile de admisie se calculează în funcție de tipul arzătorului utilizat, geometria focarului, debitul, compoziția gazelor introduse, proprietățile fizice și termodinamice ale acestora. Pentru calculul entalpiei de intrare a gazului metan se folosește puterea calorifică măsurată a combustibilului. Evaluarea condițiilor de intrare pentru  $\bar{h}$  și  $\bar{W}$  se face după rezultatele experimentale ale jeturilor dublu-concentrice publicate în /82/.

#### 4.3.3. CONSTANTE ALE MODELULUI MATEMATIC

Principali parametri utilizați în soluționarea modelului matematic sînt :

- constantele modelului k-W al turbulenței - Tabelul 3.4, cu valorile propuse de ROBERTS și RICHTER.

Pentru curenți turbionați, constanta de disipare  $C_2$  se calculează cu relația :

$$C_2' = C_2 + 0,45 \frac{\frac{v_\theta}{r} \frac{\partial v_\theta}{\partial r} + \frac{v_\theta^2}{r^2}}{\left(\frac{\partial v_z}{\partial r}\right)^2 + \left(\frac{\partial v_\theta}{\partial r} - \frac{v_\theta}{r}\right)^2} \quad (4.1-25)$$



- coeficienții funcției peretelui  $a = 8,4$ ;  $b = 0,143 / 82/$
- numerele SCHMIDT-PRANDTL turbulente pentru  $f$  și  $h$  sînt

$$\sigma_{f,t} = \sigma_{h,t} = 0,7$$

- dependența de temperatură a căldurilor specifice ale componentelor gazoase considerate este dată de expresia

$$c_p(t) \Big|_0^t = A + B e^{Ct} \quad (4.1-26)$$

în care constantele  $A$ ,  $B$  și  $C$  au fost preluate din /83/.

#### 4.4. ORGANIZAREA PROGRAMULUI

Programul este scris în limbaj FORTRAN IV. De regulă registrele unice sînt repartizate celor mai importante variabile sau mărimi. Aceasta face posibilă utilizarea cartelelor COMMON pentru legarea diferitelor subprograme, concomitent cu reducerea la minim a variabilelor fictive necesare. Cele mai multe dintre datele numerice sînt specificate în BLOCK DATA, altele, de obicei cele de tip parametric (ex. mărimile de intrare) în subprogramul GEOMET sau chiar în programul principal FLAMM.

##### 4.4.1. RETEAUA DE CALCUL

În calculele numerice s-a folosit o rețea rectangulară de  $20 \times 20$  de linii cu pas variabil. Liniile rețelei sînt drepte paralele cu direcțiile coordonatelor  $x$  și  $r$ , primele avînd indicele  $I$ , ultimele  $J$ . Prima dreaptă  $J$  coincide cu axa de simetrie a focarului. Configurația cea mai generală a focarului și sistemul rețelei utilizat este prezentat în fig.4.4, menținîndu-se notațiile din program.

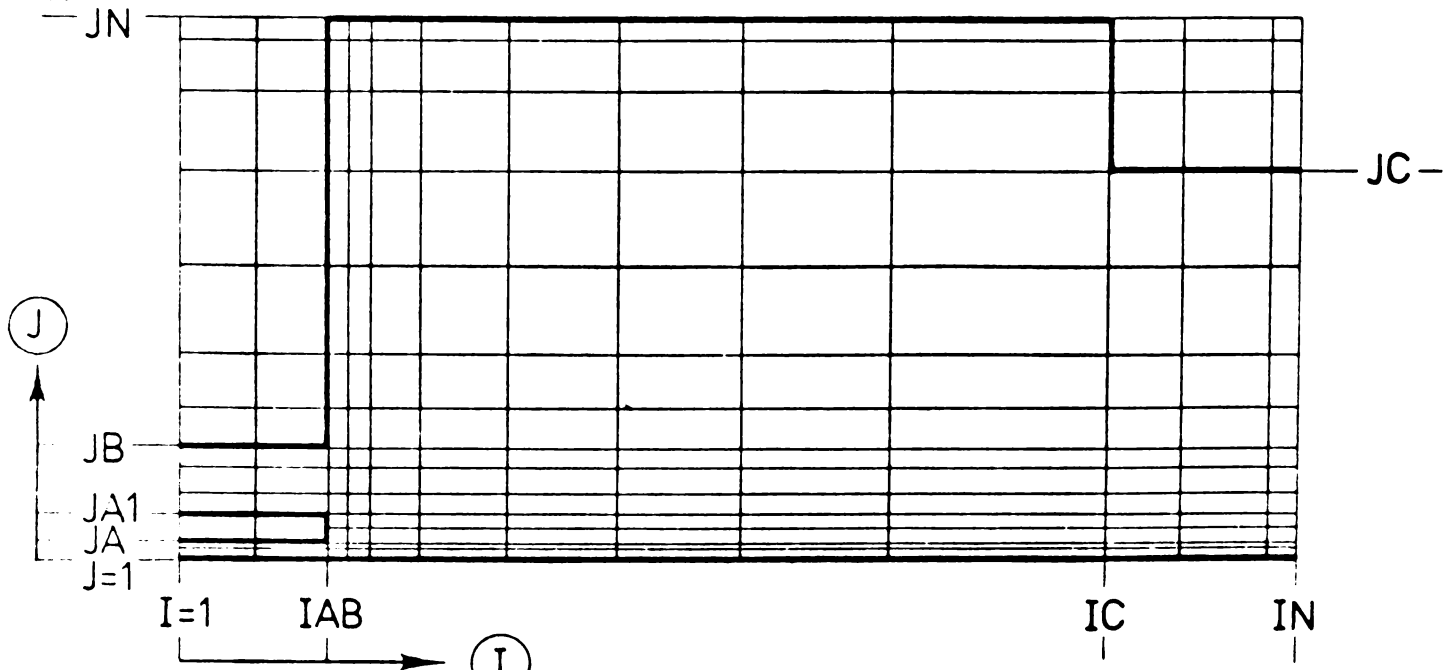


Fig.4.4. Schița rețelei de calcul (linii subțiri) și a stratului de contur (linii groase) cu notațiile variabilelor programului pentru cazul general al configurației focarului.



#### 4.4.2. VARIABILELE DEPENDENTE

Toate variabilele dependente au numele de registru A, reprezentând un sistem tridimensional. Primele două dimensiuni specifică poziția în rețea (valorile lui I și J), în timp ce a treia dimensiune identifică variabila dependentă. Astfel  $A(I,J,NF)$  este valoarea funcției de curent  $\Psi$  (indicele NF) în nodul (I,J). Alți indici sînt afectați pentru a desemna restul de variabile dependente; aceștia vor fi găsiți în subcapitolul următor. Acești indici ai variabilelor dependente controlează numai ordinea în care sînt rezolvate ecuațiile diferențiale. Selecția unei anumite variabile dependente se efectuează prin fixarea indicelui INDE(K) egal cu 1, K fiind indicele de ordine al variabilei dependente considerate. Astfel, fixînd INDE(NF) egal cu 1, rezultă că ecuația funcției de curent trebuie rezolvată.

#### 4.4.3. LISTA SIMBOLURILOR FORTRAN UTILIZATE

Dată fiind lungimea programului, numărul variabilelor utilizate în calcul este mare. O prezentare detaliată a acestora consider că ar ieși din cadrul lucrării. Pentru aceasta, în următoarea listă se prezintă informații numai despre cele mai importante variabile, insistînd asupra aceloră din subprogramul BLOCK DATA, unde sînt introduși indicii de control și datele numerice speciale pentru cazul studiat.

Simboluri FORTRAN	Semnificație
A(I,J,1 la 10)	Variabile dependente
A,AME	Nume întregi pentru variabilele dependente folosite la tipărire
A(I,J,1 la 10) } A(I,J,1 la 10) }	Vectori de lucru ai programului
APAK, AKENER	Constante ale vitezei de reacție
ASYMBL	Simboluri pentru variabilele dependente folosite la tipărire
,DFK	Coeficienți ai funcției peretelui
AA,ER,CR	Coeficienți pentru calculul termenului de sursă al concentrației gazoase
	Aproximare cu diferențe finite a termenilor de convecție pentru variabila dependentă $\phi$
	Coeficient al transferului de căldură prin convecție
	Coeficient în aproximarea patratică a variației funcției $\phi$ în apropierea stratului de contur

BRP,PRS	Compoziția procentuală a curentului primar și secundar
CC	Criteriu de convergență - similar cu masa de convergență
CN,CS,CE,CW	Coeficienți ai formulei generale de substituție pentru termenii de difuzie
CPJ	Căldurile specifice ale componentelor amestecului gazos
CPREF	Căldură specifică de referință
DC	Criteriu de divergență
DELX1 (I)	Lungimea intervalului de calcul în direcția x pentru nodurile rețelei de pe dreapta J
DELX2 (J)	Lungimea intervalului de calcul în direcția r pentru nodurile rețelei de pe dreapta I
DK	Debitul curentului primar
DLS	Debitul curentului secundar
EW,ET	Coeficienții de emisie ai pereților și volumului gazos al focarului
G1, G2	Vitezele masice în direcția x și r
GC	Accelerația gravitațională
GCPM	Constanta universală a gazelor
GMLB } GMLW } GMLN } GMLS }	Mărimi folosite la evaluarea termenilor de convecție
HK	Puterea calorifică a combustibilului gazos
ENP,ENS	Entalpia la intrare a curentului primar (combustibil), respectiv entalpia la intrare a curentului secundar (aer)
IE	Numărul ecuațiilor diferențiale ce urmează să fie rezolvate
ISTR	Indice de control ce desemnează numărul ecuațiilor diferențiale ce descriu schimbul de căldură prin radiație
IER } IKJ }	Indici de control pentru variabilele dependente calculate NW,NF,NVT,NK,NL,MM,NKJ,NEN.
INW, IN	Numărul dreptelor de rețea în direcția x
INDE(K)	Indice de control - numai când acest indice este egal cu 1 ecuația pentru variabila dependentă cerută va fi rezolvată
INPR	Indice de control al tipăririi tabelare sau grafice

JNW, JN	Numărul dreptelor rețelei în direcția r	
JA, JA1, JB, JC, IAB, IC	Dimensiunile camerei de ardere	
K	Indice de specificare a variabilei dependente luate în considerare	
KVORT	Indice de control utilizat la calculul condițiilor de contur. Când KVORT = 1 condițiile de contur la pereți sînt calculate	
NW	} Variabile dependente	viteza unghiulară a vârtejului
NE		funcția de curent
NVT		viteza tangențială
NK		energia cinetică specifică pulsatorie
NE		patratul frecvenței medii a pulsațiilor turbulente
NI		fracția amestecului
NKO		alte fracții masice
NEK		entalpia
NVJ		Numărul izoliniilor ce urmează a fi tipărite sub formă de grafice
NMAX		Numărul maxim de iterații ce trebuie executate
NPRIN	Numărul de iterații după care sînt tipărite rezultatele calculate	
PR	Numerele PRANDTL-SCHMIDT	
PREF	Presiunea statică de referință	
PCIO	Unghi azimutal	
RC	Densitatea amestecului	
ROP, ROS	Densitatea amestecului la intrare - curent primar; - curent secundar	
RREF	Densitatea de referință	
RCWF	Coeficient de subrelaxare pentru densitate	
RP	Parametrii de relaxare pentru variabilele dependente	
SFC	Raport stoechiometric	
SIGMA	Constanta ȘTEFAN-BOLTZMANN	
SOURCE	Termenul de sursă pentru variabila dependentă	
T	Temperatura absolută	
TREF	Temperatura de referință	
TIC, TSC	Temperaturile la intrare ale curentului primar și secundar	
TGRD1, TGRD2	} Constante ale modelului turbionar k-W	
ZK1, ZK2, ZMY,		
CC1, CC2, CC3		

TWF	Coeficient de subrelaxare la calculul temperaturii
VINP,VINS	Vitezele axiale la intrare ale curentului primar și secundar
X1,X2(R)	Abcisa și ordonata sistemului de coordonate
XDRUCK,YDRUCK	Numărul de puncte în direcțiile x și r, necesare trasării graficelor
XEMTY,XBOUN,XSTRCH XSTERN,XA,XPLUS XEINH,YEINH	} Simboluri utilizate în trasarea graficelor lor Unitățile în direcțiile x și r folosite la trasarea graficelor
ZMU	Viscozitatea efectivă
ZMW	Masele moleculare ale speciilor chimice considerate
ZMUWF	Coeficient de subrelaxare la calculul viscozității
ZU	Vezi AU
ZQ	Vezi SOURCE
MARKE { FALSE } { TRUE }	Mărimile de intrare în subrutina GEOMET se citește de pe cartele /FALSE/ sau după bandă magnetică /TRUE/

#### 4.4.4. DESCRIEREA PROGRAMULUI

După cum reiese din analiza modelului matematic, s-a căutat să se atașeze fiecărui model parțial (curgere, ardere, transfer de căldură) un subprogram de calcul. Aceste subprograme sînt de două tipuri : SUBROUTINE și FUNCTION. Ele diferă în special în maniera în care sînt apelate pentru a acționa.

Înainte de a descrie mai în detaliu diferitele părți ale programului rezumînd funcțiile acestora, în fig.4.5 este prezentată schema logică, reprezentînd organizarea subprogramei. În afara de numele SUBROUTINE și FUNCTION, fiecărui subprogram i-a fost atribuit arbitrar o notare alfabetică unică, pentru ușurarea referirilor.

##### a) Programul principal - FLAMM

Datorită împărțirii calculului în subprograme, programul principal este puțin încărcat. Astfel, aici se calculează adresele relative de implantare a principalilor vectori de calcul în masivul de date declarat cu A (13.040), cifră ce reprezintă suma dimensiunilor tuturor vectorilor (memoria alocată).

După pregătirea adreselor relative, programul introduce da-

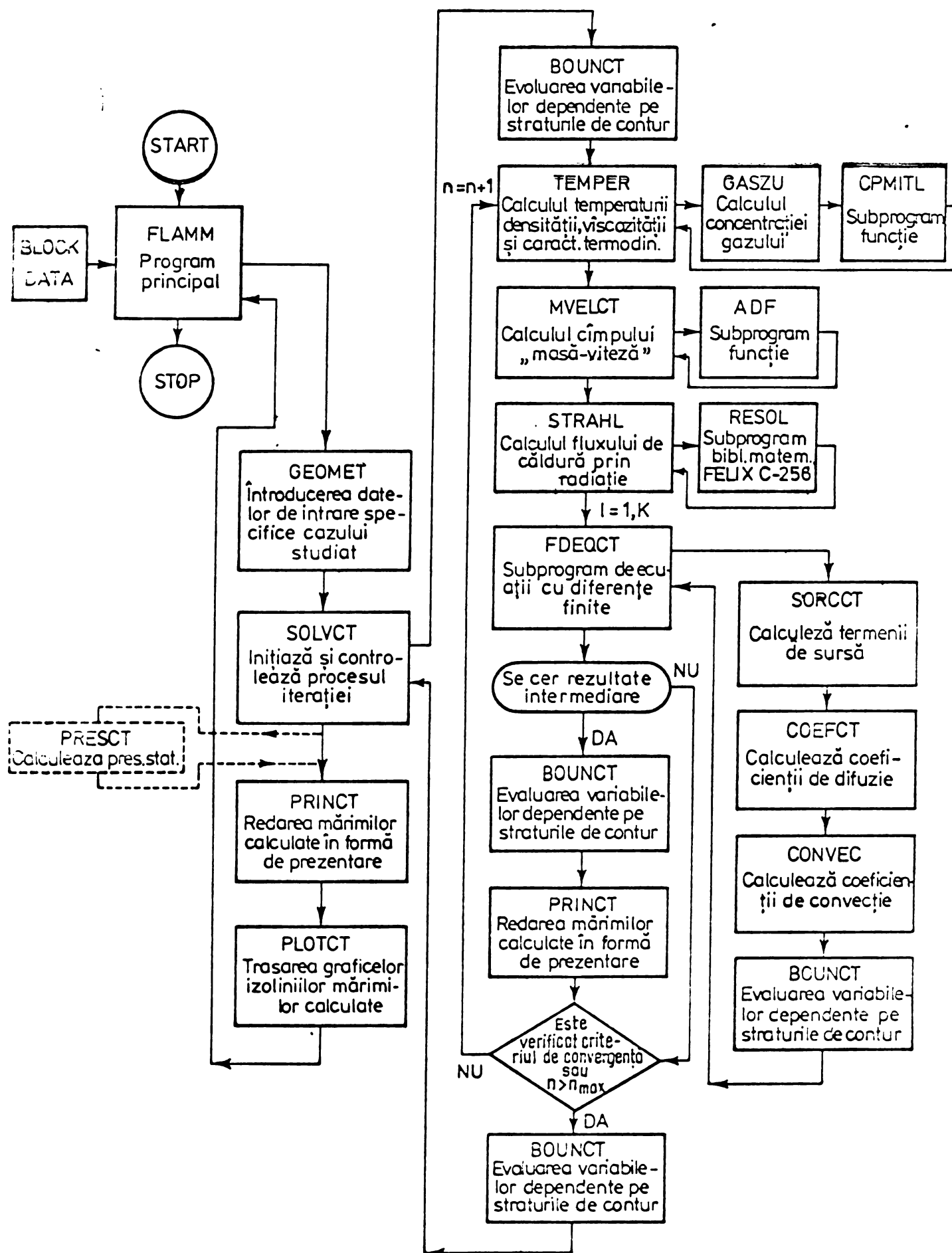


Fig.4.5. Schema logică a programului de calcul al curgerii, arderii și transferului de căldură (organizarea subprogramelor).

tele specifice cazului cercetat și apelează subrutina de rezolvare. Când criteriul de convergență este satisfăcut sau s-a atins numărul de iterații propus, programul comandă tipărirea rezultatelor și trasarea graficelor.

b) BLOCK DATA

Conține toate datele numerice și indicii de control ce nu au fost specificați în programul principal și fac obiectul problemei studiate : dispunerea liniilor rețelei de calcul, numărul ecuațiilor diferențiale care trebuie rezolvate, constante ale modelului matematic, criteriul de convergență, numărul maxim de iterații etc.

c) Subprogramul - GEOMET

Acest subprogram, comparativ cu restul subrutinelor care au o valabilitate generală pentru întreaga clasă de procese studiate, particularizează și definește mărimile caracteristice strâns legate de obiectul propus.

Astfel sînt introduse datele geometriei focarului și ale arzătorului, proprietățile fizice, chimice și termodinamice ale curenților la intrare, condițiile de contur constante pentru toate variabilele, domeniul de integrare, mărimile de referință etc.

Este prima subrutină de calcul ce pregătește toate mărimile de intrare și ajutătoare într-o formă accesibilă pentru rezolvarea numerică a ecuațiilor diferențiale.

d) Subprogramul SOLVCT

Subprogramului de "rezolvare" i se face apel de către programul principal FLAMM. Inițiază procesul iterației, selectează, în funcție de datele puse la dispoziție, ecuațiile care urmează a fi rezolvate și exercită un control general al procesului iterativ. Când s-a ajuns la numărul maxim de iterații prescrise, NMAX, sau s-a atins criteriul de convergență specificat, CC, procesul iterativ este întrerupt.

Este util de a avea date privind comportarea procesului iterativ; aceste informații sînt furnizate de subprogram în două feluri :

- reziduul relativ - fiind raportul dintre diferența maximă între două iterații consecutive ale variabilei  $\varphi$  și valoarea nou calculată a funcției (relația 4.1-23);
- reziduul absolut - reprezentînd diferența maximă între două iterații consecutive ale variabilei  $\varphi$  (relația 4.1-22).

Atît reziduul relativ cît și cel absolut sînt imprimare la fiecare iterație pentru variabilele dependente calculate. Reziduul



relativ este mult utilizat pentru localizarea transformărilor variabilei  $\varphi$  (în special când aceasta suferă o schimbare de semn) prin posibilitatea de a tipări toate variabilele dependente la numărul respectiv de iterații NPRIN.

e) Funcția CPMITL și subprogramele GASZU și TEMPER

Aceste trei subrutine sînt într-o strînsă dependență, motiv pentru care vor fi descrise împreună. Subprogramul GASZU calculează concentrațiile amestecului gazos corespunzător modelului arderii descris. Proprietățile termodinamice ale diverselor specii chimice sînt calculate în TEMPER prin apelarea funcției CPMITL. Tot în acest subprogram sînt calculate masele specifice ale amestecului gazos pentru întregul domeniu de integrare în conformitate cu legea gazelor perfecte și presiunea statică considerată constantă. Coeficientul de subrelaxare pentru densitate este dat prin factorul RCWF precizat în BLOCK DATA.

De asemenea este calculată și viscozitatea efectivă pe întregul domeniu de integrare, în conformitate cu modelul k-W al turbulenței (relația 3.2-37), folosind coeficientul de subrelaxare ZMWF.

Calculul temperaturii într-un nod al rețelei se obține din fracția amestecului, entalpie (sau puterea calorifică a combustibilului) și căldura specifică a amestecului gazos. Este utilizat coeficientul de subrelaxare TWF.

Subprogramul TEMPER mai conține informații privind coeficientul de atenuare al radiației EAK, cît și relațiile de calcul ale coeficienților de transfer de căldură la pereții focarului.

f) Subprogramul MVELCT

Utilizînd valorile funcției de curent, subprogramul calculează, prin apelarea funcției ADF, componentele axiale și radiale ale vitezei în toate punctele rețelei, cu excepția celor de pe straturile de contur.

g) Funcția ADF

Acest subprogram are funcția de a evalua prima derivată a unei variabile în oricare punct al domeniului de integrare. Prima derivată este calculată printr-o aproximare patratică în trei puncte, astfel că expresia generală a derivatei cantității B într-un nod P este :

$$\left(\frac{\partial B}{\partial x}\right)_P \approx \frac{(x_{E/N/Q}^2 - x_{W/S/R}^2)B_P + x_{W/S/R}^2 \cdot B_{E/N/Q}^2 - x_{E/N/Q}^2 \cdot B_{W/S/R}^2}{x_{E/N/Q} \cdot x_{W/S/R} (P_N \cdot x_{E/N/Q} + x_{W/S/R})} \quad (4.1-27)$$

unde N, W, S au semnificația obișnuită (fig.4.2), iar Q(P<sub>1</sub>) și R(P<sub>2</sub>) sînt folosite în cazul în care punctul P se află pe stratul de con-

tur (fig.4.3), X este mărimea distanței dintre nodul P și punctul său învecinat precizat prin indice ( $X_E$  - distanța dintre nodurile P și E), PN are valoarea 1 pentru toate dreptele de rețea excep-tînd cele de contur, cînd ia valoarea -1.

Argumentele subprogramului sînt (I,J,LX,L,...). Primele două I și J precizează poziția punctului în rețea. LX indică tipul derivatei dorite : cînd  $LX = 1$  va fi calculată  $\frac{\partial}{\partial X}$ , iar cînd  $L \neq 1$  se calculează  $\frac{\partial}{\partial r}$ ; L identifică variabila de calcul în matricea AQ ce urmează a fi aproximată.

#### h) Subprogramele STRAHL și RESOL

În paragraful 3.5.7.2 au fost deduse ecuațiile de bază pentru calculul radiației cu un model cu două fluxuri pentru variabila  $F_r$  și condițiile de contur corespunzătoare (ecuațiile 3.5-38 - 3.5-40). Ecuațiile au aceeași structură ca și ecuația generală de bilanț pentru variabila  $\phi$  ; astfel ca pentru rezolvarea ecuațiilor cu diferențe finite aparținătoare să se poată folosi procedeul iterativ corespunzător formulei generale de substituție (4.1-17).

Deoarece ecuațiile pentru  $F_r$  sînt ecuații diferențiale ordinare (conțin atîtea necunoscute cît este numărul nodurilor unei linii de rețea), nu s-a mai utilizat formula generală de substituție, ci sistemul de ecuații cu diferențe finite atașat unei linii de rețea se rezolvă într-o singură etapă prin inversarea matricei și apelarea subprogramului de rezolvare RESOL, din biblioteca matematică a calculatorului FELIX C-256.

În general, prin acest procedeu se obține o convergență mai rapidă, față de utilizarea formulei generale de substituție.

#### g) Subprogramul FDEQCT

Numit și subprogram de "ecuații cu diferențe finite", este apelat de către SOLVCT. Funcția lui este de a calcula valorile noi ale variabilei  $\phi$  în domeniul de integrare, corespunzător ecuației (4.1-17). Cu notațiile variabilelor de calcul introduse în acest subprogram,  $\phi_p$  este exprimat astfel :

$$\phi_p = ANUM/ADNM \quad (4.1-28)$$

Formulele generale pentru ANUM și ADNM sînt :

$$ANUM = CE.(c.\phi)_E + CW(c.\phi)_W + CN(c.\phi)_N + CS(c.\phi)_S + AU + SOURCE \quad (4.1-29)$$

$$ADNM = (CE + CW + CN + CS)(c)_p + ZU + ZQ \quad (4.1-30)$$

În relațiile de mai sus CE, CW, CN și CS reprezintă contribuția termenilor de difuzie

$$\text{Termeni difuziei} \approx \begin{bmatrix} CE(c.\phi)_E + CW(c.\phi)_W + \\ +CN(c.\phi)_N + CS(c.\phi)_S \end{bmatrix} - \begin{bmatrix} CE + CW + \\ +CN + CS \end{bmatrix} (c.\phi)_p \quad (4.1-31)$$

și sunt calculați pentru fiecare nod de către subprogramul COEFCT. AU și ZU sunt contribuția termenilor de convecție :

$$\text{Termenii convecției} \cong ZU \cdot \phi_p - AU \quad (4.1-32)$$

și sunt calculați în toate nodurile domeniului de integrare de subprogramul CONVEC.

Termenul de sursă este reprezentat prin SOURCE și ZQ.

$$\text{Termenul sursei} \cong - \text{SOURCE} + ZQ \cdot \phi_p \quad (4.1-33)$$

și este calculat în fiecare nod de subprogramul SORCCT.

Cîmpul de integrare este explorat pentru variabila  $\phi$  în felul următor : fiecare dreaptă J este parcursă de la stînga la dreapta în sensul creșterii lui I, operațiunea se repetă pentru a (J-1)-a dreaptă dinspre axa de simetrie spre peretele longitudinal.

#### j) Subprogramele SORCCT, COEFCT și CONVEC

Instrucțiunea de apel a acestor subprograme este de exemplu: CALL SORCCT (I,J,K,SOURCE,ZQ...). Indicii I și J specifică poziția punctului în rețea, în timp ce indicele K identifică variabila dependentă luată în considerare. Aceste instrucțiuni de apel se aplică și subprogramele COEFCT și CONVEC.

Subprogramul SORCCT calculează termenul de sursă definit în ecuația (3.3-14) și aproximat de relația (4.1-33).

Coeficienții CE, CW, CN și CS pentru toate variabilele dependente din relația (3.3-14) sunt calculați de subprogramul COEFCT, care aproximează termenii difuziei (ec.4.1-31).

Termenii convecției <sup>sînt</sup> precizați în ecuația (3.3-14) și reprezentați aproximativ în (4.1-32); cantitățile AU și ZU sînt evaluate de subprogramul CONVEC.

#### k) Subprogramul BOUNCT

În acest subprogram sînt specificate și calculate condițiile de contur pentru toate variabilele dependente ce sînt identificate prin variabila fictivă K.

Întregul subprogram este împărțit în mai multe unități, corespunzător variabilei dependente speciale luate în considerare. O parte din condițiile de contur constante și specifice geometriei studiate au fost precizate în GEOMET.

Valorile lui  $\omega_\theta/r$  la axa de simetrie sînt evaluate explicit cu următoarea aproximare patritică a profilului  $\omega$  :

$$\omega_\theta = ar + br^2 \quad (4.1-34)$$

unde a și b sînt funcții determinate din valorile lui  $\omega_\theta$  și r la doi noduri adiacente.

Cînd gradientul normal al variabilei  $\varphi$  se anulează la stratul de contur, ipoteza unui profil  $\varphi$  patratic permite evaluarea valorii peretelui  $\varphi_p$ .

$$\varphi_p = \left[ \frac{n_2^2}{n_2^2 - n_1^2} \right] \varphi_1 - \left( \frac{n_2^2}{n_2^2 - n_1^2} - 1 \right) \varphi_2 \quad (4.1-35)$$

din valorile la două noduri învecinate pe aceeași normală

Indicii 1 și 2 se referă la două puncte adiacente și  $n$  este distanța normală la stratul de contur. Cantitatea în paranteze drepte este reprezentată în calcul de variabila BB.

#### l) Subprogramul PRINCT

Subprogramul redă în forma de prezentare corespunzătoare geometriei focarului, a numărului de linii și coloane, valorile variabilelor dependente și a celorlalte funcții calculate.

Redarea rezultatelor (apelarea subprogramului) se face în două feluri : cînd procesul iterativ a converș spre exactitatea specificată, sau cînd la un anumit număr de iterații  $i$  se face apel prin NPRIN.

#### m) Subprogramul PLOTCT

Graficele izoliniilor variabilelor dependente cît și ale funcțiilor calculate se obțin prin apelarea subprogramului de "grafice". Fiindcă nu se face uz de un înregistrator grafic special, curbele sînt trasate cu aproximație în ceea ce privește scara.

Principiul operației subprogramului este aplicarea directă a interpolării lineare între valorile la două noduri date.

Numărul curbelor de nivel, care urmează a fi reprezentate grafic pentru fiecare variabilă calculată, este prescris prin NVJ și valorile constante introduse sînt specificate prin VJ-uri. Cu prezentul subprogram se pot trasa grafic zece izolinii, număr ce poate fi extins cu ușurință.

## **5** CERCETĂRI EXPERIMENTALE

Utilitatea aplicării modelului matematic asupra focarelor industriale necesită comparația datelor calculate cu valorile măsurate. Modelul matematic descris în capitolul 3, pe lângă rezultatul final care interesează în primul rînd - distribuția fluxului de căldură la pereții focarului - calculează și alte mărimi intermediare ca : distribuția temperaturii, procesul curgerii, amestecului și arderii complete.

Pentru a putea verifica și rezultatele intermediare care fac obiectul modelelor parțiale din modelul matematic complet, pe lângă măsurarea fluxurilor de căldură la pereți sînt necesare măsurători privind cîmpul temperaturilor, concentrației gazoase și a vitezei în camera de ardere.

Procedeul de calcul a fost dezvoltat pentru focare care se găsesc în regim staționar de funcționare. Fluctuațiile temporale ale marimilor locale de stare nu pot fi luate în considerare. Aceste condiții corespund funcționării focarelor generatoarelor de abur, facilitînd cercetările experimentale.

Pentru cercetarea proceselor de ardere și transmitere a căldurii s-au utilizat fie focare experimentale, fie focare industriale sau chiar cuptoare /84/, /85/, /86/. Cele mai cunoscute focare experimentale s-au construit cu pereți acoperiți cu cărămidă refractară, cu pereți ecranati cu țevi calorimetrice prin care circulă apă sau cu pereți parțiali ecranati. Focarele cu pereți ecranati apăsău condițiile de lucru de arderea combustibililor în focarele generatoarelor de abur, fiind foarte răspîndite în cercetare.

Astfel I.F.R.M., I'Jmuiden și B.C.U.R.A. utilizează focare orizontale cu secțiune patrată, avînd pereții căptușiți cu cărămidă refractară și dispune de posibilitatea unei răcirii parțiale a focarului cu ajutorul unor serpentine cu apă /25/.

I.V.D. Stuttgart dispune de un focar experimental vertical cu secțiune circulară, răcit pe zone cu apă /87/.

În U.R.S.S. sînt răspîndite focarele experimentale cu pereții parțial sau total ecranati, cu țevi dispuse în lungul focarului răcite cu apă.

I.C.S.I.T.E.E.M.R. - București a realizat mai multe instalații experimentale dotate cu focare avînd pereții nerăciți sau parțial ecranati.



I.P. "Traian Vuia" Timișoara a construit pentru studiul arderii diferitelor sorturi de combustibil focare experimentale apropiate de cele existente în industrie (focarul cazanului de încălzire centrală secțional, focarul circular orizontal complet ecranat).

I.P. Cluj-Napoca dispune de două focare experimentale, de tip tunel, cu răcire exterioară.

Utilitatea practică a datelor obținute prin măsurători pe un focar experimental este dependentă de o serie de condiții pe care trebuie să le îndeplinească instalația :

- menținerea aceluiași condiții de intrare și de ieșire ca pe instalația industrială;
- ordinul de mărime al stațiunii experimentale să fie comparabil cu focarul cercetat;
- asigurarea aceluiași cîmpuri de curgere, amestec și temperaturi împreună cu condițiile de contur similare cu focarul industrial.

O cameră de ardere, care îndeplinește toate aceste condiții, se află la Laboratorul de ardere al Institutului Politehnic Cluj-Napoca.

Scopul cercetărilor experimentale al acestei lucrări este de a verifica capacitatea și exactitatea de calcul a modelului matematic al curgerii, arderii și mai ales a distribuției fluxului de căldură într-un focar de cazan axial-simetric (tub de flacără).

### 5.1. INSTALAȚIA EXPERIMENTALĂ

Instalația experimentală folosită la studiul procesului de

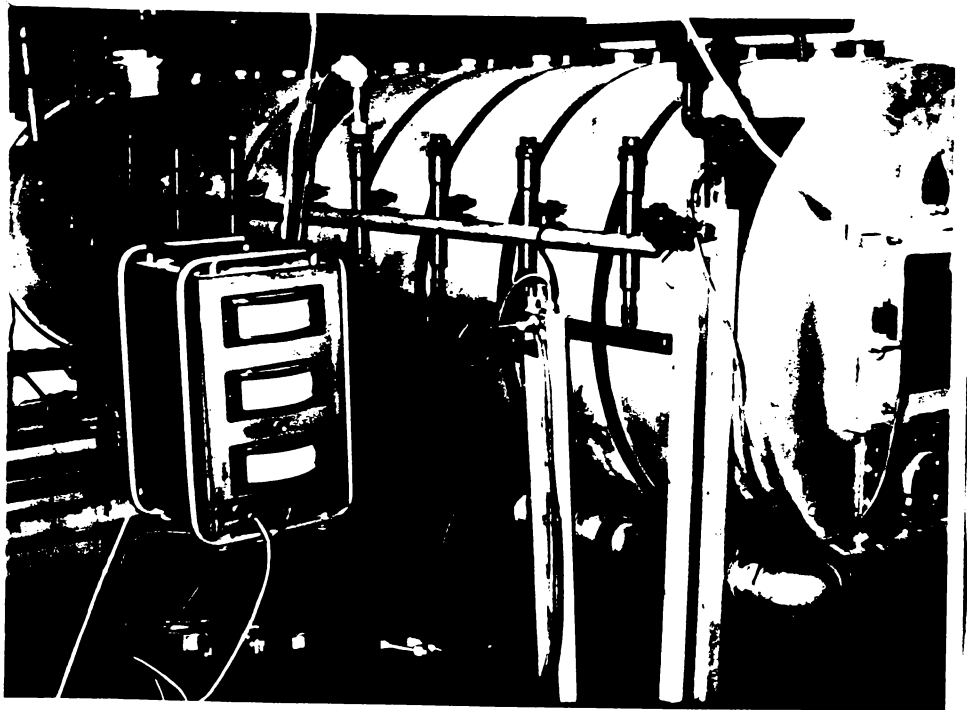


Fig. 5.1. Focarul experimental (vedere de ansamblu din partea stîngă).

ardere și transmitere a căldurii are ca parte principală un focar tunel. Ansamblul instalației este redat în fig. 5.1 și 5.2, fiind standul Nr.1 de la Laboratorul de ardere al I.P. Cluj-Napoca.

Focarul experimental are lungimea de 2,8 și diametrul interior (după căp-



tugire) de 0,86 m, fiind căptușit în interior cu un strat termo-

refractor rezistent la temperaturi de 1600-1850°C, iar în exterior circulă apă de răcire prin opt tronsoane inelare, concentrice cu tunelul focar.

Pe generatoarea orizontală se află un număr de 8 fante ce permit observarea și introducerea în flacără a diferitelor sonde și aparate de măsură. Amplasate per-

Fig. 5.2. Focarul experimental (vedere de ansamblu din partea dreaptă).

pendicular pe axul de simetrie se află 16 orificii circulare de  $\varnothing 10$  mm, necesare explorării mai detaliate a proceselor din focar.

Partea frontală a focarului este prevăzută cu o placă special concepută pentru arzătorul utilizat.

Tirajul este asigurat de un coș al instalației avînd  $h = 21$  m și de către un ventilator centrifugal în montaj "by-pass" care intră în funcțiune de la caz la caz.

Pentru a avea o imagine completă a focarului și instalațiilor aferente, în fig. 5.3 este redată schema de ansamblu : 1 - mantaua focarului; 2 - tronsoane inelare cu apă de răcire; 3 - căptușeala din material termorefractor; 4 - corpul arzătorului experimental; 5 - conductă de alimentare cu gaz metan; 6 - clapetă pentru reglarea debitului de aer insuflat; 7 - diafragmă pentru măsurarea debitului de gaz metan; 8 - manometru "U"; 9 - micromanometru diferențial; 10 - termorezistență pe conducta de gaz; 11 - manometru "U"; 12 - robinet de reglare a gazului metan; 13 - ajutoraj pentru măsurarea debitului de aer insuflat; 14 - termorezistență pe conducta de aer insuflat; 15 - ventilator centrifugal; 16 - robinet de reglare a debitului apei de răcire; 17 - debitmetru (rotametrul) de apă; 18 - termorezistență pe conducta de intrare a apei de răcire; 19 - termorezistențe la ieșirea din fiecare tronson a apei de răcire; 20 - orificii circulare în focar; 21 - fante pentru vizualizare; 22 - sondă pentru prelevarea gazelor de ardere; 23 - termocuplu cu aspirație; 24 - coș de fum; 25 - ecran răcit cu apă;



26 - milivoltmetru; 27 - capacul fantei de vizualizare cu termocuplu PtPt-Rh pentru măsurarea temperaturii peretelui.

## 5.2. ARZĂTORUL

Pentru obținerea condițiilor de contur ale funcției de curent și a componentelor vitezei la intrare în focar ( $-\frac{\partial \Psi}{\partial r} = ct$ ;  $v_r = 0$ ;  $v_\theta = ct$ ), necesare rezolvării modelului matematic, s-a proiectat un arzător de difuzie dublu concentric. Jeturile de combustibil și aer sînt introduse cu sau fără turbionare paralel unul față de celălalt, prin placa frontală a focarului.

În fig.5.4, 5.5 și 5,6a,b este prezentat arzătorul experimental, iar în fig.5.7 este redată schema de montaj a arzătorului pe placa frontală a focarului.



Fig.5.4. Arzătorul experimental (vedere de sus).

Pentru obținerea diferitelor viteze de ieșire a gazului metan s-au folosit un număr de șase duze cu diametre de 5, 10, 13, 16, 20 și 25 mm. Aerul insuflat a fost introdus în focar printr-un orificiu inelar cu  $d = 50$  mm și  $D = 146$  mm. Numărul paletelor de turbionare folosite a fost de trei, înclinate cu unghiurile de  $17^\circ$  pentru  $S = 0,5$  și  $34^\circ$  pentru  $S = 1$ .



Fig.5.5. Arzătorul  
experimental  
(vedere latera-  
lă).

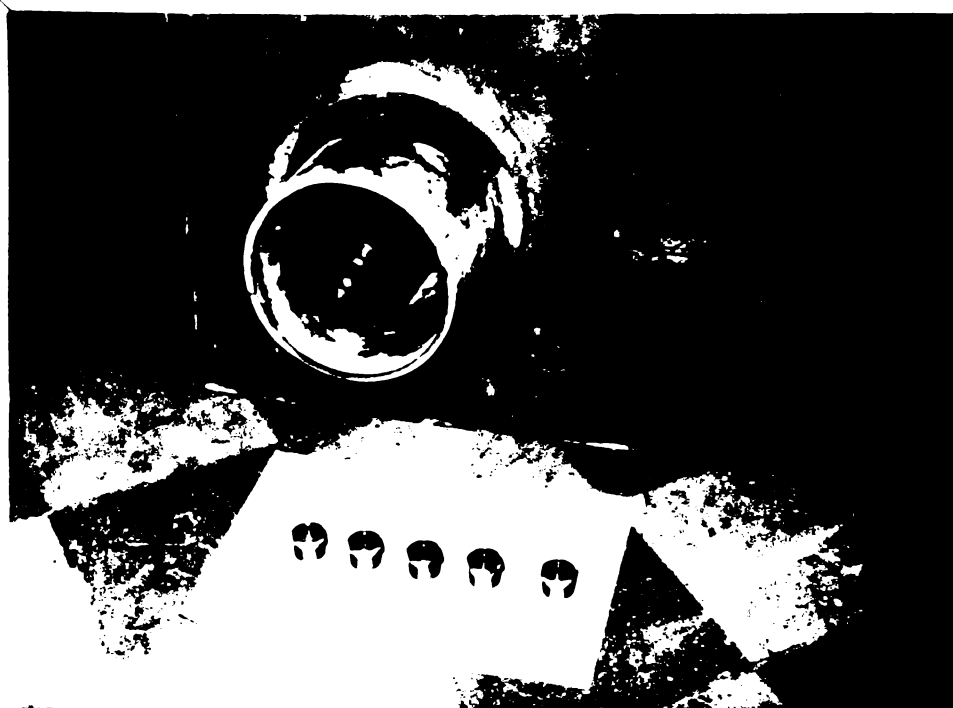


Fig.5.6a. Arzătorul  
experimental  
(vedere din fa-  
ță).

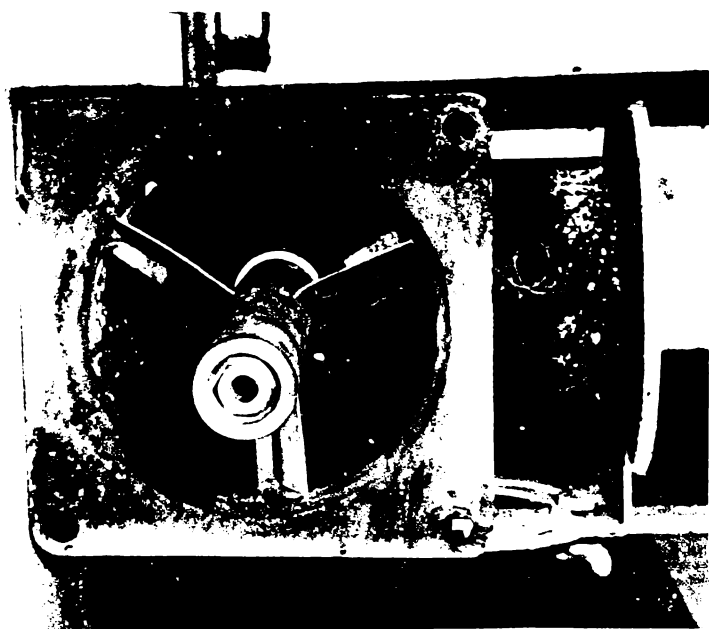


Fig.5.6b. Paletele  
de turbionare  
a aerului insu-  
flat.

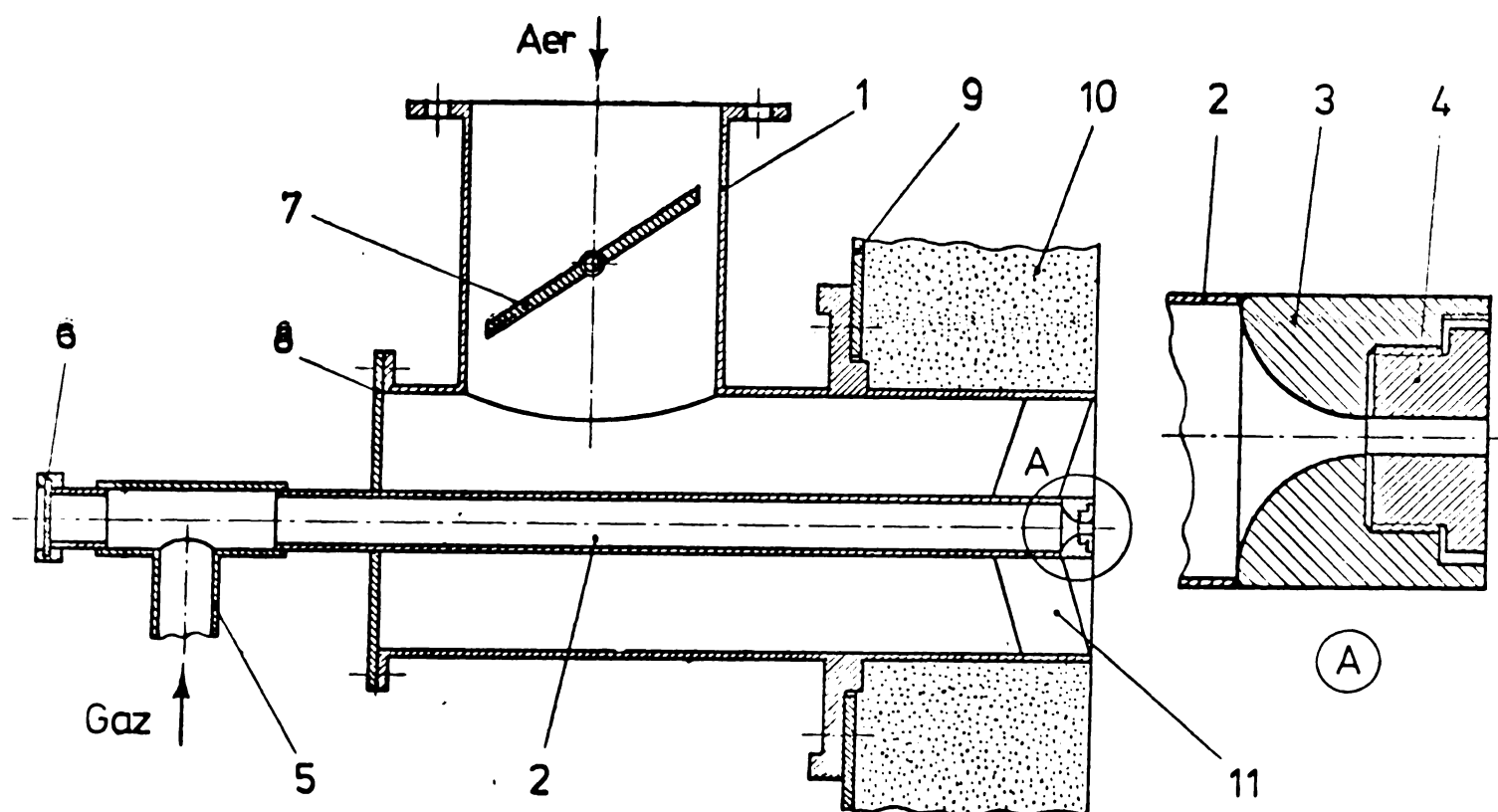


Fig.5.7. Schema de montaj a arzătorului experimental pe placa frontală a focarului.

1 - corpul arzătorului; 2 - conductă de gaz; 3 - orificiu convergent; 4 - duză; 5 - racord de gaz; 6 - vizor; 7 - clapetă pentru reglarea debitului de aer insuflat; 8 - flanșă; 9 - placa frontală a focarului; 10 - căptușeala termorefractară; 11 - palete de turbionare.

### 5.3. PROGRAMUL DE MĂSURĂTORI ȘI APARATURĂ FOLOSITĂ

Programul de măsurători efectuate poate fi împărțit aproximativ în două categorii :

#### 5.3.1. MĂSURĂTORI CU AJUTORUL INSTRUMENTELOR AFLATE ÎN DOTAREA ȘTANDULUI

O parte din aparatajul de măsură cu care este dotat standul, este cel uzual, fiind instalat permanent, asigurând controlul general al procesului de ardere, fig.5.3. Cu această aparatură s-au determinat debitele de combustibil și aer insuflat, temperatura și presiunea agenților la intrare, temperatura pereților, compoziția și temperatura gazelor arse la ieșire, fiind menținute constante pe perioada măsurătorilor. Măsurătorile calorimetrice ale distribuției fluxului de căldură, la cele opt tronsoane inelare ale focarului răcite cu apă, au fost executate de mai multe ori, reglând debitul de apă astfel încât diferența dintre temperatura de intrare și cea de ieșire să fie aproximativ  $40^{\circ}\text{C}$ .

### 5.3.2. MĂSURĂTORI ALE MĂRIMILOR DE STARE LOCALĂ ȘI A FLUXULUI DE CĂLDURĂ CU INSTRUMENTE MOBILE

Camera de ardere și procesul studiat fiind axial-simetrice au redus substanțial numărul măsurătorilor. Acestea au fost efectuate în diferite puncte ale razei și pentru distanțe axiale fixate de amplasarea orificiilor și fantelor de vizualizare, fig.6.1. Numărul și dispunerea punctelor de măsurare a fost pe cât posibil corelată cu subîmpărțirea camerei de ardere din programul de calcul.

La măsurători s-au folosit în general sonde răcite cu apă, care dau valori medii locale ale mărimilor de stare necesare comparării cu valorile calculate.

#### 5.3.2.1. MĂSURAREA TEMPERATURII GAZULUI DIN FOCAR

Ca metodă și aparatură verificată pentru măsurarea temperaturii gazelor din focar /88/ s-a folosit un termocuplu cu aspirație Pt-Pt.Rh. Acesta constă din două tuburi, din care unul este răcit cu apă, iar cel de-al doilea reprezintă tubul de protecție a termocuplului și în care se află vârful termoelementului protejat de radiație de către un corp stelat ceramic. Aspirația gazelor este asigurată de către un compresor, iar debitul este controlat cu un contor de gaze de precizie.

#### 5.3.2.2. ANALIZA GAZELOR DE ARDERE

Măsurarea concentrației locale a gazelor de ardere este formată din două operații : prelevarea și analiza probei.

Prelevarea probei trebuie să aibă loc în condiții de răcire rapidă, pentru a "îngheța" starea de reacție momentană în punctul măsurat. Aspirația izocinetică este necesară numai în punctele cu gradienti mari, deoarece numai în aceste locuri concentrația măsurată depinde de viteza aspirației.

Tubul de aspirație a avut un diametru de 15 mm (destul de subțire pentru a nu perturba flacăra), fiind racordat în continuare la o spirală răcită într-un vas cu apă. S-a utilizat un filtru de bronz sinterizat pentru reținerea particulelor de funingine aflat la capătul tubului de aspirație. Aspirația a fost asigurată de un compresor, iar probele au fost închise în pipete de sticlă.

Analiza volumetrică a probelor a fost efectuată cu un cromatograf de gaze de tipul GCHF-18.3-GAZ-CHROMATOGRAPH - R.D.G., care are un program stabilit pentru determinarea următoarelor componente din proba anhidră :  $\text{CH}_4$ ,  $\text{CO}$ ,  $\text{CO}_2$ ,  $\text{O}_2$ ,  $\text{N}_2$ .

Coloana cromatografică a fost zeolit 5-A la temperatura camerei, având gaz purtător  $\text{H}_2$ . Înaintea analizei s-a făcut uscarea



probei într-un cilindru de sticlă umplut cu silicagel.

### 5.3.2.3. MĂSURAREA VITEZEI GAZELOR

Pentru determinarea cîmpului curgerii sînt necesare valorile locale ale vitezei. În ultima vreme, dezvoltarea tehnicii laserului a permis măsurarea vitezei în flacără /89/ cu mare precizie. Ut lisarea în această lucrare a aparatului "clasice" este justificată prin faptul că determinarea valorilor medii temporale cît și a mărimilor deduse din ele (liniile de curent), poate fi comparată direct cu rezultatele calculului modelului matematic.

Viteza gazelor în focar a fost determinată cu anemoclinometrul cu cinci orificii, deoarece tubul PITOT-PRANDTL obișnuit nu poate da rezultate corecte decît dacă vectorul vitezei face un unghi mic de  $10^\circ$  cu axa sondei.

Aparatul are în general forma unui tub PRANDTL clasic, avînd un cap plin din oțel, cu cinci orificii de măsurare. Răcirea se face numai la nivelul îmbinării capului cu antena sondei, pentru a evita condensările vaporilor de apă, care pot duce la înfundarea orificiilor de măsurare.

Metodica determinării vitezelor a fost cea indicată în literatură /90/, erorile de măsurare încadrîndu-se în limitele admise.

O problemă nerezolvată rămîne măsurarea vitezei gazului în camere de ardere în regiunea de recirculație și la marginea jetului. În aceste locuri, ca urmare a unei intense turbulențe, componenta pulsatorie a vitezei locale este de același ordin de mărime sau chiar mai mare, decît viteza medie. Valorile presiunii dinamice sînt obținute cu anemoclinometrul, nu pot da informații despre vitezele medii ale gazului. Limita inferioară a vitezelor măsurabile este de circa 4 m/s. Valori orientative ale vitezelor din zonele de recirculație se pot obține prin extrapolarea liniilor de curent, ținîndu-se seama de bilanțul material al fluxului.

Pentru a avea o reprezentare cît mai completă a liniilor de curent în zona de recirculație și la marginea jetului, s-au efectuat măsurători la "rece" pe instalația experimentală pentru determinarea componentei axiale a vectorului vitezei, utilizînd un anemometru cu termistor (în domeniul vitezelor mici, sub 4 m/s) și un tub PITOT-PRANDTL standardizat (pentru viteze mai mari de 4 m/s). Construcția anemometrului are la bază principiul anemometriei cu fir cald /23/, doar că firul traductor a fost înlocuit printr-un termistor tip perlă de dimensiuni redusă (0,3 mm), fig.5.8. Variațiile de rezistență înregistrate de traductor se transmit sub formă de variații de tensiune măsurate pe diagonala unei punți

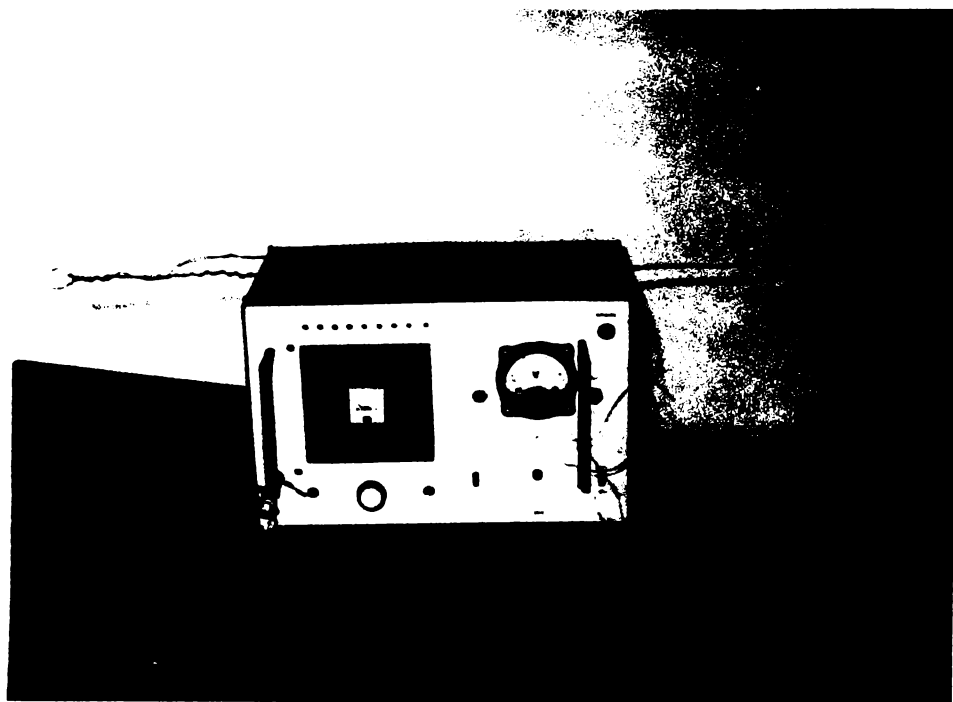


Fig.5.8. Anemometru cu termistor (sonda pentru măsurători și instalația electrică de măsură).

WHEASTONE, în care traductorul constituie unul din brațe /91/.

Prin completarea valorilor măsurate ale vitezei cu cele două aparate s-au trasat liniile iso-tahe, iar apoi liniile de curent pentru o curgere izotermă a celor doi agenți (metan și aer) în focarul experimental.

#### 5.3.2.4. MĂSURAREA RADIAȚIEI LA PERETELE FOCARULUI

Fluxul total de căldură transferat la pereții focarului este determinat prin măsurători calorimetrice cu ajutorul tronsoanelor circulare răcite cu apă. Pentru verificarea modelului radiației și pentru determinarea cantității de căldură transportată prin convecție la perete, este necesară aflarea cantității de căldură transmisă prin radiație. O măsurare directă a schimbului net de căldură prin radiație la perete este greoaie, necesitând aparatură specială. Totuși, acest lucru este posibil prin efectuarea unor serii de măsurători vizând caracteristicile radiante ale flăcării și temperaturile incintei.

În vederea determinării factorului energetic spectral de emisie al flăcării, temperaturile de strălucire au fost măsurate cu un pirometru optic cu disperșiția filamentului de construcție PIROLAX, pentru filtru roșu având  $\lambda_0 = 0,65 \mu$  și a unei lămpi de radiație etalon, conform metodei descrise în /92/, /93/, /5/.

Determinarea caracteristicilor radiante ale flăcării s-a făcut evaluând după o anumită direcție factorii energetici de emisie  $\epsilon_g$ . Pentru aceasta s-a utilizat un pirometru cu radiație totală de construcție OPIR cu scara de  $900 - 1800^\circ\text{C}$ . Ca metodă de lucru pentru determinarea caracteristicilor radiante ale flăcării, a coeficientului de emisie în lungul flăcării, s-a folosit metoda SCHMIDT modificată /94/, /95/, /5/.

## **6** COMPARAREA DATELOR FURNIZATE DE CALCUL CU CELE OBTINUTE EXPERIMENTAL

Pe parcursul a mai mulți ani, autorul a perfecționat modelul matematic /76/, /77/, /83/ de calcul al flăcărilor difuze de gaz metan, în paralel cu verificarea pe stand a rezultatelor.

În paragrafele următoare se prezintă doar o parte a calculelor și rezultatelor experimentale, considerate ca cele mai semnificative și de dată cât mai recentă.

Ca formă de prezentare s-a ales metoda grafică (diagrame), reducându-se la minimum numărul tabelelor, din următoarele motive :

- multitudinea de date calculate și măsurate ar ocupa un volum prea mare, iar citirea și interpretarea lor ar fi greoaie;
- prin utilizarea subrutinei de trasare a graficelor, rezultatele se obțin într-o formă ce conferă o comparare directă a acestora cu cercetările experimentale. Pentru precizări de detaliu pot fi utilizate tabelele obținute din rulaže sau cele din experiențe.

### 6.1. FLĂCĂRILE STUDIATE

Ca exemple pentru testarea modelului matematic propus, s-au folosit flăcările de gaz metan G-02 și G-04:

- flacăra G-02 - este o flacăra de difuzie neturbionată, obținută cu un arzător dublu concentric având o putere de 0,2 MW, fig.6a;



Fig.6a. Flacăra G-02 ( $S=0$ ) de putere 0,2 MW.

- flacăra G-04 - este flacăra cu sarcină dublă față de G-02 având o putere de 0,4 MW.

Aceste două flăcări de bază au fost cercetate și în condițiile turbionării aerului insuflat pentru :  $S = 0,5$  și  $S = 1$  (nivelul de turbionare), restul parametrilor rămânând neschimbăți, p.85,c.

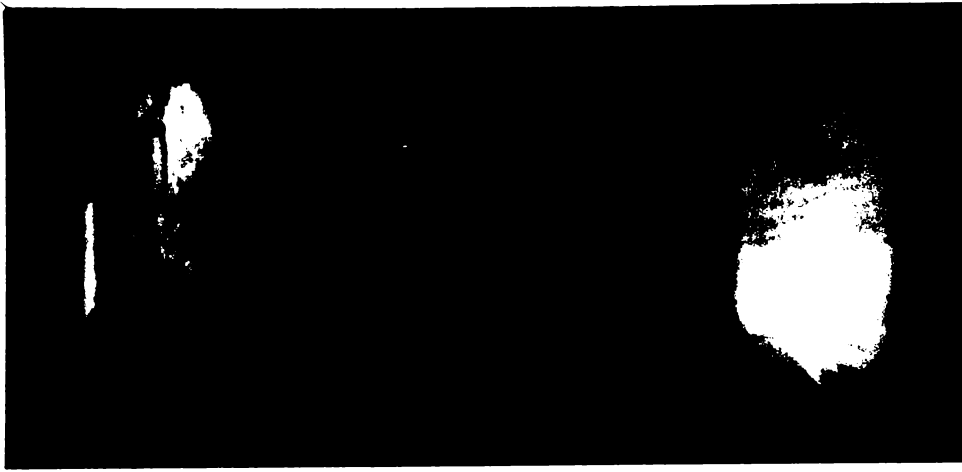


Fig.6b. Flacăra G-o2 pentru S = 0,5.

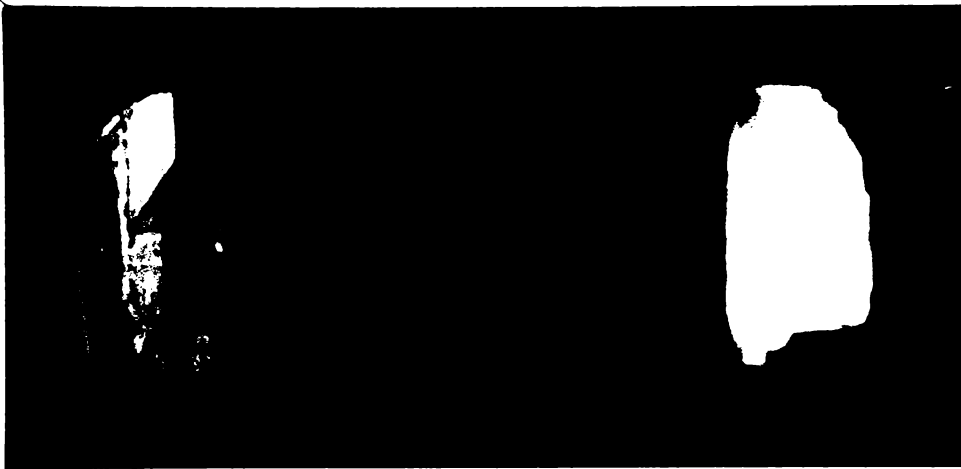


Fig.6c. Flacăra G-o2 pentru S = 1.

Cercetările experimentale sistematice și detaliate au vizat în primul rând flacăra G-o2. Astfel, au fost întreprinse măsurători privind desfășurarea proceselor parțiale de curgere, amestec și transfer de căldură.

Studiul experimental al flăcării G-o4 s-a limitat la determinarea cîmpului de temperaturi, de concentrații și la distribuția fluxului de căldură.

Motivele pot fi găsite în similitudinea gazodinamică a celor două flăcări, care a redus cercetarea experimentală a flăcării G-o4. De asemenea, cele mai bune condiții de ardere în focar s-au obținut cu flacăra G-o2.

Modelul matematic însă, a fost folosit intens atât pentru cazurile studiate (flacăra G-o2; G-o4; S=0;0,5 și 1), cât și pentru un număr de cazuri particulare privind modificarea condițiilor de contur.

Modelul matematic însă, a fost folosit intens atât pentru cazurile studiate (flacăra G-o2; G-o4; S=0;0,5 și 1), cât și pentru un număr de cazuri particulare privind modificarea condițiilor de contur.

Gazul metan utilizat are următoarea compoziție chimică (medie) :  $CH_4 = 99,2\%$ ;  $CO_2 = 0,1\%$ ; aer =  $0,7\%$ . Principalele caracteristici ale acestui gaz natural din Ardeal sînt :  $\rho = 0,716 \text{ kg/m}^3$ ;  $M_o = 9,4 \frac{\text{Nm}^3 \text{ aer}}{\text{Nm}^3 \text{ gaz}}$ ;  $Q_i = 35.727 \frac{\text{kJ}}{\text{Nm}^3}$ ,  $M_b = 16,13$ ;  $C_p = 2,162 \frac{\text{kJ}}{\text{kg.grd}}$ .

Tabelul 6.1. Caracteristicile curentului primar și secundar la intrarea în focar.

Flacăra	G A Z			A E R					
	Debitul [kg/h]	Temp. [°C]	Viteza axială [m/s]	Debitul [kg/h] $\lambda=1,05$	Temp. [°C]	Conținutul de apă [kg H <sub>2</sub> O / kg amest.]	Viteza axială [m/s]	Vit. tang. [m/s]	
								S=0,5	S=1
G-o2	15	10	35	270	25	0,0053	4,3	2,98	5,97
G-o4	30	10	70	540	25	0,0053	8,6	6,33	12,66

## 6.2. FOCARUL EXPERIMENTAL

Flăcările au fost obținute în camera de ardere Nr.1 de la Laboratorul de ardere al I.P. Cluj-Napoca, fig.5.3 (capitolul 5).

Față de cele arătate în capitolul 5 se mai aduc următoarele precizări :

- modelul de salaul dezvoltat pentru surgeri bidimensionale este utilizabil fără nici o modificare pentru camerele de ardere cilindrice verticale. La folosirea lui pe focare orizontale trebuie neglijate influențele forței ascensionale;
- focarul experimental este răcit cu apă care circulă prin 8 tronsoane inelare căptușite în interior cu un strat termorefractar. Pentru calculul transferului de căldură se adoptă pentru simplificare, fiecărei zone cilindrice răcite ale peretelui, un coeficient de transmitere a căldurii prin convecție  $\alpha_{P,ef}$  și o temperatură  $T_{P,ef}$ , respectiv pentru radiație un factor energetic de emisie total  $\epsilon_{P,ef}$  și o temperatură  $T_{P,R,ef}$  constante. Valorile efective se stabilesc în așa fel, ca fluxurile de căldură prin convecție sau radiație la suprafețele echivalente să fie la fel de mari ca și cele la camerele de ardere reale.

Pentru transferul convectiv de căldură la pereți refractari s-a propus  $\alpha_{P,ef} = 0,00581 \frac{kW}{m^2 \cdot o_K}$  (ca valoare medie),  $T_{P,ef}$  fiind preluate din datele experimentale.  $\epsilon_{P,ef}$  și  $T_{P,R,ef}$  au fost calculate pentru pereți refractari cu relațiile și datele furnizate de /90/.

## 6.3. COMPARAREA PROCESELOR PARȚIALE CALCULATE ȘI MĂSURATE (FLACĂRA G-o2; pentru S = 0, S = 0,5 și S = 1)

### 6.3.1. DESFĂȘURAREA CURGERII

Cîmpul liniilor de curent (funcția de curent) au fost obținute prin integrarea grafică a curentului masic  $I_m$ . Pentru aceasta s-au folosit valorile locale măsurate ale concentrației amestecului gazos (inclusiv vaporii de apă) cu care s-a determinat densitatea amestecului  $\rho_m$  în dependență de temperatura locală.

Prin înmulțirea densității  $\rho_m$  cu viteza axială  $v_z$  se obține valoarea curentului masic în punctul respectiv.

$$I_m = \rho_m \cdot v_z \left[ \frac{kg}{m^2 \cdot s} \right] \quad (6.3-1)$$

Profilele radiale ale lui  $I_m$  au fost calculate pentru toate secțiunile axiale la care s-au efectuat măsurători, fig.6.1.



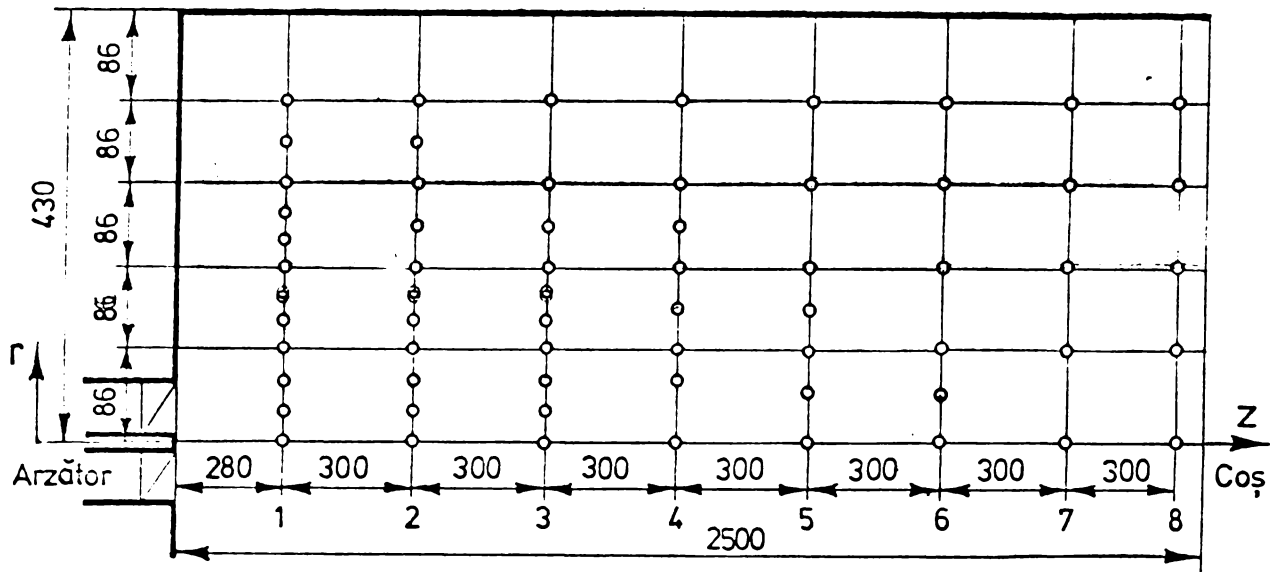


Fig.6.1. Poziția punctelor de măsurare a vitezei axiale, compoziției gazelor și a temperaturilor în planul orizontal ce trece prin axa focarului.

Prin integrarea acestor profile a fost obținută funcția de curent în cadrul domeniului de măsurare

$$\Psi = \int_0^r \frac{2\pi \rho_m \cdot v_z \cdot r \cdot dr}{m_p + m_s} = \int_0^r \frac{I_m \cdot 2\pi \cdot r \cdot dr}{m_p + m_s} \quad (6.3-2)$$

cu următoarele valori limită : pentru  $r = 0 \rightarrow \Psi = 1$  și  $r = r_p \rightarrow \Psi = 0$ .

În fig.6.2a,b și c este redat cîmpul liniilor de curent măsurat și calculat pentru flacăra G-o2 în condițiile curgerii din arzător a aerului insuflat neturbionat  $S = 0$ , a turbionării slabe a acestuia  $S = 0,5$ , cît și pentru o turbionare mai intensă  $S = 1$ .

Comparația cîmpurilor liniilor de curent calculate și măsurate arată o concordanță bună a modelului curgerii cu desfășurarea acesteia în focar. Pentru flacăra neturbionată cît și pentru cea turbionată slab ( $S = 0,5$ ) nu se observă o diferență calitativă a spectrului liniilor de curent. Zona principală de recirculație de la baza jeturilor este bine precizată; la fel și cea de la capătul focarului, care se produce datorită dimensiunilor mari și a ieșirii directe a gazelor de ardere din cameră. La turbionarea intensă a curentului secundar ( $S = 1$ ) spectrul liniilor de curent suferă o modificare importantă prin redistribuirea curenților spre peretele frontal și apariția unei zone de recirculație internă la baza jetului primar. Acest lucru se poate datora conceptului admis de viscozitate turbulentă. Tensiunea normală turbionară  $-\rho \bar{v}_z'^2$  este înlocuită de  $2 \eta_t \frac{\partial v_z}{\partial z}$ ; la valori mari ale lui  $v_z$  pot apărea erori în calcul. Odată cu mărirea turbionării se observă o deplasare spre arzător a procesului curgerii.



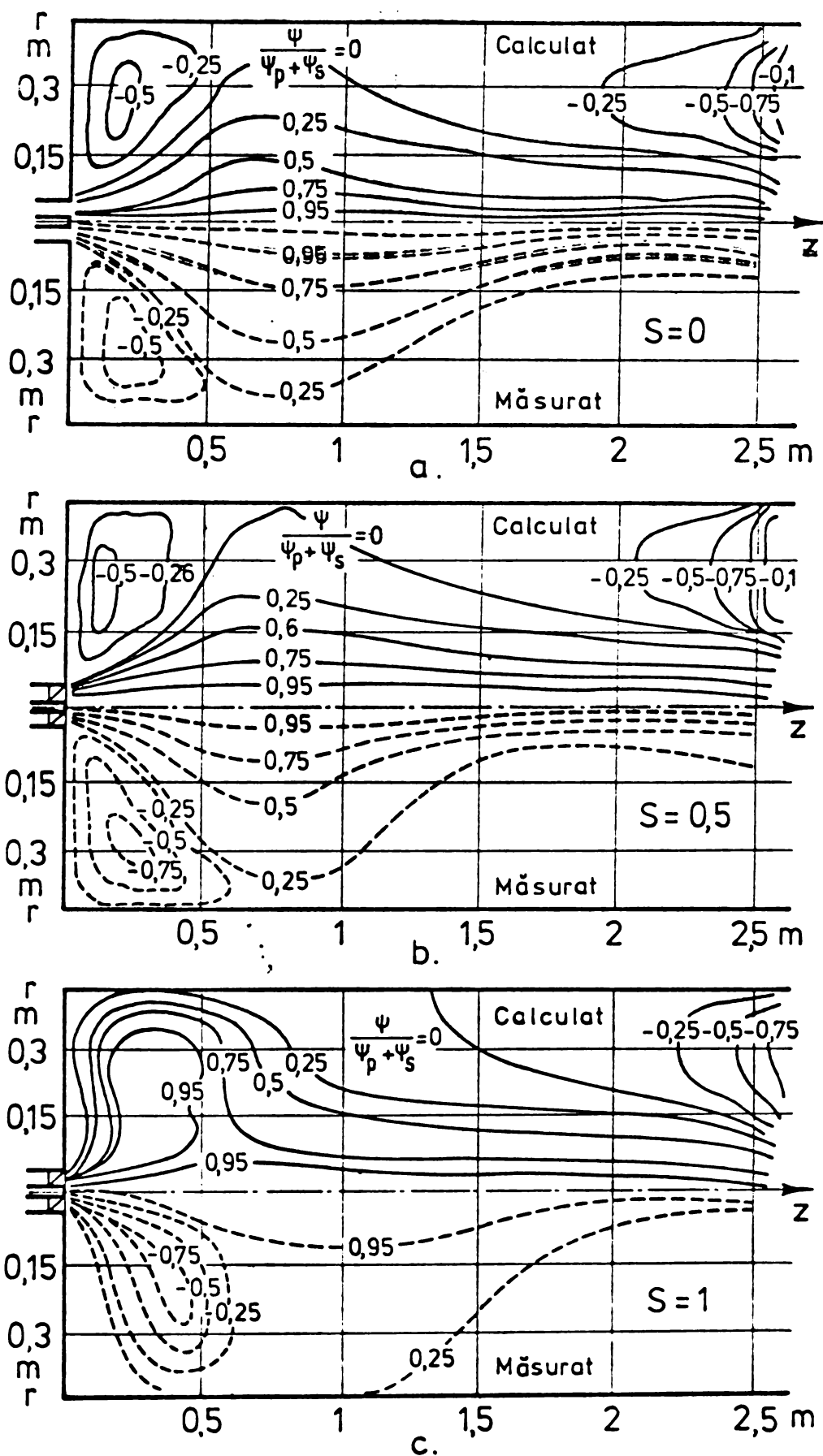


Fig. 6.2a, b, c. Distribuția calculată și măsurată a funcției de curent pentru flacăra G-O<sub>2</sub>.

### 6.3.2. DESFĂȘURAREA ARDERII

Procesul arderii complete a fost determinat din câmpul vitezelor, temperaturilor și al concentrațiilor măsurate și comparat cu distribuția arderii complete calculate, fig. 6.3a, b și c.

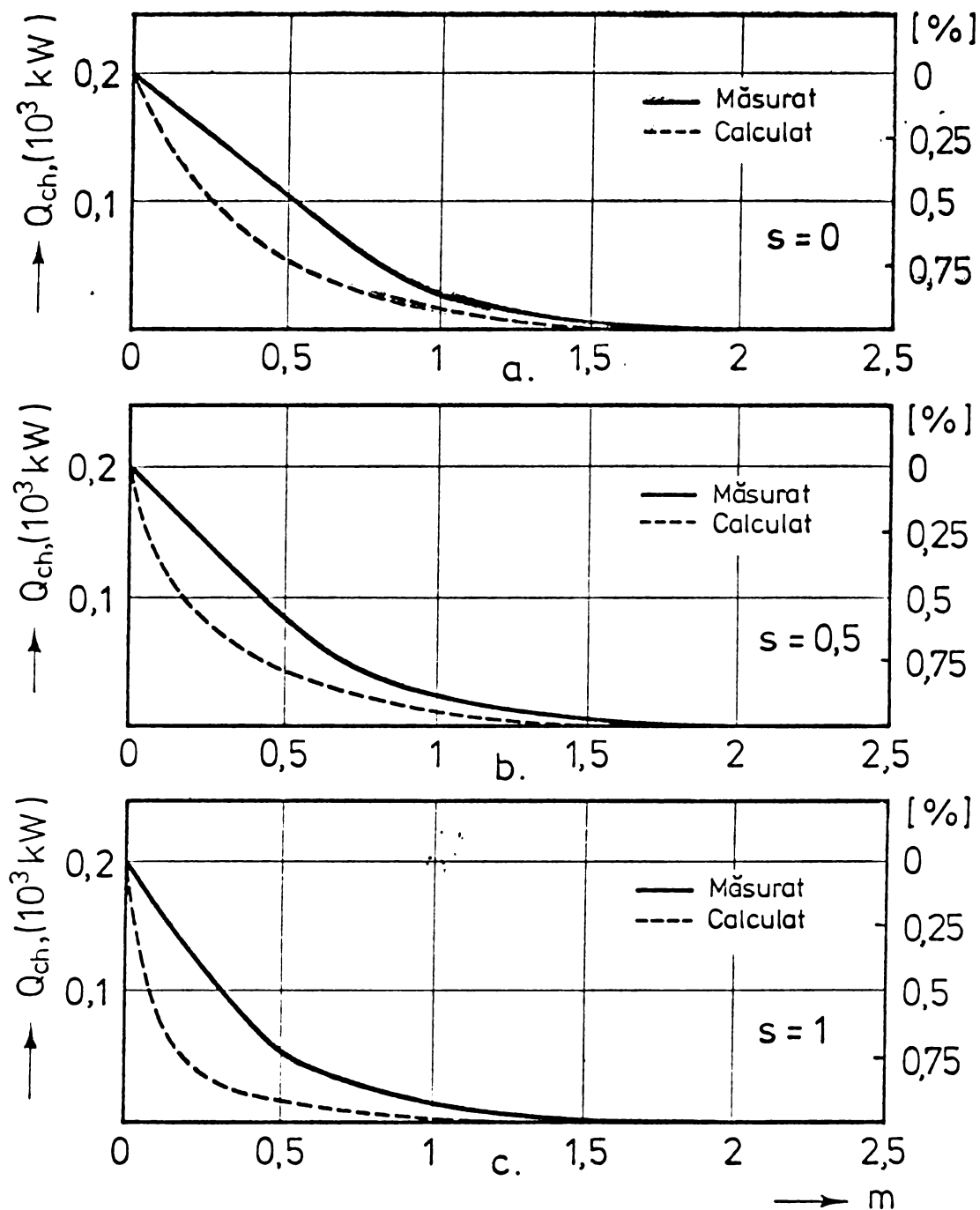


Fig.6.3a,b,c. Arderea completă calculată și măsurată de-a lungul focarului pentru flacăra G-o2.

Din analiza gazelor de ardere în secțiunile radiale ale focarului, fig.6.1, au fost determinate concentrațiile anhidre ale amestecului gazos. Transformarea acestor date în concentrații volumice reale care țin seama de participația apei se face cu relația :

$$f_{H_2O} = \frac{1}{1 + \sum H_2O} \quad (6.3-3)$$

în care  $\sum H_2O = H_2O_{ch} + H_2O_v$

$H_2O_{ch}$  - este cantitatea de vapori de apă ce rezultă în urma reacției chimice, calculată din concentrațiile locale măsurate;

$H_2O_v$  - umiditatea aerului - măsurată.

Pentru amestecul local gazos se poate calcula puterea calorică inferioară

$$H_m = f_{H_2O} \sum_1^i H_i v_i \left[ \frac{kJ}{Nm^3} \right] \quad (6.3-4)$$

$v_i$  fiind concentrațiile măsurate și  $f_{H_2O}$  determinat cu relația (6.3.3).

Considerând că reacționăm cu oxigenul  $O_2$ ,  $H_2$  și  $CH_4$  avem

$$H_m = f_{H_2O} \sum 12602CO + 10759H_2 + 35910CH_4 \left[ \frac{kJ}{Nm^3} \right] \quad (6.3-5)$$

sau raportat la masa specifică a amestecului gazos

$$H'_m = \frac{H_m}{\rho_0} \left[ \frac{kJ}{kg} \right] \quad (6.3-6)$$

Prin înmulțire cu viteza axială  $v_z$  și ținând seama de dependența densității cu temperatura

$$\rho_m = \rho_0 \frac{273}{273+t} \quad (6.3-7)$$

se poate defini o densitate a fluxului de entalpie, calculată din valorile de stare locale măsurate

$$I_h = H'_m \cdot \rho_m \cdot v_z^2 \left[ \frac{kJ}{m^2 \cdot s} \right] \quad (6.3-8)$$

Din integrarea grafică a profilelor radiale ale lui  $I_h$  se poate determina atât desfășurarea axială a arderii complete, cât și energia chimică eliberată pe fiecare zonă

$$Q_{ch} = \int_0^{r(I_h=0)} I_h \cdot 2\pi r \cdot dr \quad [kW] \quad (6.3-9)$$

Cu toate că avem o concordanță bună a lungimii flăcării (100% ardere completă), calculul dă o desfășurare mai rapidă a arderii complete, mai ales pe prima porțiune a flăcării. Acest lucru se datorește modelului simplificat al arderii (amestec = ars), care nu ia în considerare decât metanul, neglijând existența  $CO$  și  $H_2$  care în mod firesc participă la reacție. De asemenea se consideră viteza de reacție infinită, în timp ce în realitate prin existența amestecului local neomogen al reactanților, cauzat de turbulență, se stabilește o viteză de reacție mai lentă. De aceea pe învelișul flăcării și în apropierea axei profilele concentrațiilor măsurate și calculate prezintă devieri, fig.6.4a și b.

Din fig.6.4-a reiese că pe axa de simetrie, în apropierea datorului există, <sup>din</sup> cauza neomogenității amestecului, atât  $CH_4$  cât  $O_2$ . Existența  $O_2$  în această zonă este exclusă în modelul de calcul. Diferența mare dintre concentrațiile de  $CH_4$  măsurate și calcu-

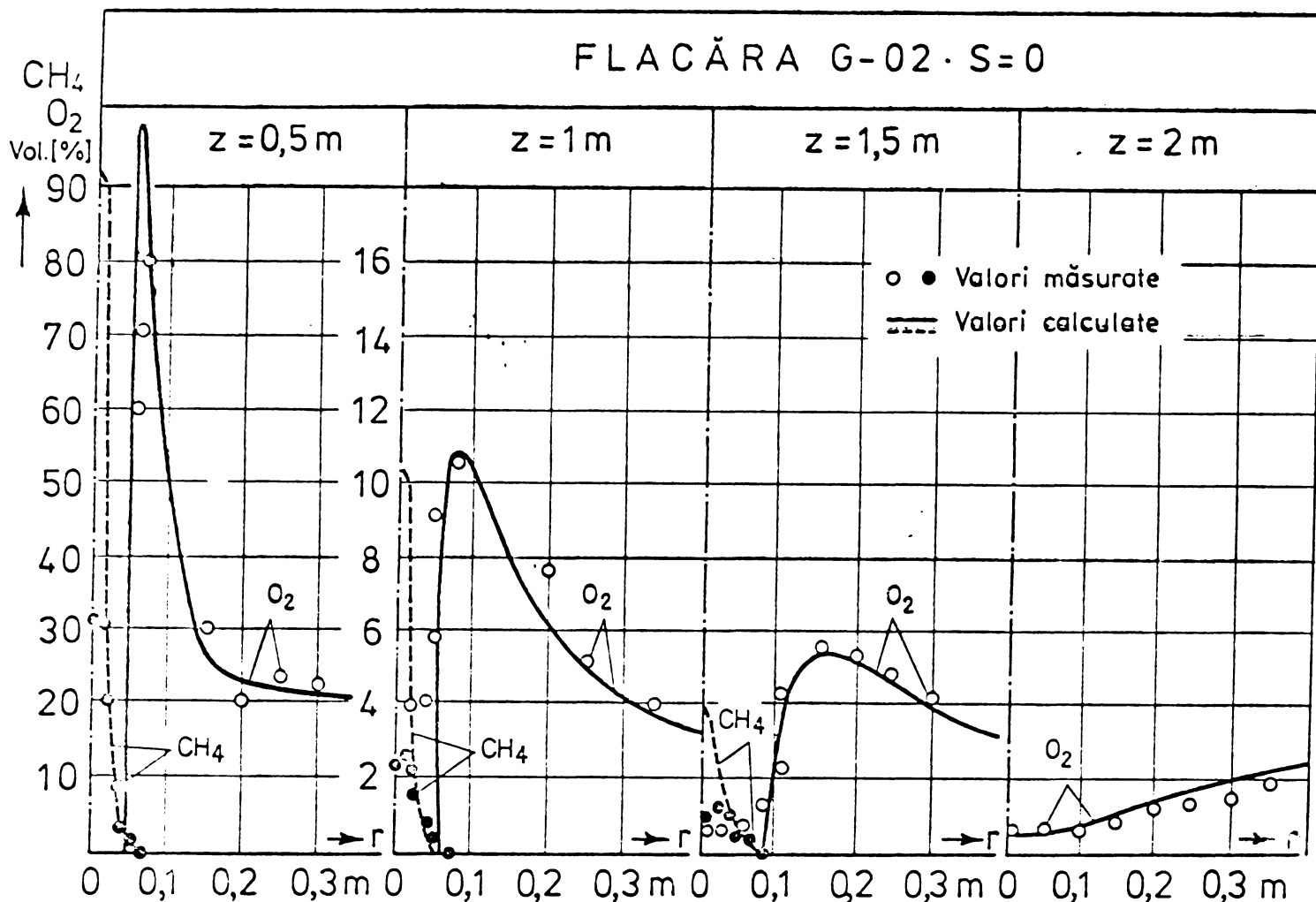


Fig.6.4a. Profilele radiale ale concentrațiilor calculate (cu modelul arderii "amestec = ars") și măsurate ale flăcării G-o<sub>2</sub> (CH<sub>4</sub> și O<sub>2</sub>).

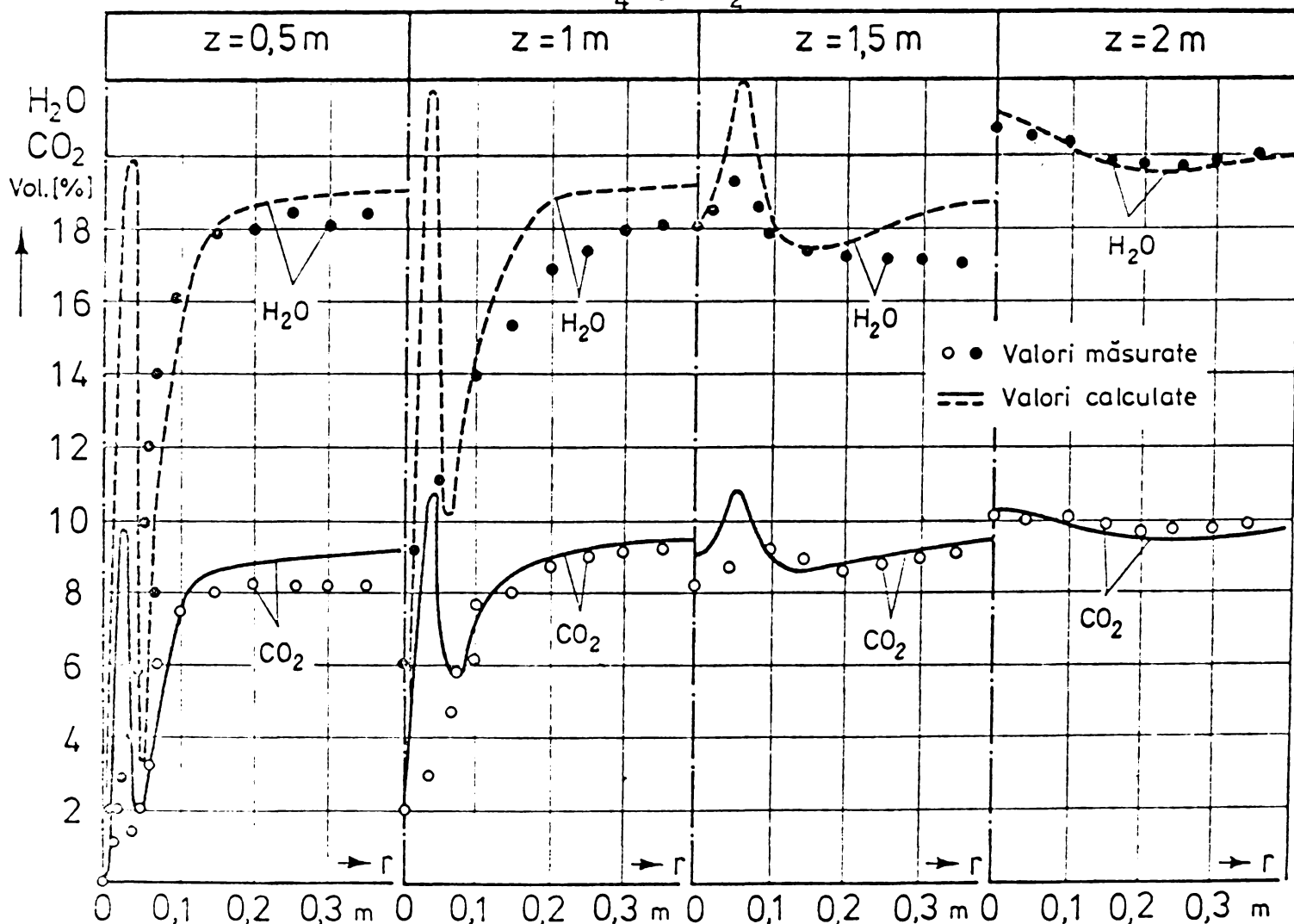


Fig.6.4b. Profilele radiale ale concentrațiilor calculate (cu modelul arderii "amestec = ars") și măsurate ale flăcării G-o<sub>2</sub> (H<sub>2</sub>O și CO<sub>2</sub>).

lata pe axă în secțiunile din vecinătatea arzătorului sînt cauzate de condițiile curgerii și nu de cele ale cineticii arderii. Amestecul jetului de combustibil cu jetul coaxial exterior de aer se desfășoară mai repede decît este redat prin modelul de calcul. Acest lucru se datorește aproximării condițiilor de contur la ieșirea din arzător : evaluarea constantelor  $k$  și  $W$  ale modelului turbulenței, prezicerea profilelor vitezelor curentului primar și secundar, cît și de geometria arzătorului (raportul  $\frac{d_{si}}{d_p} > 1$  introduce erori în calculul concentrațiilor la începutul jeturilor).

Nu se pot neglija nici erorile de calcul numeric cauzate de raportul mic  $\frac{d_p}{D}$  ( $\frac{\text{diametrul duzei}}{\text{diametrul focarului}}$ ) care impune un număr redus al liniilor de rețea.

Cu toate deosebirile profilelor concentrațiilor măsurate și calculate la începutul flăcării, procesul integral al arderii complete, precum și lungimea flăcării sînt bine prezise (fig.6.3a,b,c și 6.4a,b). Dată fiind simplitatea modelului utilizat, rezultatele sînt bune și conferă o precizie suficientă calculului ingineresc.

În fig.6.5a,b și c sînt prezentate cîmpurile izotermelor calculate și măsurate. Si aici, pentru domenii mari ale focarului rezultă o concordanță bună.

Cele mai mari diferențe între temperaturile măsurate și calculate se manifestă, așa cum reiese din fig.6.5a,b și c, în zona de pe axă din apropierea arzătorului. Acestea sînt cauzate de simplitatea modelului arderii descris anterior. În zonele de recirculație de la baza jeturilor s-au determinat temperaturi inferioare celor calculate. Cauzele posibile pot fi găsite în neglijarea desfășurării tridimensionale a proceselor din această zonă (modelul matematic este bidimensional), cît și a aerului fals aspirat prin neetanșietățile plăcii frontale ale focarului. Abateri mai importante s-au observat pentru flacăra puternic turbionată ( $S = 1$ ), cauzate de desfășurarea instabilă a arderii.

---

### 6.3.3. TRANSFERUL DE CĂLDURĂ PRIN CONVECȚIE LA PEREȚII FOCARULUI

---

Rezolvarea modelului matematic al transferului de căldură prin convecție la pereții focarului, necesită cunoașterea coeficienților de transfer și a temperaturii pereților ca și condiții de contur.

Fluxul net convectiv la pereții focarului este dat de rela-

$$\dot{Q}_c = \dot{q}_c \cdot S \quad (6.3-10)$$

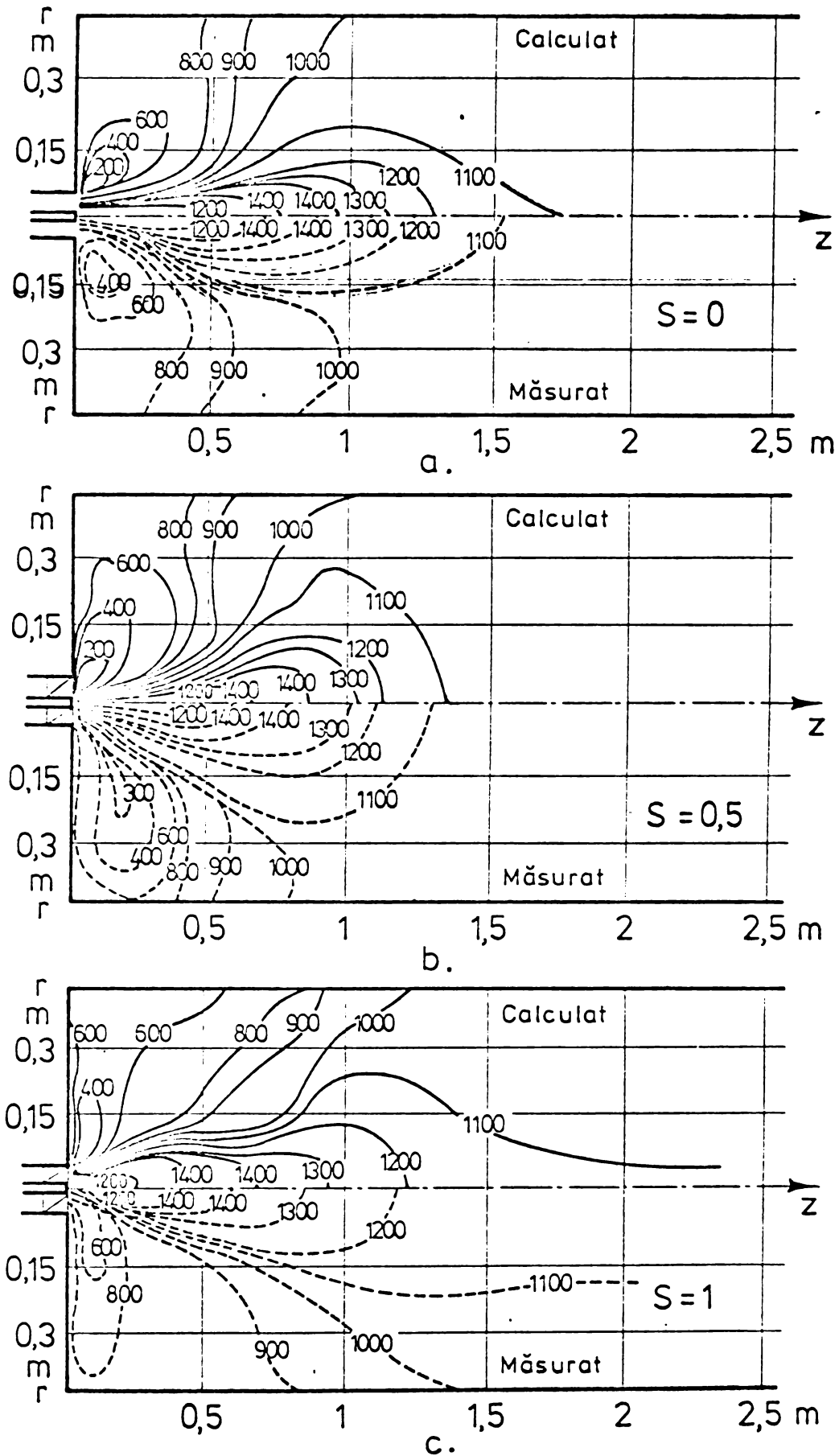


Fig.6.5a,b,c. Repartiția calculată și măsurată a temperaturilor flăcării G-o2.

unde  $\dot{q}_c$  - este densitatea fluxului termic prin convecție;  
 S - suprafața interioară a pereților focarului

pentru 
$$\dot{q}_c = \alpha_p(T_g - T_p) \tag{6.3-11}$$

Determinarea experimentală a coeficientului de transfer prin



convecție este destul de anevoioasă și a făcut obiectul unor cercetări întreprinse pe focarul experimental fig.5.3. S-au modificat dimensiunile arzătorului, astfel ca în locul combustibilului să fie insuflat aer preîncălzit la 250°C. Fluxurile de căldură la suprafața focarului au fost determinate prin măsurători calorimetrice. Cantitatea de căldură evacuată prin apa de răcire este transmisă la un nivel scăzut al temperaturii din focar, de către un amestec de gaze ale căror componente nu emit radiații (N<sub>2</sub>, O<sub>2</sub>); deci practic prin convecție forțată. Pentru a obține în modelul izoterm valori comparabile cu cele din focar, trebuie îndeplinite următoarele criterii de similitudine :

- pentru analogia curgerii din model (M) cu cea din focar (F) numerele REYNOLDS trebuie să fie egale

$$Re_M = Re_F = \frac{V \cdot L}{\nu} = ct. \quad (6.3-12)$$

Dacă se ține seama de viscozitățile diferite ale curenților de gaze introduși, din această condiție se poate determina debitul masic necesar prin arzătorul model.

$$\dot{m}_M = \left( \frac{\nu_M}{\nu_F} \right) \dot{m}_F \quad (6.3-13)$$

unde  $\nu_M$  - este viscozitatea cinematică a aerului la 250°C;

$\nu_F$  - viscozitatea cinematică a gazelor din focar în zona de recirculație la temperatura medie de 800°C.

Dacă s-ar compara curgerea a doi curenți izotermi de 250°C respectiv 800°C, atunci condiția (6.3-13) ar fi suficientă pentru asigurarea similitudinii dintre focar și model. Deoarece în focar curenții nu sînt izotermi, trebuie îndeplinit un nou criteriu de similitudine.

- pentru curgerea jeturilor limitate cu recirculație, de densități diferite între curentul direct și cel recirculat, THRING-NEWBY /97/ au propus o relație semiempirică, care permite să se evalueze aproximativ influența diferențelor de densitate asupra curgerii pentru raportul  $\frac{z}{d} > 6$ . RICOU și SPALDING /98/ au determinat experimental constantă din ecuația THRING-NEWBY

$$\frac{\dot{m}_z}{\dot{m}_0} = 0,32 \sqrt{\frac{\rho_{m,D}}{\rho_{m,R}}} \frac{z}{d_0} \quad (6.3-14)$$

unde  $\dot{m}_z$ ;  $\dot{m}_0$  - reprezintă debitul masic la distanța z de duză; debitul masic la ieșirea din duza de diametru  $d_0$ .

$\rho_{m,D}$ ;  $\rho_{m,R}$  - densitatea curentului direct; densitatea curentului recirculat.

La diferențe mici de densitate între curentul direct și recirculat, în focarul model, relația (6.3-14) devine :

$$\frac{\dot{m}_{M,z}}{\dot{m}_{M,o}} = 0,32 \frac{z}{d_{M,o}} \quad (6.3-15)$$

La curgeri asemenea în focar și model, membrii stângi ai ecuațiilor (6.3-14) și (6.3-15) trebuie să fie identici. Cu această condiție se poate determina diametrul duzei arzătorului model pentru a fi satisfăcut cel de-al doilea criteriu de similitudine :

$$d_{M,o} = \sqrt{\frac{\rho_{m,R}}{\rho_{m,D}}} d_{F,o} \quad (6.3-16)$$

Respectând criteriile de similitudine (6.3-13) și (6.3-16) au fost determinați coeficienții transferului de căldură prin convecție la pereții focarului model. Transpunerea acestor date la pereții focarului real s-au făcut cu condiția egalității criteriumului Nu pe focar și model. Astfel rezultă :

$$\alpha_F = \frac{\lambda_F}{\lambda_M} \alpha_M \quad (6.3-17)$$

unde  $\lambda_F$  - este conductibilitatea termică a gazelor arse la temperatura de 800°C (curenți de recirculație);

$\lambda_M$  - conductibilitatea termică a aerului preîncălzit la 250°C (insuflat în model).

Variația coeficienților de transmitere a căldurii prin convecție la pereții focarului, determinați prin metoda descrisă, sînt prezentați în fig.6.6.

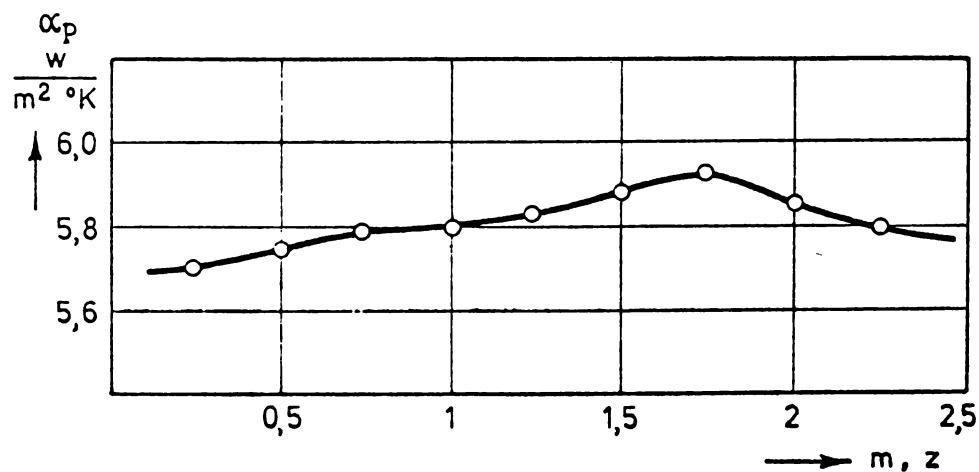


Fig.6.6. Variația coeficientului de transmitere a căldurii prin convecție la pereții focarului.

(A÷G) din fig.6.7 și tabelul 6.2.

Pentru flacăra G-o<sub>2</sub>; S = 0 a fost cercetată influența variației coeficientului de transmitere a căldurii prin convecție, asupra cantității nete de căldură transmisă la perete.

Temperaturile peretelui au fost măsurate cu termocuple Pt/Pt-Rh 10% montate în căptușelile refractare ale capacelor de vizitare fig.5.3. Cu aceste valori s-au definit temperaturile medii ale zonelor peretelui



Tabelul 6.2. Temperaturile medii ale zonelor peretelui.

Zonă perete Flacăra	A [°C]	B	C	D	E	F	G	H
G-o2; S = 0	406	480	575	628	702	775	804	815
G-o2; S = 0,5	435	520	640	700	760	808	812	820
G-o2; S = 1	516	680	780	756	718	644	614	578

S-au studiat două cazuri :

- calculul cantității nete de căldură și a părții convective la perete pentru  $\alpha_{p,ef} = 0,00581 \frac{kW}{m^2 \cdot ^\circ K}$ , coeficient obținut experimental corespunzător pereților refractari, fig.6.8;
- calculul cantității nete de căldură și a părții convective la perete pentru  $\alpha_{p,ef} = 0,0195 \frac{kW}{m^2 \cdot ^\circ K}$ , coeficient corespunzător pereților netezi metalici răciți, fig.6.8.

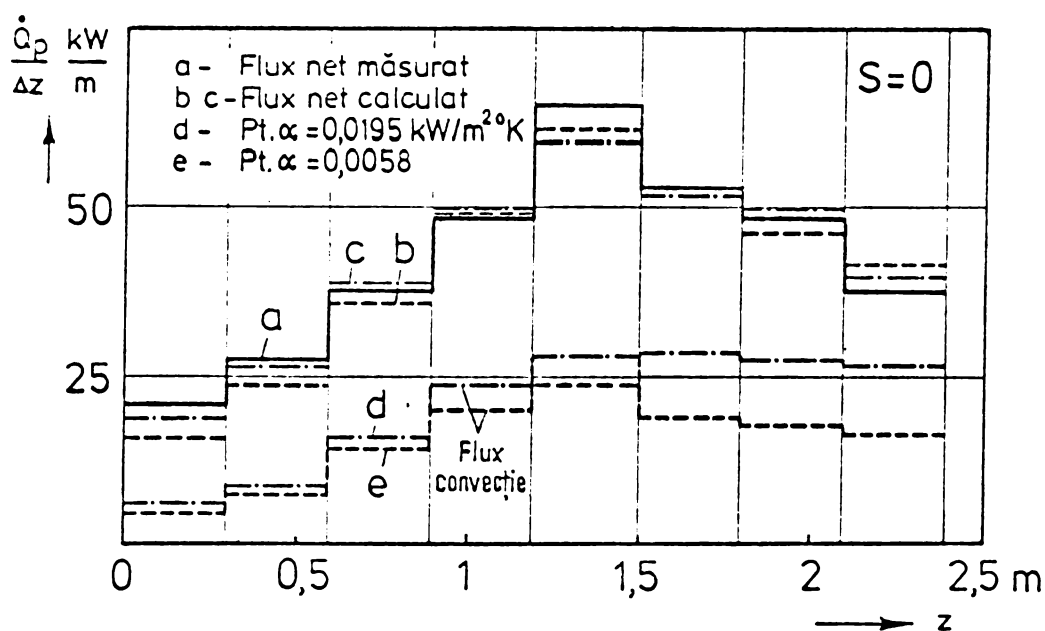


Fig.6.8. Influența lui  $\alpha_p$  asupra distribuției fluxului de căldură prin convecție pentru flacăra G-o2.

Din fig.6.8 rezultă că influența coeficienților de convecție asupra cantității totale de căldură transmisă la pereți este mică. Cu toată diferența mare dintre coeficienți, transferul total de căldură s-a modificat doar cu 5%. Acest lucru este generat de cazul particular studiat; în care în prima parte a focarului, modelul radiației dă o cantitate mai mare de căldură care compensează fluxul de căldură convectiv mai mic. În a doua jumătate a focarului, fluxul de căldură radiat este mai mic decât cel măsurat, dar valorile mai mari ale lui  $\alpha_{p,ef}$  compensează prin flux convectiv cantitatea totală de căldură.

#### 6.3.4. TRANSFERUL DE CĂLDURĂ PRIN RADIATIE LA PEREȚII FOCARULUI

În cazul flăcărilor studiate, sursele de radiație sînt gazele de ardere fierbinți (în deosebi  $\text{CO}_2$  și  $\text{H}_2\text{O}_v$ ), la care s-a adăugat într-o măsură foarte mică particulele de carbon - funingine. Provenind din descompunerea termică a hidrocarburilor în flacăra, favorizată de amestecul incomplet cu aerul, particulele de carbon au dimensiuni între  $0,006 \div 0,06 \mu$ , imprimînd flăcării un caracter semitransparent sau difuzant.

Se poate considera, fără a face o aproximație prea mare, că flăcările obținute în instalația experimentală sînt flăcări neluminoase, radiația lor fiind în exclusivitate datorată gazelor arse triatomice  $\text{CO}_2$  și  $\text{H}_2\text{O}_v$ .

Fluxul net de căldură prin radiație la pereții focarului se determină cu relația :

$$\dot{Q}_R = \dot{q}_R \cdot S \quad (6.3-18)$$

unde  $\dot{q}_R$  - reprezintă densitatea fluxului termic prin radiație;

S - suprafața interioară a pereților focarului.

Astfel

$$\dot{q}_R = \dot{q}_{R,a} - \dot{q}_{R,e} \quad (6.3-19)$$

este format din cantitatea de căldură absorbită ( $\dot{q}_{R,a}$ ) mai puțin cea emisă ( $\dot{q}_{R,e}$ ) de peretele focarului

$$\dot{q}_{R,a} = \alpha_p \cdot \dot{q}_{R,g} = \alpha_p^* \cdot \epsilon_g \cdot C_o \left( \frac{T_g}{100} \right)^4 \quad (6.3-20)$$

pentru  $\alpha_p^*$  - factor energetic de absorbție al radiației peretelui;

$\dot{q}_{R,g}$  - densitatea fluxului radiat de flacăra;

$\epsilon_g$  - factorul energetic de emisie total al flăcării;

$C_o = 10^8 \cdot \sigma = 5,67 \frac{\text{W}}{\text{m}^2 \cdot \text{K}^4}$  - coeficient de emisie al corpului negru;

$T_g$  - temperatura reală a flăcării.

Conform legii lui KIRCHHOFF, considerînd peretele corp ce-

ușu

$$\alpha_p^* = \epsilon_p \quad (6.3-21)$$

$$\dot{q}_{R,e} = \epsilon_p \cdot C_o \left( \frac{T_p}{100} \right)^4 \quad (6.3-22)$$

$T_p$  - fiind temperatura reală a peretelui.

relația (6.3-19) devine

$$\dot{q}_R = \epsilon_p \cdot C_o \left[ \epsilon_g \left( \frac{T_g}{100} \right)^4 - \left( \frac{T_p}{100} \right)^4 \right] \quad (6.3-23)$$

Determinarea experimentală a factorului energetic de emisie total s-a făcut pe baza metodei SCHMIDT modificată /99/ aplicată la flăcări de gaz metan neluminoase. Metoda se bazează pe trei măsurători ale radiației executate cu pirometrul de radiație totală vizînd : flacăra avînd în spate un ecran rece  $E_g$ , flacăra cu un ecran cald în spate  $E_{g,P}$  și ecranul cald singur  $E_p$ . S-au considerat îndeplinite condițiile : spectrul radiației peretelui este continuu, flacăra este un corp cenușiu, difuzia este neglijabilă și temperatura flăcării este uniformă de-a lungul razei.

Vizînd cu pirometrul flacăra și peretele opus se determină temperatura de radiație, respectiv radianța energetică a flăcării împreună cu peretele :

$$E_{g,P} = \frac{\epsilon_g \cdot E_g^0 + (1 - \epsilon_g) \epsilon_p \cdot E_p^0}{1 - (1 - \epsilon_g)(1 - \epsilon_p)} \quad (6.3-24)$$

unde :

$E_g^0 = C_0 \left( \frac{T_g}{100} \right)^4$  - radianța energetică (puterea emisivă) a corpului negru corespunzător temperaturii reale a flăcării;

$E_p^0 = C_0 \left( \frac{T_p}{100} \right)^4$  - radianța energetică a corpului negru corespunzătoare temperaturii peretelui;

$T_g$  - temperatura reală a flăcării măsurată cu termocuplul cu aspirație;

$T_p$  - temperatura suprafeței interioare a peretelui măsurată cu termocuplul implantat în perete.

Prezența unui ecran răcit (asimilat cu corpul negru) între flăcără și perete înlătură influența acestuia din urmă, putînd fi astfel măsurată temperatura de radiație a flăcării, respectiv radianța flăcării singure :

$$E_g = \frac{\epsilon_g \cdot E_g^0}{1 - (1 - \epsilon_g)(1 - \epsilon_p)} \quad (6.3-25)$$

Întrucît ansamblul de măsurare pirometru de radiație totală - milivoltmetru indicator utilizat este etalonat în unități de temperatură și nu în unități de radianță energetică, mărimile  $E_{g,P}$  și  $E_g$  se calculează cu relațiile :

$$E_{g,P} = C_0 \left( \frac{T_r^{g,P}}{100} \right)^4 ; \quad E_g = C_0 \left( \frac{T_r^g}{100} \right)^4 \quad (6.3-26a,b)$$

în care  $C_0$  are semnificația menționată mai sus, iar  $T_r^{g,P}$  și  $T_r^g$  sînt temperaturile de radiație indicate de milivoltmetru în timpul vizării flăcării și a peretelui, respectiv în timpul vizării flăcării și ecranului răcit.



Notînd :

$$\Psi = \frac{\epsilon_p}{1 - (1 - \epsilon_g)(1 - \epsilon_p)} \quad (6.3-27)$$

relațiile (6.3-24) și (6.3-25) devin :

$$E_{g,P} = \frac{\Psi \cdot \epsilon_g}{\epsilon_p} E_g^0 + (1 - \epsilon_g) \Psi E_p^0 \quad (6.3-28)$$

$$E_g = \frac{\Psi \cdot \epsilon_g}{\epsilon_p} E_g^0 \quad (6.3-29)$$

Diferența relațiilor (6.3-28) și (6.3-29) conduce la expresia :

$$\frac{E_{g,P} - E_g}{E_p^0} = (1 - \epsilon_g) \Psi \quad (6.3-30)$$

care permite determinarea factorului energetic total de emisie al flăcării  $\epsilon_g$  dacă se consideră  $\Psi = 1$  (relația lui SCHMIDT)

$$\epsilon_g = 1 - \frac{E_{g,P} - E_g}{E_p^0} = 1 - \frac{(T_r^{g,P})^4 - (T_r^g)^4}{T_p^4} \quad (6.3-31)$$

GOUFFE /99/ face o analiză a erorilor introduse de ipoteza  $\Psi = 1$  (metoda SCHMIDT) și propune pentru calculul lui  $\epsilon_g$  relația:

$$\epsilon_g = 1 - \frac{\epsilon_p}{\epsilon_p + \frac{E_{g,P} - E_g}{E_g + E_p^0 - E_{g,P}}} \quad (6.3-32)$$

Relația (6.3-32) obținută din combinația relațiilor (6.3-27) și (6.3-30) conduce la valori exacte ale lui  $\epsilon_g$ , dar necesită cunoașterea valorii factorului energetic de emisie al peretelui la temperatura reală a peretelui. Acesta a fost determinat prin măsurarea temperaturii de radiație a peretelui imediat după stingerea flăcării :

$$\epsilon_p = \frac{E_p}{E_p^0} = \frac{T_r^p}{T_p} \quad (6.3-33)$$

Măsurarea radiației peretelui în condițiile menționate este acceptabilă, datorită inerției termice mari a peretelui refractar.

Rezolvarea modelului matematic al distribuției fluxului de căldură prin radiație în focar necesită cunoașterea valorii factorilor energetici efectivi de emisie ai peretelui și a temperaturii efective a acestuia ( $\epsilon_{p,ef}$ ,  $T_{p,ef}$ ) ca și condiții de contur. Valorile lui  $\epsilon_{p,ef}$  și ale lui  $T_{p,ef}$  obținute experimental prin metoda descrisă mai sus sînt prezentate în tabelul 6.3. Calculul lui  $T_{p,ef}$  s-a făcut ținîndu-se seama de coeficienții de dispersie ai radia-

ției la pereții focarului /96/

$$T_{p,ef} = \sqrt[4]{X} \cdot T_p \quad (6.3-34)$$

unde X - este coeficientul de dispersie al radiației la pereți, prin care suprafețelor reale ale peretelui li s-au atribuit suprafețe echivalente ale corpului negru astfel ca  $E_{p,ef}^0 = X \cdot E_p$ .

Tabelul 6.3. Distribuția lui  $\alpha_{p,ef}$  și  $T_{p,ef}$  pe zonele focarului.

Zonă perete		I	II	III	IV	V	VI	VII	VIII	Valoarea medie
Flacăra										
G-o2; S = 0 S = 0,5; S=1		0,691	0,656	0,682	0,692	0,687	0,690	0,683	0,600	$\alpha_{p,ef} = 0,671$
X		0,930	0,647	0,647	0,688	0,626	0,658	1	1	
$T_{p,ef}$ [°C]	S=0	398	430	515	571	624	698	804	815	
	S=0,5	427	466	573	637	676	727	812	820	
	S=1	506	609	699	670	638	580	614	578	

Compararea datelor măsurate cu cele obținute din calcule ale distribuției fluxului de căldură prin radiație la pereții focarului este redată în fig.6.9a,b,c pentru flacăra G-o2 la S = 0; 0,5; 1. Schimbul de căldură prin radiație a fost rezolvat cu un model cu două fluxuri descris în paragraful 3.5.

Determinarea experimentală a mărimilor caracteristice ale radiației (descrise anterior) se face cu destulă greutate și cu o precizie relativ scăzută. Astfel, trebuie definite valorile medii ale concentrațiilor componentelor gazoase active din punct de vedere al radiației pe zonele focarului, temperaturile din interiorul camerei de ardere, temperaturile zonelor peretelui, factorii energetici de emisie ai flăcării și peretelui.

Pe de altă parte, modelul de calcul cu două fluxuri radiale nu ține seama de radiația de-a lungul focarului și nici de cea oblică, fiind mult simplificat.

Cu toate aceste simplificări, exactitatea distribuției fluxului de căldură prin radiație calculată cu modelul matematic este bună (fig.6.9a,b,c), deosebirile existente față de măsurători au același ordin de mărime ca și abaterile cauzate de evaluarea datelor experimentale (ex. factorii energetici de emisie).

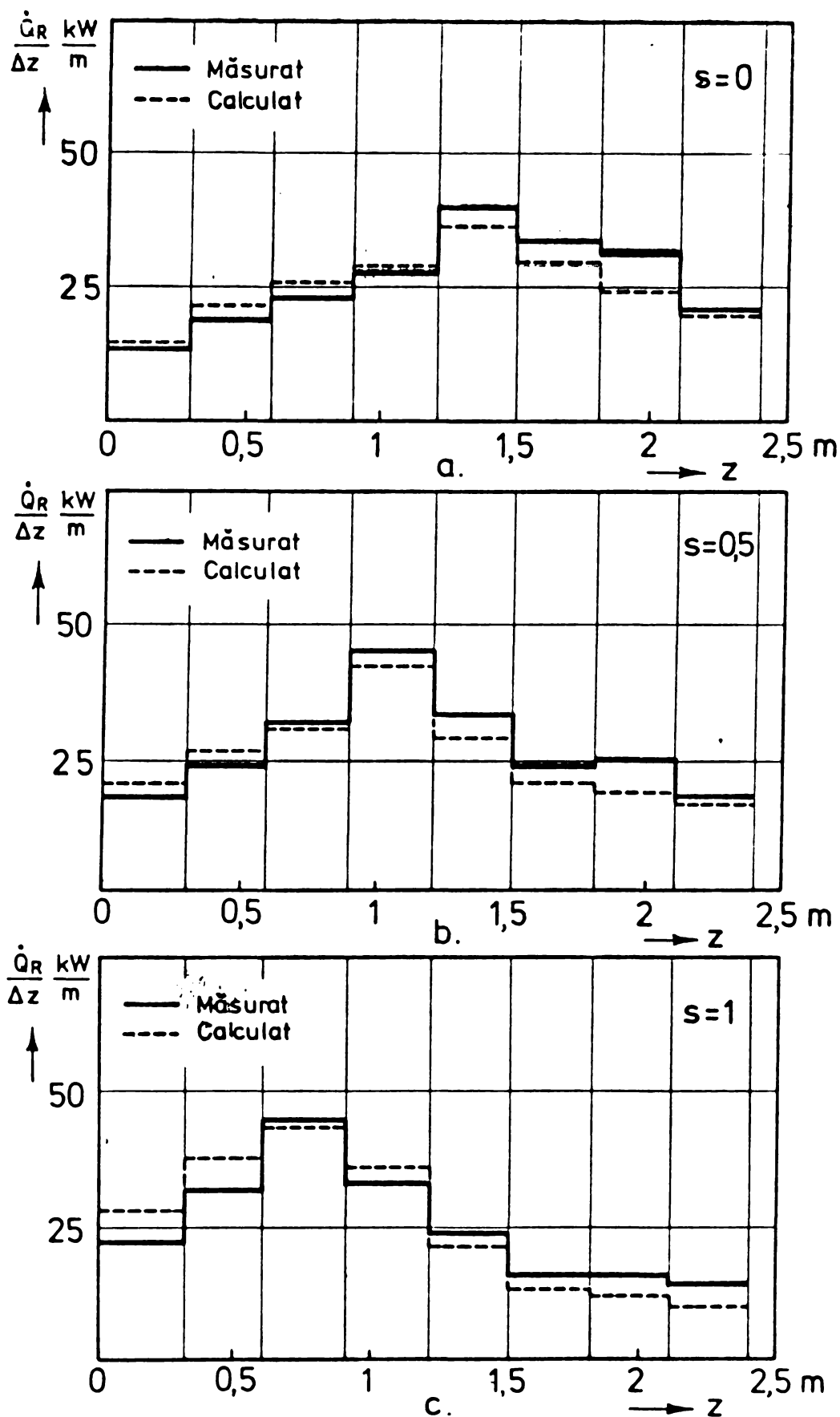


Fig. 6.9. Repartiția calculată și măsurată a fluxului de căldură ab, prin radiație la pereții focarului pentru flacăra G-O<sub>2</sub>.

Abaterile mai mari dintre valorile măsurate și calculate ale fluxului radiat apar în partea anterioară (fluxul calculat este mai mare decât cel măsurat) și în partea posterioară (fluxul calculat mai mic decât cel măsurat). Acest lucru se datorește în primul rând diferenței mari dintre gradientii concentrației gazoase

și temperaturilor măsurat și calculat. De asemenea modelul matematic a utilizat  $\epsilon_{g,ef} = \epsilon_{p,ef}$  constant în întreaga cameră de ardere. Abaterile cele mai mari dintre calcul și experiment sînt între 25-30%, iar participația globală a fluxului de căldură prin radiație la pereții focarului raportată la fluxul total este de aprox. 60÷62%.

#### 6.4. COMPARAȚIA DISTRIBUȚIEI FLUXULUI NET DE CĂLDURĂ CALCULAT ȘI MĂSURAT LA PEREȚII FOCARULUI

Cantitatea totală de căldură transmisă la pereții focarului se compune din fluxurile parțiale prin convecție și radiație (cel prin conducție a fost neglijat), la care se adaugă pierderile totale de căldură. Fluxul de căldură net convectiv și radiativ a fost determinat prin măsurători calorimetrice, la cele opt tronsoane răcite cu apă ale instalației experimentale, fig.6.7, funcționînd în regim staționar.

$$\dot{Q}_{net} = \dot{q}_{net,i} \cdot S_i = \dot{m}_a \cdot c_{p,a} \cdot \Delta t_a \quad (6.4-1)$$

$$\text{în care } \dot{q}_{net,i} = \epsilon_p \cdot C_o \left[ \epsilon_g \left( \frac{T_g}{100} \right)^4 - \left( \frac{T_p}{100} \right)^4 \right] + \alpha_p (T_g - T_p) \quad (6.4-2)$$

Pentru flăcările studiate, fluxurile de căldură la suprafețele răcite cu apă ale focarului se prezintă în Tabelul 6.4.

Tabelul 6.4. Fluxul net de căldură la pereții focarului.

Zonă perete	I	II	III	IV	V	VI	VII	VIII	Total [kW]
Flacăra									
G-o2; S=0	6	7,7	11,8	13,4	20,1	16,9	13,75	10,85	100,5
G-o2; S=0,5	7,1	9,9	14,35	20,9	16,15	12,25	10,7	9,15	100,5
G-o2; S = 1	8,55	14,25	21,15	17,35	12,8	10,25	8,6	7,55	100,5

Pierderile de căldură sînt obținute din bilanțul termic al focarului pentru flacăra G-o2 (Tabel 6.5).

Tabelul 6.5. Bilanțul termic al focarului.

Flacăra	$\dot{Q}$ [kW]	I N T R Ă R I				I E Ș I R I		
		$Q_{ch}$ combust.	$Q_{fizic}$ combust.	$Q_{fizic}$ combust.	Total	$Q_{net}$ apă răcire	$Q_{pierd}$	Total
G-o2		208	0,2	6,86	215,06	100,5	114,56	215,06

Analiza modelelor parțiale ale curgerii și arderii a arătat că în zona de reacție, care ocupă o mică parte a volumului focarului, prezicerea câmpului de concentrații și temperaturi se face cu destulă aproximație. Această abatere are însă un rol secundar în calculul transferului global de căldură.

În fig.6.10a,b,c sînt comparate fluxurile nete de căldură

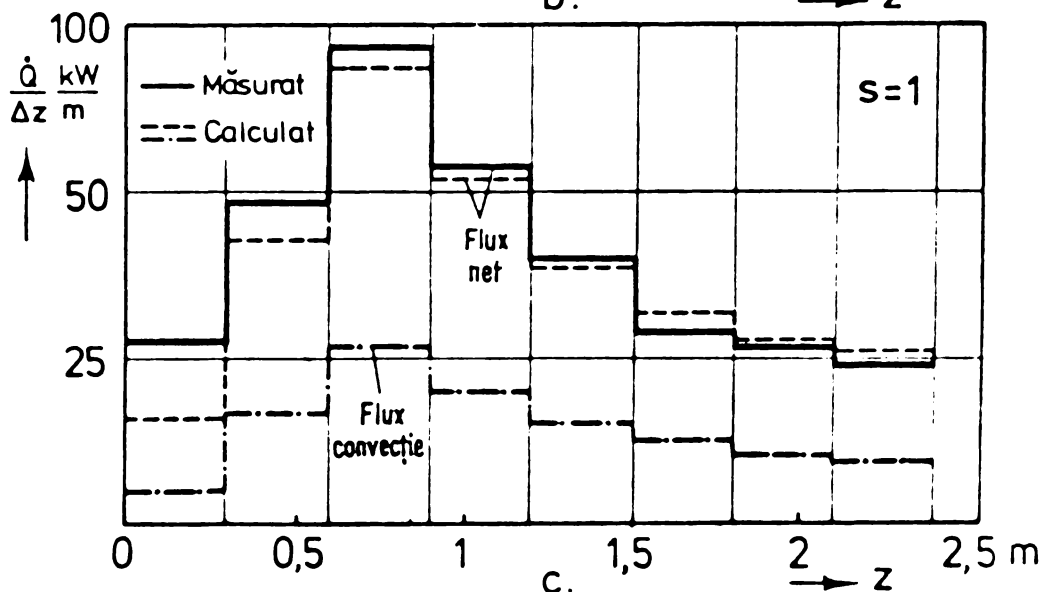
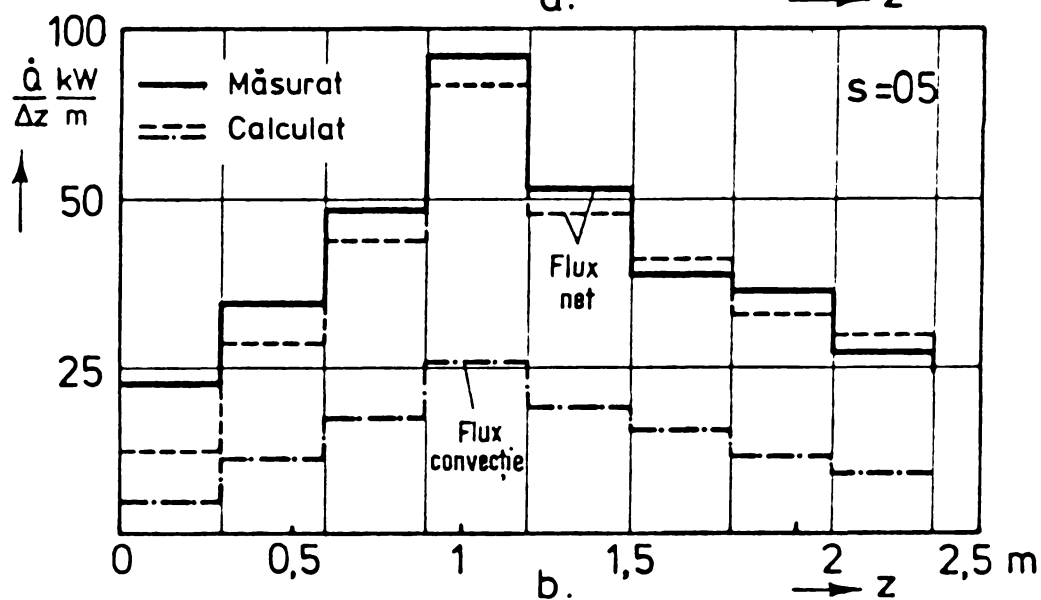
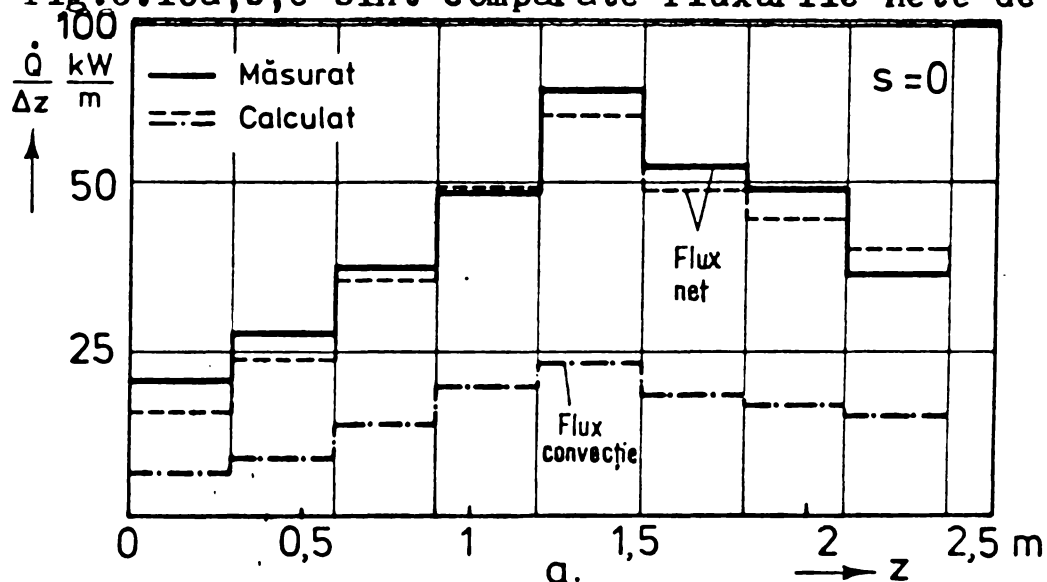


Fig.6.10a,b,c. Distribuția calculată și măsurată a fluxului net de căldură la pereții focarului pentru flacăra G-o2.

la pereții focarului calculate și măsurate pentru flacăra  $G-O_2$  la  $S = 0; 0,5$  și  $1$ . La baza calculelor au stat modelul arderii "amestec = ars" și un model al schimbului de căldură prin radiație cu două fluxuri descrise în paragrafele 3.4 și 3.5.

Utilizarea modelului matematic complet oferă, în ceea ce privește cantitatea totală de căldură transmisă și distribuția fluxului de căldură o bună concordanță cu valorile măsurate. Diferența dintre căldura totală transmisă calculată și măsurată este foarte mică, 2,8%, încadrându-se în domeniul abaterilor de măsurare. Fluxurile de căldură sînt calculate în general bine, avînd însă abateri locale, izolate de pînă la 30%. Aceste diferențe au în esență următoarele cauze :

- imprecizia determinării cîmpului de viteze în zona de recirculație a gazelor din focar, obținute prin măsurători la rece pe focarul experimental, implică devieri ale desfășurării procesului curgerii în prima parte a focarului, fig.6.2 a,b,c.
- utilizarea unui model simplificat al arderii "amestec = ars" oferă o desfășurare a arderii complete prea rapide, fig.6.3 a,b,c.
- distribuția coeficientului de transfer prin convecție la pereții focarului  $\alpha_p = f(z)$  a fost obținută experimental, fiind supusă erorilor de măsurare, fig.6.6;
- calculul schimbului de căldură prin radiație cu un model cu două fluxuri radiale, are ca rezultat neglijarea radiației în lungul focarului și a celei oblice, obținîndu-se pe peretele frontal valori calculate mai mici decît cele măsurate, fig.6.9a,b,c.

În timp ce coeficienții de convecție influențează direct transferul de căldură la pereții focarului, procesul curgerii și al arderii acționează indirect prin distribuția temperaturilor din camera de ardere asupra transferului de căldură. Comparația fluxurilor de căldură prin radiație la pereții focarului, calculate și măsurate, fig.6.9a,b,c, indică pentru jumătatea anterioară a camerei de ardere un transfer calculat mai mare decît cel măsurat, în timp ce pentru partea posterioară fluxul de căldură calculat este inferior celui măsurat. Deosebirile au ca motiv, înainte de toate, diferențele dintre temperaturile gazelor mai ridicate în prima parte a focarului și mai scăzute în a doua parte și în zonele de recirculație; fig.6.5a,b,c.

S-a obținut o bună concordanță între distribuția fluxului net de căldură măsurată și repartiția calculată a fluxului total de căldură transmis în lungul focarului, fig.6.10a,b,c, abaterile fiind sub 10%.



În ultima porțiune a camerei de ardere fluxurile prin radiație au fost mai mari decât se aștepta. O posibilă cauză sînt valorile prea mari ale coeficientului de transfer prin convecție, determinate experimental.

Concordanța obținută între distribuția fluxului net de căldură la pereții focarului, calculată și măsurată, în pofida simplificărilor aduse desfășurării arderii și a schimbului de căldură prin radiație, cît și a condițiilor de efectuate a măsurătorilor experimentale, este bună. Se poate spune că modelul matematic complet al curgerii, arderii și schimbului de căldură descris în cap.3, este potrivit studierii fenomenelor din focarele axial-simetrice ce utilizează combustibil gazos. Deși a fost conceput pentru studiul distribuției fluxului total de căldură, utilitatea modelului se extinde și asupra proceselor parțiale. Astfel, ponderea de 40% a schimbului de căldură prin convecție la transferul total de căldură (neșteptat de mare) este un exemplu că și procesele parțiale determinate greu experimental, pot fi tratate bine cu ajutorul modelelor matematice.

---

6.5. COMPARAȚIA DISTRIBUȚIEI FLUXULUI NET DE CĂLDURĂ  
CALCULAT ȘI MĂSURAT PENTRU FLACĂRA G-04; S = 0;  
S = 0,5; S = 1

---

Așa cum s-a arătat în paragraful 6.1, pe lîngă flacăra G-02 pentru care s-au efectuat experimentări complete ale proceselor parțiale, au fost întreprinse măsurători privind cîmpul de temperaturi, de concentrații gazoase, precum și distribuția fluxului de căldura la pereții focarului pentru o flacără cu sarcina dublă G-04.

După cum era de așteptat, datorită asemnării gazodinamice a celor două flăcări, cîmpurile calculate ale curgerii și amestecului au fost analoage cu cele calculate pentru flacăra G-02, fig. 6.2a,b,c. Acest lucru se explică și prin faptul că la numere REYNOLDS mari ( $Re > 10^4$ ) spectrul liniilor de curent și cîmpul amestecului este independent de debitul masic al curenților la intrare.

Determinarea coeficienților de transfer convectiv de căldură la pereții focarului s-a făcut în funcție de coeficienții obținuți experimental pentru flacăra G-02, în dependență cu debitele masice insuflăte /59/

$$\alpha_{II} = \alpha_I \left( \frac{\dot{m}_{II}}{\dot{m}_I} \right)^{0,57} \quad (6.5-1)$$

nttru  $\frac{\dot{m}_{II}}{\dot{m}_I} = 2$  relația (6.5-1)devine

$$\alpha_{II} = 1,48 \alpha_I \quad (6.5-2)$$

Fluxurile de căldură preluate de apa de răcire pe zonele focarului sînt prezentate în Tabelul 6.6, iar bilanțul termic în Tabelul 6.7 pentru flacăra G-04.

Tabelul 6.6. Fluxul net de căldură la pereții focarului.

Zona perete Flacăra	I	II	III	IV	V	VI	VII	VIII	Total [kW]
G-04; S = 0	12,4	16,3	22,6	27,2	42,5	38,7	28,7	25,4	213,8
G-04; S = 0,5	14,8	20,1	29,6	43,2	35,1	26,2	24,5	20,3	213,8
G-04; S = 1	18,1	29,3	44,1	35,6	26,5	24,3	19,7	16,2	213,8

Tabelul 6.7. Bilanțul termic al focarului.

Flacăra Q [kW]	I N T R Ă R I				I E Ș I R I		
	Q <sub>ch</sub> combust.	Q <sub>fizic</sub> combust.	Q <sub>fizic</sub> aer	Total	Q <sub>net apă răcire</sub>	Q <sub>pierd.</sub>	Total
G-04	405,4	0,6	13,4	419,4	213,8	205,6	419,4

Fluxul net de căldură la pereții focarului pentru flacăra G-04; S = 0; 0,5 și 1, calculat și măsurat, este reprezentat în fig.6.11a,b,c.

Comparînd distribuțiile fluxului de căldură la pereții focarului al flăcării G-04 cu cele ale flăcării G-02, se remarcă nivelul mai scăzut al cantității de căldură calculate în zona degajării maxime de energie (z = 0,75 ÷ 1,75 m). Avem însă o concordanță mai bună în partea anterioară și posterioară a focarului, între datele experimentale și cele calculate. Aceste devieri sînt cauzate în mare parte de starea de supraîncărcare termică a pereților focarului, care este dimensionat pentru un debit de 20+25 kg metan/oră. Astfel fluxurile de căldură și temperaturile peretelui măsurate se găsesc peste starea de echilibru condiționată prin calcul. Parțial, contribuie și formarea mai intensă a funinginii, a cărei influență suplimentară asupra schimbului de căldură prin radiație nu a fost luată în considerare.

Nivelul general mai ridicat al temperaturilor din focar a dus la modificarea participării schimbului de căldură prin radiație la transferul global cu 2% (pentru flacăra G-02 -  $\dot{Q}_R = 60\%$  și G-04 -  $\dot{Q}_R = 62\%$ ), cu aceeași cantitate diminuîndu-se partea convec-

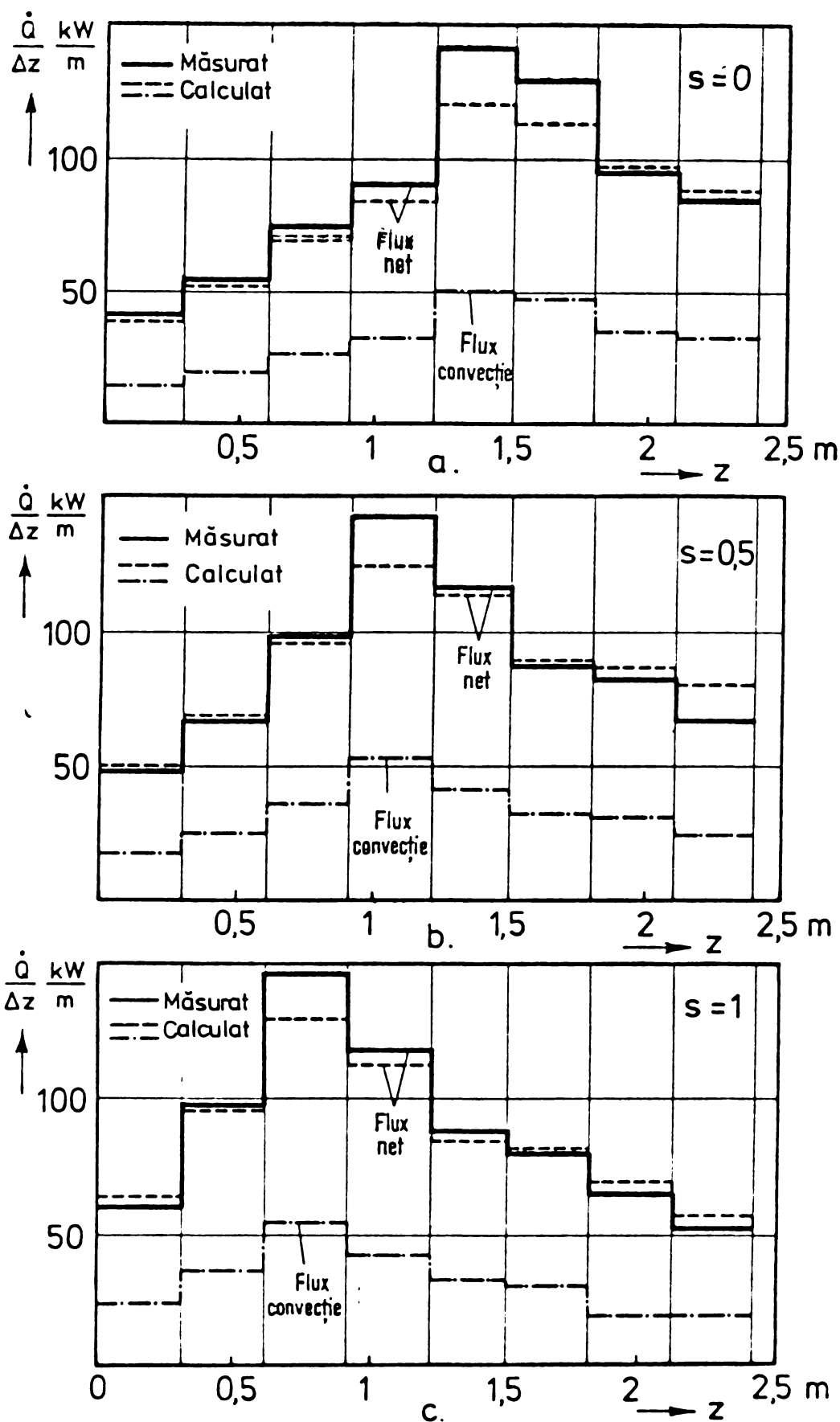


Fig.6.11a,b,c. Distribuția calculată și măsurată a fluxului de căldură la pereții focarului pentru flacăra G-04.

Compararea datelor calculate și măsurate pentru ambele flăcări studiate descrisă în acest capitol, arată că modelul matematic dezvoltat în capitolul 3 calculează cu o exactitate bună atât distribuția fluxului de căldură în focar cât și procesele parțiale ale curgerii, amestecului și arderii.

## 6.6. APRECIERI CRITICE ASUPRA REZULTATELOR OBTINUTE

Rezultatele obținute cu modelul matematic al arderii și transferului de căldură al flăcărilor de difuzie a gazului metan se pot aprecia din două puncte de vedere și anume, referitor la prezicerea :

- transferului global de căldură și
- al amestecului și arderii pe axa de simetrie în apropierea arzătorului.

Transmiterea totală de căldură în focarele care utilizează flăcările difuzive de gaz metan se poate calcula precis cu modelul matematic dezvoltat. Astfel, pentru calculele inginerești este suficient să se folosească un model simplificat al arderii și schimbului de căldură prin radiație. Pentru prevederea fluxului de căldură al flăcărilor turbionate, trebuie cel puțin o constantă a modelului turbulenței să fie modificată. Procedul nu este cert și i se pot aduce îmbunătățiri în continuare.

Profile exacte ale concentrațiilor și temperaturilor pe axa de simetrie în apropierea arzătorului nu au putut fi obținute. O astfel de prezicere este necesară dacă cu modelul matematic se încearcă calculul formării oxizilor de azot sau se studiază stabilitatea flăcării.

Pentru cercetări ulterioare în vederea îmbunătățirii modelelor de calcul ale proceselor de ardere se propune :

- luarea în considerare a turbulenței la modelul arderii și precizarea influenței lui asupra fluctuațiilor fracției amestecului și a vitezei finite de reacție a componentelor chimice active;
- formulări îmbunătățite ale corelațiilor ce apar în termenul de sursă al bilanțurilor materiale ale componentelor care reacționează.

Măsurile prezentate pentru îmbunătățirea modelului arderii cer însă cheltuieli foarte mari de calcul, care în actualul stadiu de dezvoltare al informaticii în țara noastră nu pot fi realizate.

## **7** APLICAȚII ALE MODELULUI MATEMATIC

În general, odată cu compararea datelor furnizate de calcul (modelul matematic) cu rezultate obținute pe o altă cale (ex. experimentală) se realizează ultima etapă, de validare a modelului matematic prelucrat pe calculator.

Un model matematic bun se caracterizează prin : claritate, universalitate și eficacitate.

Existența unui model (algoritm de calcul) pentru o anumită clasă de probleme permite rezolvarea oricărei probleme din clasa respectivă, după un număr finit de pași.

Se va încerca în continuare, în lumina celor prezentate mai sus, o extensie a modelului matematic elaborat în lucrare pentru alte două aplicații practice.

### 7.1. ARDEREA SUB PRESIUNE A COMBUSTIBILILOR GAZOȘI

Unele tipuri de generatoare magnetohidrodinamice (MHD) utilizează în camera de ardere combustibili gazoși arși în aer sau în aer îmbogățit cu oxigen. Aerul insuflat fiind preîncălzit la  $800 \div 1500^{\circ}\text{C}$ , în urma arderii intensificate se obțin gaze arse la  $2200 \div 2600^{\circ}\text{C}$  (plasmă) care trec prin canalul MHD cu viteză supersonică datorită presiunii existente în camera de combustie. Pentru studiul proceselor de ardere și proiectarea acestor camere, influența și cunoașterea distribuției presiunilor are o importanță deosebită.

Modelul matematic dezvoltat în capitolul 3 a avut ca scop major studiul proceselor din focarele generatoarelor de abur - în special cele cu tub de flacără, la care arderea se poate considera că se desfășoară la presiune atmosferică.

Prin introducerea vitezei unghiulare a vârtejului  $\vec{\omega}$  și aplicarea operatorului rot asupra ecuației (3.1-19) (ec. de bilanț a impulsului NAVIER-STOKES), presiunea statică a fost eliminată (rot grad  $p = 0$ ), obținându-se o ecuație de bilanț pentru  $\vec{\omega}$ . Scopul introducerii lui  $\vec{\omega}$  a fost numai pentru a elimina presiunea statică și a face mai ușoară rezolvarea ecuațiilor (vezi cap.3).

Reintroducerea presiunii statice în ecuația (3.1-19) se face cu ușurință dacă a fost calculată funcția de curent  $\Psi$  și mărimile derivate din ea ( $v_z, v_r, v_{\theta}, \eta_{ef}$ ), care în programul descris în lucrare au fost rezolvate.

Astfel, prin explicitarea ecuației (3.1-19) în funcție de

presiunea statică, se obțin următoarele două ecuații diferențiale în coordonate cilindrice :

$$\begin{aligned} \frac{\partial p}{\partial z} = & \frac{\partial}{\partial z} \left\{ \eta_{ef} \left[ 2 \frac{\partial v_z}{\partial z} - \frac{2}{3} \operatorname{div} v \right] - \rho v_z^2 \right\} + \\ & + \frac{1}{r} \frac{\partial}{\partial r} \left\{ r \eta_{ef} \left[ \frac{\partial v_z}{\partial r} + \frac{\partial v_r}{\partial z} \right] - r \rho v_z v_r \right\} \end{aligned} \quad (7.1-1)$$

$$\begin{aligned} \frac{\partial p}{\partial r} = & \frac{1}{r} \left\{ \rho v_\theta^2 - \eta_{ef} \left[ \frac{2v_r}{r} - \frac{2}{3} \operatorname{div} v \right] \right\} + \frac{\partial}{\partial z} \left\{ \eta_{ef} \left[ \frac{\partial v_z}{\partial r} + \frac{\partial v_r}{\partial z} \right] - \rho v_z v_r \right\} + \\ & + \frac{1}{r} \frac{\partial}{\partial r} \left\{ r \eta_{ef} \left[ 2 \frac{\partial v_r}{\partial r} - \frac{2}{3} \operatorname{div} v \right] - r \rho v_r^2 \right\} \end{aligned} \quad (7.1-2)$$

unde

$$\operatorname{div} v = \frac{1}{r} \left( \frac{\partial v_z}{\partial z} + \frac{1}{r} \frac{\partial r v_r}{\partial r} \right)$$

Fiecare din ecuațiile (7.1-1) și (7.1-2) poate fi folosită la calculul presiunii statice, prin integrarea acesteia de-a lungul unei traiectorii alese între două puncte de referință A și B.

$$\int_A^B \frac{\partial p}{\partial z(r)} dz(r) \cong p_A + \frac{1}{2} \left\{ \left[ \frac{\partial p}{\partial z(r)} \right]_A + \left[ \frac{\partial p}{\partial z(r)} \right]_B \right\} \left\{ [z(r)]_B - [z(r)]_A \right\} \quad (7.1-3)$$

Deoarece presiunea statică este un scalar, diferența  $p_B - p_A$  trebuie să aibă aceeași valoare, indiferent de traiectoria (direcția) aleasă; acest fapt poate servi la verificarea exactității calculului anterior determinării presiunii statice.

În camerele de ardere MHD cât și în cele ale motoarelor cu reacție, variația presiunii statice afectează intens proprietățile amestecului gazos. Pentru aceasta determinarea presiunii nu trebuie lăsată la sfârșit, ci trebuie introdusă la fiecare etapă de calcul al procesului iterativ, pentru a îmbunătăți mărimile fizice caracteristice ale gazelor (în deosebi masa specifică).

Cînd efectul presiunii statice asupra masei specifice este mare, convergența ciclului iterativ poate să fie periclitată pe motivul că ecuațiile diferențiale își pierd caracterul eliptic și devin hiperbolice. Experiența puțină în acest domeniu nu permite o concluzie certă /102/.

Pentru studiul distribuției presiunii statice în focarul tub de flacără studiat, autorul a testat o subrutină de calcul (PRESCT) cu rezultate bune /76/, Apelarea subprogramului a fost făcută o singură dată la sfârșitul ciclului de iterații, fig.4.5 capitolul 4.

S-au integrat succesiv ecuațiile (7.1-1) și (7.1-2) după direcțiile  $z$  și  $r$  cu relația (7.1-3).



Subprogramul PRESCT a folosit pentru evaluarea tuturor derivatelor necesare în expresiile lui  $\frac{\partial p}{\partial z}$  și  $\frac{\partial p}{\partial r}$  (ec.7.1-1 și 7.1-2) funcția ADF. Schema de calcul, pentru geometria focarului studiat fig.4.4, a presiunii statice, este următoarea :

- valorile presiunii statice sînt calculate pentru cîmpul curgerii din dreapta ordonatei IAB;
- o dreaptă J de referință (JREF) este fixată să treacă printr-unul din orificiile de admisie (primar sau secundar);
- valorile presiunii, relativ la cele de la orificiile de intrare sînt calculate cu relațiile (7.1-1) și (7.1-3);
- valorile presiunii pentru întregul domeniu format de dreptele IAB și IC, și J = 1 la JN (fig.4.4) sînt calculate cu relațiile (7.1-2) și (7.1-3);
- în final, este calculată presiunea pe domeniul mărginit de dreptele IC și IN, și J = 1 la JC cu ecuațiile (7.1-1) și (7.1-3).

Prin alegerea potrivită a pasului rețelei, pentru o porțiune mică a focarului se poate obține o zonă de suprapunere (ex. I1, I2, I3, J1, J2 și J3), astfel ca în fiecare nod presiunea să fie calculată succesiv cu ecuațiile (7.1-1) și (7.1-2). Se poate verifica astfel exactitatea procedurii numerice, fiindcă, așa cum s-a mai arătat, cele două valori determinate trebuie să fie apropiate.

## 7.2. ARDEREA CĂRBUNELUI PULVERIZAT

Modelul matematic dezvoltat în cap.3 pentru studiul proceselor din focare ce utilizează combustibili gazeși, poate fi adaptat la cercetarea flăcărilor și a transmiterii căldurii în focare ce ard cărbune pulverizat cu arzătoare dublu-concentrice fără turbionare sau arzătoare cu fantă /lo3/.

Principalele modificări derivă din faptul că flăcărilor de cărbune pulverizat prezintă o curgere în două faze; în care între faza solidă și cea gazoasă au loc reacții eterogene, pe cînd între componentele fazei gazoase reacțiile sînt omogene. Pentru aceasta calculul curgerii trebuie completat cu un model al arderii particulelor de carbon în suspensie. De asemenea trebuie îmbunătățit calculul schimbului de căldură prin radiație prin luarea în considerare a absorbției și emisiei particulelor de carbon în suspensie.

### 7.2.1. IPOTEZE DE CALCUL

Ipotezele simplificatoare trebuie introduse pentru a menține volumul și cheltuielile legate de calcul la un nivel accesibil. Acestea se referă la curgerea în două faze, gaz - particulă solidă, la proprietățile amestecului combustibil și comportarea la ardere,

la schimbul de căldură al suspensiei.

### 7.2.1.1. IPOTEZE ALE CURGERII BIFAZICE

- Se presupune că amestecul fază gazoasă - particule solide se deplasează cu aceeași viteză.

Cercetările experimentale /100/ efectuate pentru jeturi libere de aer încărcate cu particule solide neturbionate au arătat că această ipoteză este valabilă numai pentru particule mici ( $d < 100 \mu\text{m}$ ). Ea trebuie introdusă pentru reducerea volumului de calcul și se potrivește pentru unele sorturi de cărbuni cum ar fi huila, la care diametrul mediu al particulelor este cuprins între  $40 \div 60 \mu\text{m}$ .

Ipoteza exclude și luarea în considerare a separației fazelor datorită acțiunii forței gravitaționale.

Cu ipoteza că  $\bar{v}_G = \bar{v}_P = \bar{v}$  se pot folosi pentru amestecul celor două faze aceleași ecuații ale curgerii ca și în cazul fluidului omogen (ecuațiile 3.4-14), dacă masa specifică  $\rho$  este înlocuită cu densitatea amestecului  $\rho_m$

$$\rho_m = \rho_G + \rho_P = \frac{p}{R_T \sum \frac{m_{j,G}}{M_j}} \quad (7.2-1)$$

la care s-a neglijat volumul ocupat de particule, astfel că suma de la numitor se referă doar la faza gazoasă  $m_{j,G}$  a suspensiei.

- Pentru bilanțul material al particulelor solide se presupune că variația masei unei clase de diametre de particule datorită schimbului turbulent, este asemănătoare cu faza gazoasă a amestecului și poate fi definită printr-o expresie de tip gradient

$$\bar{J}_{C,1} = + \bar{\rho}_m \overline{m'_{C,1} \cdot \bar{v}'} = - \frac{\eta_{ef}}{\sigma_{ef,C,1}} \text{grad } \bar{m}_{C,1} \quad (7.2-2)$$

$\bar{J}_{C,1}$  - fiind densitatea fluxului material a primei fracțiuni a particulei;

$\bar{m}_{C,1}$  - concentrația masică a particulelor în suspensie.

Astfel, bilanțul material al concentrației primei clase de particule este :

$$\text{div}(\bar{\rho}_m \bar{m}_{C,1} \cdot \bar{v} - \frac{\eta_{ef}}{\sigma_{ef,C,1}} \text{grad } \bar{m}_{C,1}) - \bar{R}_{C,1} = 0 \quad (7.2-3)$$

Faptul că diferitele clase de diametre de particule reacționează deosebit la fluctuațiile turbionare, poate fi luat în considerare în modelul de calcul prin diferitele valori date numerelor SCHMIDT efective.  $\sigma_{ef,C,1} \gg 1$  ar însemna că schimbul turbionar pen-

tru particulele primei fracțiuni aproape nu există. La o curgere închisă, aceste particule nu ar ajunge în zona de recirculație.

### 7.2.1.2. IPOTEZE PRIVIND PROPRIETĂȚILE PRAFULUI DE CĂRBUNE, ARDEREA ȘI TRANSFERUL DE CĂLDURĂ

#### a) Proprietățile prafului de cărbune

- Se presupune că praful de cărbune este format doar din carbon și substanțe minerale uscate. Mineralele sînt tratate ca particule inerte separate care formează cenușa.
- Conținutul de volatili combustibili ale cărbunelui sînt introduse separat în formă gazoasă și reacționează instantaneu cu oxidantul. În componența curentului primar de gaze se adaugă și oxigenul, azotul, vaporii de apă.
- Particulele de carbon și cenușă au formă sferică.
- Se specifică o serie de clase de diametre a particule de carbon din analiza granulometrică (de preferat un număr nu prea mare pentru a nu mări volumul de calcul) cu același diametru a cărei concentrație masică  $\bar{m}_{C,1}$  este tratată ca o variabilă dependentă în ecuația (7.2-3) (ec. generală de bilanț).

Pentru stabilirea claselor de diametre ale particulelor de carbon se folosesc curbele măsurate ale distribuției granulometrice. În fig.7.1 este prezentat un exemplu de aproximare a măsurătorilor granulației în cinci clase de diametre.

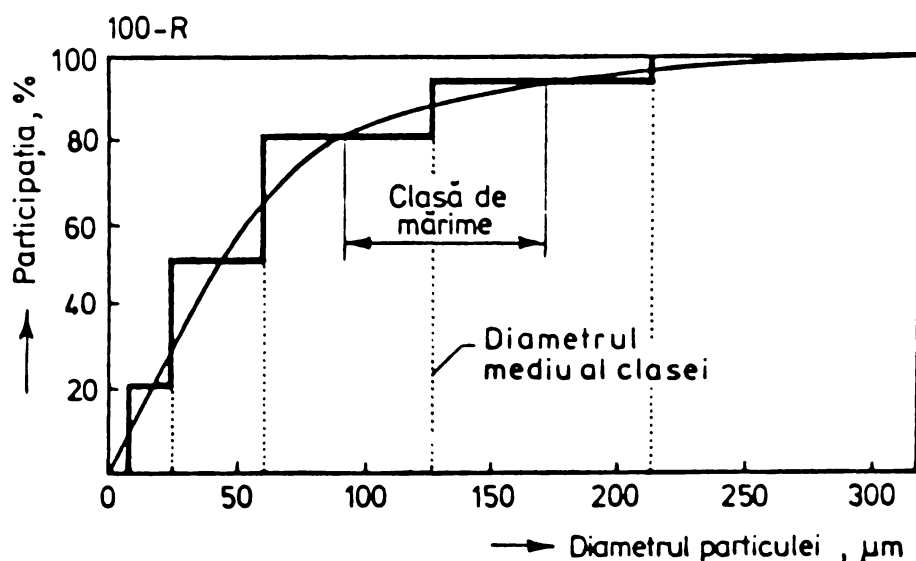
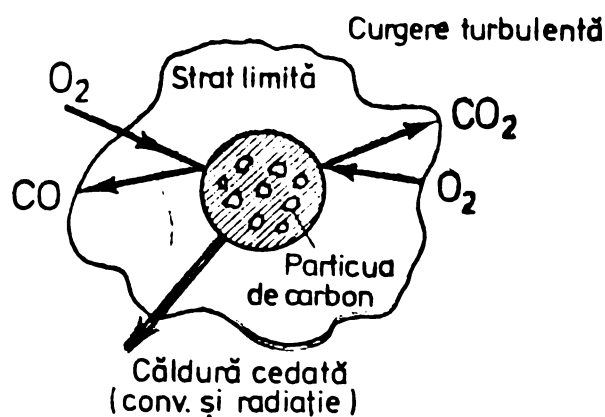


Fig.7.1. Aproximarea curbei de distribuție granulometrică pentru cinci clase de diametre medii.

#### b) Arderea carbonului

- GIBSON și MORGAN /43/, în urma experimentărilor întreprinse și a datelor furnizate de bibliografie, propun modelul arderii particulei de carbon în care se presupune că  $O_2$  difuzează pînă la suprafața particulei, fig.7.2.



Reacții chimice în particula de carbon :

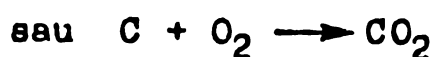
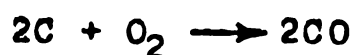


Fig.7.2. Modelul arderii particulei de carbon în suspensie /43/.

Reacția eterogenă a C cu  $O_2$  poate să ducă la obținerea CO sau direct a  $CO_2$ . Deoarece oxidarea CO în afara stratului limită se desfășoară foarte rapid mai ales la arderea cu exces de aer, se poate utiliza cu o bună aproximație în modelul matematic reacția brută :



Coeficienții stoichiometrici ai relației (7.2-4) se adoptă funcție de compoziția cărbunelui utilizat, iar pentru calculul căldurii degajate de reacție se consideră puterea calorifică inferioară.

- Viteza de reacție la arderea particulelor de carbon sau cocs în suspensie se raportează la suprafața exterioară a acestora, care reacționează cu oxigenul.

$$R_S = \frac{1}{\frac{1}{k_S} + \frac{1}{k_D}} \cdot \bar{p}_{O_2} \left[ \frac{kg_C}{m^2 \cdot s} \right] \quad (7.2-5)$$

unde  $k_S$  - este coeficientul vitezei de reacție la suprafața particulei;

$k_D$  - coeficientul de difuzie al  $O_2$  prin stratul limită din jurul particulei;

$\bar{p}_{O_2}$  - concentrația  $O_2$  la suprafața de reacție (funcție de difuzie);

$k_S$  este exprimat de obicei printr-o relație tip ARRHENIUS :

$$k_S = A_f e^{-\frac{E_f}{RT_c}} \left[ \frac{kg_C}{m^2 \cdot s \cdot bar_{O_2}} \right] \quad (7.2-6)$$

Relația pentru  $k_S$  are un grad mare de aproximare, fiindcă se referă la suprafața echivalentă sferică a particulei. În mod real suprafața care ia parte la reacție este mai mare, ținându-se seama de porozitatea granulei. De asemenea procesul arderii din pori este diferit de cel de la exteriorul particulei. Aceste aba-

teri sînt înglobate în constanta  $A_f$  și parțial în energia de activare  $E_f$  ( $A_f$  și  $E_f$  coeficienți ai vitezei de reacție determinați experimental;  $T_c$  - temperatura particulei).

$k_D$  - se calculează după FIELD /101/ cu expresia :

$$k_D = \frac{4 M_C D_{O_2-N_2}}{x R \bar{T}_m} \quad (7.2-7)$$

$$\text{cu } \bar{T}_m = \frac{\bar{T}_c + \bar{T}}{2}; \quad D_{O_2-N_2} = D_0 \left( \frac{\bar{T}_m}{\bar{T}_0} \right)^{1,75}$$

$$\text{unde } D_0 = 3,49 \cdot 10^{-4} \frac{m^2}{s} \text{ și } T_0 = 1600^\circ K.$$

Ipoteza pentru care a fost dedusă relația (7.2-7), acceptă că CO ia naștere la suprafața granulei și că numărul NUSSELT al schimbului de substanță este 2 (nu avem mișcare relativă între particulă și gaz). Abateri mai însemnate se obțin la particule de granulație mare la care există o diferență între viteza particulei și gazului.

- Așa cum s-a arătat anterior, se presupune că particulele de carbon ard din exterior, diametrul lor se micșorează, avînd în aceeași densitate. S-ar putea lua în considerare și arderea din interiorul granulei (arderea reală) în modelul matematic, dar ar duce la un volum mare și cheltuieli suplimentare de calcul, care nu sînt justificate atîta timp cît la o gamă largă de sorturi de cărbune pulverizat arderea preponderentă este din exterior.

- Termenul de sursă  $\bar{R}_{C,1}$  din ecuația de bilanț material (7.2.3) al particulelor primei clase de diametre se compune din trei părți :

$$\bar{R}_{C,1} = + v_C \bar{R}_1 + \bar{R}_{1+1 \rightarrow 1} - \bar{R}_{1 \rightarrow 1-1} \quad (7.2-8)$$

în care :  $v_C \bar{R}_1$  reprezintă diminuarea carbonului pe unitate de volum și timp în urma reacției eterogene (7.2-4) din particulele primei clase de diametru  $x_1$  (viteza de reacție);

$\bar{R}_{1+1 \rightarrow 1}$  este cantitatea de carbon pe unitatea de volum și timp care, datorită micșorării diametrului  $x_1$  prin ardere trec din clasa de granulație  $1+1$  în  $1$ ;

$\bar{R}_{1 \rightarrow 1-1}$  este partea corespunzătoare de carbon care trece din clasa  $1$  în  $1-1$ .

Viteza de reacția  $v_C \bar{R}_1$  pentru arderea carbonului în cadrul unei clase de particule se poate calcula din viteza de reacție a

granulei simple (7.2-5) înmulțită cu suprafața exterioară  $S_1$  corespunzătoare clasei granulometrice.

$$v_C \bar{R}_1 = - S_1 \bar{R}_S \quad (7.2-9)$$

Aproximarea termenilor  $\bar{R}_{1+1} \rightarrow 1$  și  $\bar{R}_{1-1} \rightarrow 1-1$  se face printr-o formulă cu diferențe finite relativ la diametrul particulei /43/.

c) Transferul de căldură în curentul aer - praf de cărbune  
Arderea cărbunelui pulverizat este însoțită de degajare și transmitere de căldură, ca și de disiparea căldurii în mediul ambiant. Transferul de căldură are loc prin conducție, convecție și radiație.

Principalele ipoteze simplificatoare sînt :

- particulele de cărbune se găsesc în echilibru termodinamic cu mediul înconjurător;
- numărul NUSSELT pentru schimbul de căldură convectiv la particulă este 2.

Astfel bilanțul termic pentru un nor de particule de diametru mediu  $x_1$  este :

$$- h_C v_C \sum_1 \bar{R}_1 - \frac{2\lambda}{x_1} \frac{\rho_m}{\rho_c} \frac{\sum_1 \bar{m}_{C,1}}{x_1} (\bar{T}_C - \bar{T}) - \text{div } \vec{q}_{R,C} = 0 \quad (7.2-10)$$

$h_C$  - este căldura degajată la arderea carbonului

$\lambda$  - conductibilitatea termică a gazelor arse

$$\lambda = \lambda_0 \left( \frac{T_0}{T} \right)^{0,82}$$

cu  $\lambda_0 = 2,43 \cdot 10^{-5} \frac{\text{kW}}{\text{m}^0\text{K}}$  și  $T_0 = 273^0\text{K}$ .

$\text{div } \vec{q}_{R,C}$  este densitatea fluxului termic prin radiație emis de particulele de carbon.

Amestecului praf de cărbune - gaze de ardere i se aduc următoarele ipoteze privind comportarea la radiație :

- particulele de carbon și cenușă emit neselectiv radiație;
- radiația gazelor de ardere este reprezentată prin  $\text{CO}_2$  și  $\text{H}_2\text{O}_v$ ;
- radiația predominantă este determinată de particulele solide incandescente de carbon și cenușă.

Cu aceste ipoteze, pentru un model al radiației în fluxuri (paragraful 3.5) se aproximează transferul prin radiație în direcție radială a norului de praf



$$-\frac{d}{dr} \left( \frac{r^2}{r A_r K_a + 1} \frac{dF_r}{dr} \right) - r \left[ \frac{4}{3} K_C B_r \sigma T_C^4 + \frac{4}{3} (K_G + K_A) B_r \sigma T^4 - K_a A_r F_r \right] = 0 \quad (7.2-11)$$

Coeficientul de atenuare al radiației este format din suma :

$$K_a = K_C + K_G + K_A \quad (7.2-12)$$

în care  $K_C$  - este coeficientul de atenuare al radiației datorită particulelor de carbon. Se calculează în dependență de suprafața specifică  $S_{C,1}$  a fracțiilor granulometrice de concentrațiile locale  $\rho_m \bar{m}_{C,1}$  și coeficientul de dispersie al radiației  $X_a$ .

$$K_C = X_a \frac{1}{4} \bar{\rho}_m \sum S_{C,1} \cdot \bar{m}_{C,1} \quad (7.2-13)$$

pentru

$$S_{C,1} = \frac{6}{\rho_C \cdot x_1}$$

$K_G$  - coeficientul de atenuare al radiației datorită  $CO_2$  și  $H_2O_v$  (paragraful 3.5.8);

$K_A$  - coeficientul de atenuare al radiației particulelor de cenușă. Se determină în același fel ca și  $K_C$ , doar că suprafața specifică  $S_A$  este luată a priori.

$$K_A = X_A \frac{1}{4} S_A \cdot \bar{\rho}_m \cdot \bar{m}_A \quad (7.2-14)$$

În calculele practice se consideră de obicei  $K_C = K_A$ .

Pentru termenul  $\text{div } \bar{q}_{R,C}$  ce descriu schimbul de căldură prin radiație în ecuația de bilanț termic (7.2-10), cu coeficienții precizați mai sus, se obține următoarea formulă de calcul :

$$\text{div } \bar{q}_{R,C} \cong \frac{K_C \bar{T}_C^4}{K_C \bar{T}_C^4 + (K_G + K_A) \bar{T}^4} \text{div } \bar{q}_R \quad (7.2-15)$$

$\text{div } \bar{q}_R$  este determinat prin rezolvarea ecuației (7.2-11).

### 7.2.2. ECUAȚIILE DE BAZĂ ȘI CONDIȚIILE DE CONTUR

Ca și în cazul rezolvării flăcărilor de gaz metan, modelul matematic al curgerii, arderii și transferului de căldură în flăcările închise de cărbune pulverizat, este format din același sistem de ecuații diferențiale pentru variabilele dependente  $\omega_g/r$ ,  $\Psi$ ,  $rv_g$ ,  $k$ ,  $w$  și  $f$ , cu următoarele ecuații diferențiale suplimentare :

- 5 ecuații (7.2-3) pentru concentrația  $\bar{m}_{C,1}$  a particulelor de carbon considerînd 5 fracțiuni granulometrice;
- ecuația (3.3-14e) pentru entalpia suspensiei prafului de cărbune - gaze de ardere și
- ecuația (7.2-11) de calcul al fluxului radiației în direcție radială.

Ecuatiile de bilanț sînt rezolvate pentru speciile chimice C, CO<sub>2</sub>, CO, N<sub>2</sub> și cenușă; iar m<sub>O<sub>2</sub></sub> și m<sub>CO<sub>2</sub></sub> se calculează cu ecuațiile pentru  $\bar{m}_{C,1}$  și f în ipoteza că :

$$\sigma_{O_2,ef} = \sigma_{CO_2,ef} = \sigma_{C,1,ef} = \sigma_{f,ef}$$

Concentrația cenușii m<sub>A</sub> se determină cu ecuația fracției amestecului cu condiția, ca  $\sigma_{A,ef} = \sigma_{f,ef}$ .

Condițiile de contur de-a lungul pereților ficși, la ieșirea din focar și pe axa de simetrie se formulează cu excepția valorilor la perete ale entalpiei pentru care se folosește ecuația (3.6-22), în mod similar ca și la calculul flăcărilor de gaz metan.

Profilele variabilelor la ieșirea din arzătorul dublu-concentric vor fi toate plane, cu excepția funcției de curent  $\Psi$ , a cărei desfășurare rezultă din curenții de masă alimentați.

### 7.2.3. CALCULUL ARDERII LIGNITULUI PULVERIZAT

În baza contractului Nr.2705/78 încheiat între ICSITEEM și Intr. VULCAN București /104/ s-a întreprins cu modelul de calcul prezentat, un studiu teoretic al curgerii, arderii și transferului de căldură în focarul cazanului de 100 t/h abur de la CET Doicești, ce utilizează lignit pulverizat și arzătoare cu fante.

S-a urmărit influența unor parametri de funcționare ca : viteza curentului primar v<sub>p</sub> (lignit pulverizat și aer primar 12% din cel necesar arderii) și secundar v<sub>s</sub> (aer secundar, λ = 1,5), preîncălzirea aerului secundar de la 100 - 600°C, finețea de măcinare (distribuția ROSIN-RAMMLER), asupra desfășurării arderii complete, a distribuției axiale a temperaturilor și transferului de căldură. Rezultatele complete ale cercetării vor fi preluate din protocolul /104/. În continuare se prezintă doar o parte a rezultatelor calculate și anume influența impulsului curentului primar și secundar, cât și a fineței de măcinare, asupra procesului de ardere.

În fig.7.3a,b este redată desfășurarea cîmpului temperaturilor și concentrației de CO<sub>2</sub> al unei flăcări de lignit pulverizat cu o putere termică de 2000 kW, obținută cu un arzător cu fantă într-un focar axial-simetric, pentru două cazuri : 1) v<sub>p</sub> = 30 m/s; v<sub>s</sub> = 3 m/s și 2) v<sub>p</sub> = 20 m/s; v<sub>s</sub> = 25 m/s

Compararea izoliniilor celor două flăcări (1 - flacără tip cuptor de ciment; cu impuls scăzut al aerului secundar și 2) flacără tip cazan; cu impuls mare al aerului secundar), arată o arde-

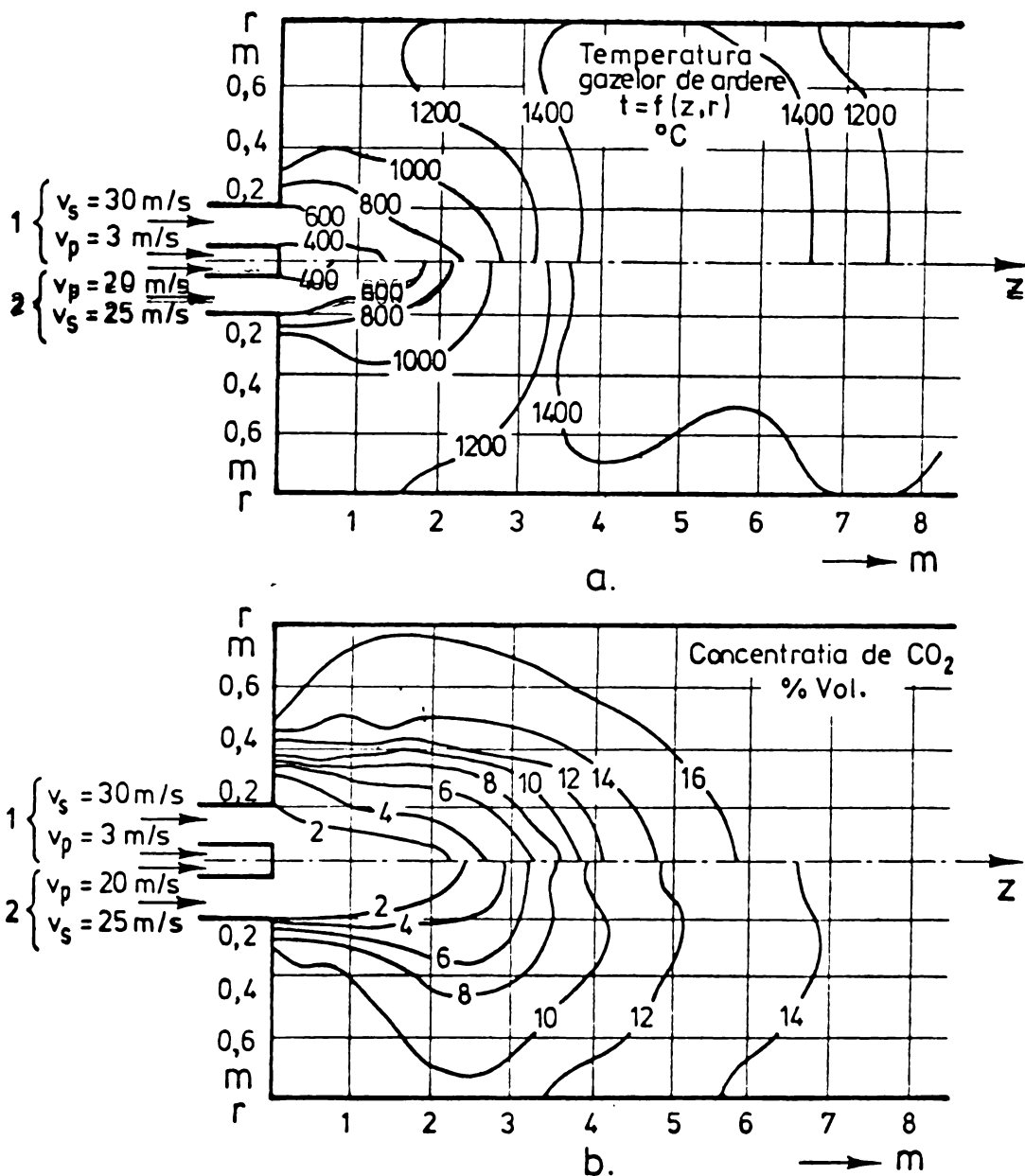


Fig.7.3a,b. Câmpul calculat al temperaturilor și concentrațiilor de CO<sub>2</sub> al flăcării de 2000 kW.

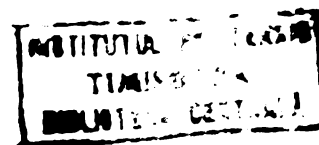
re mai bună pentru flacăra tip cazan. Acest lucru este cauzat de impulsul mare al aerului secundar, care asigură o simetrie axială a jeturilor și a zonei de recirculație. Aerul secundar introdus cu impuls scăzut, fiind rece comparativ cu gazele de ardere, cade la baza focarului unde întâlnește curenții de recirculație pe care-i răcește, înrăutățind arderea.

Influența repartiției particulelor pe fracțiuni asupra procesului de ardere este reprezentată prin distribuția ROSIN-RAMMER la variația coeficientului de precizie (finețe) a măcinării b.

$$R = 100 \cdot e^{-\left(\frac{x}{b}\right)^n} \quad (7.2-16)$$

unde R este restul pe sita cu dimensiunea găurilor de x microni;

b și n - coeficienți ce caracterizează precizia și structura măcinării.



În fig.7.4 sînt prezentate curbele de distribuție granulometrică a prafului de lignit pentru trei cazuri cercetate. Finețea de măcinare scade de la curba a la c.

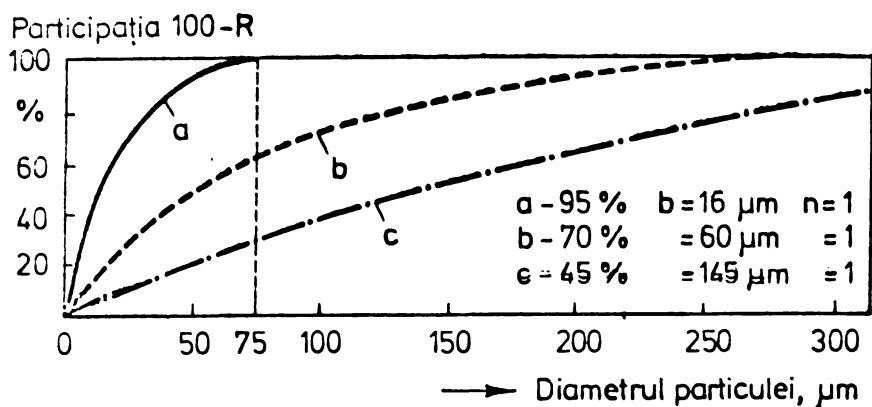


Fig.7.4. Curbele distribuției granulometrice pentru cazurile cercetate.

Procesul arderii complete și repartiția axială a temperaturilor de-a lungul focarului funcție de finețea de măcinare este reprezentată în fig.7.5 și 7.6. Flacăra cu pulbere de granulație mare arde cel mai încet (curba c). Începînd de la o anumită distanță de arzător ( $z = 6-7$  m), pentru toate cele trei cazuri arderea completă devine aproape staționară. Finețea măcinării influențează aprinderea și maximul de temperaturi, în timp ce temperaturile la ieșirea din focar sînt aproximativ egale pentru toate cazurile studiate.

Procesul arderii complete și repartiția axială a temperaturilor de-a lungul focarului funcție de finețea de măcinare este reprezentată în fig.7.5 și 7.6. Flacăra cu pulbere de granulație mare arde cel mai încet (curba c). Începînd de la o anumită distanță de arzător ( $z = 6-7$  m), pentru toate cele trei cazuri arderea completă devine aproape staționară. Finețea măcinării influențează aprinderea și maximul de temperaturi, în timp ce temperaturile la ieșirea din focar sînt aproximativ egale pentru toate cazurile studiate.

este reprezentată în fig.7.5 și 7.6. Flacăra cu pulbere de granulație mare arde cel mai încet (curba c). Începînd de la o anumită distanță de arzător ( $z = 6-7$  m), pentru toate cele trei cazuri arderea completă devine aproape staționară. Finețea măcinării influențează aprinderea și maximul de temperaturi, în timp ce temperaturile la ieșirea din focar sînt aproximativ egale pentru toate cazurile studiate.

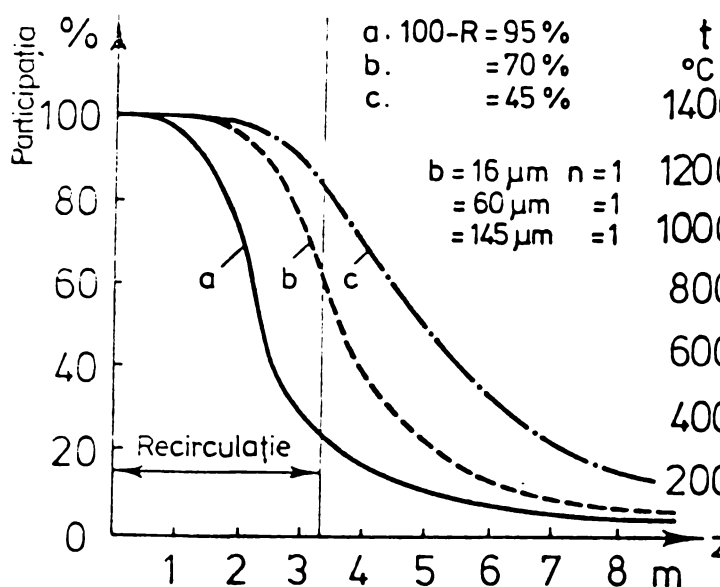


Fig.7.5. Arderea completă a particulelor de diferite diametre (b) de-a lungul focarului.

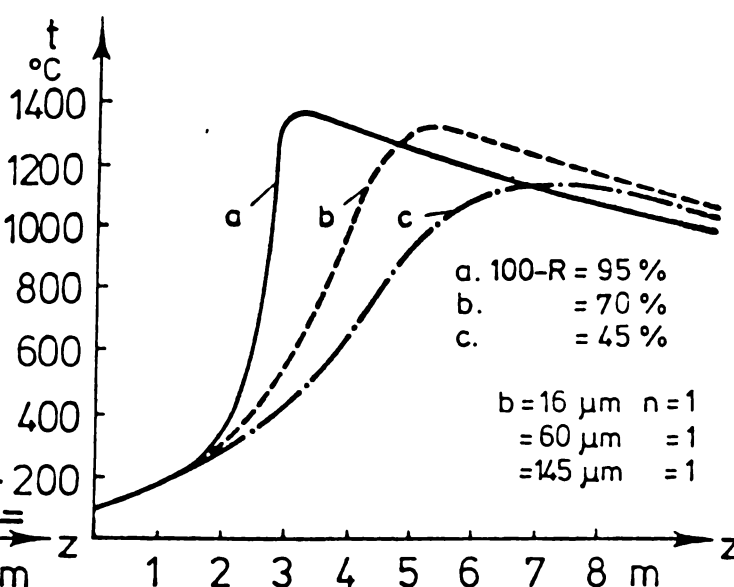


Fig.7.6. Distribuția temperaturilor axiale funcție de diametrul mediu (b) al particulei.

## 8

### SINTEZA ȘI CONCLUZII GENERALE

Problematika lucrării, deși axată pe studiul distribuției fluxului de căldură în focarele generatoarelor de abur, își găsește aplicabilitate în mai toate camerele de ardere industriale. Acest lucru rezultă din maniera în care a fost abordată tema, de a construi un model matematic complet al proceselor din focare și de a-l verifica experimental.

La baza modelului matematic au stat ecuațiile conservării impulsului, materiei și energiei unui fluid care curge și reacționează. Cu astfel de modele de calcul este posibil să se prevadă, fiind date condițiile de contur corespunzătoare funcționării unui focar, câmpurile complete ale vitezelor, concentrațiilor și temperaturilor din flacără și camera de ardere, cât și distribuția fluxului de căldură la pereții focarului. Cunoașterea proceselor parțiale enumerate, pe lângă interesul practic pe care-l reclamă, sînt necesare pentru evaluarea repartiției fluxului de căldură din focar.

La trecerea în revistă a bibliografiei consultate, s-a arătat că modelele matematice ale arderii și transferului de căldură în camere de ardere au fost clasificate în modele zerodimensionale (globale), unidimensionale și pluridimensionale. În cadrul modelelor pluridimensionale s-a făcut deosebirea în modelele care, pe baza așa-numitei "metode a zonei", determinau doar bilanțul energetic al camerei de ardere, și modele care rezolvau ecuațiile de transport. Au fost prezentate avantajele și dezavantajele celor două tipuri de modele și s-a arătat că modelele de calcul pe baza rezolvării ecuațiilor de transport pot da, cu numărul cel mai redus de date de intrare, rezultatele cele mai complete. Dezvoltarea lor este deschisă în ceea ce privește modelul turbulenței, cinetica arderii și mai ales transferul de căldură prin radiație.

Principiul de bază, care a stat la elaborarea modelului matematic, a fost tratarea unitară a proceselor din focar prin efectuarea bilanșurilor diferențiale și apoi generale (globale). Pe această bază a fost posibil să se coreleze în relații funcționale mărimile fizice care determină fenomenul. Din bilanșurile efectuate pe volume elementare se obțin ecuații diferențiale, iar prin integrarea acestora, în limite date, bilanșurile generale.

Pornind de la ecuația de bilanș generală, pentru o proprie-



tate specifică  $\phi$ , a unui mediu continuu care curge și ale cărui componente reacționează, s-au dedus ecuațiile de bază pentru masa totală și speciile chimice, impulsul total și entalpia totală. S-a folosit cu precădere descrierea după EULER a mișcării fluidului, ecuațiile diferențiale au fost prezentate în general vectorial și tensorial.

Prin introducerea valorii medii și pulsaterii, iar apoi a medierii în timp a acestora, ecuațiile momentane de bilanț s-au transformat în ecuații ce descriu curgerea turbulentă a fluidului. În aceste ecuații au apărut termenii de corelație pentru fluctuațiile vitezei și proprietățile bilanțate, care reprezintă matematic schimbul mărit prin turbulență. Evaluarea acestor termeni de corelație necunoscuți se face prin modele ale turbulenței. Un model al turbulenței special a fost utilizat în lucrare : așa-numitul model k-W, și descris în detaliu. Ca și la alte modele similare, în analogie cu schimbul laminar, la modelul k-W al turbulenței s-au introdus mărimile de schimb turbulent și s-a definit o viscozitate turbulentă.

După simplificări succesive și includerea modelului k-W al turbulenței s-a obținut o formă unică, rezolvabilă prin metode numerice, a ecuațiilor de transport (formă standard). Sistemul de ecuații diferențiale a fost scris în coordonate cilindrice cu introducerea funcției de curent și a vitezei unghiulare a vârtejului ca variabile dependente.

Condițiile de contur aferente rezolvării ecuațiilor de transport au fost precizate în detaliu, fiind corelate cu sistemul de coordonate ales pentru studiul proceselor axial-simetrice. O atenție deosebită s-a acordat descrierii condițiilor de intrare pentru arzătorul de difuzie dublu-concentric, utilizat frecvent în focarele industriale. Formulările mai greoaie matematice, ale condițiilor de contur la pereți în stratul limită turbulent au fost simplificate prin "funcții ale peretelui".

Descrierea matematică a proceselor din focare a fost completată prin introducerea modelului arderii și al transferului de căldură prin radiație.

Reacțiilor omogene ale gazului metan i-au fost atașate un model simplu cu o singură reacție brută, cu viteză infinită, la care a fost neglijată influența turbulenței asupra desfășurării reacției.

Fluxul de căldură prin radiație, în marea majoritate a focarelor industriale, depășește cu mult pe cel prin convecție.



Pentru aceasta, s-a insistat mai mult la modelarea schimbului de căldură prin radiație. S-a făcut deosebire între metoda geometrică de tratare a schimbului de căldură prin radiație și metoda mult mai apropiată de fenomenul fizic a dependențelor dintre lungimea de undă și factorii energetici de emisie și absorbție ai gazelor de ardere. În ipoteza radiației neselective, ecuațiile de transport ale radiației pot fi exprimate cu ajutorul așa-numitelor "modele de curgere". Acestea pot fi aduse la forma generală a ecuației de bilanț a curgerii și incluse în procedeul general de rezolvare numerică.

Aplicarea modelului dezvoltat în lucrare se referă în primul rând la flăcările de difuzie a combustibililor gazoși, staționare, axial-simetrice cu curenți de recirculație. Rezolvarea numerică a ecuațiilor diferențiale cu condițiile de contur aferente s-a făcut prin metoda diferențelor finite pe cale iterativă cu procedeul GAUSS-SEIDEL. Au fost discutate la acest procedeu de calcul căile de asigurare a convergenței procesului iterativ, în special prin subrelaxare.

Modelul matematic este considerat pentru prima dată sistem, în care mărimile de intrare și structura proprie determină mărimile de ieșire, fapt pus în evidență și de organizarea programului de calcul. Pentru cazul practic, studiat în detaliu, al flăcării difuzive de gaz metan, s-au precizat ipotezele de calcul, ecuațiile de bază cu condițiile de contur și constantele modelului matematic. Programul scris în limbaj FORTRAN-IV este descris amănunțit în ceea ce privește organizarea și prezentarea subprogramelor, a simbolurilor FORTRAN utilizate, pentru a face cât mai ușoară înțelegerea și aplicarea lui de către utilizator. Este atașat un rulaj complet (listing) pentru una din flăcările studiate.

Cercetările experimentale întreprinse au avut ca scop verificarea modelului matematic pe o cameră de ardere comparabilă cu dimensiune și condiții de contur cu focarele tub de flăcără a generatoarelor de abur industriale.

Arzătorul de difuzie dublu-concentric utilizat, a permis introducerea unei game largi de debite ale curentului primar și secundar, cât și turbionarea aerului de combustie. Au fost efectuate măsurători pentru două flăcări cu sarcină termică diferită, cu și fără turbionarea aerului insuflat. Programul de măsurători și aparatura folosită a furnizat date exacte privind procesele parțiale și distribuția fluxului de căldură la pereții focarului.

Din compararea datelor furnizate de calcul cu cele obținu-

te experimental rezultă o precizie bună a distribuției fluxului de căldură calculat cu un model al arderii cu o singură reacție brută cu viteză infinită, cuplat cu un model al radiației cu două fluxuri. Influența diferențelor dintre valorile calculate și măsurate ale proceselor parțiale asupra distribuției fluxului de căldură a fost redusă. Erorile care au intervenit la determinarea condițiilor de contur necesare rezolvării numerice, ca de exemplu coeficientul de transfer prin convecție și implicit temperaturile efective ale gazelor de ardere și pereților au introdus abateri de același ordin de mărime.

Ținând seama că, pe lângă datele cunoscute ale geometriei focarului și arzătorului, a încărcării camerei de ardere și a constantelor ce descriu procesele parțiale fizice și chimice preluate din literatura de specialitate, au fost folosiți doar coeficienții de transmitere a căldurii prin convecție; determinați experimental prin modelare aerodinamică a camerei de ardere, rezultă principalul avantaj al modelului, de a necesita foarte puține date de intrare a căror valoare este supusă incertitudinii.

Comparațiile prezentate furnizează argumentul că scopul principal al acestei lucrări, de a elabora un model matematic a distribuției fluxului de căldură în focarele generatoarelor de abur, a fost îndeplinit.

Abaterile semnalate între distribuția curgerii, arderii (concentrații) și temperaturilor pe axă în apropierea arzătorului sînt cauzate în principal de presupunerea structurii regulate a turbioanelor (constantele modelului turbulenței) și de modelul mult simplificat al arderii. Aceste abateri se regăsesc și pentru flăcările turbionate, la care pentru a obține un calcul bun al transferului de căldură, a fost modificată o constantă a modelului turbulenței, făcînd-o dependentă de viteza tangențială.

În continuare, dezvoltarea unui model al radiației cu patru sau șase fluxuri ar aduce îmbunătățiri distribuției fluxului de căldură prin radiație, rezolvat cu modelul cu două fluxuri radiale.

Așa cum s-a mai arătat, modelul matematic elaborat inițial pentru studiul proceselor din focarele generatoarelor de abur, care utilizează combustibili gazoși, poate fi extins, cu mici modificări, la arderea în condiții speciale sau arderea diferitelor sorturi de combustibili.

Arderea sub presiune a combustibililor gazoși în generatoare magnetohidrodinamice (MHD) sau în camerele de ardere ale motoarelor cu reacție, impun luarea în considerare a presiunii statice,

ca factor determinant în desfășurarea proceselor aerotermochimice și a solicitărilor pereților camerei. Reconsiderarea presiunii statice se face prin explicitarea acesteia din ecuația de bilanț a impulsului, în care restul variabilelor au fost determinate în etapele anterioare de calcul ale programului. Din punct de vedere al algoritmului de calcul, evaluarea presiunii statice constituie o metodă de verificare a exactității calculelor anterioare.

O altă utilizare a modelului matematic o constituie calculul flăcării neturbionate și al transferului de căldură în focare care ard cărbune pulverizat. Adaptarea modelului de calcul s-a făcut cu o serie de simplificări privind curgerea bifazică a amestecului de gaze - particule solide, a mecanismului arderii componentelor gazoase, volatile și a particulei de carbon, cât și a transferului de căldură în suspensie. Cele mai importante simplificări s-au referit la curgere, unde s-a presupus că nu există viteză relativă între faza gazoasă și solidă. De asemenea modelul schimbului de căldură prin radiație s-a considerat cu două fluxuri. Pentru calculul flăcării de difuzie turbionate neglijarea vitezei relative între gaz și particulă nu mai este valabilă, rezolvarea curgerii reclamând un model tridimensional.

Aprecierile critice asupra modelului matematic al curgerii, arderii și transferului de căldură în focare, dezvoltat în lucrare, se pot rezuma la următoarele :

- pentru flăcările de difuzie a combustibililor gazoși obținute în focare axial-simetrice se pot obține cu modelul de calcul descris preziceri cantitative corecte a tuturor variabilelor flăcării. Totuși aceste prevederi, în special pentru flăcările turbionate, depind încă de o serie de constante empirice, care, în ciuda optimismului inițial, nu s-au dovedit a fi universale;
- așa cum s-a arătat, modelul de calcul propus se poate îmbunătăți în multe amănunte. Din păcate, majoritatea acestor modificări cer cheltuieli și volum mare de calcul, care este deja suficient de laborios;
- progrese importante se pot obține prin reanalizarea modelelor parțiale ale curgerii turbionate, a desfășurării reacției de ardere cu mai multe componente chimice și ale unui model îmbunătățit al radiației.

Cu toate dezavantajele enumerate, studiul proceselor din focarele industriale cu ajutorul modelelor matematice constituie o cale deschisă în viitor. Aceste modele sînt un instrument

evoluat de înțelegere și studiu al interdependențelor complexe a fenomenelor curgerii, arderii și transferului de căldură în camere de ardere. Se pretează foarte bine la cercetarea sistematică a influenței calitative a parametrilor de lucru asupra variabilelor flăcării și focarului, înlocuind în întregime experimentul.

# 9

## BIBLIOGRAFIE

- /1/ \* \* \* Programul-Directivă de cercetare și dezvoltare în domeniul energiei pe perioada 1981-1990 și orientările principale până în anul 2000. Editura Politică, București, 1979.
- /2/ KNORRE, F.G. : Topocinfe profes. Gosenergoizdat, 1959.
- /3/ STAMBULEANU, A : Flacăra industrială. Editura tehnică, București, 1971.
- /4/ PANOIU, N., GRECOV, D., UNGUREANU, C., SINGER, G., CARABOGDAN, I. : Instalații de ardere. Editura tehnică, București, 1968.
- /5/ GRECOV, D., IORDACHE, I., ANTONESCU, N. : Arderea combustibililor gazoși. Editura Academiei R.S.R. București, 1969.
- /6/ GÜNTHER, R. : Verbrennung und Feuerungen. Springer-Verlag, Berlin, 1974.
- /7/ SCHMIDT, E. : Einführung in die Technische Thermodynamik. Springer-Verlag, Berlin, 1963.
- /8/ \* \* \* V.D.I. - Wärmeatlas.
- /9/ ISACHENKO, V., P., OSIPOVA, V., A., SUKOMEL, A., S. : Heat Transfer. Mir publishers, Moscow, 1977.
- ✓/10/ HOTTEL, H., C., SAROFIM, A., F. : Radiative Transfer. Mc.Graw-Hill Book Company, 1967.
- /11/ VISKANTA, R. : Radiation Transfer and Interaction of Convection with Radiation Heat Transfer. Advances in Heat Transfer, vol.3. Academic Press, London and New-York, 1966.
- /12/ BLOH, A., G. : Osnovf teplobmena izluceniem. Moskva - Leningrad, 1962.
- ✓/13/ LANDAU, L., D., LIFSHITZ, E., M. : Fluid Mechanics. Mir publishers Moscow 1971.
- ✓/14/ GYARMATI, I. : Non-equilibrium Thermodynamics. Springer-Verlag, Berlin, 1970.
- /15/ KOLMOGOROV, A., N. : Equations of Turbulent Motion of an Incompressible Fluid. Izv.Akad.Nauk S.S.S.R. Ser.Phys. 6. Nr.1/2, p.56-58, 1942.
- ✓/16/ PRANDTL, L. : Bemerkungen zur Theorie der freien Turbulenz. ZAMM 22, p.241-243, 1942.
- /17/ ROTTA, J. : Turbulente Strömungen. B.G.Teubner. Stuttgart, 1972.
- /18/ THRING, M., W., NEWBY, M., P. : Combustion Length of Enclosed Turbulent Jet Flames. 4-th Symposium on Combustion. Baltimore, 1953.

- /19/ CRAYA, A., CURTET, R.: Sur l'évolution d'un jet en espace confiné. C.R. Acad.Sci. 1955.
- /20/ GOSMAN, A., D., PUN, W., M., RUNCHAL, A., K., SPALDING, D., B., WOLFSHTEIN, M.: Heat and Mass Transfer in Recirculating Flows. Academic Press, London and New-York, 1969.
- /21/ ZUBER, I.: Ein mathematisches Modell des Brennraums. Monograph and Memoranda Nr.12. Beeneviae, 1972.
- /22/ RUMMEL, K.: Der Einfluss des Mischungsvorganges auf die Verbrennung von Gas und Luft in Feuerungen. Verlag Stahleisen, 1937.
- /23/ TÖLLE, H.: Măsurători în instalații termice. Editura tehnică, București, 1972.
- /24/ APOSTOLESCU, N., TARAZA, D.: Bazele cercetării experimentale a mașinilor termice. E.D.P. București, 1979.
- /25/ HEIN, M.: Équipements, méthodes et instruments nouveaux mis en service à la station d'IJmuiden, en 1966 et 1967. R.G.T. Nr.84, 1968.
- /26/ ROACHE, P., J.: Computational Fluid Dynamics. Hermosa publishers. Albuquerque, 1976.
- /27/ MICHELFELDER, S., RICHTER, W., PAI, B.R., BARTELD, H.: Übersicht über Berechnungsmethoden zur Ermittlung des Wärmeübergangs in Brennkammern. VDI - Berichte N.246, 1975.
- /28/ GURVICI, A., M., BLOCH, A.G.: O rascete teplobmena v topkakh. Vaprosi aerodinamiki i teploperedaci v kotelnopacinih projesah. Gosenergoizdat, Moskva, 1958.
- /29/ SEICUK, N., SIDDALI, R., G.: Berechnung des thermischen Verhaltens eines grossen Versuchsofens bei Anwendung von zwei verschiedenen Modellen der Strahlungswärmeübertragung. V.D.I.-Berichte Nr.246, 1975.
- /30/ KORNDÖRFER, U., GÜNTHER, R.: Mathematisches Modell zur Beschreibung der Wärmeübertragung in Stossöfen. V.D.I.-Berichte Nr.246, 1975.
- /31/ HEDLEY, A., B., JACKSON, E., W.: A Simplified Mathematical Model of a Pulverised Coal Flame Showing the Effect of Recirculation on Combustion Rate. J.Inst.Fuel vol.39, 1966.
- /32/ JOHNSON, T.R.: Application of the Zone Method of Analysis to the Calculation of Heat Transfer from Luminous Flames. Univ.of Sheffield, Thesis, 1971.
- ✓ /33/ ERKKU, H.: Radiant Heat Exchange in Gasfilled Slabs and Cylinders. Massachusetts Inst.of Technology. Thesis, 1959.



- /34/ BAMMERT, K., REHWINKEL, H.: Berechnung der örtlichen Wärmeübertragung und des Rauchgastemperaturfeldes in zylindrischen Brennkammern von Strahlungskesseln. V.D.I.- Berichte Nr.211, 1974.
- /35/ LATSCH, R.: Mathematisches Modell für eine turbulente Diffusionsflamme und deren zylindrischen Brennraum. T.H.Karlsruhe, Diss. 1972.
- /36/ STEWARD, F.R., GURUZ, H., K.: Mathematical Simulation of an Industrial Boiler by the Zone Method of Analysis Heat Transfer in Flames. Scripta Book Company, Washington 1974.
- /37/ WALL, T., C.: Representation of a Pulverised Fuel System for Engineering Calculation of Radiative Transfer. Italian Flame Day, 1973.
- /38/ ARSCOTT, J.A., GIBB, J., JENNER, R.: The Application of N-E Diffusion Theory and Monte Carlo Methods to Predict the Heat Transfer Performance of a 500 MW Power Station Boiler from Isothermal Flow Data. Combustion Inst. European Symposium. Academic Press, London and New-York, 1973.
- /39/ SPALDING, D., B.: A Two-equation Model of Turbulence. V.D.I. - Forsh.-Heft. 549, 1972.
- /40/ PAI, B., R., RICHTER, W., LOWES, T., M.: Flow and Mixing in Confined Axial Flows. J.Inst.Fuel, vol.48, Nr.397, 1975.
- /41/ RICHTER, W.: Prediction of Heat and Mass Transfer in a Pulverised Fuel Furnace. Letters in Heat and Mass Transfer. Pergamon Press, vol.1, 1974.
- /42/ SIDALL, R., G.: Flux Methods for the Analysis of Radiant Heat Transfer. 4-th Symposium on Flames and Industry. Paper 16. Inst.of Fuel, London, 1972.
- /43/ GIBSON, M., M., MORGAN, B., B.: Mathematical Model of Combustion of Solid Particles in a Turbulent Stream with Recirculation. J.Inst.Fuel. vol.43, 1970.
- /44/ RICHTER, W., QUACK, R.: A Mathematical Model of a Low-volatile Pulverised Fuel Flame. Heat Transfer in Flames. Scripta Book Company. Chapter 5. Washington, 1974.
- /45/ ZAYOUNA, A.: Zur Beeinflussung der Strahlung und der Wärmeabgabe leuchtender Flammen. Univ.Stuttgart. Diss. 1978.
- /46/ CHAE, M.: Aufstellung eines mathematischen Modells der  $\text{NO}_x$ -Bildung in eingeschlossenen turbulenten Erdgas - Diffusionsflammen. Univ.Stuttgart. Diss. 1978.

- /47/ MÜLLER, L.: Untersuchungen über die Stickoxidentstehung in einer Schwerölflamme. Univ. Stuttgart, Diss. 1979.
- /48/ HEAP, M., P., LOWES, T., M., WALMSLEY, R., BARTELD, H.: Burner Design Principles for Minimum NO<sub>x</sub>-Emissions. I.F.R.F. Doc. Nr. K/20/67 - 1973.
- /49/ SCHLICHTING, H.: Grenzschichttheorie. Verlag G. Braun Karlsruhe, 1965.
- /50/ POHL, R., W.: Einführung in die Physik. Band I. Mechanik, Akustik und Wärmelehre, Springer Verlag, 1969.
- /51/ HIRSCHFELDER, J., O., CURTISS, C., F., BIRD, R., B.: Molecular Theory of Gases and Liquids. John Wiley & Sons Inc. 1954.
- /52/ HINZE, J., O.: Turbulence. An Introduction to its Mechanism and Theory. New-York - Toronto - London. Mc.Graw-Hill Book, 1959.
- /53/ ROUSSINESQ, J.: Théorie de l'écoulement tourbillant. Mem. pres. Acad. Sci. XXIII, 46. Paris, 1877.
- /54/ PRANDTL, L.: Über ein neues Formelsystem der ausgebildeten Turbulenz. Nachr. Akad. Wiss. Göttingen Math. Phys. Klasse, 1945.
- /55/ TAYLOR, G., I.: The Transport of Vorticity and Heat through Fluids in Turbulent Motion. Proc. Roy. Soc. A135, 1932.
- /56/ KARMAN, TH.: Mechanische Ähnlichkeit und Turbulenz. Nachr. Ges. Wiss. Göttingen. Math. Phys. Klasse 58, 1930.
- /57/ PUN, W., M., SPALDING, D., B.: A procedure for Predicting the Velocity and Temperature Distribution in a Confined, Steady, Turbulent, Gaseous Diffusion Flame. Imperial College. Mech. Eng. Dept. Report Nr. SF/TN/11, 1967.
- /58/ ROBERTS, L., W.: Turbulent Swirling Flows with Recirculation. Thesis. University of London. Mech. Eng. Dep. Imperial College, 1972.
- /59/ MICHELFELDER, S.: Beitrag zur Berechnung des Abbrandes und der Wärmeübertragung von nichtleuchtenden Gasflammen. Diss. Univ. Stuttgart, 1976.
- /60/ PRANDTL, L.: Über die ausgebildete Turbulenz. ZAMM 5, 1925.
- /61/ LAUNDER, B., E., SPALDING, D., B.: Mathematical Models of Turbulence. Academic Press. London and New-York, 1972.
- /62/ NIKURADSE, J.: Gesetzmässigkeit der turbulenten Strömung in glatten Röhren. Forsch. Arb. Ing. Wes. Heft, 1932.
- /63/ SPALDING, D., E., PATANKAR, S., V.: Heat and Mass Transfer in Boundary Layers. Morgan-Grampian. London, 1967.
- /64/ PATANKAR, S., V., SPALDING, D., B.: Simultaneous Prediction of Flow Pattern and Radiation for Three-dimensional

- Flames. Heat Transfer in Flames. Scripta Book Company. Washington D.C. 1974.
- /65/ ROTTA, J.: Statistische Theorie nicht homogener Turbulenz. Zeitschrift für Physik. Bd. 129 und Bd. 131, 1951.
- /66/ RICHTER, W.: Mathematische Modelle technischer Flammen (Grundlagen und Anwendungen für achsensymmetrische Systeme). Diss. Univ. Stuttgart, 1978.
- /67/ RORTGEN, H.: Numerische Berechnung der Wasserstoffoxidation mit Luft in einer rotations-symmetrischen, turbulenten Freistrahlf Flamme. T.H.Aachen. Diss. 1972.
- /68/ PETERS, N.: Berechnung einer Methan-Luft-Diffusionsflamme im örtlichen Gleichgewicht und im Nichtgleichgewicht V.D.I.- Berichte Nr.246, 1975.
- /69/ CREMER, H.: Berechnung und Beeinflussung des Reaktionsablaufs der Methanoxidation. T.H.Aachen. Diss. 1970.
- /70/ KOZLOW, G., I.: On High-temperature Oxidation of Methane. 7-th Int.Symposium on Combustion, 1958.
- /71/ SPALDING, D., B.: The Calculation of Combustion Processes-Turbulent, Physically - Controlled Combustion Processes. Imperial College. Mech.Eng.Dept.Report Nr.RF/TN/A/4.
- /72/ HADVIG, S.: Gas Emissivity and Absorptivity. A Thermodynamic Study. J.Int.Fuel, 43, 1970.
- /73/ LOWES, T., M., BARTELD, H., HEAP, M.P., MICHELFELDER, S., PAI, E., R.: The Prediction of Radiant Heat Transfer in Axisymmetrical Systems. I.F.R.F. Doc. Nr. Go2/a/25, 1973.
- /74/ RICHTER, W., BAUERSFELD : Radiation Models for Use in Complete Mathematical Furnace Models. I.F.R.F. 3-rd. Members Conference, Chapter II, 1974.
- /75/ HUTCHINSON, P., KHALIL, E., E., WHITELAW, J., H.: The Calculation of Wall Heat-transfer Rate and Pollution Formation in Axi-symmetric Furnaces. I.F.R.F. 4-th Members Conference. Session I. Paper 3, 1976.
- /76/ COANDA, V., MURESAN, M.: Modele matematice ale proceselor parțiale dintr-o cameră de ardere. Al V-lea Simpozion de informatică. Cluj-Napoca, 1979.
- /77/ COANDA, V.: Model matematic al distribuției fluxului de căldură într-o cameră de ardere axial-simetrică. Sesiunea tehnico-științ. I.P.T.-V - Timișoara, 1979.
- /78/ RUNCAL, A., K., SPALDING, D., B.: Steady Turbulent Flow and Heat Transfer downstream of a Sudden Enlargement in a Pipe of Circular Cross-section. Imperial College, Mech.Eng. Dept. Report No. EF/TN/A/39, 1971.

- /79/ THARWAT-WAZIER : Zur Modellierung der Turbulenz in eingeschlossenen drallfreien und verdrallten Strömungen. Diss. Univ. Stuttgart, 1978.
- /80/ VRANOS, A., FAUCHER, J., CURTIS, E.: Turbulent Mass Transport and Rates of Reaction in a Confined Hydrogen - Air Diffusion Flame. Twelfth Symposium on Combustion, 1969.
- /81/ ANTON, V., POPOVICIU, M., FITERO, I.: Hidraulică și mașini hidraulice. Editura Didactică și Pedagogică, București, 1978.
- /82/ COANDA, V.: Rezolvarea numerică cu ajutorul sistemului FELIX C-256 a ecuațiilor arderii gazului metan într-un curent turbulent cu recirculare. Sesiunea tehnico-științ. I.P.T-V. Timișoara, 1979.
- /83/ SPIERS, H., M.: Technical Data on Fuel, 6-th Edition, The British National Committee World Power. Conference, 1962.
- /84/ CHEDAILLE, J.: La fondation de Recherches Internationales sur les Flammes. R.G.T. Nr.48, 1965.
- /85/ TISSANDIER, G.: Cold Aerodynamic Tuals or a Fifth Scale Model of the Pulverivel fuel Furnace. G.Inst.Fuel, aug.1960.
- /86/ \* \* \* Tehnica măsurării. Caiet selectiv. București, Dir.Gen. pt.Metrologie, Standarde și Invenții, Nr.9, 1966.
- /87/ HARTEL, W.: Zur Auswertung von Flammenbildern technischer Flammen. Diss. Universität Stuttgart, 1974.
- /88/ CHIRILA, A.: Contribuții la studiul pulverizării și a altor caracteristici ale arderii combustibililor lichizi, în condițiile injectoarelor cu pulverizare prin presiunea aerului. Teză de doctorat, I.P.București, 1970.
- /89/ KLEINE, R.: Geschwindigkeitsmessungen in Verbrennungssystemen mit Laser-Doppler - Anemometer. Rep. SFB 80 Uni. Karlsruhe, 1978.
- /90/ LEE, J., C., ASH, J., E.: A Three Dimensional Spherical Pitot Probe. Trans. of the ASME, apr. 1956.
- /91/ POPOVICI, T.: Contribuții teoretice și experimentale la studiul convecției forțate de căldură și substanță în regim permanent cu aplicare la aerul umed. Teză de doctorat. I.P.T.V. Timișoara, 1976.
- /92/ GORDON, A., N.: Bazele pirometriei, vol.II. Cap.IX-XIII (trad. din limba rusă). I.D.T. București, 1966.
- /93/ LEE, R., H., HAPPEI, J.: Thermal Radiation of Methane Gas. Ind. Eng.Chem.Fundamentals, Nr.3, 1964.

- /94/ SCHMIDT, H.: Über Emission und Absorption in der Bunsenflamme. Annalen der Physik. N.29, 1909.
- /95/ CHEDAILLE, J., BRAND, Y.: Measurements in Flames. Publish. Edward Arnolds. London, 1972.
- /96/ MICHELFELDER, S., LOWES, T., M.: Report on the M-2 Trials. Inst. Flame Res. Found. Doc. Nr.F36/a/4, 1975.
- /97/ THRING, M.W.: The Science of Flames and Furnaces. London, Chapman et Hall Ltd. 1962.
- /98/ RICOU, F., P., SPALDING, D., B.: Measurements of Entrainment by Axisymmetrical Turbulent Jets. J. Fluid Mechanics Nr.6, 1961.
- /99/ GOUFFÉ, A.: Considération sur le rayonnement des flammes éclairantes. R.G.T. Nr.19 și 20, 1963.
- /100/ BRUSDEYLINS, G.: Untersuchung zur Wechselwirkung zwischen Luft- und Feststoffteilchen in einem runden, horizontalen, beladenen Luftfreistrahle. Mitt.Max-Planck Inst. f. Strömungsforschung. Göttingen, 1966.
- /101/ FIELD, M., A., GILL, D., W., MORGAN, E., B., HAWKSLEY, P., G.: Combustion of Pulverised Fuel. The British Coal Association, Leatherhead, 1967.
- /102/ COANDA, V.: Calculul distribuției și influența presiunii statice asupra proceselor de ardere a combustibililor gazoși într-un generator magnetohidrodinamic (MHD). A 7-a Sesiune de comunicări tehnico-științifice (ICSITEEMR) București, 1981.
- /103/ COANDA, V.: Modelarea arderii cărbunelui pulverizat într-o flacără difuziv-turbulentă cu recirculație. A 7-a Sesiune de comunicări tehnico-științifice (ICSITEEMR) București, 1981.
- /104/ COANDA, V.: Model matematic privind arderea lignitului în cazanul de 100 t/h de la CET Doicești. Contract de cercetare științifică, ICSITEEMR București - I.P.Cluj-Napoca, Nr.105/1981.

**10** A N E X A (program de calcul - listing)





IAQ=IE+8+IZUS  
 N1 = 1  
 N2 =N1 +INN  
 N3 =N2 +JNN  
 N4 =N3 +INA  
 N5=N4+JNA  
 N6 =N5 +JNN  
 N7=N6  
 M1 =N7 +JNN  
 M2 =M1 +INA  
 M3 =M2 +JNN  
 M4 =M3 +INN  
 M5 =M4 +JNN  
 M6 =M5 +INN  
 M7 =M6 +INA  
 M8 =M7 +INN  
 M9 =M8 +INA  
 M10=M9 +INN  
 M11=M10+INN  
 M12=M11+INN  
 M13=M12+INN  
 M14=M13+INN  
 M15=M14+INN  
 M16=M15+INN  
 M17=M16+INN  
 M18=M17+JNN  
 M19=M18+JNN  
 M21=M19+JNN  
 M22=M21+INN  
 M40=M22+INN  
 M41=M40+INN  
 M42=M41+INN  
 M50=M42+INN  
 M51=M50+INN\*IE

MARTI

26/09/81 08.45.00

M52=M51+INN  
 M53=M52+INN  
 M54=M53+INN  
 M55=M54+INN  
 M56=M55  
 M57=M56  
 M58=M57  
 M59=M58  
 M60=M59+INN  
 M61=M60+INN  
 M62=M61+INN  
 M63=M62+INN  
 M64=M63+INN\*IZUS  
 M65=M64  
 M66=M65  
 M67=M66+INN  
 M68=M67  
 M69=M68+INN  
 M70=M69+INN  
 M75=M70+INN  
 L1 =M75  
 L2 =L1 +INN  
 L3 =L2 +INN  
 L4 =L3 +INN  
 L5 =L4 +INN  
 L6 =L5 +INN  
 L7 =L6 +INN  
 L8 =L7 +INN  
 L9 =L8 +INN  
 L11=L9 +INN  
 L12=L11+JNN\*2



```

COMMON/CKONST/PI, SIGMA
COMMON/CTUBE/DT
COMMON/CEMISS/EM, RUM, ALPHA, ET, RST
COMMON/CZZZ/Z11, Z12, Z13, Z14, Z15, Z16,
1      Z21, Z22, Z23, Z24, Z25, Z26, Z29, SPFK, PSIC
COMMON/CRASS/DK, DLP, DLS
COMMON/RELAX/TWF, RUMF, ZMUMF
COMMON/MARKE/MARKE
COMMON/CINPR/INPR(5)
COMMON/GEU/XDRUCK, YDRUCK, XEINH, YEINH
COMMON/DRU/XENTY, XBDUJ, XSTRCH, XSTERN, XPLUS, XA(10), NVJ
COMMON/CRF/BRREF(10), PPRREF, TREF, RUREF, ENREF, PREF
COMMON/CCHECK/RSDU(20), RP(20), CC, UC, NMAX, NFRIN
COMMON/CRIN/AFK(10), AKENER(10)
COMMON/CORD/AR(10), BR(10), CR(10)
LOGICAL MARKE

```

```

DATA  IN, NF, NVT, NK, NL, NM, NKJ, NEN/
1      1, 2, 3, 4, 5, 6, 7, 8, 9, 11, 12, 10/
DATA  IE, ISTR, IGR, IKJ/
1      10, 1, 3, 0/
DATA  IHW, IH, JHW, JH/
1      20, 20, 20, 20/
DATA  JA, JA1, JB, JC, IAB, IC/
1      3, 4, 8, 20, 1, 20/
DATA  XDRUCK, YDRUCK/126.0, 50.0/
DATA  NVJ/10/
DATA  XENTY, XBDUJ, XSTRCH, XSTERN, XA/1H, 1H., 1H-, 1H*,
1      1H1, 1H2, 1H3, 1H4, 1H5, 1H6, 1H7, 1H8, 1H9, 1H*, 1H./
DATA  XPLUS /1H+/
DATA  DK, DLP, DLS/

```

PARTI 20/09/81 16.45.23

```

1 15., 0., 270./
DATA TPC, TSC /
1 10., 25./
DATA PREF/101325./
DATA PR, ZMW, GCPH/
1 1.0, 1.0, 1.0, 7*0.7, 10*1.0,
2 10.042, 28.01, 32.0, 18.016, 44.01, 28.016, 4*0.0,
3 8317.1/
DATA STC1, STC2, HK/
1 1.000, 0.0, 5.990, 2.240, 2.743, 5*0.0,
5 10*0.0,
3 50100., 9*0./
DATA PI, SIGMA /
1 3.141592654, 5.07E-11/
DATA BRP, BRB/
1 0.292, 0., 0., 0., 0.001, 0.007, 4*0.,
2 0., 0.0, 0.275, 0.005, 0.0, 0.722, 4*0./
DATA DT/
1 0.033/
DATA EM, ALPHA/
1 0.071, 0.005815/
DATA ET/
1 0.071/
DATA AFR, BRK/
1 0.0, 0.143/
DATA TGRD1, TGRD2, ZK1, ZK2, CHY, CDU, CC1, CC2, CC3/
1 0.010, 0.0007, 0.035, 0.0175,
2 1.000, 0.075, 3.01, 0.150, 0.750/
DATA SPFK, PSIC/
1 10., 0./
DATA RP, CC, UC, NMAX, NFRIN/
10, 0.0, 10*1., 0.0, 1000., 100, 100/
DATA AFRK, AKENER/
1 2.345 E+11, 1.2456 E+12, 0*0.0,

```















```

C *****
C
READ(5,101) AJYMBL, TIME
IHM=I-1
J44=J-1
DO 3 I=2,INY
3 DELX1(I)=0.5*(X1(I+1)+X1(I-1))
DELX1(1)=0.5*(X1(2)+X1(1))
DELX1(I4)=0.5*(X1(I4)+X1(I4-1))
DO 4 J=2,JK4
4 DELX2(J)=0.5*(X2(J+1)+X2(J-1))
DELX2(1)=0.5*(X2(2)+X2(1))
DELX2(J4)=0.5*(X2(J4)+X2(J4-1))
DO 5 J=1,JK4
5 R(J)=X2(J)
DO 6 L=1,IE
6 INDE(L)=1
IF(IE.EQ.20) GOTO 7
IE1=IE+1
DO 7 L=IE1,20
7 INDE(L)=9
8 CONTINUE
INDE(7)=9
101 FORMAT(20A4)
INDE(3)=9
INDE(7)=9
DO 30 L=1,J
30 INI(L)=1
DO 31 L=1,IE
31 INI(L)=1
DO 32 L=1,JK4
32 INI(L)=1
DO 33 L=1,JK4
33 INI(L)=1
DLP=1/P/30000
DLS=DLS/30000
DKLP=DK+DLP
DKLPS=DKLP+DLS
FPSREF=DKLP/DKLP
DO 300 L=1,IE
300 FPS(L)=(DLS*INI(L)+DLS*FPS(L))/DKLPS
FPS(L)=FPS(L)-DK(L)
CONTINUE
P1P(1)=P1(1)+FPS(1)/STC1(1)
P1S(1)=P1S(1)+FPS(1)/STC1(1)
P1P(4)=P1P(4)-FPS(4)
P1S(4)=P1S(4)-FPS(4)/STC1(4)
P1P(1)=P1P(1)+FPS(1)/STC1(1)
P1S(1)=P1S(1)+FPS(1)/STC1(1)
P1P(4)=P1P(4)-FPS(4)
P1S(4)=P1S(4)-FPS(4)/STC1(4)
DO 311 L=1,IE
311 CONTINUE
RUP=0.1*VLC(TMS)
SUM=0.0

```





```

11 DO 10 I=IAB,IC
   TINT=FLD*AT(NT(I))
   ANAT(I)=(DELX1(I)+TINT+DT*PI/4.0)/DELX1(I)
   ANAT(I)=1.519
   IF(X1(I) .LT. 2.22) ANAT(I)=1.641
   TRALT(I)=TAC(I)
   RDT=1.-ET
   ZZ4=1.-RDT*RDT*FPT(I)
   ZZ1(I)=(1.-FPT(I))/ZZ4
   ZZ2(I)=(1.-RDT*FPT(I))/ZZ4
   EEPF(I)=1.-0.5*(RJA+RDT*FPT(I))-0.5*ZZ1(I)*RDM*(1.-FPT(I))
   TH4=EM*((273.15+TRALT(I)))**4
   TH4=TH4
   TH4(I)=(0.5*ZZ1(I)*TH4+(FLVER(I)-0.5)*TH4)/EEPFI

```

PART I 25/09/81 08.46.01

```

   ALPHA(I)=ALPHAM(I)*FLVER(I)+(ANAT(I)-1.)*ALPHAR(I)
   TAC(I)=((FLVER(I)-0.5)*ALPHAM(I)*THARM(I)
1      +0.5*ALPHAM(I)*THARM(I)
2      +(ANAT(I)-1.)*ALPHAR(I)*20.)/ALPHA(I)
40 CONTINUE
200 CONTINUE
   DO 20 J=1,J
   DO 20 I=1,IN
   IF(MARKE) GOTO 500
   A(I,J,NH)=0.01
   A(I,J,NF)=-((DKLPS/(2.*PI*X2(JN)))*(X2(JN)-X2(J)))
   A(I,J,NK)=2.4
   A(I,J,NL)=300000.0
   A(I,J,NM)=FPSREF
   ZHU(I,J)=0.01
   V1(I,J)=0.0
   V2(I,J)=0.0
   IF(IBR .LT. 1) GOTO 600
   DO 50 L=1,IBR
   A(I,J,NH+L)=BRREF(L)
60 CONTINUE
600 CONTINUE
   IF(ISTR .LT. 1) GOTO 700
   A(I,J,NEM)=ENREF
700 CONTINUE
   T(I,J)=TREF
   R0(I,J)=R0REF
800 CONTINUE
   J1(I,J)=0.0
   J2(I,J)=0.0
   A(I,J,MVT)=VT(J)*R(J)
20 CONTINUE
   R(1)=R(1)
   R(2)=R(JC)
   R(3)=R(JN)
   DO 80 J=2,JNM
   CNEFN(1)=(R(J-1)-R(J))*(R(J-1)-R(J+1))
   CNEFN(2)=(R(J )-R(J-1))*(R(J )-R(J+1))
   CNEFN(3)=(R(J+1)-R(J-1))*(R(J+1)-R(J))
   DO 11 L=1,3
81 A022(J,L)=2.0/CNEFN(L)
   RM=R(J)
   AB12(J,1)=(R1-R(J ))+(R1-R(J+1))/CNEFN(1)
   AB12(J,2)=(R2-R(J-1)+(R2-R(J+1))/CNEFN(2)
   AB12(J,3)=(R3-R(J-1)+(R3-R(J )))/CNEFN(3)
   IF(J .EQ. 2 .AND. J .EQ. JC-1 .AND. J .EQ. JNM) GOTO 80
   IF(J .EQ. 2) L=1

```

PART I 25/09/81 08.46.01

```

IF(J .EQ. JC-1) L=2
IF(J .EQ. JNM) L=3
RM=R0(L)
ABL12H(L,1)=((RM-R(J ))+(RM-R(J+1)))/CNENN(1)
ABL12H(L,2)=((RM-R(J-1))+(RM-R(J+1)))/CNENN(2)
ABL12H(L,3)=((RM-R(J-1))+(RM-R(J )))/CNENN(3)
CONTINUE
X11(1)=X1(1)
X11(2)=X1(IC)
X11(3)=X1(IN)
IH=IN-1
DO 90 I=2,IH
CNENN(1)=(X1(I-1)-X1(I ))*(X1(I-1)-X1(I+1))
CNENN(2)=(X1(I)-X1(I-1))*(X1(I)-X1(I+1))
CNENN(3)=(X1(I+1)-X1(I-1))*(X1(I+1)-X1(I))
DO 91 L=1,3
91 AB21(I,L)=2.0/CNENN(L)
XM=X1(I)
AB11 (I,1)=((XM-X1(I ))+(XM-X1(I+1)))/CNENN(1)
AB11 (I,2)=((XM-X1(I-1))+(XM-X1(I+1)))/CNENN(2)
AB11 (I,3)=((XM-X1(I-1))+(XM-X1(I )))/CNENN(3)
IF(I.NE.2.AND.I.NE.IC-1.AND.I.NE.IN-1) GO TO 90
IF( I .EQ. 2) L=1
IF( I .EQ. IC-1) L=2
IF( I .EQ. IN-1) L=3
XM=X11(L)
ABL11H(L,1)=((XM-X1(I ))+(XM-X1(I+1)))/CNENN(1)
ABL11H(L,2)=((XM-X1(I-1))+(XM-X1(I+1)))/CNENN(2)
ABL11H(L,3)=((XM-X1(I-1))+(XM-X1(I )))/CNENN(3)
CONTINUE
90 STRFK1=0.0
STRFK2=1.0
Z11=2./(1.+COS(P8I0))
Z12=2.*(1.-COS(P8I0))
Z13=(4./3.)*Z12*SI0MA
Z10=Z12/Z11
Z14=2.-EM
Z15=EM
Z21=2.*PI*COS(P8I0)/(PI-2.*P8I0+2.*COS(P8I0)*SIN(P8I0))
Z22=2.*COS(P8I0)
Z23=(4./3.)*Z22*SI0MA
Z20=Z22/Z21
Z24=0.5*(2.-SPFK)
911 FORMAT ((40I2))
912 FORMAT(10E0.5/10E0.5)
913 FORMAT(10F5.5)
914 FORMAT ((10F0.1))

MARTI 26/09/81 08.40.01

915 FORMAT(1H ,30I4)
916 FORMAT (1H ,20F6.2)
917 FORMAT(1H ,10F13.3)
918 FORMAT (1H ,10F13.0)
RETURN
END

MARTI 26/09/81 08.40.01

```

ALL COURS DE LA COMPILATION :

VARIABLES NON REFERENCEES :

MODULE	CREF	TYPE	C	LONGUEUR	0030 (00060)
MODULE	CNAME	TYPE	C	LONGUEUR	0270 (00624)
MODULE	CABL	TYPE	C	LONGUEUR	0048 (00072)
MODULE	MARKE	TYPE	C	LONGUEUR	0004 (00004)
MODULE	CRD	TYPE	C	LONGUEUR	0008 (00008)
MODULE	CHASS	TYPE	C	LONGUEUR	0000 (00012)
MODULE	CZZZ	TYPE	C	LONGUEUR	0030 (00060)
MODULE	CEM189	TYPE	C	LONGUEUR	0014 (00020)
MODULE	CSTRFK	TYPE	C	LONGUEUR	0008 (00008)
MODULE	CTUBE	TYPE	C	LONGUEUR	0000 (00004)
MODULE	CTURB	TYPE	C	LONGUEUR	0058 (00050)
MODULE	CKONST	TYPE	C	LONGUEUR	0008 (00000)
MODULE	CSTOFF	TYPE	C	LONGUEUR	0060 (00120)
MODULE	CVEL	TYPE	C	LONGUEUR	0010 (00010)
MODULE	CCHEM	TYPE	C	LONGUEUR	0078 (00120)
MODULE	CEN	TYPE	C	LONGUEUR	0000 (00012)
MODULE	CTEMP	TYPE	C	LONGUEUR	0010 (00010)
MODULE	CKUNZ	TYPE	C	LONGUEUR	0118 (00280)
MODULE	CNUMBR	TYPE	C	LONGUEUR	0030 (00040)
MODULE	INOUT	TYPE	C	LONGUEUR	0000 (00012)
MODULE	CINDEX	TYPE	C	LONGUEUR	0008 (00104)
MODULE	CINJN	TYPE	C	LONGUEUR	0018 (00024)
MODULE	CYLI	TYPE	C	LONGUEUR	0020 (00044)
MODULE	CGRID	TYPE	C	LONGUEUR	0058 (00050)
MODULE	GEOMET	TYPE	P	LONGUEUR	2350 (09200)

## \* SEGMENT

\* FETCHS LN:GILI,DVT:AD,VS:DIMAS1, FN:GASZU

SUBROUTINE GASZU(A,I,J,IH,JH)

COMMON/CGRID/INM,IN,JNM,JI,INSP,JNSP,INH,JNH,IL,IR,JU,JO,INM,JNM

COMMON/CYLI/JAX,JAXI,JA,JA1,JB,JC,JCM,IABN,IAB,ICH,IC

COMMON/CINDEX/INDE(20),IE,ISTR,ISR,IKJ,IZOS,IAJ

COMMON/CNUMBER/NA,IF,DVT,NK,PL,NN,NKJ(5),NER

COMMON/CKONZ/BRP(10),BRS(10),BRPS(10),PHIP(10),PHIS(10),PHIPS(10),

1 CMJ(10)

COMMON/CHEM/ STC1(10),STC2(10),HK(10)

DIMENSION A(IH,JH,1)

IF(IGR.EQ.0) GOTO 100

FPS=A(I,J,NI)

FST=1./STC1(3)

FM040=FPS\*BRP(1)

FM020=(1.-FPS)\*BRS(3)

IF(FM020.LE.0.0) FM020=1.0E-08

FV=FM040/FM020

LNKJ(1)

A(I,J,L)=0.0

IF(FV.GT.FST)

1 A(I,J,L)=FPS\*PHIPS(1)+PHIS(1)

IF(A(I,J,L).GT.BRP(1)) A(I,J,L)=BRP(1)

IF(A(I,J,L).LT.0.0) A(I,J,L)=0.0

CMJ(1)=A(I,J,L)

LNKJ(2)

A(I,J,L)=0.0

IF(A(I,J,L).GT.1.0) A(I,J,L)=1.0

IF(A(I,J,L).LT.0.0) A(I,J,L)=0.0

CMJ(2)=A(I,J,L)

LNKJ(3)

A(I,J,L)=0.0

IF(FV.LE.FST)

1A(I,J,L)=STC1(3)\*(FPS\*PHIPS(1)+PHIS(1))

IF(A(I,J,L).GT.BRS(3)) A(I,J,L)=BRS(3)

IF(A(I,J,L).LT.0.0) A(I,J,L)=0.0

CMJ(3)=A(I,J,L)

CMJ(4)=STC1(4)\*(A(I,J,NI)\*PHIPS(4)+PHIS(4)-CMJ(1))

IF(CMJ(4).GT.1.0) CMJ(4)=1.0

CMJ(5)=A(I,J,NI)\*BRPS(5)+BRS(5)

CMJ(5)=1.-(CMJ(1)+CMJ(2)+CMJ(3)+CMJ(4)+CMJ(6))

DO 200 L=1,IAJ

IF(CMJ(L).LT.0.0) CMJ(L)=0.0

200 CONTINUE

RETURN

100 CONTINUE

DO 300 L=1,IAJ

300

CMJ(L)=A(I,J,NI)\*BRPS(L)+BRS(L)

CONTINUE

RETURN

END

```

* FETCHS LNSGIL1,UNTSAD,NS:DI IAS1,PN,TE,PEK
SUBROUTINE TEMPER(X1,X2,DELX1,DELX2,IMIN,IMAX,N,
2  EEFF,ALPHA1,ALPHA2,ALPHA3,ALPHA4,ALPHA5,CH1,CL1,CRE,
4  A,T,RU,ZRO,      EAK,
5  Q1,Q2,AA,      CPP,
9  TG,IIA,III)
COMMON/GRID/I  ,I1,IIA,III,J1,JSF,JS,SP,IAH,JIH,IL,IR,JU,JU,I  M,JM
COMMON/CYLI/JAX,JA1,JA,JA1,JS,JS,JC,JC,IAH,IAH,ICW,IC
COMMON/CINJ/I  1,II1,II2,II3,II4,II5,II6
COMMON/CI  DE/ID(2),IE,IS1,IS2,IS3,IS4,IS5,IS6
COMMON/CRUNK/  M,  P,  Q,  R,  S,  T,  U,  V,  W,  X,  Y,  Z,  AA(5),REN
COMMON/CRZ/BRP(10),CRS(10),CRS(10),PHIP(10),PHIS(10),PHIPS(10),
* CMJ(10)
COMMON/CE/ENP,ENS,E  PS
COMMON/CCHE/STC1(10),STC2(10),TK(10)
COMMON/C  ITER/NITER
COMMON/CSTOFF/PR(20),ZMH(10),GCPN,RR
COMMON/CTUR3/TGRD1,TGRD2,TKS,TKP,WHP,WHS,CHY,CDU,CC1,CC2,CC3,CSRT
1  ,ZK1,ZK2
COMMON/CONST/PI,SIG  MA
COMMON/CEISS/E  H,RR,ALPHA,ET,RT
COMMON/RELAX/TAF,RR  E,Z  ONF

```

```

C
DIMENSION X1(1),X2(1),DELX1(1),DELX2(1),IMIN(1),IMAX(1),R(1),
UEEFF(1),ALPHA1(1),ALPHA2(1),
2  ALPHA3(1),CH1(1),CL1(1),CRE(1),
3  A(II  ,JH,1),R(II  ,1),T(II  ,1),ZMH(II  ,1),
4  EAK(II  ,1),AA(II  ,JH,1),Q1(II  ,1),Q2(II  ,1),
5  CPP(II  ,1),
6  TG(II  ,1)

```

```

C
DO 1 J=1,JS
IL=I-IN(J)
IH=IMAX(J)
DO 1 I=IL,IH
CALL GABZJ(A,I,J,IIH,JS)
TPR=T(1,J)
CPP(I,J)=CPP(ITL(TP  ,CMJ))
IF(I  DE(REN).NE.1) GO TO 10
AA(I,J,1)=CMJ(4)
T(I,J)=273.15+(A(I,J,1)-CH1(1)*TK(1)-CMJ(2)*TK(2))/CPP(I,J)
GO TO 11
10 CONTINUE
T(I,J)=273.15+(A(I,J,1)*E  PS+ENS)/CPP(I,J)
11 CONTINUE
T(I,J)=TAF*T(I,J)+(1.-TAF)*TPR

```

PARTI 26/09/81 08.46.52

```

IF(T(I,J) .LT. 273.15) T(I,J)=273.15
IF(T(I,J) .GT. 2773.15) T(I,J)=2773.15
TG(I,J)=(T(I,J)**4)
IF(A(I,J,K) .LT. 0.0) A(I,J,K)=0.0
IF(A(I,J,IL) .LT. 0.0) A(I,J,IL)=0.0
IF(A(I,J,IS) .LE.0.0 .AND. A(I,J,IL) .LE. 0.0) GO TO 81
ZMH=RR(I,J)*A(I,J,K)/(SQRT(A(I,J,IL)))
GO TO 82
81 CONTINUE
ZMH=0.0
82 CONTINUE
ZMH(I,J)=ZMH*F*ZMH+(1.-ZMH*F)*ZMH(I,J)
IF(1.GT.IAH .AND. 0.LE.IH) GO TO 83
1  ZMH(I,J)=0.0
83 CONTINUE
DO 301 L=1,III
ZMH=ZMH+O  S(L)/ZMH(L)
301 CONTINUE
KPR=K(I,J)

```





```

DO 2 J=J0,J1
V1(1,J)=ADF(IAB,J,2,IF,X1,X2,A,I,J,NW)/(R(J)*RO(IAB,J))
V2(1,J)=0.0
CONTINUE
J0=J0-1
DO 31 J=2,J0
V1(IN,J)=ADF(IN,J,2,IF,X1,X2,A,I,J,INW)/(R(J)*RO(IN,J))
V2(IN,J)=0.0
31 CONTINUE
I=2
J=3
BB=1./((X2(I)-A2(I))/(X2(J)-A2(I)))**2)
DO 10 I=1,IQ
V1(I,1)=BB*V1(I,2)-(BB-1.)*V1(I,3)
10 CONTINUE

```

PARTI 26/09/81 18.47.07

RETURN  
END

PARTI 26/09/81 18.47.07

AU COURS DE LA COMPILATION :

VARIABLES NON REFERENCEES :  
DELX1 DELX2

PARTI 26/09/81 18.47.13

```

* SEGMENT
* FETCHE LUS:GIL1, DYT:AD, VSD:INASI, F:ISTRANL
SUBROUTINE STRANL(X1,X2,DELX1,DELX2,IMIN,IMAX,R,
1 TAC, TAW,
2 EFF,
3 ZZ1,ZZ2,BR1,H1,ER1,
4 EAK,
5 A1,A2, SOUSTR,
6 A1,AB11,AB12,AB21,AB22, TG,IIW,JJB)
COMMON/CGRID/IN ,I ,JUN,JP,INSP,JPSP,INH,JNH,IL,IP,JI,JO,IN*,JNH
COMMON/CYLI/JAX,JAX1,JA,JJ1,JB,JC,JCH,IABR,IAR,ICM,IC
COMMON/CTIUN/INI,I 2,INS,INS,INS,INGS
COMMON/CINDEX/INDEX(20),IE,IST1,IMR,INJ,IZCS,IAG
COMMON/CDL/ ,DE,DT,DK, ,L, ,KJ(S),NE
COMMON/CTEMP/TAC,TSC,TP,TS
COMMON/CK/ST/PI,BIG1
COMMON/CST/ST/STREF1/STREF2
COMMON/CE ISS/EN, ,ALPHA,ST,ROT
COMMON/CZZZ/Z11,Z12,Z13,Z14,Z15,Z16,
1 ZZ1,ZZ2,ZZ3,ZZ4,ZZ5,ZZ6,ZZ9,SPFK,PSIO
COMMON/CP/POP,RLS
COMMON/CASL/ABL11(3,3),ABL12(3,3)

```

```

C
DIMENSION X1(1),X2(1),DELX1(1),DELX2(1),IMIN(1),IMAX(1),R(1),
1 EFF(1),
2 TAC(1),TAW(1),ZZ1(1),ZZ2(1),
3 BR1(1),H1(1),ER1(1),
4 EAK(IIW,1),B1(II ,1),B2(II ,1), SOUSTR(IIW,1),
5 A1(II ,1),AB11(II ,1),AB12(II ,1),AB21(II ,1),AB22(II ,1),
6 T(II ,1)

```

C

```

IL=IAB+1
IH=IN-1
DO 20 I=IL, IH
Z24=2.-EEFF(I)
Z25=EEFF(I)
IF(I .LT. IC) JR=J+1
IF(I .GE. IC) JR=J0
JH=JR-1
IF(I .LT. IC) LL=3
IF(I .GE. IC) LL=2
DO 21 J=1, JR
DO 21 K=1, JR
A1(J,K)=0.0
21 CONTINUE
BR1(1)=0.0

MARTI 26/09/81 08.17.18

IF(I .LT. IC) BR1(JR)=(Z23/Z21)*EEFF(I)*TAW(I)
IF(I .GE. IC) BR1(JR)=(Z23/Z21)*EEFF(I)*TG(I, JR)
DO 23 K=1, 3
A1(1,K)=ABL12*(1,K)
23 CONTINUE
DO 24 J=2, JH
ABLK= (EAK(I-1, J+1)-EAK(I-1, J-1))
1 +2.0*(EAK(I, J+1)-EAK(I, J-1))
2 + (EAK(I+1, J+1)-EAK(I+1, J-1))
ABLK=ABLK/(0.0*DELX2(J))
HILF1=Z29+R(J)*Z21*EAK(I, J)
HILF=(R(J)*R(J)*Z21*ABLK-R(J)*Z21*EAK(I, J)-2.*Z29)
1 / (HILF1*HILF1)-0.5*SPFK/HILF1
HILF2=0.5*SPFK*(R(J)*R(J)*Z21*ABLK-0.5)
1 / (R(J)*HILF1*HILF1)+Z21*EAK(I, J)
DO 25 L=1, 3
K=J-2+L
A1(J,K)=-AB22(J,L)*R(J)/HILF1+HILF*AB12(J,L)
25 CONTINUE
A1(J,J)=HILF2+A1(J,J)
BR1(J)=Z23*( +EAK(I, J)*TG(I, J))
24 CONTINUE
DO 26 L=1, 3
K=JR-3+L
A1(JR,K)=Z24*ABL12*(LL,L)*R(JR)/(Z29+R(JR)*Z21*EAK(I, JR))
26 CONTINUE
A1(JR, JR)=0.5*SPFK*Z24/(Z29+R(JR)*Z21*EAK(I, JR))+Z25*A1(JR, JR)
DO 113 J=1, JR
ER1(J)=BR1(J)
DO 114 IKK=1, JR
JJ=(J-1)*JR+IKK
114 ABA(JJ)=A1(IKK, J)
113 CONTINUE
CALL RESUL(ABA, ER1, JK, KUD, 0.000001)
IF(KUD.EQ.1) STOP 1
DO 27 J=2, JH
SUSTR(I, J)=2.*Z22*SIGMA*(
1 +EAK(I, J)*TG(I, J))-1.5*Z21*EAK(I, J)*ER1(J)
Q2(I, J)=(-1.5*R(J)/(Z29+R(J)*Z21*EAK(I, J)))*(AB12(J, 1)*
+ER1(J-1)+AB12(J, 2)*ER1(J)+AB12(J, 3)*ER1(J+1)
2 +0.5*SPFK*ER1(J)/R(J))
27 CONTINUE
Q2(I, JR)=(-1.5*R(JR)/(Z29+R(JR)*Z21*EAK(I, JR)))*(ABL12*(LL, 1)*
1 ER1(JR-2)+ABL12*(LL, 2)*ER1(JR-1)+ABL12*(LL, 3)*ER1(JR)
2 +0.5*SPFK*ER1(JR)/R(JR))
DO 28 J=1, JR
ER1(J)=.)
28

```

```

20 CONTINUE
IF(STRFK1 .EQ. 0.0) GOTO 39
DO 30 J=2, JMAX
IL=IMIN(J)+1
IH=IMAX(J)-1
IF(J .EQ. JC) I=IC-1
IR=IH+1
IF(J .LT. JC) LL=3
IF(J .GE. JC) LL=2
DO 31 I=1, I'
DO 31 K=1, IR
A1(I,K)=0.0
31 CONTINUE
BR1(I)=(Z13/Z11)*EW*TG(IAB,J)
BR1(I)=-BR1(I)
IF(I.LT.JC) BR1(I)=(Z13/Z11)*EW*TG(IR,J)
IF(J.GE.JC) BR1(I)=(Z13/Z11)*EW*TG(IR,J)
DO 33 K=1,3
A1(I,K)=Z14*ABL11(I,K)/(Z11*EAK(IAB,J))
33 CONTINUE
A1(I,1)=Z15*A1(I,1,2)
A1(I,2)=Z15*A1(I,2,3)
HILP=EW*(Z-1,J-1)*FA1(Z-1,J-1)
1 +2.0*(EAK(I+1,J)-EAK(I-1,J))
2 + (EAK(I+1,J+1)-EAK(I-1,J+1))
ABLK=ABLK/(8.0*DELA1(I))
HILP=ABLK/(Z11*EAK(I,J)*EAK(I,J))
DO 35 L=1,3
K=I-2+L
A1(I,K)=-AB21(I,L)/(Z11*EAK(I,J))+HILP*AB11(I,L)
35 CONTINUE
A1(I,I)=Z11*EAK(I,J)+A1(I,I)
BR1(I)=Z13*(EAK(I,J)*TG(I,J))
34 CONTINUE
DO 36 L=1,3
K=IR-3+L
A1(IR,K)=Z14*ABL11(LL,L)/(Z11*EAK(IH,J))
36 CONTINUE
A1(IR,IR)=Z15+A1(IR,IR)
C *****
DO 37 I=2, IH
SOUST(I,J)=SOUSTR(I,J)
1 +2.*SIG*A*Z12*(
2 +EAK(I,J)*TG(I,J))-1.5*Z11*EAK(I,J)*ER1(I)
Q1(I,J)=-(1.5/(Z11*EAK(I,J)))*(AB11(I,1)*ER1(I-1)+AB11(I,2)
1 *ER1(I)+AB11(I,3)*ER1(I+1))
37 CONTINUE

```

MARTI 26/09/81 08.47.18

```

Q1(IAB,J)=-(1.5/(Z11*EAK(IAB,J)))*(ABL11W(1,1)*ER1(IAB)+ABL11W(1,2)
1 *ER1(IAB+1)+ABL11W(1,3)*ER1(IAB+2))
Q1(IR,J)=-(1.5/(Z11*EAK(IR,J)))*(ABL11W(LL,1)*ER1(IR-2)
1 +ABL11W(LL,2)*ER1(IR-1)+ABL11W(LL,3)*ER1(IR))
DO 38 I=1, IR
38 ER1(I)=0.0
39 CONTINUE
CONTINUE
RETURN
END

```

MARTI 26/09/81 08.47.18



```

5 A(L46),A(L47),A(L48),IH,IJH,JNH)
CALL BOUNCT(A(N1),A(N2),A(N3),A(N4),A(N5),A(N6),A(N2),
1 A(M1),A(M2),A(M3),A(M4),A(M5),A(M6),A(M7),A(M8),A(M9),
2 A(M11),A(M12),A(M13),A(M14),A(M15),A(M16),A(M17),A(M18),A(M19),
3 A(M21),A(M22),A(M50),A(M51),A(M52),A(M53),A(M54),A(M55),A(M61),
4 A(M62),A(M66),A(L11),A(L12),A(L13),A(L14),
5 A(L46),A(L47),A(L48),IH,IJH,JNH)

```

```

C
1 CONTINUE
  NITER=NITER+1

```

```

C
CALL TEIPER(A(N1),A(N2),A(N3),A(N4),A(N5),A(N6),A(N2),
1 A(M12),A(M13),A(M14),A(M15),A(M16),A(M17),A(M18),
2 A(M50),A(M51),A(M52),A(M53),A(M60),A(M61),A(M62),
3 A(M63),A(M66),A(L52),INH,JNH)
CALL MVELCT(A(N1),A(N2),A(N3),A(N4),A(N5),A(N6),A(N2),
1 A(M50),A(M52),A(M54),A(M55),INH,JNH)
IF(ISTR.E).1) CALL STRAHL(A(N1),A(N2),A(N3),A(N4),A(N5),A(N6),
1 A(M2),A(M1),A(M3),A(M12),A(M21),A(M22),A(M40),A(M41),A(M42),
2 A(M60),A(M61),A(M62),A(L68),A(L40),A(L41),A(L42),A(L43),
3 A(L44),A(L52),INH,JNH)

```

```

C
C
DO 2 K=1,IE
  DIFMAX(K)=0.
  RSDU(K)=0.

```

```

C
2 IF(INDE(K).EQ.1) CALL PDEQCT(A(M16),A(M17),A(M18),A(M50),A(M52),
1 A(M53),K,INH,JNH,A(N1),A(N2),A(N3),A(N4),A(N5),A(N6),A(N2))

```

```

C
  M=N+2
  N=N+IHR
  IF(M.GT.N) GO TO 30
  RSDUMX=RSDU(M-1)
  KMX=M-1
  DO 20 K=M,N
  IF(ABS(RSDUMX)-ABS(RSDU(K))) 21,20,20
21 RSDUMX=RSDU(K)
  KMX=K
20 CONTINUE

```

MARTI 26/09/81 08.47.46

```

30 RSDU(M-1)=RSDU(KMX)
  DIFMAX(M-1)=DIFMAX(KMX)
  CONTINUE
  M=N+1
  N=N+IHR+1
  WRITE(6,105) NITER,(RSDU(K),K=1,M),(RSDU(K),K=N,IE),
1 (DIFMAX(K),K=1,M),(DIFMAX(K),K=N,IE)
  RES=RSDU(1)
  DO 3 K=2,IE
  IF(ABS(RSDU(K)).GT.ABS(RES)) RES=RSDU(K)
3 CONTINUE
  IF(NITER.GE.NMAX) GO TO 5
  IF(NITER-100)6,7,7
7 NIN=NIN+NPRI
  KWRITE=1

```

```

C
CALL BOUNCT(A(N1),A(N2),A(N3),A(N4),A(N5),A(N6),A(N2),
1 A(M1),A(M2),A(M3),A(M4),A(M5),A(M6),A(M7),A(M8),A(M9),
2 A(M11),A(M12),A(M13),A(M14),A(M15),A(M16),A(M17),A(M18),A(M19),
3 A(M21),A(M22),A(M50),A(M51),A(M52),A(M53),A(M54),A(M55),A(M61),
4 A(M62),A(M66),A(L11),A(L12),A(L13),A(L14),
1 A(L46),A(L47),A(L48),IH,IJH,JNH)
CALL PRINCT(A(N1),A(N2),A(N3),A(N4),A(N5),A(N6),A(N2),
1 A(M50),A(M51),A(M52),A(M54),A(M63),INH,JNH,IA0)

```

```

WRITE(6,103)
WRITE(6,104)
104 FORMAT('NITER   TURB   FDC   V3   K   H   AMES   CH4
*   ENTL   TURB   FDC   V3   K   H   AMES   CH4
*   ENTL'//)
6   CONTINUE
   IF (ABS(RES) .GT. CC .OR. NITER .LE. 2) GOTU 1
   GO TO 4
5   WRITE(6,108) NITER
   KVRTB1
40  CONTINUE
C
   CALL BOUNCT(A(N1),A(N2),A(N3),A(N4),A(N5),A(N6),A(N2),
1   A(M1),A(M2),A(M3),A(M4),A(M5),A(M6),A(M7),A(M8),A(M10),
2   A(M11),A(M12),A(M13),A(M14),A(M15),A(M16),A(M17),A(M18),A(M19),
3   A(M21),A(M22),A(M50),A(M51),A(M52),A(M53),A(M54),A(M55),A(M61),
4   A(M62),A(M66),A(L11),A(L12),A(L13),A(L14),
1   A(L46),A(L47),A(L48),INW,INH,JNW)
C
101 FORMAT(1H1'//,10X,'SISTEMUL DE ECUATII DIFERENTIALE ESTE REZOLVAT
* PT URMATOARELE VARIABLE'//)

```

MARTI 26/09/81 08.47.46

```

103 FORMAT(///7X,'REZIDUUL RELATIV',43X,'REZIDUUL ABSOLUT'//)
108 FORMAT(10X,' PROCESUL NU CONVERGE DUPA',15,' ITERATII')
106 FORMAT(1H ,13,16(E 0.1))
C
NOB0
INA=INH*JNW-1
INX=INI*IE-1
INY=INI*IZUS-1
RETURN
END

```

MARTI 26/09/81 08.47.46

AU COURS DE LA COMPILATION :

VERTISSEMENT : ETIQUETTE '101' DEFINIE, NON REFERENCEE.

MARTI 26/09/81 08.48.21

```

* SEGMENT
* FETCHS LN8GIL1,DVTIAD,V8DINASI,PN,PRINCT
SUBROUTINE PRINCT(X1,X2,DELX1,DELX2,IMIN,IMAX,R,
4 A,IA,T,RO,VI,
5 AA,IH,JJW,KK)
C
COMMON/CGRID/INH,IN,JN4,J1,INSP,JNSP,INH,JNH,IL,IR,JU,JO,INM,JMH
COMMON/CYLI/JAX,JA1,JA,JA1,JB,JC,JCN,IABW,IAB,ICH,IC
COMMON/CINJN/INI,I2,I3,ING,INS,INOS
COMMON/CINDEX/INDE(20),IE,ISTR,IBR,IKJ,IZUS,IAO
COMMON/CNUMBR/NP,IVT,NK,IL,NM,NKJ(S),NEI
COMMON/CKUNZ/BRP(10),BRS(10),BRPS(10),PHIP(10),PHIS(10),PHIPS(10),
1   CHJ(10)
COMMON/CTEMP/TPC,TSC,TP,TS
COMMON/CE/ENP,ENS,ENPS
COMMON/CC/ET/STC1(10),STC2(10), HK(10)
COMMON/VEL/GIP,GIS,VIMP,VINB
COMMON/CTTR/NITER

```



```

COMMON/CSTOFF/PR(20),ZRN(10),GCPN,RR
COMMON/CEIGS/EI,RO,ALPHA,ET,RTT
COMMON/CINPR/INPR(30)
COMMON/CHANE/INAE(5,2),ASYMBL(30)

```

```

C
DIMENSION H(40)
DIMENSION XI(1),X2(1),DELX1(1),DELX2(1),IINH(1),IMAX(1),R(1),
3 A(IIN,JJ,1),AQ(IIN,JJ,K),T(IIN,1),HU(IIN,1),VI(IIN,1),
4 AA(IIN,JJ,1)

```

```

C
IF(IIDE(NE) .EQ. 1) GOTO 51
DO 50 J=1,JI
IL=IINI(1)
IM=IMAX(J)
DO 50 I=IL,IM
CALL GABZD(K, I,J,IIN,JIN)
AA(I,J,1)=CNU(4)
AA(I,J,2)=CNU(5)
AA(I,J,3)=CNU(6)
50 CONTINUE
51 CONTINUE
IX=1
DO 1 K=1,30
IF(INPR(K) .NE. 1) GOTO 10
L=K
IF(K .GT. IE) L=K+NEN-IE
WRITE(6,100)ASYMBL(L),NITER
DO 5 IP=1,2
III=11

```

MARTI 26/09/81 03.46.21

```

IEMPTY=0
IF(IP .EQ. 1) IEND=10
IF(IP .EQ. 2) IEND=IN
DO 5 JJ=1,JI
J=JN+1-JJ
IF(IP .EQ. 2 .AND. IMAX(J) .LT. 11) GOTO 5
IF(IP .EQ. 1) III=IINH(J)
IF(IP .EQ. 1) IEMPTY=(III-1)/IX
II2=IMAX(J)
IF(IP .EQ. 1 .AND. II2 .GT. 10) II2=10
IF(K .NE. NI .AND. K .NE. NVT .AND. K .NE. IE+1) GOTO 4
DO 4 I=III,II2,IX
W(I)=AQ(I,J,K)
IF(K .EQ. NI) A(I,J,NI)=W(I)*R(J)
IF(K .EQ. NVT .AND. R(J) .GT. 0.0) A(I,J,NVT)=W(I)/R(J)
IF(K .EQ. IE+1) A(I,J,K)=W(I)-273.15
40 CONTINUE
4 CONTINUE
IF(IEMPTY .GE. 1) GO TO 3
WRITE(6,101) J, (A(I,J,K), I=III,II2,IX)
GOTO 2
3 GOTO(31,32,33), IEMPTY
31 WRITE(6,201) J, (A(I,J,K), I=III,II2,IX)
GOTO 2
32 WRITE(6,202) J, (A(I,J,K), I=III,II2,IX)
GOTO 2
33 WRITE(6,203) J, (A(I,J,K), I=III,II2,IX)
2 CONTINUE
IF(K .NE. NI .AND. K .NE. NVT .AND. K .NE. IE+1) GO TO 5
DO 41 I=III,II2,IX
41 AQ(I,J,K)=W(I)
5 CONTINUE
IF(IP .EQ. 1) WRITE(6,102)(I,I=1,IEND)
IF(IP .EQ. 2) WRITE(6,102)(I,I=1,IEND)
WRITE(6,103)
6 CONTINUE

```

```

100 FORMAT(1H1,10X,'DISTRIBUTIA',2X,A4,2X,'DUPA',15,' ITERATII'//)
101 FORMAT(1H ,12,2X,10( E11.3))
102 FORMAT(1H0/10I11//)
103 FORMAT(1H0//)
201 FORMAT(1H ,12,2X,11X,10( E11.3))
202 FORMAT(1H ,12,2X,22X,9( E11.3))
203 FORMAT(1H ,12,2X,33X,8( E11.3))
RETURN
END

```

MARTI 26/09/81 08.48.21

AU COURS DE LA COMPILATION :

VARIABLES NON REFERENCEES :

X1	X2	DELX1	DELX2	T	RD
----	----	-------	-------	---	----

MARTI 26/09/81 08.48.21

MODULE	CGHEM	TYPE	C	LONGUEUR	0078 (00120)
MODULE	CKONZ	TYPE	C	LONGUEUR	0118 (00280)
MODULE	CNUMBR	TYPE	C	LONGUEUR	0030 (00048)
MODULE	CINDEX	TYPE	C	LONGUEUR	0068 (00104)
MODULE	CYLI	TYPE	C	LONGUEUR	0020 (00044)
MODULE	CGRID	TYPE	C	LONGUEUR	0038 (00050)
MODULE	GASZU	TYPE	P	LONGUEUR	0630 (01584)
MODULE	RELAX	TYPE	C	LONGUEUR	0000 (00012)
MODULE	CEMISS	TYPE	C	LONGUEUR	0014 (00020)
MODULE	CKONST	TYPE	C	LONGUEUR	0008 (00008)
MODULE	CTURB	TYPE	C	LONGUEUR	0038 (00050)
MODULE	CSTOFF	TYPE	C	LONGUEUR	0000 (00128)
MODULE	CNITER	TYPE	C	LONGUEUR	0004 (00004)
MODULE	CGHEM	TYPE	C	LONGUEUR	0078 (00120)
MODULE	CEN	TYPE	C	LONGUEUR	0000 (00012)
MODULE	CKONZ	TYPE	C	LONGUEUR	0118 (00280)
MODULE	CNUMBR	TYPE	C	LONGUEUR	0030 (00048)
MODULE	CINDEX	TYPE	C	LONGUEUR	0068 (00104)
MODULE	CINJN	TYPE	C	LONGUEUR	0018 (00024)
MODULE	CM...	TYPE	C	LONGUEUR	0030 (00048)

MODULE	CBRID	TYPE	C	LONGUEUR	0038 (00050)
MODULE	TEMPER	TYPE	P	LONGUEUR	09C8 (03010)
MODULE	CMASS	TYPE	C	LONGUEUR	000C (00012)
MODULE	CVEL	TYPE	C	LONGUEUR	0010 (00010)
MODULE	CNUHBR	TYPE	C	LONGUEUR	0030 (00040)
MODULE	CINJN	TYPE	C	LONGUEUR	0018 (00024)
MODULE	CYLI	TYPE	C	LONGUEUR	002C (00044)
MODULE	CBRID	TYPE	C	LONGUEUR	0038 (00050)
MODULE	MVELCT	TYPE	P	LONGUEUR	0770 (01904)
MODULE	CABL	TYPE	C	LONGUEUR	0048 (00072)
MODULE	CRO	TYPE	C	LONGUEUR	0008 (00008)
MODULE	CZZZ	TYPE	C	LONGUEUR	003C (00060)
MODULE	CEMISS	TYPE	C	LONGUEUR	0014 (00020)
MODULE	CSTRFK	TYPE	C	LONGUEUR	0008 (00008)
MODULE	CKONST	TYPE	C	LONGUEUR	0008 (00008)
MODULE	CTEMP	TYPE	C	LONGUEUR	0010 (00010)
MODULE	CNUHBR	TYPE	C	LONGUEUR	0030 (00040)
MODULE	CINDEX	TYPE	C	LONGUEUR	0008 (00104)
MODULE	CINJN	TYPE	C	LONGUEUR	0018 (00024)
MODULE	CVLI	TYPE	C	LONGUEUR	002C (00044)
MODULE	CBRID	TYPE	C	LONGUEUR	0038 (00050)
MODULE	STRAHL	TYPE	P	LONGUEUR	10F8 (07672)
MODULE	CDI	TYPE	C	LONGUEUR	0050 (00080)
MODULE	CCHECK	TYPE	C	LONGUEUR	0080 (00170)
MODULE	CNAME	TYPE	C	LONGUEUR	0270 (00624)
MODULE	CKVORT	TYPE	C	LONGUEUR	0004 (00004)
MODULE	CNITER	TYPE	C	LONGUEUR	0004 (00004)

MARTI 26/09/81 08.48.21

MODULE	CNUHBR	TYPE	C	LONGUEUR	0030 (00040)
MODULE	INDUT	TYPE	C	LONGUEUR	000C (00012)
MODULE	CINDEX	TYPE	C	LONGUEUR	0008 (00104)
MODULE	CINJN	TYPE	C	LONGUEUR	0018 (00024)
MODULE	CVLI	TYPE	C	LONGUEUR	002C (00044)

MODULE	ADL	TYPE	C	LONGUEUR	0088 (00130)
MODULE	ADM	TYPE	C	LONGUEUR	0088 (00180)
MODULE	ADN	TYPE	C	LONGUEUR	0010 (00020)
MODULE	FXBLK	TYPE	C	LONGUEUR	0004 (00004)
MODULE	SOLVCT	TYPE	P	LONGUEUR	2470 (09320)
MODULE	CNAME	TYPE	C	LONGUEUR	0270 (00620)
MODULE	CINPR	TYPE	C	LONGUEUR	0078 (00120)
MODULE	CEMISS	TYPE	C	LONGUEUR	0010 (00020)
MODULE	CSTOFF	TYPE	C	LONGUEUR	0080 (00120)
MODULE	CNITER	TYPE	C	LONGUEUR	0004 (00004)
MODULE	CVEL	TYPE	C	LONGUEUR	0010 (00010)
MODULE	CHEM	TYPE	C	LONGUEUR	0078 (00120)
MODULE	CEN	TYPE	C	LONGUEUR	0000 (00012)
MODULE	CTEMP	TYPE	C	LONGUEUR	0010 (00010)
MODULE	CKONZ	TYPE	C	LONGUEUR	0118 (00280)
MODULE	CNUMBR	TYPE	C	LONGUEUR	0030 (00040)
MODULE	CINDEX	TYPE	C	LONGUEUR	0068 (00104)
MODULE	CINJN	TYPE	C	LONGUEUR	0018 (00024)
MODULE	CYLI	TYPE	C	LONGUEUR	0020 (00044)
MODULE	CGRID	TYPE	C	LONGUEUR	0038 (00050)
MODULE	PRINCT	TYPE	P	LONGUEUR	0400 (02752)

ATION (PLUS HAUT NIVEAU D'ERREUR RENCONTRE = 0)

08.48.38

ORTRAN

MARTI

26/09/81 08.48.40

★ SEGMENT

★ FETCHS LNSGILI, DVT:AD, VS:DIHASI, RN, PDEBCT  
 SUBROUTINE PDEBCT(CNA, CLI, CRE, AD, RO, ZHU, K, IIN, JJN, XI, X2,  
 1 DELX1, DELX2, IHIN, IHAK, R)  
 COMMON A(1)  
 COMMON /ADN/ M1, M2, M3, M4, M5, M6, M7  
 COMMON /ADM/ M1, M2, M3, M4, M5, M6, M7, M8, M9,  
 ★ M10, M11, M12, M13, M14, M15, M16, M17, M18, M19,  
 2 M21, M22, M40, M41, M42,  
 3 M50, M51, M52, M53, M54, M55, M56, M57, M58, M59,  
 4 M60, M61, M62, M63, M64, M65, M66, M67, M68, M69, M70

```

1 L11,L12,L13,L14,L15,L16,L17,L18,
4 L31,L32,L33,L34,L35,L36,
5 L40,L41,L42,L43,L44, L46,L47,L48,
6 L50,L51,L52
COMMON/CGRID/INW,IN,JNW,JN,INBP,JNSP,INH,INH,IL,IR,JJ,JO,INH,JJ
COMMON/CYLI/JAX,JAX1,JA,JA1,JB,JC,JCH,IABW,IAB,ICW,IC
COMMON/CINJN/IN1,I12,I13,ING,INS,INGB
COMMON/CNMBR/NH,NF,NVT,NK,IL,NH,NKJ(5),NEV
COMMON/CCOEF/CE,C1,CN,CS,C(5)
COMMON/CCHECK/RSDU(20),RP(20),CC,DC,NMAX,NPRIN
COMMON/CDI/DIFMAX(20)

```

```

C DIMENSION CMA(IIN,1),CLI(1),CRE(1),AQ(IIN,JJN,1),RO(IIN,1),
1 ZMU(IIN,1),X1(1),X2(1),DELX1(1),DELX2(1),IMIN(1),IMAX(1),R(1)

```

```

C DO 10 J=2,JNW
IL=IMIN(J)+1
IH=IMAX(J)-1
IF(JA .EQ. JA1) GOTO 20
IF(J .EQ. JA .OR. J .EQ. JA1) IL=IAB+1
20 CONTINUE
IF(J .EQ. JB) IL=IAB+1
IF(J .EQ. JC) IH=IC-1
DO 10 I=IL,IH
IF(K .EQ. NH .AND. (J .EQ. JA .AND. I .EQ. (IAB+1))) GOTO 100
IF(K .EQ. NH .AND. (J .EQ. JA1 .AND. I .EQ. (IAB+1))) GO TO 100
IF(K .EQ. NH .AND. (J .EQ. JB .AND. I .EQ. (IAB+1))) GO TO 100
GOTO 110
C
100 CALL COEFCT(X1,X2,DELX1,DELX2,IMIN,IMAX,R,
2 CMA,CLI,CRE,
3 RO,ZMU,I,J,NF,IMAX)
YY=AQ(I,J,NF)*(CE+CN+CN+CS)
YY=YY-(CE*AQ(I+1,J,NF)+CN*AQ(I-1,J,NF)+CN*AQ(I,J+1,NF)
1 +CS*AQ(I,J-1,NF))

```

MARTI 26/09/81 08.48.40

```

ZBAG(I,J,NH)
AQ(I,J,NH)=YY/R(J)
GOTO 222
110 CONTINUE
IF((K .EQ. NH .OR. K .EQ. NK .OR. K .EQ. NL)
4 .AND. ((I .LT. IC .AND. J .EQ. JNW
1 .OR. I .GE. IC .AND. J .EQ. JC-1) .OR. (I .EQ. IAB+1 .AND.
2 ((J .GT. JA .AND. J .LT. JA1) .OR. J .GT. JB)) .OR.
3 (J .GE. JC .AND. I .EQ. IC-1))) GOTO 10

```

```

C CALL SOURCECT(A(N1),A(N2),A(N3),A(N4),A(N5),A(N6),A(N7),A(N8),
1 A(N17),A(N18),A(N50),A(N51),A(N52),A(N53),A(N54),A(N55),
2 A(N68),A(N69),A(N70),A(L46),A(L47),A(L48),A(L50),I,J,K,
3 SOURCE,ZO,INH,JNW)

```

```

C CALL COEFCT(X1,X2,DELX1,DELX2,IMIN,IMAX,R,
2 CMA,CLI,CRE,
3 RO,ZMU,I,J,K,INH)
2 IF(K .NE. NF) GOTO 1
IF(K .EQ. NF .AND. (J .EQ. JA .AND. I .EQ. (IAB+1))) GO TO 223
IF(K .EQ. NF .AND. (J .EQ. JA1 .AND. I .EQ. (IAB+1))) GO TO 223
IF(K .EQ. NF .AND. (J .EQ. JB .AND. I .EQ. (IAB+1))) GO TO 223
GOTO 1
223 AQ(I,J,NF)=AQ(I-1,J,NF)
GOTO 10
1 CONTINUE

```

```

C CALL CONVEC(X1,X2,DELX1,DELX2,IMIN,IMAX,R,
1 AQ,I,J,K,AQ,ZU,INH,JNW)
IF(K .EQ. NH) AUBAUK(J)*R(J)

```

```

ANUM=C*CE*(2)*AQ(I+1,J,K)+C*(4)*AQ(I-1,J,K)
1 FCN=C(3)*AQ(I,J+1,K)+CS*(5)*AQ(I,J-1,K)+AU+SOURCE
ADNM=(CE+CM+CN+CS)*C(1)+ZU+ZV
ZBAQ(I,J,K)
AB(I,J,K)=ANUM/ADNM
222 CONTINUE
DIF=AQ(I,J,K)-Z
AQ(I,J,K)=Z+RP(K)*DIF
RSD=DIF/(AQ(I,J,K)+1.0E-08)
RSM=DIF/(0.25*(AQ(I+1,J,K)+AQ(I-1,J,K)+AQ(I,J+1,K)+AQ(I,J-1,K))
1 +1.0E-08)
IF(ABS(RSM) .LT. ABS(RS)) RSM=RSM
IF(ABS(RS) .GT. ABS(RSDU(K))) RSDU(K)=RS
IF(ABS(DIF) .GT. ABS(DIFMAX(K))) DIFMAX(K)=DIF
10 CONTINUE
C

```

MARTI 26/09/81 08.48.40

```

CALL BOUNCT(A(N1),A(N2),A(N3),A(N4),A(N5),A(N6),A(N2),
1 A(M1),A(M2),A(M3),A(M4),A(M5),A(M6),A(M7),A(M8),A(M9),
2 A(M11),A(M12),A(M13),A(M14),A(M15),A(M16),A(M17),A(M18),A(M19),
3 A(M21),A(M22),A(M51),A(M51),A(M52),A(M53),A(M54),A(M55),A(M61),
4 A(M62),A(M66),A(L11),A(L12),A(L13),A(L14),
5 A(L46),A(L47),A(L48),K,IIN,JNN)
RETURN
END

```

MARTI 26/09/81 08.48.40

AU COURS DE LA COMPILATION :

ERTISSEMENT : ETIQUETTE '2' DEFINIE, NON REFERENCEE.

ERTISSEMENT : ETIQUETTE '4' DEFINIE, NON REFERENCEE.

MARTI 26/09/81 08.49.05

```

* SEGMENT
* FETCHS LN8IGL1,DVT8AD,V88DI4A81,FN8COEFCT
SUBROUTINE COEFCT(X1,X2,DELX1,DELX2,IMIN,IMAX,R,
2 CHA,CLI,CRE,
3 RO,ZMU,I,J,K,IIN)
COMMON/CGRID/INH,IN,JNN,J4,IN8P,JN8P,INH,JNH,IL,IR,JU,JO,INM,JNM
COMMON/CYLI/JAX,JAX1,JA,JA1,JB,JC,JCN,IABN,IAB,ICH,IC
COMMON/CINJN/IN1,IN2,IN3,INH,INS,IN8B
COMMON/CHUMBR/NI,TF,DVT,NK,NL,NM,NKJ(5),NEN
COMMON/CSTOFF/PR(20),ZMH(10),GCPM,RR
COMMON/CCOEF/CE,C1,CN,CS,C(5)
DIMENSION B(5)
DIMENSION X1(1),X2(1),DELX1(1),DELX2(1),IMIN(1),IMAX(1),R(1),
1 C(A(1),CLI(1),CRS(1),RO(IIN,1),ZMU(IIN,1)
C
16 DO 16 L=1,5
C(L)=1.0
IF(K .NE. NM) GOTO 2
B(1)=R(J)**3
B(2)=B(1)
B(3)=R(J+1)**3

```



```

B(5)=R(J-1)**3
C(1)=ZMU(I,J)
C(2)=ZMU(I+1,J)
C(3)=ZMU(I,J+1)
C(4)=ZMU(I-1,J)
C(5)=ZMU(I,J-1)
GOTO 20
2 IF(K .NE. NP) GOTO 3
B(1)=1./((R(J)*R(I,J)))
B(2)=1./((R(J)*R(I+1,J)))
B(3)=3.0/(((R(J)+R(J+1))*(R(I,J)+R(I,J+1)))-B(1))
B(4)=1./((R(J)*R(I-1,J)))
B(5)=3.0/(((R(J)+R(J-1))*(R(I,J)+R(I,J-1)))-B(1))
GOTO 20
3 CONTINUE
IF(K .NE. NVT) GOTO 4
B(1)=ZMU(I,J)*R(J)**3
B(2)=ZMU(I+1,J)*R(J)**3
B(3)=ZMU(I,J+1)*R(J+1)**3
B(4)=ZMU(I-1,J)*R(J)**3
B(5)=ZMU(I,J-1)*R(J-1)**3
C(1)=1./((R(J)*P(J)))
C(2)=C(1)
C(3)=1./((R(J+1)*R(J+1)))
C(4)=C(1)

```

MARTI 26/09/81 08.49.05

```

C(5)=0.0
IF(R(J-1).GT.0.0) C(5)=1./((R(J-1)*R(J-1)))
GOTO 20
4 CONTINUE
B(1)=ZMU(I,J)*R(J)/PR(K)
B(2)=ZMU(I+1,J)*R(J)/PR(K)
B(3)=ZMU(I,J+1)*R(J+1)/PR(K)
B(4)=ZMU(I-1,J)*R(J)/PR(K)
B(5)=ZMU(I,J-1)*R(J-1)/PR(K)
20 CONTINUE
CE=(B(2)+B(1))/((X1(I+1)-X1(I))**2.*DELX1(I))
CH=(B(1)+B(4))/((X1(I)-X1(I-1))**2.*DELX1(I))
CN=(B(3)+B(1))/((X2(J+1)-X2(J))**2.*DELX2(J))
CS=(B(1)+B(5))/((X2(J)-X2(J-1))**2.*DELX2(J))
IF(K .NE. NEN) GOTO 40
IF(J.EQ.JNM.OR.(I.GE.IC.AND.J.EQ.JC-1)) GO TO 41
GOTO 42
41 CONTINUE
CN=CMA(I)*PR(NEN)/PR(K)
42 CONTINUE
IF(I .EQ. IAO+1 .AND. ((J .GT. JA .AND. J .LT. JAI)
OR. J .GT. JB)) GOTO 43
GOTO 44
43 CONTINUE
CH=CLI(J)*PR(NEN)/PR(K)
44 CONTINUE
IF(I .EQ. IC-1 .AND. J .GE. JC) GOTO 45
GOTO 40
45 CONTINUE
CE=CRE(J)*PR(NEN)/PR(K)
40 CONTINUE
RETURN
END

```

MARTI 26/09/81 08.49.05

VARIABLES NON REFERENCES :  
IMIN IMAX

MARTI 26/09/81 08.49.21

\* SEGMENT

\* FETCHS LMSGILI, DVTIAD, VSIDIMAS1, FN, SORCCT  
SUBROUTINE SORCCT(X1, X2, DELX1, DELX2, IMIN, IMAX, R,  
2 CMA, CLI, CRE,  
4 A, T, RO, ZMU, V1, V2,  
5 SOUSTR, RCH4, RCO,  
9 WAV1, WVL2, WVR2, GENRAT,  
4 I, J, K, SOURCE, Z0, IIV, JJH)

C

COMMON/CGRID/INW, IN, JHW, JH, INSP, JNSP, INM, JNM, IL, IR, JU, JO, INN, JNH  
COMMON/CYLI/JAX, JAX1, JA, JAI, JB, JC, JCH, IABW, IAB, ICN, IC  
COMMON/CINJN/IN1, IN2, IN3, ING, INS, INGS  
COMMON/CINDEX/INDE(20), IE, ISTR, IOR, IKJ, IZUS, IAG  
COMMON/CNUMBR/NN, NP, NVT, NK, NL, NH, NKJ(5), NEN  
COMMON/CKONZ/BRP(10), BRS(10), BRPS(10), PHIP(10), PHIS(10), PHIPS(10),  
1 CHJ(10)  
COMMON/CCHEM/STC1(10), STC2(10), HK(10)  
COMMON/CMITER/NITER  
COMMON/CASTOFF/PR(20), ZHM(10), GCPM, RR  
COMMON/CTURB/TGRD1, TGRD2, TKS, TKP, WWP, WWS, CHY, CDD, CC1, CC2, CC3, CSORT  
1 , ZK1, ZK2  
COMMON/CCOEF/CE, CW, CN, CS, C(5)  
COMMON/CREP/BRREF(10), FPREP, TREF, ROREF, ENREF, PREP  
COMMON/CKIN/APAK(10), AKENER(10)  
COMMON/CORD/AR(10), BK(10), CR(10)  
COMMON/MARKE/MARKE  
LOGICAL MARKE

C

DIMENSION CAB(5)  
DIMENSION X1(1), X2(1), DELX1(1), DELX2(1), IMIN(1), IMAX(1), H(1),  
1 CMA(1), CLI(1), CRE(1),  
2 A(IIV, JJH, 1), RO(IIV, 1), V1(IIV, 1), V2(IIV, 1), T(IIV, 1), ZMU(IIV, 1),  
3 SOUSTR(IIV, 1), RCH4(IIV, 1), RCO(IIV, 1),  
4 WAV1(1), WVL2(1), WVR2(1), GENRAT(IIV, 1)  
VS2(IV, JV) = V1(IV, JV) \* V1(IV, JV) + V2(IV, JV) \* V2(IV, JV)

C

GOTO(1, 2, 3, 4, 5, 6, 7, 8, 9, 10), K  
PT VITEZA UNGHIOULARA A VIRTEJULUI  
1 SOURCE=0.

C

1

DEM=16.0 \* DELX1(I) \* DELX2(J) / (R(J) \*\* 2)  
S1=RO(I, J+1) + RO(I, J)  
S1=S1 \* (VS2(I+1, J) - VS2(I-1, J) + VS2(I+1, J+1) - VS2(I-1, J+1))  
S2=RO(I, J-1) + RO(I, J)  
S2=S2 \* (VS2(I-1, J) - VS2(I+1, J) + VS2(I-1, J-1) - VS2(I+1, J-1))  
S3=RO(I+1, J) + RO(I, J)  
S3=S3 \* (VS2(I, J-1) - VS2(I, J+1) + VS2(I+1, J-1) - VS2(I+1, J+1))  
S4=RO(I-1, J) + RO(I, J)

MARTI 26/09/81 08.49.21

S4=S4 \* (VS2(I, J+1) - VS2(I, J-1) + VS2(I-1, J+1) - VS2(I-1, J-1))  
SOURCE=SOURCE + (S1 + S2 + S3 + S4) / DEM  
IF(INDE(NVT) .NE. 1) GOTO 100  
SOURCE=SOURCE  
1 + (RO(I+1, J) \* A(I+1, J, NVT) \*\* 2 - RO(I-1, J) \* A(I-1, J, NVT) \*\* 2) /  
2 (2. \* DELX1(I) \* R(J))

100 CONTINUE

Z0=0.  
RETURN

C  
2  
  
C  
6  
  
C  
7  
  
C  
8  
  
C  
9

```
PT FUNCTIA DE CURENT
CONTINUE
IF(A(I,J,NF) .LT. A(1,1,NF))A(I,J,NF)=A(1,1,NF)
SOURCE=A(I,J,NF)*R(J)
IF(I .EQ. IAB+1 .AND. ((J .GT. JA .AND. J .LT. JA1)
1 .OR. J .GT. JB)) SOURCE=MVL2(J)*R(J)
IF(J .EQ. JNB) SOURCE=MV1(I)*R(J)
IF(I .EQ. IC-1 .AND. J .GE. JC)SOURCE=MVR2(J)*R(J)
IF(J.EQ.JC-1.AND.I.GE.IC) SOURCE=MV1(I)*R(J)
ZQ=0.
RETURN
PT FRACTIA AMESTECULUI
CONTINUE
SOURCE=0.
ZQ=0.
RETURN
PT CONCENTRATIA DE CH4
CONTINUE
ARRH=APAK(1)*EXP(-AKE1ER(1)/T(I,J))
ZQ=(A(I,J,K)+1.0E-08) ** (AR(1)-1.)*A(I,J,K+2)**BR(1)
ZQ=ZQ*RO(I,J)
ZV=ZQ*ARRH
RCH4(I,J)=-ZV*A(I,J,K)
SOURCE=0.
ZQ=ZQ*R(J)
RETURN
PT CONCENTRATIA DE CO
CONTINUE
ARRH=APAK(2)*EXP(-AKE2ER(2)/T(I,J))
ZQ=
1 A(I,J,K+1)**BR(2)*A(I,J,K)**CR(2)
ZQ=ZQ*(RO(I,J)**1.75)/(T(I,J)**0.75)
ZQ=ZQ*ARRH
RCO(I,J)=-ZQ*A(I,J,K)
SOURCE=-STC1(2)*RCH4(I,J)*R(J)
ZQ=ZQ*R(J)
RETURN
CONTINUE
```

MARTI 26/09/81 08.49.21

C  
C  
4  
60

```
PT CONCENTRATIA DE O2
SOURCE=(+STC1(3)*RCH4(I,J)+STC2(3)*RCO(I,J))*R(J)
ZQ=0.0
RETURN
PT ENERGIA SPECIFICA CINETICA PULSATORIE
CONTINUE
IF(MARKE) GO TO 50
IF(NITER .LT. 10)GOTO 50
CONTINUE
H1=DELX1(I)*2.0
H2=DELX2(J)*2.0
HE=X1(I+1)-X1(I )
HN=X1(I )-X1(I-1)
HM=X2(J+1)-X2(J )
HS=X2(J)-X2(J-1)
DV1Z=((V1(I+1,J)-V1(I,J))*HM/HE+(V1(I,J)-V1(I-1,J))*HE/HN)/H1
DV2R=((V2(I,J+1)-V2(I,J))*HS/HM+(V2(I,J)-V2(I,J-1))*HM/HS)/H2
DV1R=((V1(I,J+1)-V1(I,J))*HS/HN+(V1(I,J)-V1(I,J-1))*HN/HS)/H2
DV2Z=((V2(I+1,J)-V2(I,J))*HM/HE+(V2(I,J)-V2(I-1,J))*HE/HN)/H1
GENA=2.*(DV1Z+DV1R+DV2R+DV2Z)+(DV1R+DV2Z)
GENT=0.0
IF(INDE(NVT).NE.1) GO TO 401
DV3Z=((A(I+1,J,NVT)-A(I,J,NVT))*HM/HE+(A(I,J,NVT)-A(I-1,J,NVT))
1 * HE/HN)/R(J))/H1
IF(J.GT.2)
1 DV3R=((A(I,J+1,NVT)/R(J+1)-A(I,J,NVT)/R(J))*HS/HM+(A(I,J,NVT)
1 /R(J)-A(I,J-1,NVT)/R(J-1))*HM/HS)/H2
```

```

1 DV3R=((A(I,J+1,NVT)/R(J+1)-A(I,J,NVT)/R(J))*HS/HN+(A(I,J,NVT)
2 /R(J))*H1/HS)/H2
401 GENT=DV3Z*DV3Z+(DV3R-A(I,J,NVT)/(R(J)*R(J)))*2
CONTINUE
GENRAT(I,J)=GENA+GENT
SOURCE=GENRAT(I,J)*ZRO(I,J)*R(J)
ZRO=RO(I,J)*SQRT(A(I,J,NL))*CDD*R(J)
50 GOTO 51
CONTINUE
SOURCE=0.0
ZRO=0.0
51 CONTINUE
RETURN
C PT ENTALPIE
10 CONTINUE
IF(ISTR.EQ.0) GOTO 30
SOURCE=-SOUSTR(I,J)*R(J)
C
GOTO 40

```

MARTI 26/09/81 08.49.21

```

30 SOURCE=0.
40 ZRO=0.
RETURN
C PT PATRATUL FRECVENTEI MEDII A PULSATIILOR TURBULENTE
5 CONTINUE
IF(MARKE) GOTO 90
IF(NITER.LT.10)GOTO 70
90 CONTINUE
H1=DELX1(I)*2.0
H2=DELX2(J)*2.0
HE=X1(I+1)-X1(I)
HW=X1(I)-X1(I-1)
HN=X2(J+1)-X2(J)
HS=X2(J)-X2(J-1)
DNZ=((A(I+1,J,NW)*R(J)-A(I,J,NW)*R(J))*HW/HE
1 +(A(I,J,NW)*R(J)-A(I-1,J,NW)*R(J))*HE/HW)/H1
DNR=((A(I,J+1,NW)*R(J+1)-A(I,J,NW)*R(J))*HS/HN
1 +(A(I,J,NW)*R(J)-A(I,J-1,NW)*R(J-1))*HN/HS)/H2
SOURCE=(CC1*ZHL(I,J)*(DNZ*DNZ+DNR*DNR)
1 +CC3*RO(I,J)*GENRAT(I,J)*SQRT(A(I,J,NL)))*R(J)
ZRO=(CC2*RO(I,J)*SQRT(A(I,J,NL)))*R(J)
70 GOTO 71
CONTINUE
SOURCE=0.0
ZRO=0.0
71 CONTINUE
RETURN
C PT V3*R
3 CONTINUE
SOURCE=0.0
ZRO=0.0
RETURN
END

```

MARTI 26/09/81 08.49.21

AU COURS DE LA COMPILATION :

VARIABLES NON REFERENCEES :

IMIN IMAX CNA CLI CRE CAB

```

* SEGMENT
* FETCHS LN:GILI,DVTSAD,VSDIMAS1,PN:CONVEC
  SUBROUTINE CONVEC(X1,X2,DELX1,DELX2,IMIN,IMAX,R,
1  A,I,J,K,AU,ZU,IIN,JJW)
C
  COMMON/CGRID/INW,IN,JJW,JN,INSP,JNSP,INH,JNH,IL,IR,JU,JU,INN,JNH
  COMMON/CYLI/JAX,JAX1,JA,JA1,JB,JC,JCH,IABW,IAB,ICH,IC
  COMMON/CINJH/IN1,IN2,IN3,ING,INS,INGS
  COMMON/CNUMBER/NW,NF,NVT,NK,IL,NH,NKS(S),NEN
  COMMON/CCDEF/CE,CN,CK,CS,C(S)
C
  DIMENSION X1(1),X2(1),DELX1(1),DELX2(1),IMIN(1),IMAX(1),R(1),
1  A(IIN,JJW,1)
C
  AU=0.
  ZU=0.
  IF(K.EQ.NF) GOTO 12
  DX12=1./(4.*DELX1(I)*DELX2(J))
  GM1E=DX12*(A(I,J+1,NF)-A(I,J-1,NF)+A(I+1,J+1,NF)-A(I+1,J-1,NF))
  GM1N=DX12*(A(I,J+1,NF)-A(I,J-1,NF)+A(I-1,J+1,NF)-A(I-1,J-1,NF))
  IF(K.GE.NH.AND.K.LE.NEN.AND.I.EQ.(IAB+1).AND.J.EQ.JA)
1  GM1N=DX12*(A(I,J,NF)-A(I,J-1,NF)+A(I-1,J,NF)-A(I-1,J-1,NF))
  GM2N=DX12*(A(I+1,J,NF)-A(I-1,J,NF)+A(I+1,J+1,NF)-A(I-1,J+1,NF))
  GM2S=DX12*(A(I+1,J,NF)-A(I-1,J,NF)+A(I+1,J-1,NF)-A(I-1,J-1,NF))
  IF(GM1N)1,3,2
1  ZU=GM1N
  GOTO 3
2  AU=GM1E*A(I-1,J,K)
3  IF(GM2S)4,6,5
4  ZU=ZU-GM2S
  GOTO 6
5  AU=AU+GM2S*A(I,J-1,K)
6  IF(GM1E)7,9,8
7  AU=AU-GM1E*A(I+1,J,K)
  GOTO 9
8  ZU=ZU+GM1E
9  IF(GM2N)10,11,11
10  AU=AU-GM2N*A(I,J+1,K)
  RETURN
11  ZU=ZU+GM2N
12  RETURN
  END

```

! AU COURS DE LA COMPILATION :

VARIABLES NON REFERENCEES :

X1	X2	IMIN	IMAX	K
----	----	------	------	---

```

* SEGMENT
* FETCHS LN:GILI,DVTSAD,VSDIMAS1,PN:BOUNCI
  SUBROUTINE BOUNCI(X1,X2,DELX1,DELX2,IMIN,IMAX,K,
1  TRC,TLI,TW,TRE,THARM,TKALT,NT,FPT,ANAT,
2  FLVER,EFF,ALPHAM,ALPHAR,ALPHA,CHA,CLI,CRE,VT,
3  ZZ1,ZZ2,
4  A,T,R,ZMU,V1,V2,

```

```

7  QKSKON, QKMKON, QKSRAD, QKMRAD,
9      WAV1, WVL2, WVR2, K, IIN, JJW)
COMMON/CGRID/INH, IN, JIN, JH, INSP, JINSP, INH, JNH, IL, IR, JU, JO, INM, JNM
COMMON/CYLI/JAX, JAX1, JA, JA1, JB, JC, JCH, IABN, IAB, ICH, IC
COMMON/CINJH/IN1, IN2, IN3, ING, INS, INGS
COMMON/CNUMBR/NI, NF, NVT, NK, NL, NM, NKJ(5), NEN
COMMON/CKONZ/BRP(10), BRS(10), BRPS(10), PHIP(10), PHIS(10), PHIPB(10),
1  CMJ(10)
COMMON/CTEMP/TPC, TSC, TP, TS
COMMON/CEN/ENP, ENS, ENPS
COMMON/CCHEM/STC1(10), STC2(10),          HK(10)
COMMON/CVEL/G1P, G1S,          YINP, VINS
COMMON/CNITER/NITER
COMMON/CSTUFF/PR(20), ZMH(10), GCPM, RR
COMMON/CKVURT/KVURT
COMMON/CTURS/TBRD1, TBRD2, TKS, TKP, WWP, WWS, CMY, CDD, CC1, CC2, CC3, CSORT
1  , ZK1, ZK2
COMMON/CVELPK/AFK, BFK
COMMON/CKONST/PI, SIGMA
COMMON/CCOEF/CE, CN, CA, CS, C(5)
COMMON/CTUBE/DT
COMMON/CSTRFK/STRFK1, STRFK2
COMMON/CENISS/EN, ROR, ALPHA, ET, ROT
COMMON/CZZZ/Z11, Z12, Z13, Z14, Z15, Z16,
1  Z21, Z22, Z23, Z24, Z25, Z26, Z29, BPFK, P8IO
COMMON/CHASS/DK, DLP, DLS
COMMON/RELAX/TWF, ROWF, ZHUWF
COMMON/CRO/ROP, ROS
COMMON/MARKE/MARKE
LOGICAL MARKE

```

C  
C  
C  
C  
C

```

*****
SUBROUTINA BOUNCT CALCULEAZA CONDIȚIILE DE CONTUR PT VARIABILELE
DEPENDENTE
*****

```

```

DIMENSION X1(1), X2(1), DELX1(1), DELX2(1), IMIN(1), IMAX(1), R(1),
1  THC(1), TLI(1), THW(1), TRE(1),
2  THARN(1), TKALT(1), ANAT(1), EEPF(1), ALPHAM(1), ALPHAR(1), FLVER(1),

```

MARTI 26/09/81 08.50.10

```

3  ALPHAE(1), CHA(1), CLI(1), CRE(1), ZZ1(1), ZZ2(1), VT(1),
4  NT(1), FPT(1),
5  A(IIN, JJW, 1), RO(IIN, 1), V1(IIN, 1), V2(IIN, 1), T(IIN, 1), ZMU(IIN, 1),
6  Q1(IIN, 1), Q2(IIN, 1),
7  CPP(IIN, 1),
8  QKSKON(JJW, 1), QKMKON(1), QKSRAD(JJW, 1), QKMRAD(1),
9  WAV1(1), WVL2(1), WVR2(1)
FP(Y, XI2) = FBASE - G1P * (Y - XI2) * (0.5 * (Y + XI2))
PR(Y, XI2) = FBASE - RU(1, J) * UUU * Y * ((1.0 - XI2/Y) ** (1.0 + BKK))
1  * (Y / (1.0 + BKK) + XI2) / (2.0 + BKK)
FB(Y, XI2) = -G1S * (Y - XI2) * (0.5 * (Y + XI2))
OMP(Y, XI2) = UUU * BKK * ((1.0 - XI2/Y) ** (BKK - 1.0)) / (Y * XI2)
YY(YN, YP) = 1. / (1. - (YP / YN) ** 2)
UP(YYP, IN, JH, RN) = ((A(IN, JH, NF) - A(I, J, NF)) * (1.0 + BFK) * (2.0 + BFK)) /
1  (RN * YYP * (RU(IN, JH) + (1.0 + BFK) * RO(I, J)))
CNYT(IN, JH) = 9.01 * 0.00000175 * ((T(I, J) + T(IN, JH)) / (2.0 * 273.15))
1  * 0.76) / ((RO(I, J) + RU(IN, JH)) / 2.0)
UUT4U(UU, CNY, YYP) = ((UB / AFK) * (CNY / YYP) ** BFK) ** (1. / (1. + BFK))
FBU(B) = ((RU(1, J) * UUS) / (DELRS ** BKS))
1  * ((X2(JB) - B) ** (BKS + 2.)) / (BKS + 2.)
2  * X2(JB) * (X2(JB) - B) ** (BKS + 1.) / (BKS + 1.)
FBU(B) = ((RU(1, J) * UUS) / (DELRS ** BKS))
1  * ((B - X2(JA1)) ** (BKS + 2.)) / (BKS + 2.)
2  * X2(JA1) * (B - X2(JA1)) ** (BKS + 1.) / (BKS + 1.)
3  * 2. * RMM * DELRS ** (BKS + 1.) / (BKS + 1.)
ONSU(B) = BKS * UUS * (1. - ((B - RMM) / DELRS)) ** (BKS - 1.) / (DELRS * B)

```



HRAND(I,J)=CPP(I,J)\*TTT+CMJ(1)\*HK(1)+CMJ(2)\*HK(2)  
GOTO(1,2,2,1,1,6,7,7,7,10),K

C  
C  
C  
C  
C  
C  
C  
2

CONDITIILE DE CONTUR ALE FUNCTIEI DE CURENT, ALE ENERGIIEI SPECIFI-  
CE CINETICE PULSATORII SI A PATRATULUI PRECVENTEI MEDII A PULSATI-  
ILOR TURBULENTE LA ORIFICIILE DE INTRARE SI LA PERETII CAMEREI DE  
ARDERE  
VALORILE LUI TURB/K IN SECTIUNEA DE INTRARE A CURENTULUI PRIMAR

CONTINUE  
IF(NITER .GT. 0 ) GOTO 211  
IF(K.EQ. NVT) GOTO 211  
BRK=0.025  
BKS=0.025  
UUUM(1.0+BKK)\*(2.0+BKK)\*VINP/2.0  
UUS=(1.0+BKS)\*VINS  
UNMUUU\*(1.0-X2(JA-1)/X2(JA))\*BKK  
JU=JB  
IF(DLS .EQ. 0.0) JU=JA  
DO 208 J=JU,JN

MARTI 26/09/81 08.50.10

208 A(IAB,J,NK)=0.0  
A(IAB,J,NL)=0.0  
A(IAB,J,NVT)=0.0  
A(IAB,J,NF)=0.0  
IF(DLS .EQ. 0.0) GOTO 260  
DELRS=(X2(JB)-X2(JA1))/2.0  
RMM=(X2(JB)+X2(JA1))/2.0  
DO 207 J=JA1,JB  
IF(J .EQ. JA1 .OR. J .EQ. JB) GOTO 290  
A(1,J,NK)=TKS  
A(1,J,NL)=NWS  
290 A(IAB,J,NVT)=VT(J)\*R(J)  
CONTINUE  
RO(1,J)=RDS  
T(1,J)=TS  
IF(X2(J) .GE. RMM) A(1,J,NF)=FSO(R(J))  
IF(X2(J) .LT. RMM) A(1,J,NF)=FSU(R(J))  
IF(J .EQ. JA1 .OR. J .EQ. JB) GOTO 207  
IF(X2(J) .EQ. RMM) A(1,J,NW)=0.  
IF(X2(J) .GT. RMM) A(1,J,NW)=OMS0(R(J))  
IF(X2(J) .LT. RMM) A(1,J,NW)=OMSU(R(J))  
207 CONTINUE  
IN=IAB  
I =IAB  
DO 1030 M=1,2  
IF(M .EQ. 2) GOTO 1010  
JH=JA1  
JHJH+1  
UNS=UUS\*(1.-(R(J)-X2(JA1))/DELRS)\*BKS  
YYP=X2(J)-X2(JH)  
GOTO 1020  
1010 CONTINUE  
JH=JB  
JHJH-1  
UNS=UUS\*(1.-(X2(JB)-R(J))/DELRS)\*BKS  
YYP=X2(JH)-X2(J)  
1020 CONTINUE  
CNY=CNYT(IN,JH)  
UTAU=UTAU(UNS,CNY,YYP)  
A(1,JH,NW)=UTAU\*UTAU/(CNY\*R(JH))  
IF(JH .EQ. JA1) A(1,JH,NW)=-A(1,JH,NW)  
1030 CONTINUE  
DO 206 J=JA,JA1  
A(IAB,J,NK)=0.0  
A(IAB,J,NL)=0.0  
A(IAB,J,NVT)=0.0

206 A(IAB,J,NF)=A(1,JA1,NF)

MARTI 26/09/81 08.50.10

```

260 CONTINUE
  FBASE=A(1,JA,NF)
  T(IAB,JA)=TP
  RO(IAB,JA)=ROP
  JJ=JA-1
  DO 205 J=1, JJ
  ZL1=(CDD**0.25)*X2(JA)*(0.06-0.0342*(X2(J)/X2(JA))**2
1 -0.0258*(X2(J)/X2(JA))**4)
  ZL1=ZL1*ZL1
  HWP=TKP/ZL1
  A(1,J,NL)=HWP
  A(1,J,NK)=TKP
  A(IAB,J,NVT)=VT(J)*R(J)
  RO(1,J)=ROP
  T(1,J)=TP
  A(1,J,NF)=FR(X2(JA),R(J))
  IF( J .EQ. 1) GOTU 205
  A(1,J,NH)=OMP(X2(JA),R(J))
205 CONTINUE
  IN=IAB
  I=IAB
  JN=JA
  JB=JN-1
  CNY=CHYT(IN, JN)
  YYP=X2(JN)-X2(J)
  UTAU=UTAU(UMN, CNY, YYP)
  A(1,JA,IN)=UTAU*UTAU/(CNY*R(JN))
  DO 204 I=1, IN
204 A(I,1,NVT)=0.0
  A(I,1,NF)=A(1,1,NF)
  DO 201 I=IAB, IC
  A(I,JB,NK)=0.0
  A(I,JB,NL)=0.0
  A(I,JB,NVT)=0.0
201 A(I,JB,NF)=0.0
  DO 203 I=IC, IN
  A(I,JC,NK)=0.0
  A(I,JC,NL)=0.0
  A(I,JC,NVT)=0.0
203 A(I,JC,NF)=0.0
  DO 209 J=JC, JN
  A(IC,J,NK)=0.0
  A(IC,J,NL)=0.0
  A(IC,J,NVT)=0.0
209 A(IC,J,NF)=0.0
211 CONTINUE
  BB=YY(2.*DELX1(IN-1), X1(IN)-X1(IN-1))

```

MARTI 26/09/81 08.50.10

```

  JJ=JC-1
  DO 210 J=2, JJ
210 A(IN, J, K)=BB*A(IN-1, J, K)-(BB-1.)*A(IN-2, J, K)
  RETURN
C PT PRACTIA AMESTECULUI
6 LONR
  ALP=1.0
  ALS=0.0
  GOTO 800
C PT CONCENTRATIA GAZOASA
7 LONRJ(K-NH)
  ALP=0.0

```

```

ALS=BRB(K=1)
GOTO 800
C PT EN TALPIE
10 L=LEN
ALP=ENP
ALS=ES
GOTO 800
800 CONTINUE
IF(JA1.EQ.JB) GO TO 811
DO 813 J=JA1,JB
813 A(1,J,L)=ALS
811 CONTINUE
DO 812 J=1,JA
812 A(1,J,L)=ALP
BB=YY(2,DELX1(IAB+1),X1(IAB+1)-X1(IAB))
IF((JA1-JA).LE.1) GOTO 814
JJA=JA+1
JJA1=JA1-1
DO 814 J=JJA,JJA1
814 A(IAB,J,L)=BB*A(IAB+1,J,L)-(BB-1.)*A(IAB+2,J,L)
810 CONTINUE
JBB=JB+1
DO 815 J=JBB,JB
815 A(IAB,J,L)=BB*A(IAB+1,J,L)-(BB-1.)*A(IAB+2,J,L)
CONTINUE
BB=YY(2,DELX2(JN-1),X2(JN)-X2(JN-1))
IL=IAB+1
DO 816 I=IL,IC
J=JN
IF(L.NE.NEN) GOTO 823
GO TO 830
830 CONTINUE
J=JN
CALL GASZU(A,I,J,INX,JNX)
TTT=TRC(I)

```

MARTI

26/09/81 08.50.17

```

A(I,J,NEN)=HRAND(I,J)
GOTO 816
823 A(I,JN,L)=BB*A(I,JN-1,L)-(BB-1.)*A(I,JN-2,L)
816 CONTINUE
BB=YY(2,DELX1(IC-1),X1(IC)-X1(IC-1))
DO 817 J=JC,JN
817 A(IC,J,L)=BB*A(IC-1,J,L)-(BB-1.)*A(IC-2,J,L)
CONTINUE
IF(L.NE.NEN) GOTO 833
J=JN-1
DO 832 J=2,J0
FSTIRN =PI*(((R(J)+R(J+1))/2.0)**2-((R(J)+R(J-1))/2.0)**2)
DO 31 M=1,2
IF(M.EQ.2) GOTO 35
TTT=TLI(J)
II=IAB
I=II+1
GOTO 35
33 CONTINUE
TTT=TRE(J)
II=IC
I=II-1
IF(J.LT. J0) GOTO 832
GOTO 35
35 CONTINUE
CALL GASZU(A,II,J,INH,INW)
A(II,J,NEN)=HRAND(II,J)
IF(M.EQ.1) TLI(J)=TTT
IF(M.EQ.2) TRE(J)=TTT
31 CONTINUE

```

```

033 CONTINUE
    IF(IC .EQ. IN) GOTO 024
    BB=YY(2.*DELX2(JC-1),X2(JC)-X2(JC-1))
    IL=IC+1
    DO 018 I=IL,IN
    IF(L .EQ. NEN) GOTO 027
    A(I,JC,L)=BB*A(I,JC-1,L)-(BB-1.)*A(I,JC-2,L)
    GO TO 018
027 CONTINUE
    J=JC
    CALL GASZU(A,I,J,INH,JNH)
    TTT=TBG(I)
    A(I,J,NEN)=HRRAND(I,J)
018 CONTINUE
    024 I=2
    BB=YY(2.*DELX2(I),X2(I)-X2(1))

```

MARTI

26/09/81 08.50.10

```

DO 019 I=2,IN
019 A(I,1,L)=BB*A(I,2,L)-(BB-1.)*A(I,3,L)
CONTINUE
BB=YY(2.*DELX1(IN-1),X1(IN)-X1(IN-1))
DO 020 J=1,JC
020 A(IN,J,L)=BB*A(IN-1,J,L)-(BB-1.)*A(IN-2,J,L)
RETURN
C PT VITEZA UNGHIULAKA A VIRTEJULUI,PT. ENERGIA SPECIFICA CINETICA
C PULSATORIE SI PATRATUL PRECVENITEI MEDII A PULSATIILOR TURBULENTE
1 CONTINUE
I=IAB+1
IN=IAB
DO 20 J=1,JNH
IF(J .LE. JA .OR. (J .GE. JA1 .AND. J .LE. JB)) GOTO 20
YYP=X1(I)-X1(IK)
JH=J
AP=X2(J)
RH=X2(J)
UA=UP(YYP,IN,JH,RH)
UT=SQRT(UA**2+(A(I,J,HVT)/R(J))**2)
IF(K.EQ.NH.AND.KVORT.EE.1) GO TO 30
CNY=CHYT(IN,JH)
ZHU(IN,JH)=CNY*(RO(IN,JH)+RO(I,J))/2.0
UTA=UTAU(UT,CNY,YYP)
IF(K .EQ. NH) GOTO 91
IF(K .EQ. NL) GOTO 70
A(I,J,NK)=(UTA*UTA)/CSQRT,
GO TO 20
70 CONTINUE
A(I,J,NL)=(UTA*UTA*CHY)/(0.09*(0.4*YYP)**2)
GO TO 20
91 CONTINUE
UH=ABS(UA)
UTAH=UTAU(UH,CNY,YYP)
IF(VZ(I,J) .GT. 0.0) VDR=1.0
IF(VZ(I,J) .LE. 0.0) VDR=1.0
A(IN,JH,1)=-VDR*UTAH*UTAH/(CNY*R(JH))
30 CONTINUE
A(I,J,NH)=UA*BPK/(AP*YYP)
DELL=DELX1(I)+YYP/2.0
NVL2(J)=(UA/DELL)*((DELL/YYP)**BPK)/AP
20 CONTINUE
I=IC-1
IN=IC
DO 40 J=JC,JNH
YYP=X1(IK)-X1(I)
JH=J

```

MARTI

26/09/81 08.50.10

BUPT

```

RH=X2(J)
AP=X2(J)
UA=UP(YYP, IH, JW, RH)
UT=SQRT(UA**2+(A(I, J, NVT)/R(J))**2)
IF(R .EQ. NH .AND. KVJRT .NE. 1) GOTO 50
CNY=CHYT(IH, JW)
ZMU(IH, JW)=CNY*(RO(IH, JW)+RO(I, J))/2.0
UTAU=UTAU(UT, CNY, YYP)
IF(K .EQ. NH) GOTO 51
IF(K .EQ. NL) GOTO 71
A(I, J, NK)=UTAU*UTAU/CSQRT
GOTO 40
71 CONTINUE
A(I, J, NL)=(UTAU*UTAU*CNY)/(0.09*(0.4*YYP)**2)
GOTO 40
51 CONTINUE
UH=ABS(UA)
UTAN=UTAU(UH, CNY, YYP)
IF(V2(I, J) .GE. 0.0) VDR=1.0
IF(V2(I, J) .LT. 0.0) VDR=-1.0
A(IH, JW, NH)=-VDR*UTAN*UTAN/(CNY*R(JW))
50 CONTINUE
A(I, J, NH)=UA*BFK/(AP*YYP)
DELL=DELL1(I)+YYP/2.0
WVR2(J)=(UA/DELL)*(DELL/YYP)**BFK/AP
40 CONTINUE
IL=IAB+1
IH=IN-1
DO 22 I=IL, IH
IF(I .LT. IC) JH=JN
IF(I .GE. IC) JH=JC
J=JH-1
YYP=X2(JH)-X2(J)
IH=I
RH=X2(JH)
AP=X2(J)
UA=UP(YYP, IH, JW, RH)
UT=SQRT(UA**2+(A(I, J, NVT)/R(J))**2)
IF(K .EQ. NH .AND. KVJRT .NE. 1) GOTO 36
CNY=CHYT(IH, JW)
ZMU(IH, JW)=CNY*(RO(IH, JW)+RO(I, J))/2.0
UTAU=UTAU(UT, CNY, YYP)
IF(K .EQ. NH) GOTO 72
IF(K .EQ. NL) GOTO 72
A(I, J, NK)=(UTAU*UTAU)/CSQRT
GOTO 22
72 CONTINUE

```

MARTI

26/09/81 08.50.10

```

A(I, J, NL)=(UTAU*UTAU*CNY)/(0.09*(0.4*YYP)**2)
GOTO 22
92 CONTINUE
UH=ABS(UA)
UTAN=UTAU(UH, CNY, YYP)
IF(V1(I, J) .GT. 0.0) VDR=-1.0
IF(V1(I, J) .LE. 0.0) VDR=1.0
A(IH, JW, NH)=-VDR*UTAN*UTAN/(CNY*R(JW))
36 CONTINUE
OMEGA=UA*BFK/(AP*YYP)
DELL=DELL2(J)+YYP/2.0
WAV1(I)=(UA/DELL)*(DELL/YYP)**BFK/AP
IF(I .EQ. IL) GOTO 24
IF(I .EQ. IC-1 .AND. JC .LT. JN) GOTO 24
A(I, J, NH)=OMEGA

```

```

23  CONTINUE
    A(I,J,NH) = A(I,J,NH) + OMEGA
    WAV1(I) = WVL2(J) + WAV1(I)
    WVL2(J) = WAV1(I)
    GOTO 22
24  CONTINUE
    A(I,J,NH) = A(I,J,NH) + OMEGA
    WAV1(I) = WVR2(J) + WAV1(I)
    WVR2(J) = WAV1(I)
22  CONTINUE
    IF(K .EQ. NH) GOTO 93
    I = 2
    BB = YY(2, *DELX2(I), X2(I) - X2(1))
    DO 94 I = 2, IN
94  A(I,1,K) = BB * A(I,2,K) - (BB - 1.) * A(I,3,K)
    IF(K .EQ. NK .AND. A(I,1,K) .LE. 0.)
1   A(I,1,K) = A(I,2,K)
    JJC = JJC - 1
    BB = YY(2, *DELX1(IN-1), X1(IN) - X1(IN-1))
    DO 95 J = 2, JJC
95  A(IN,J,K) = BB * A(IN-1,J,K) - (BB - 1.) * A(IN-2,J,K)
    RETURN
93  CONTINUE
111 DO 101 I = 2, IN
    J = 2
    M = 3
    A(I,1,NH) = A(I,2,NH) + (X2(J) / (X2(M) - X2(J))) * (A(I,2,NH) - A(I,3,NH))
101 CONTINUE
    BB = YY(2, *DELX1(IN-1), X1(IN) - X1(IN-1))
    DO 18 J = 2, JC
18  A(IN,J,NH) = BB * A(IN-1,J,NH) - (BB - 1.) * A(IN-2,J,NH)

```

MARTI 26/09/81 08.50.10

```

A(IAB,JP,NH) = 0.0
IF(JC .LT. JN) A(IC,JN,NH) = 0.0
RETURN
END

```

MARTI 26/09/81 08.50.10

AU COURS DE LA COMPILATION :

VARIABLES NON REFERENCEES :

IHIN	IMAX	TNW	TWARH	TKALT	NT
FLYER	EEFF	ALPHAM	ALPHAR	ALPHAE	CHA
ZZ1	ZZ2	01	02	0KSKON	0KMKON

MARTI 26/09/81 08.50.10

AU COURS DE LA COMPILATION :

VERTISSEMENT : ETIQUETTE '111' DEFINIE, NON REFERENCEE.

MARTI 26/09/81 08.50.10



MODULE	CDI	TYPE	C	LONGUEUR	0050 (00080)
MODULE	CCHECK	TYPE	C	LONGUEUR	0080 (00176)
MODULE	CCDEF	TYPE	C	LONGUEUR	0024 (00036)
MODULE	CNUMBER	TYPE	C	LONGUEUR	0030 (00048)
MODULE	CINJN	TYPE	C	LONGUEUR	0018 (00024)
MODULE	CYLI	TYPE	C	LONGUEUR	0020 (00044)
MODULE	CGRID	TYPE	C	LONGUEUR	0038 (00056)
MODULE	ADL	TYPE	C	LONGUEUR	0088 (00136)
MODULE	ADM	TYPE	C	LONGUEUR	0084 (00180)
MODULE	ADN	TYPE	C	LONGUEUR	0010 (00028)
MODULE	FXBLK	TYPE	C	LONGUEUR	0004 (00004)
MODULE	FDECT	TYPE	P	LONGUEUR	1410 (05136)
MODULE	CCDEF	TYPE	C	LONGUEUR	0024 (00036)
MODULE	CSTOFF	TYPE	C	LONGUEUR	0080 (00128)
MODULE	CNUMBER	TYPE	C	LONGUEUR	0030 (00048)
MODULE	CINJN	TYPE	C	LONGUEUR	0018 (00024)
MODULE	CYLI	TYPE	C	LONGUEUR	0020 (00044)
MODULE	CGRID	TYPE	C	LONGUEUR	0038 (00056)
MODULE	CDEFCT	TYPE	P	LONGUEUR	0908 (02504)
MODULE	MARKE	TYPE	C	LONGUEUR	0004 (00004)
MODULE	CORD	TYPE	C	LONGUEUR	0078 (00120)
MODULE	CKIN	TYPE	C	LONGUEUR	0050 (00080)
MODULE	CREF	TYPE	C	LONGUEUR	0030 (00060)
MODULE	CCDEF	TYPE	C	LONGUEUR	0024 (00036)
MODULE	CTURB	TYPE	C	LONGUEUR	0038 (00056)
MODULE	CSTOFF	TYPE	C	LONGUEUR	0080 (00128)
MODULE	CNITER	TYPE	C	LONGUEUR	0004 (00004)
MODULE	CCHEM	TYPE	C	LONGUEUR	0078 (00120)
MODULE	CKONZ	TYPE	C	LONGUEUR	0118 (00280)
MODULE	CNUMBER	TYPE	C	LONGUEUR	0030 (00048)
MODULE	CINDEX	TYPE	C	LONGUEUR	0068 (00104)
MODULE	CINJN	TYPE	C	LONGUEUR	0018 (00024)
MODULE	CYLI	TYPE	C	LONGUEUR	0020 (00044)

MODULE	CGRID	TYPE	C	LONGUEUR	0038 (00056)
MODULE	SORCCT	TYPE	P	LONGUEUR	1878 (07032)
MODULE	CCOEF	TYPE	C	LONGUEUR	0024 (00036)
MODULE	CNUMBR	TYPE	C	LONGUEUR	0030 (00048)
MODULE	CINJN	TYPE	C	LONGUEUR	0018 (00024)
MODULE	CYLI	TYPE	C	LONGUEUR	0020 (00044)
MODULE	CGRID	TYPE	C	LONGUEUR	0038 (00056)
MODULE	CONVEC	TYPE	P	LONGUEUR	0680 (01664)
MODULE	MARKE	TYPE	C	LONGUEUR	0004 (00004)
MODULE	CRO	TYPE	C	LONGUEUR	0008 (00008)
MODULE	RELAX	TYPE	C	LONGUEUR	0000 (00012)
MODULE	CHASS	TYPE	C	LONGUEUR	0000 (00012)
MODULE	CZZZ	TYPE	C	LONGUEUR	0030 (00060)
MODULE	CEMISS	TYPE	C	LONGUEUR	0014 (00020)

MARTI 26/09/81 08.50.10

MODULE	CSTRFK	TYPE	C	LONGUEUR	0008 (00008)
MODULE	CTUBE	TYPE	C	LONGUEUR	0004 (00004)
MODULE	CCOEF	TYPE	C	LONGUEUR	0024 (00036)
MODULE	CKONST	TYPE	C	LONGUEUR	0008 (00008)
MODULE	CVELFK	TYPE	C	LONGUEUR	0008 (00008)
MODULE	CTURB	TYPE	C	LONGUEUR	0038 (00056)
MODULE	CKVORT	TYPE	C	LONGUEUR	0004 (00004)
MODULE	CBTOFF	TYPE	C	LONGUEUR	0080 (00128)
MODULE	CHITER	TYPE	C	LONGUEUR	0004 (00004)
MODULE	CVEL	TYPE	C	LONGUEUR	0010 (00016)
MODULE	CGHEM	TYPE	C	LONGUEUR	0078 (00120)
MODULE	CEN	TYPE	C	LONGUEUR	0000 (00012)
MODULE	CTEMP	TYPE	C	LONGUEUR	0010 (00016)
MODULE	CKONZ	TYPE	C	LONGUEUR	0118 (00280)
MODULE	CNUMBR	TYPE	C	LONGUEUR	0030 (00048)
MODULE	CINJN	TYPE	C	LONGUEUR	0018 (00024)
MODULE	CYLI	TYPE	C	LONGUEUR	0020 (00044)
MODULE	CGRID	TYPE	C	LONGUEUR	0038 (00056)
MODULE	BSUNCT	TYPE	P	LONGUEUR	3928 (14632)

ATION (PLUS HAUT NIVEAU D'ERREUR RENCONTRE = 0)

08.51.05

DRTRAN

MARTI

26/09/81

08.51.06

\* SEGMENT

\* FETCHS LN:GIL1,DVT:AD,VS:DIMAS1,PN:PLOTCT

SUBROUTINE PLOTCT(X1,X2,DELX1,DELX2,IMIN,IMAX,R,

4 A,AQ,T,RO,ZMU,V1,V2,EAK,Q1,Q2,AA,CPP,

5 SOUSTR,RCH4,RCO,IH,JH)

COMMON/CGRID/INW,IN,JHW,JN,INSP,JNSP,INH,JNH,IL,IR,JU,JO,INM,JNM

COMMON/CYLI/JAX,JAX1,JA,JA1,JB,JC,JCH,IABW,IAB,ICW,IC

COMMON/CINJN/IN1,IN2,IN3,ING,INS,INGS

COMMON/CINDEX/INDE(20),IE,ISTR,IBR,IKJ,IZUS,IAQ

COMMON/CNUMBR/NH,NF,NVT,NK,NL,NM,NKJ(5),NEH

COMMON/CKONZ/BRP(10),BRS(10),BRPS(10),PHIP(10),PHIS(10),PHIPS(10),

\* CMJ(10)

COMMON/CEN/ENP,ENS,ENPS

COMMON/CCHEM/STC1(10),STC2(10), HK(10)

COMMON/CVEL/G1P ,G1S ,VINP,VINS

COMMON/CSTOPF/PR(20),ZMH(10),GCPM,RR

COMMON/CINPR/INPR(30)

COMMON/CNAME/ANAME(6,20),ASYMBL(36)

COMMON/GEO/XDRUCK,YDRUCK,XEINH,YEINH

COMMON/DRU/XEMTY,XBOUN,XSTRCH,XSTERN,XPLUS,XA(10),NVJ

COMMON/CREF/BRREF(10),FPSREF,TREF,ROREF,ENREF,PREF

C  
C

DIMENSION X1(IH),X2(JH),DELX1(1),DELX2(1),IMIN(1),IMAX(1),R(1),

6 A(IH,JH,1),RO(IH,1),V1(IH,1),V2(IH,1),T(IH,1),ZMU(IH,1),

7 EAK(IH,1),

8 Q1(IH,1),Q2(IH,1),AA(IH,JH,1),AQ(IH,JH,1),

9 CPP(IH,1),SOUSTR(IH,1),RCH4(IH,1),RCO(IH,1)

DIMENSION X(130),VJ(10),C(130),Y(20)

LOGICAL LOGK

LAUF=)

JZARL=0

LOGK=.TRUE.

IF(XEINH\*YEINH.LT.1.E-10) GO TO 1018

1015 LOGK=.FALSE.

LAUF=LAUF+1

XZZ=X1(INH)/XEINH

YZZ=X2(JNH)/YEINH

IZZ=XZZ

JZZ=YZZ

XZW=XDRUCK/XZZ

YZW=YDRUCK/YZZ

IEINH=XZW+0.5

JEINH=YZW+0.5

XZW=XZW-FLOAT(IEINH)

YZW=YZW-FLOAT(JEINH)

IF(ABS(XZW).LT.0.5/FLOAT(IZZ).AND.

MARTI

26/09/81

08.51.06

1 ABS(YZW),LT.0.5/FLOAT(JZZ)) GOTO 1018

```

      IZZ=FLOAT(IEINH)*XZZ+0.5
      JZZ=FLOAT(JEINH)*YZZ+0.5
      XDRUCK=IZZ
      YDRUCK=JZZ
1016  GOTO(1015,1015,1016)LAUF
1018  WRITE(6,105)
      CONTINUE
      BZNF=A(1,1,NF)
      DO 1 J=1,JN
      IL=IMIN(J)
      IH=IMAX(J)
      DO 1 I=IL,IH
      A(I,J,NH)=A(I,J,NH)*R(J)
      A(I,J,HF)=A(I,J,NF)/BZNF
      IF(IBR .EQ. 0) GOTO 600
      DO 2 K=1,IBR
      L=NKJ(K)
      A(I,J,L)=A(I,J,L)*(RU(I,J)*T(I,J)/(RR*ZMW(K)))
2     CONTINUE
      KLAUF=IKJ-IBR
      DO 601 L=1,KLAUF
      AA(I,J,L)=AA(I,J,L)*(RU(I,J)*T(I,J)/(RR*ZMW(IBR+L)))
601   CONTINUE
      A(I,J,NEN)=(A(I,J,NEN)-ENS)/(ENP-ENS)
600   CONTINUE
      IF(A(I,J,NK) .LT. 0.) A(I,J,NK)=0.
      A(I,J,NL)=SQRT(A(I,J,NK)/(A(I,J,NL)+0.0000001))
      A(I,J,NK)=SQRT(2.*A(I,J,NK)/(3.*(V1(I,J)*V1(I,J)+V2(I,J)*V2(I,J)
1) + 0.0000001))
      T(I,J)=T(I,J)-273.15
1     CONTINUE
      DELI=X1(IH)/(XDRUCK-1.0)
      DELJ=X2(JN)/(YDRUCK-1.0)
      DO 10 K=1,22
      IF(K .EQ. NF .OR. K .EQ. NK .OR. K .EQ. NL .OR. K .EQ. 13
2     .OR. K .EQ. 8 .OR. K .EQ. 3
1     .OR. K .EQ. 15 .OR. K .EQ. 17 .OR. K .EQ. 18 .OR. K .GE. 21)
3     GOTO 11
      GOTO 12
11    CONTINUE
      VMIN=AQ(1,1,K)
      VMAX=AQ(1,1,K)
      DO 100 J=1,JN
      IL=IMIN(J)
      IH=IMAX(J)

```

MARTI

26/09/81 08.51.06

```

      DO 100 I=IL,IH
      IF(AQ(I,J,K) .GT. VMAX) VMAX=AQ(I,J,K)
      IF(AQ(I,J,K) .LT. VMIN) VMIN=AQ(I,J,K)
100   CONTINUE
      IF((K.EQ.17.OR.K.EQ.18).AND.VMAX.NE.0.) GO TO 13
      GOTO 12
13    CONTINUE
      DO 14 J=1,JN
      IL=IMIN(J)
      IH=IMAX(J)
      DO 14 I=IL,IH
14    AQ(I,J,K)=AQ(I,J,K)/VMAX
12    CONTINUE
      VJ(1)=0.1
      DO 15 N=2,8
15    VJ(N)=VJ(N-1)+0.1
      VJ(9)=0.85
      VJ(10)=0.9
C     VALORI PARTICULARE VJ ALE VARIABILELOR
      GOTO(71,72,77,76,77,73,85,77,83,75,78,79,80,81,77,87,88,88,84,
1     86,85,87,87,87,87)

```

```

71 CONTINUE
VJ(1)=100.
VJ(2)=10.
VJ(3)=1.
VJ(4)=0.
VJ(5)=1.
VJ(6)=10.
VJ(7)=100.
VJ(8)=1000.
VJ(9)=5.
VJ(10)=50.
GOTO 140
72 CONTINUE
VJ(1)=-1.0
DO 172 N=2,8
172 VJ(N)=VJ(N-1)+0.25
VJ(9)=AQ(IAB,JA,NF)
VJ(10)=0.95*VMIN
GOTO 140
73 CONTINUE
VJ(9)=PPSREF
VJ(10)=1./ ( 3.9895)
GOTO 140
75 CONTINUE
VJ(9)=(ENREF-ENS)/(ENP-ENS)
VJ(10)=1./ ( 3.9895)

```

MARTI 26/09/81 08.51.06

```

GOTO 140
76 CONTINUE
VJ(1)=0.25
VJ(2)=0.75
VJ(3)=1.25
DO 176 N=4,8
176 VJ(N)=VJ(N-1)+(VMAX-1.25)/6.
VJ(9)=0.5
VJ(10)=1.0
GOTO 140
77 CONTINUE
VJ(1)=VMIN+(VMAX-VMIN)/11.0
DO 177 N=2,10
177 VJ(N)=VJ(N-1)+(VMAX-VMIN)/11.0
IF (X.EQ. 14) VJ(10)=0.
GOTO 140
78 CONTINUE
VJ(1)=200.
DO 178 N=2,7
178 VJ(N)=VJ(N-1)+200.
VJ(8)=900.0
VJ(9)=1100.
VJ(10)=1300.
GOTO 140
79 CONTINUE
VJ(9)=0.25
VJ(10)=0.35
GOTO 140
80 CONTINUE
VJ(1)=0.005
DO 180 N=2,8
180 VJ(N)=VJ(N-1)+0.005
VJ(9)=0.0075
VJ(10)=0.95*VMAX
GOTO 140
81 CONTINUE
DO 181 N=1,8
181 VJ(N)=0.1*FLOAT(N)*VINP
VJ(9)=0.

```

```

GOTO 140
83 CONTINUE
VJ(1)=0.04
DO 183 N=2,8
183 VJ(N)=VJ(N-1)+0.02
VJ(9)=0.05
VJ(10)=0.07

```

MARTI

26/09/81 08.51.06

```

84 GOTO 140
CONTINUE
VJ(1)=0.025
DO 184 N=2,8
184 VJ(N)=VJ(N-1)+0.025
VJ(9)=0.50
VJ(10)=0.225

```

```

86 GOTO 140
CONTINUE
VJ(1)=0.01
DO 186 N=2,10
VJ(N)=VJ(N-1)+0.01

```

```

106 GOTO 140
CONTINUE
VJ(9)=0.25
VJ(10)=0.15

```

```

87 GOTO 140
CONTINUE
VJ(1)=0.2
DO 187 N=2,8
187 VJ(N)=VJ(N-1)+0.2
VJ(9)=0.3
VJ(10)=0.25

```

```

88 GOTO 140
CONTINUE
VJ(1)=0.0
DO 188 N=2,4
188 VJ(N)=VJ(N-1)+0.2
VJ(5)=0.2

```

```

DO 189 N=6,8
189 VJ(N)=VJ(N-1)+0.2
VJ(9)=0.
VJ(10)=0.9

```

```

140 GOTO 140
CONTINUE
L=K
IF(K .GT. IE) L=K+NEN-IE
WRITE(6,101) ASYMBL(L)
JZAHL=YDRUCK/FLOAT(JEINH)
JZ=YDRUCK
IF(.NOT.LUGK) WRITE(6,106)XEINH,YEINH
WRITE(6,102)(VJ(L),L=1,NVJ)
WRITE(6,103)
DO 20 JJ=1,JN
J=JN+1-JJ
IL=IMIN(J)

```

MARTI

26/09/81 08.51.06

```

IR=IMAX(J)
CILEX1(IL)/DELI
ILP=CIL
L=ILP+1
IF(CIL-FLOAT(ILP).GE.0.5) L=ILP+2

```



```

IRP=CIR
L2=IRP+1
IF(CIR-FLOAT(IRP) .GE. 0.5) L2=IRP+2
IF(J .EQ. JB) L3=L2
J1=J-1
CJO=X2(J)/DELJ
JOP=CJO
JOX=JOP+1
IF(I.GT.IC.AND.J.EQ.JC.AND.(CJO-FLOAT(JOP).GE.0.5))
1 JOX=JOP+2
IF(J .EQ. 1) GOTO 201
CJU=X2(J1)/DELJ
JUP=CJU
JUX=JUP+2
INTJ=JOX-JUX+1
IF(INTJ .LT. 1) GOTO 20
201 IF(J .EQ. 1) INTJ=1
C GEOMETRIA CAMEREI DE ARDERE
DO 30 JJN=1,INTJ
DO 301 L=1,130
301 X(L)=XENTY
IF(LOGK) GOTO 1100
JZ=JZ-1
IF(JZ.EE.JZAHLE*JEINH) GO TO 1100
DO 1050 L=L1,L2,IEINH
1050 X(L)=XPLUS
JZAHLE=JZAHLE-1
1100 CONTINUE
IF(J .EQ. JB .AND. JJN .EQ. 1) GOTO 302
IF(J.GT.JB) X(L1)=XBOUN
IF(J .LE. JA1 .AND. J .GT. JA) X(L1)=XBOUN
IF(J .GT. JC) X(L2)=XBOUN
IF(J .EQ. JB .AND. JJN .EQ. 1) GOTO 303
IF(J .EQ. JA1 +1 .AND. JJN .EQ. INTJ) GOTO 304
IF(J .EQ. JA .AND. JJN .EQ. 1) GOTO 305
310 CONTINUE
IF(J .EQ. JC+1 .AND. JJN .EQ. INTJ) GOTO 306
IF(J .EQ. JC .AND. JJN .EQ. 1) GOTO 306
IF(J .EQ. 1) GOTO 307
GOTO 308
302 DO 312 L=L1,L2

```

MARTI

26/09/81 08.51.06

```

312 X(L)=XBOUN
GOTO 309
303 CJB=X2(JB)/DELJ
JBP=CJB
IF(CJB-FLOAT(JBP) .LT. 0.5) X(L1)=XBOUN
GOTO 310
304 CJA1=X2(JA1)/DELJ
JA1P=CJA1
IF(CJA1-FLOAT(JA1P) .GE. 0.5) X(L1)=XBOUN
GOTO 310
305 CJA=X2(JA)/DELJ
JAP=CJA
IF(CJA-FLOAT(JAP) .LT. 0.5) X(L1)=XBOUN
GOTO 310
306 CJC=X2(JC)/DELJ
JCP=CJC
IF(JJN .EQ. INTJ .AND. (CJC-FLOAT(JCP) .GE. 0.5)) GOTO 320
IF(JJN .EQ. 1 .AND. (CJC-FLOAT(JCP) .LT. 0.5)) GO TO 320
GOTO 308
320 CONTINUE
L4=XDRUCK
L4=L4+1
DO 321 L=L3,L4
321 X(L)=XBOUN

```

```

307 DO 317 L=L1,L2,4
317 X(L)=XSTRCH
    LL=L1+2
    DO 318 L=LL,L2,4
318 X(L)=XSTERN
308 CONTINUE
C INTERPOLARE INTRE DOUA LINII J DE RETEA INVECINATE
DO 40 I=IL,IR
IF(J.EQ.1) GOTO 401
DELAJ=(AQ(I,J,K)-AQ(I,J1,K))/(X2(J)-X2(J1))
GOTO 40
001 DELAJ=0.
40 Y(I)=AQ(I,J,K)-DELAJ*(X2(J)-DELAJ*FLOAT(JOP-JJN+1))
C INTERPOLARE INTRE DOUA LINII I DE RETEA INVECINATE
ILL=IL+1
DO 50 I=ILL,IR
II=I-1
DELY=(Y(I)-Y(II))/(X1(I)-X1(II))
CIR=X1(I)/DELI
CIL=X1(II)/DELI
IRP=CIR
ILP=CIL

```

MARTI 26/09/81 06.51.06

```

IRX=IRP+1
ILX=ILP+1
IF(ILX.EQ.L1) ILX=ILP+2
IF(IRX.EQ.L2-1) IRX=IRP+2
IF(IRX.LT.ILX) GOTO 50
DO 501 IIN=ILX,IRX
501 C(IIN)=Y(II)+DELY*(FLOAT(IIN-1)*DELI-X1(II))
50 CONTINUE
DO 60 KL=1,NVJ
LL=L2-1
DO 60 IIN=L1,LL
CM=(C(IIN)+C(IIN+1))/2.
N=0
IF(VJ(KL).GE.C(IIN).AND.VJ(KL).LT.CM) NN=IIN
IF(VJ(KL).GE.CM.AND.VJ(KL).LE.C(IIN+1)) NN=IIN+1
IF(VJ(KL).LE.C(IIN).AND.VJ(KL).GT.CM) NN=IIN
IF(VJ(KL).LE.CM.AND.VJ(KL).GE.C(IIN+1)) NN=IIN+1
IF(NN.EQ.0) GOTO 60
X(NN)=XA(KL)
60 CONTINUE
WRITE(6,104)(X(IP),IP=1,130)
60 CONTINUE
60 CONTINUE
10 CONTINUE
101 FORMAT(2X,'GRAFICUL CURBELOR DE NIVEL PT',2X,A4,2X,/,
* 2X,'NUMERELE DIN GRAPIC REPREZINTA VALOAREA NUMERICA A CURBEI',
* ' DE NIVEL')
102 FORMAT(1H,3H1=,E12.4,3X,1H,,
1 3H2=,E12.4,3X,1H,,
2 3H3=,E12.4,3X,1H,,
3 3H4=,E12.4,3X,1H,,
4 3H5=,E12.4/,
5 4H 6=,E12.4,3X,1H,,
6 3H7=,E12.4,3X,1H,,
7 3H8=,E12.4,3X,1H,,
8 3H9=,E12.4,3X,1H,,
9 3H.=,E12.4)
103 FORMAT(1H)
104 FORMAT(1H,130A1)
105 FORMAT(1H0,'CU ACESTE VALORI PENTRU XEINH,YEINH NU POATE FI'
* ' IMPRIMATA RETEAUA')
106 FORMAT(1H,'UNITATILE IN DIRECTIILE X SI R SINT:',F6.2,' M', ' SI'
* ,F5.2,' M')

```

END

MARTI 26/09/81 08.51.06

AU COURS DE LA COMPILATION :

VARIABLES NON REFERENCEES :

DELX1 DELX2 ZHO  
RCH4 RCO

EAK 01 02

MARTI 26/09/81 08.51.06

MODULE	CREF	TYPE	C	LONGUEUR	
MODULE	DRU	TYPE	C	LONGUEUR	0040 (00064)
MODULE	GEO	TYPE	C	LONGUEUR	0010 (00010)
MODULE	CRANE	TYPE	C	LONGUEUR	0270 (00624)
MODULE	CINPR	TYPE	C	LONGUEUR	0078 (00120)
MODULE	CSTOFF	TYPE	C	LONGUEUR	0080 (00120)
MODULE	CVEL	TYPE	C	LONGUEUR	0010 (00010)
MODULE	CCHER	TYPE	C	LONGUEUR	0078 (00120)
MODULE	CEA	TYPE	C	LONGUEUR	0000 (00012)
MODULE	CKONZ	TYPE	C	LONGUEUR	0118 (00260)
MODULE	CNUMBER	TYPE	C	LONGUEUR	0050 (00040)
MODULE	CINDEX	TYPE	C	LONGUEUR	0068 (00104)
MODULE	CINJN	TYPE	C	LONGUEUR	0018 (00024)
MODULE	CYLI	TYPE	C	LONGUEUR	0020 (00044)
MODULE	CGRID	TYPE	C	LONGUEUR	0038 (00050)
MODULE	PLOTCT	TYPE	P	LONGUEUR	28F0 (10480)

ATTENTION (PLUS HAUT NIVEAU D'ERREUR RENCONTRE = 0)

08.51.06